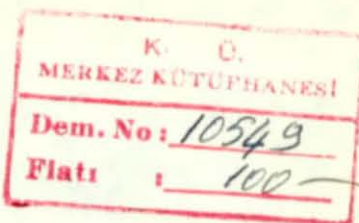


Karadeniz Üniversitesi  
Fen Bilimleri Enstitüsü



BOYABAT (SİNOP) KUZEYDOĞUSUNUN PETROL YÖNÜNDEN  
JEOLOJİK VE JEOKİMYASAL İNCELEMESİ

Doktora Tezi

Yük. Müh. SADETTİN KORKMAZ

Yöneten:

Prof. Dr. SELAHATTİN PELİN

Trabzon, 1984

## İÇİNDEKİLER

|                |   |
|----------------|---|
| ÖZET .....     | 1 |
| ABSTRACT ..... | 4 |

### I. Bölüm

|   |    |
|---|----|
| 1. GİRİŞ .....                                | 7  |
| 2. COĞRAFİK VE JEOMORFOLOJİK ÖZELLİKLER ..... | 9  |
| 3. ÖNCEKİ ÇALIŞMALAR .....                    | 12 |
| 4. ÇALIŞMADA UYGULANAN YÖNTEMLER .....        | 16 |

### II. Bölüm

|  |    |
|--|----|
| 1. STRATİGRAFİ VE PETROGRAFİ .....           | 17 |
| 1. 1. Boyabat Metamorfitleri (Bm) .....      | 20 |
| 1. 2. Akgöl Formasyonu (Ja) .....            | 22 |
| 1. 3. Bürnük Formasyonu (Jb) .....           | 26 |
| 1. 4. Akkaya Kireçtaşı (Jak) .....           | 28 |
| 1. 5. Çağlayan Formasyonu (Kç) .....         | 32 |
| Çataltaş Üyesi (Kçç) .....                   | 37 |
| 1. 6. Kapanboğazı Formasyonu (Kk) .....      | 39 |
| 1. 7. Yemişliçay Formasyonu (Ky) .....       | 44 |
| Çokran Üyesi (Kçö) .....                     | 48 |
| 1. 8. Cankurtaran Formasyonu (Kck) .....     | 50 |
| 1. 9. Çaltu Formasyonu (Kpç) .....           | 55 |
| 1.10. Pervanekaya Formasyonu (Kpp) .....     | 60 |
| 1.11. Ardıçlı Formasyonu (Ta) .....          | 63 |
| Ekinveran Üyesi (Te) .....                   | 65 |
| 1.12. Bayamca Kireçtaşı (Tb) .....           | 66 |
| 1.13. Gökirmak Formasyonu (Tg) .....         | 69 |
| Şihlar Üyesi (Tgs) .....                     | 69 |
| 1.14. Bağlıca Formasyonu (Tba) .....         | 73 |
| Kumtaşı Üyesi (Tbk) .....                    | 73 |
| 1.15. Sakızdağ Formasyonu (Ts) .....         | 77 |
| Koru Üyesi (Tsk) .....                       | 81 |
| 1.16. Akyörük Bazaltı (Tab) .....            | 82 |
| 1.17. Taraçalar (Qt) .....                   | 84 |
| 1.18. Eski ve Yeni Alüvyonlar (Qe, Qal) .... | 84 |
| 2. SEDİMANTER ÖZELLİKLER .....               | 85 |
| 2.1. Tortul Yapılar .....                    | 85 |
| 2.2. Paleoakıntı Ölçümleri ve Yorumlaması .. | 88 |

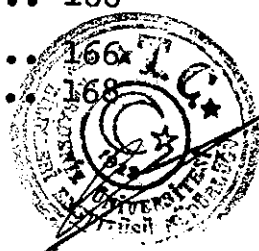
## II

|   |     |
|---|-----|
| 3. YAPISAL JEOLOJİ .....  | 92  |
| 3.1. Uyumsuzluklar .....  | 93  |
| 3.2. Katman Eğim ve Doğrultuları .....                                | 94  |
| 3.3. Kırımlı Yapılar .....  | 99  |
| 3.3.1. Antiklinaller .....  | 99  |
| 3.3.2. Senklinaller .....   | 108 |
| 3.4. Kırıklı Yapılar .....  | 110 |
| 3.4.1. Normal Faylar .....  | 110 |
| 3.4.2. Doğrultu Atımlı Faylar .....                                   | 112 |
| 3.4.3. Ters Faylar (Bindirme) .....                                   | 113 |
| 3.4.4. Fayların Oluşum Mekanizması ...                                | 113 |
| 3.5. Ekinveren Fay Zonunun Jeolojisi ve<br>Tektonik Özellikleri ..... | 114 |
| 4. VOLKANİZMA .....   | 115 |
| 5. METAMORFİZMA .....   | 121 |
| 6. JEOLOJİK EVRİM .....   | 125 |

## III. Bölüm

### P E T R O L J E O L O J İ S İ

|   |      |
|---|------|
| 1. ANA KAYA FASİYESİ .....  | 129  |
| 1.1. Saha İncelemeleri .....  | 129  |
| 1.2. Laboratuvar İncelemeleri .....                                       | 130  |
| 1.2.1. Ana Kaya İçindeki Organik<br>Madde Miktarının Ölçümü .....         | 132  |
| 1.2.2. Rock-Eval Analizleri (Piroliz).<br>1.2.2.1. Ana Kaya Potansiyeli.. | 137  |
| 1.2.2.2. Ana Kayanın Termal<br>Gelişimi .....                             | 142  |
| 1.2.3. Vitrinit Yansımı Ölçümleri ..                                      | 144  |
| 1.2.4. Kil Analizleri .....   | 147  |
| 1.2.5. Ana Kaya Değerlendirmesi .....                                     | 153  |
| 2. HAZNE KAYA FASİYESİ .....  | 161  |
| 3. ÖRTÜ KAYA FASİYESİ .....   | 165  |
| 4. KAPANLAR .....   | 166  |
| 4.1. Yapısal Kapanlar .....   | 166x |
| 4.2. Stratigrafik Kapanlar .....  | 168  |



### III

|  |     |
|--|-----|
| 5. HİDROKARBON BELİRTİLERİ .....   | 171 |
| 5.1. Ekinveran Petrol Sızıntısının<br>Özellikleri .....                    | 171 |
| 5.2. Petrol Sızıntısının Gravitesi .....                                   | 171 |
| 5.2. Petrol Sızıntısının Analizi .....                                     | 172 |
| 6. İNCELEME ALANININ PETROL OLANAKLARI YÖNÜNDEN<br>DEĞERLENDİRİLMESİ ..... | 175 |
| 7. SONUÇLAR .....  | 178 |
| ÖZGEÇMİŞİ .....  | 180 |
| KAYNAKÇA .....   | 181 |

### E K L E R :

- EK-1 : Boyabat (Sinop) Kuzeydoğu Yöresinin 1/25.000  
Ölçekli Jeoloji Haritası.
- EK-2 : Boyabat (Sinop) Kuzeydoğu Yöresinin  
Genelleştirilmiş Dikme Kesiti.
- EK-3 : Boyabat (Sinop) Kuzeydoğu Yöresine İlişkin  
Jeolojik Kesitler (1/25.000 Ölçekli).
- EK-4 : Boyabat (Sinop) Kuzeydoğu Yöresinin Tektonik  
Haritası (1/50.000 Ölçekli).
- EK-5 : Örnek Alım Haritası (1/100.000 Ölçekli)

## Ö Z E T

İnceleme alanının temelini Jura öncesi yaşlı Boyabat Metamorfitleri oluşturmaktadır.

Bu temel üzerine uyumsuz olarak, kumtaşı, marn ve şeyllerden oluşan Liyas (?) yaşlı Akgöl Formasyonu gelmektedir. Bu birim, kırmızı renkli çakıltaşlarından oluşan Alt-Orta Dogger yaşlı Bürnük Formasyonu ile kalın katmanlı ve masif karbonatlardan oluşan Bathoniyen-Kimmerisiyen yaşlı Akkaya Kireçtaşı tarafından uyumsuz olarak üstlenir. Akkaya Kireçtaşı'nın alt sınırı Bürnük Formasyonu ile uyumludur. Birimin üzerine ise uyumsuz olarak, kumtaşı ve kumu kireçtaşı arakatmanlı, gri, siyah renkli şeyl ve marnlardan oluşan Alt Kretase yaşlı Çağlayan Formasyonu gelmektedir.

Bölgede, Santonyen-Kampaniyen'de başlayan gökelme Alt Eosen'e kadar kesiksiz devam eder. Bu dönemde bölge sübsidan özelliktedir. Santonyen-Kampaniyen yaşlı Kapan-boğazı Formasyonu, kırmızı renkli, globotruncana'lı mikritik kireçtaşlarından, Alt Maastrichtiyen yaşlı Yemişliçay Formasyonu, kumtaşı, marn arakatmanlı tuf ve tüfit ardalanmasından oluşmuştur. Yemişliçay Formasyonu yanal yönde lav, tuf ve aglomeralardan oluşan Çokran Üyesi'ne geçmektedir. Maastrichtiyen yaşlı Cankurtaran Formasyonu türbidityik kumtaşı, marn, şeyl ve silttaşı ardalanmasından, Maastrichtiyen-Paleosen yaşlı Çaltu Formasyonu da beyaz renkli kireçtaşı ve marnlardan oluşmaktadır. Kalın katmanlı ve masif kireçtaşından oluşan Maastrichtiyen-Paleosen yaşlı Pervaneıkaya Formasyonu ise Boyabat Metamorfitlerini açısal uyumsuzlukla örter. Üst Paleosen-İpresiyen yaşlı Ardiçli Formasyonu da kırmızı renkli, kireçtaşı arakatmanlı marnlarla temsil edilmektedir.

Lütesiyen yaşlı Bayamça Kireçtaşı'nın, inceleme alanı içindeki alt ve üst dokanakları faylidir. Boyabat Metamorfitleri ile alttaki birimler üzerine açısal uyumsuzlukla gelen, Lütesiyen yaşlı Gökirmak Formasyonu, tabanda kanal dolguları içeren kalın katmanlı kumtaşları ile başlayıp, üste doğru olağan kumtaşı ve marn ardalanmasıyla son bulur.

Çakıltası, çapraz katmanlı kumtaşı ve çamurtaşının ardalanmasından oluşan Üst Eosen yaşlı Bağlıca Formasyonu ve çakıltalarından oluşan Üst Eosen-Oligosen (?) yaşlı Sakızdağı Formasyonu, Boyabat Metamorfitleri ile Gökirmak Formasyonu üzerine uyumsuz olarak gelmektedir.

Olivinli bazaltlardan oluşan Akyörük Bazaltı Plio-Kuvaterner yaşlı kabul edilmiştir. İnceleme alanının en genç oluşukları taraçalar ile alüvyonlardır.

Pontid tektonik birliği içerisinde yer alan inceleme alanı, yaklaşık kuzey-güney yönlü bir kuvvet çiftinin etkisi altında kalmıştır. Bölgede yer alan kıvrımlı yapıların eksenleri yaklaşık doğu-batı doğrultuludur. İnceleme alanında yer alan kırıkçı yapıların çoğunu normal faylar oluşturmaktadır. Ayrıca, doğrultu atımlı ve bindirme fayları da gelişmiştir.

Bölgede, Donetz, Üst Kimmerik, Austrik, Anadolu, Pireneik ve Savik fazlarının etken oldukları saptanmıştır.

İnceleme alanında yer alan volkanik oluşuklardan, alkalin olanlar simatik, subalkalin olanları ise sialik kökenlidirler. Metamorfik kayaçların ise yeşil şist fasyesinde ve volkano-tortul kökenli oldukları anlaşılmıştır.

Bölge ayrıca, petrol oluşum, birikim ve kapanlanması açısından da incelenmiştir.

Ana kaya özelliği taşıyan birimlere jeokimyasal yöntemler uygulanarak, yörenin petrol oluşturma potansiyeli araştırılmıştır. Ana kaya özelliği taşıyan birimlerde;

- Organik karbon tayinleri (Leco-Analizi),
- Organik madde tipinin belirlenmesi (Rock-Eval),
- Organik maddenin olgunluk derecesinin ölçümü

(Vitrinit yansımıması ve illit kristalilik ölçümleri), yapılmıştır.

Vitrinit yansımıması ve illit kristalik ölçümleri Alt Kretase yaşlı Çağlayan Formasyonu'nun hidrokarbon üretebilecek olgunluk evresine eriştiğini göstermektedir.

Rock-Eval analizlerinden, Liyas yaşı Akgöl ve Maastrichtyen yaşı Cankurtaran Formasyonlarının III. tip kerojen içerdikleri, bu nedenle de doğal gaz ana kayası olabilecekleri anlaşılmıştır. Alt Kretase yaşı Çağlayan Formasyonu'nun ise II. ve III. tip kerojen içeriği dolayısıyla petrol ve doğal gaz ana kayası olduğu saptanmıştır.

Ana kaya fasiyesindeki birimlerde yapılan organik karbon yüzde tayinleri sonucu, Akgöl ve Cankurtaran Formasyonlarının orta derecede potansiyele sahip ana kaya, Çağlayan Formasyonu'nun ise iyi derecede potansiyele sahip ana kaya oldukları anlaşılmıştır.

Boyabat-Ekinveran Köyü yakınlarında sizan ham petrolün kökenini bulmak için sizintinin tam analizi yapılmış ve ham petrolün ileri derecede biyolojik ayrışmaya uğradığı saptanmıştır. Bu ham petrolün kökeni ve oluşumu ise, Üst Kretase yaşı volkanizmanın, organik maddece zengin Alt Kretase şeyllerine yapacağı ısı etkisine bağlanabilir. Ancak oluşan ham petrol miktarı hakkında fikir vermek ve bir kantitatif hesaplama yapmak eldeki verilerle mümkün değildir.

Hazne kaya açısından başlıca, Dogger-Malm yaşı Akkaya Kireçtaşı, Alt Kretase yaşı Çağlayan Formasyonu içindeki kumtaşları düzeyleri ve Alt Maastrichtyen yaşı Yemişliçay Formasyonu'nu oluşturan kalın tuf düzeyleri önem taşımaktadır. Yörede örtü kaya fasiyesinin de çok iyi geliştiği gözlenmiştir.

Petrol birikimi açısından, inceleme alanı içerisinde İblak Antiklinalı ve Ekinveran fay zonu önem taşımaktadır.

## ABSTRACT

Pre-Jurassic Boyabat Metamorphics form the base in the study area.

Lias (?) aged Akgöl Formation consisting of sandstone, marl and shales is unconformable on this base. Unconformity also delimits this unit at the top where either Lower-Middle Dogger aged Bürnük Formation or Bathonian-Kimmeridgian aged Akkaya Limestone are found locally. The former is made up of red coloured conglomerate whereas the latter is thickly-bedded massive carbonaceous material. Akkaya Limestone is conformable with underlying Bürnük Formation. Lower Cretaceous aged Çağlayan Formation sits unconformably on the Akkaya Limestone and consists of grey and/or black coloured shales and marl both interbedded with sandstone and sandy limestone.

Deposition in the region began with Santonian-Campanian and was uninterrupted until Lower Eocene. During this period the sedimentary environment was of subsiding character. Santonian-Campanian aged Kapanboğazi Formation is composed of red coloured micritic limestones containing globotruncana whereas Lower Maastrichtian aged Yemişliçay Formation consists of repetitive tuff and tuffaceous rock both intercalated with sandstone and marl. Yemişliçay Formation passes laterally into Çokran Member which is composed of lava, tuff and agglomerates. Maastrichtian aged Cankurtaran Formation is composed of alternating turbidite sandstone, marl, shale and siltstone whereas white coloured limestone and marls make up Maastrichtian-Paleocene aged Çaltu Formation. Pervanekaya Formation composing of thickly-bedded massive limestones is also of Maastrichtian-Paleocene age and covers Boyabat Metamorphics with an angular unconformity. Upper Paleocene-Ypresian aged Ardiçli Formation is represented by red coloured marls interstratified with limestone.

Lutetian aged Bayamca Limestone is surrounded both at the top and at the bottom by faults in the study area. Also Lutetian aged Gökürmak Formation sits on the Boyabat Metamorphics with an angular unconformity and begins at the

base with thickly-bedded sandstone including channel fillings and ends with repetitive sandstone and marl upper in the sequence.

Upper Eocene aged Bağlıca Formation which is composed of alternating conglomerates, cruss-bedded sandstone and mudstone; and Upper Eocene-Oligocene (?) aged Sakızdağ Formation consisting entirely of conglomerates, are both unconformable on Boyabat Metamorphics and Gökiirmak Formation.

Akyörük Basalt consists of basalt rich in olivine and is assumed to be of Quaternary age. Terraces and alluviums are the youngest occurrences.

The study area which lies in the Pontides has been deformed under N-S compressional regime. The axes of the folded structures show a E-W trend. Most of the fractured structures are normal faults. Also developed in the region are tear and thrust faults.

It is established that Donetz, Upper Kimmerian, Austrian, Anatolian, Pyrenean and Savian orogenic phases were in effect.

Alkaline volcanic occurrences were originated from sima whereas sub-alkaline volcanic occurrences are of sial origin. Metamorphic rocks are of volcano-sedimentary origin and belong to the greenschist facies.

The region was studied also with respect to formation, accumulation and entrapment of oil.

Geochemical methods were applied to those units which showed reservoir rock features in order to evaluate the potential of the region to form oil. The followings were undertaken:

- Organic carbon determinations (Leco-Analysis)
- Determination of the type of organic matter (Rock-Eval)
- Determination of the maturity degree of organic matter (vitrinite reflectance and illite crystallinity measurements)

Vitrinite reflectance values and illite's crystallinity degree measurements revealed that the Lower Cretaceous Çağlayan Formation became mature enough to produce hydrocarbons.

Rock-Eval analyses showed that Liass aged Akgöl and Maastrichtian aged Cankurtaran Formations contain type III kerogen, therefore there rocks are considered to be possible source rocks for natural gas. On the other hand, kerogen contained in Lower Cretaceous Çağlayan Formation are of types II and III hence, potential of this formation as a source rock for natural gas and oil is indicated.

Based on the data obtained from organic carbon determinations carried out on the units present in the source rock facies; it is concluded that while both Akgöl and Cankurtaran Formations have median potentials as source rocks, the potential of Çağlayan Formation is high.

Detailed analysis of a crude oil that leaks out in the vicinity of Boyabat-Ekinveran village were carried in an attempt to establish its origin. It is concluded that this oil has been subjected to severe biodegradation. Origin and formation of this crude oil may be related to the thermal effect of the Upper Cretaceous volcanism that was imposed upon the organic-rich Lower Cretaceous shales. However, it is impossible to put forward any ideas as to how much oil was produced or to perform a qualitative estimate due to limited data.

Dogger-Malm aged Akkaya Limestone, sandstone levels present in Lower Cretaceous Çağlayan Formation and thick tuff horizons making up the Lower Maastrichtian aged Yemişliçay Formation are important with respect to reservoir rock. It is observed that cover rock facies is well-developed in the region.

With respect to the accumulation of oil in the study area, Iblak Anticline and Ekinveran fault zone are both important.

## 1. Bölüm

### 1. GİRİŞ

Bu inceleme Karadeniz Üniversitesi Fen Bilimleri Enstitüsü'ne doktora tezi olarak sunulmuştur.

Araştırmaya 1979 yılı yazında başlanmıştır. Arazi çalışmaları 1979-80-81 yılı yaz ayları ve kısmende 1982 yazında gerçekleştirılmıştır.

Bu çalışmada yaklaşık  $550 \text{ km}^2$ 'lik bir alanın ayrıntılı 1/25.000 ölçekli jeoloji haritası yapılmış ve ayrıtlanan birimlerin tip kesitleri ölçülmüştür. Böylece bölgenin stratigrafisi, tektoniği ve jeolojik evrimi aydınlatılmıştır. Ayrıca inceleme alanı, petrol oluşumu ve birikimi açısından da ele alınmıştır. Ana kaya fasiyesindeki birimlere jeokimyasal yöntemler uygulanarak bölgenin petrol oluşturma potansiyeli araştırılmıştır. Bu çalışma ile ana kaya, hazne kaya, örtü kaya ve kapan sorunlarına somut çözümler getirilmiştir.

Bu araştırmmanın maddi yönü M.T.A. Enstitüsü olnaklarıyla gerçekleştirilmiştir.

Bu çalışmayı yöneten ve çalışmanın her aşamasında, katkı ve yardımlarını esirgemeyen, çalışmalarımı yönlendiren tez hocam sayın Prof.Dr. Selahattin PELİN'e öncelikle teşekkür ederim.

Ayrıca, çalışmalarım süresince yakın ilgi ve yardımalarını gördüğüm K.Ü. Jeoloji Bölümü öğretim üyelerinden Prof.Dr. İ.GEDİK'e, Prof.Dr. T.ÖZSAYAR'a, Doç.Dr. S.YÜKSEL'e, ve Doç.Dr. A.GEDIKOĞLU ile M.T.A. Enstitüsü'nden Yük. Müh. A.GEDİK'e teşekkürü bir borç bilirim.

Paleontolojik tayinleri yapan K.Ü.'den Doç.Dr. A.BURSUK'a, A.Ü.F.F.'den Doç.Dr. V.TOKER'e, M.T.A. Enstitüsü'nden Dr. E.SİREL'e, B.SÖZER'e, E.ERKAN'a, H.KARACAOĞLU'na, S.TEK'ER'e, A.GÖKTEN'e ve O.BATUR'a yardımlarından dolayı teşekkür ederim.

M.T.A. Enstitüsü'nden Dr. T.ERCAN ve B.CAN volkanik kayaçları, Dr. O.TEKELİ ve M.Z.GÖZLER metamorfik kayaçları, M.ŞENER kil minerallerini incelemişlerdir. Volkanik ve metamorfik kayaç ana element analizleri, organik karbon yüzde tayinleri ile kil analizleri M.T.A. Enstitüsü, porozite ve permeabilite ölçümleri ise T.P.A.O. laboratuvarlarında yapılmıştır. Vitrinit yansımazı ölçümleri, Rock-Eval ve petrol analizleri de Batı Almanya Jülich Organik Jeokimya ve Petrol Enstitüsü laboratuvarlarında Prof.Dr. D.H.WELTE, Dr. U.MANN ve Dr. A.AYHAN'ın yardımları ile gerçekleştirilmiştir. Ayrıca, T.P.A.O.'dan M.AYDIN ve H.S.SERDAR ile M.T.A. Enstitüsü'nden Dr. H.İ.SEZGIN ve M.ER'in yardımları olmuştur. Adı geçen kişi ve kuruluşlara içtenlikle teşekkür ederim.

Bu çalışmanın gerçekleşmesinde her türlü yardım ve kolaylığı sağlayan M.T.A. Enstitüsü Petrol ve Jeotermal Enerji Dairesi Başkanlığı'na, başkan yardımcılarına, servis şeflerine, M.T.A. Doğu Karadeniz Bölge Müdürlüğü'ne ve tüm teknik eleman arkadaşlarına teşekkürü bir borç biliyorum.

## 2. COĞRAFİK VE JEOMORFOLOJİK ÖZELLİKLER

2.1. Coğrafik Konum: İnceleme alanı Boyabat (Sinop)'ın kuzeydoğu kesiminde yer alıp, yaklaşık 550 km<sup>2</sup>'lik bir alanı kapsamaktadır. Çalışmada 1/25.000 ölçekli E 33-cl, E 33-c2, E 33-c4 paftalarının tamamı ile E 33-c3 ve F 33-bl paftalarının kuzey yarılıları kullanılmıştır (Şekil-1).

2.2. Jeomorfolojik Durum: İnceleme alanının topografik ve morfolojik görünümü ikiye ayrılmaktadır.

a. Bölgenin orta ve kuzey kesimleri genellikle Jura-Üst Kretase yaşılı çökellerden oluşmuştur. Özellikle inceleme alanının orta kesimlerinde (Yalnız Türbe Tepe, Bürnük, Çaldağ, Çukursökü Mahallesi, Akkaya Tepe ve Kepez Tepe) yüzeyleyen Dogger-Malm yaşılı kireçtaşları sarp rölyefleri oluşturur. Bu bölümün daha kuzeyinde yüzeyleyen Alt ve Üst Kretase yaşılı kırıntılı çökeller ise daha düz morfolojik görünümdedirler. Bu yörede morfolojik yapı akarsuların denetimindedir. İnceleme alanının orta ve kuzey kesimlerinin en önemli yükseltileri şunlardır: Çaldağ (1463 m.), Yolkiyisi T. (1309 m.), Yalnız Türbe T. (1407 m.), Çalyaka T. (1473 m.), Hacıyaka T. (1486 m.), Üçköknar T. (1444 m.), Karaolut T. (1323 m.), Sivri T. (1284 m.), Ulugöl Dağı (1324 m.), Karadağ (1314 m.), Kanrik T. (1344 m.), Tuzladağ (1355 m.), Kepez T. (1215 m.) ve Güvebelik T. (1251 m.)'dır.

b. İnceleme alanının güney kesimindeki Gökirmak vadisi genellikle Tersiyer yaşılı kırıntılı kayaçlardan oluşmuştur. Bu yörede topografya, yayvan yamaçlı sırtların oluşturduğu düz veya düz yakın engebelikler halindedir. Bu engebelikler morfolojik yönden plato görünümündedir. Bu yörenin en önemli yükseltileri ise Sakızdağ (667m.) İncirli T. (410 m.), İntepe (345 m.) ve Pervanekaya T. (466 m.)'dır.

2.3. Akarsular : İnceleme alanının en büyük akarsusu, Kızılırmak nehrinin bir kolunu oluşturan Gökirmak suyudur.

Yalnız Türbe Tepe-Bürnük-Çaldağ ve Duvaçam hattındaki yükselinin güneyinde kalan Bahçeler Dere, Alaman Dere, Sarpin Dere, Dağıl Dere, Saydere, Değirmendere,

Iliklı Dere, Kılıç Çayı ve Çesnigir Çayı gibi büyük akarsular güneye akarak Gökkırmak nehrine karışmaktadır. İnceleme alanının güneybatı yöresindeki Kolaz Çayı da Gökkırmak nehri ile birleşmektedir.

Aynı yükseltimin kuzeyinde kalan akarsular ise, kuzeye doğru akarak Karadeniz'e ulaşmaktadır. Bu yöredeki akarsuların başlıcaları şunlardır: Kırkgeçit Çayı, Kapandağ Dere, Karaat Çayı, Yaltu Çayı, Hıdırılı Çayı, Akbaş Çayı, Hımmetoğlu Çayı ve Kozcığaz Çayı'dır.

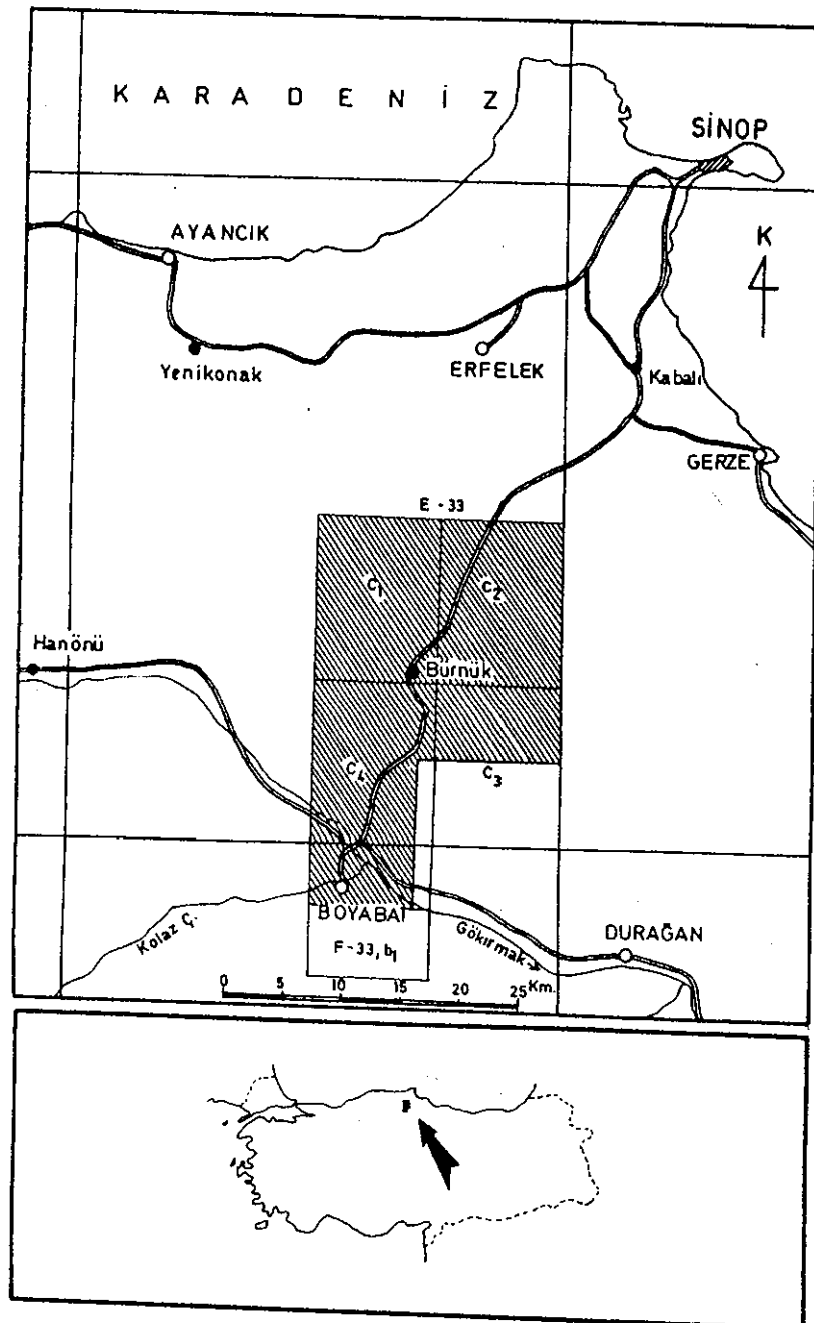
**2.4. Ulaşım Durumu:** Bölgede ulaşım ağı oldukça iyi gelişmiştir. Bütün yerleşim yerlerine yol yapılmıştır. Sinop-Boyabat karayolu inceleme alanını kuzey-güney yönünde keser. İnceleme alanının güneyinde ise Kastamonu-Havza karayolu Boyabat'tan geçerek doğu-batı yönünde uzanır. Ayrıca Boyabat yine karayolu ile de Kargı'ya bağlanmaktadır.

**2.5. İklim ve Bitki Örtüsü:** İnceleme alanının kuzey kesiminde Karadeniz'in ılıman ikliminin karakteristik özellikleri görülmektedir. Mevsimler arasındaki yıllık sıcaklık farkları düşüktür. Hemen her mevsim yağışlıdır. Özellikle ilk ve sonbahar mevsimleri bol yağışlıdır.

İnceleme alanının güney kesiminde, özellikle Boyabat yöresinde karasal iklimin etkileri görülmektedir. Burada yazları sıcak, kışları ise soğuk geçmektedir. Yıllık sıcaklık farkları yüksektir.

Bölgede bitki örtüsüde iyi gelişmiştir. Yörenin büyük bir bölümünü ormanlıklar kaplamaktadır. Genel olarak iğne yapraklı ağaçlar hakimdir. İnceleme alanının güney kesimlerinde ise bitki örtüsü daha azdır.

**2.6. Yerleşme Merkezleri:** İnceleme alanının en büyük yerleşme merkezi Boyabat ilçesidir. Bundan başka inceleme alanının kuzey kesiminde Hıdırılı, Kurtlu, Paşalıoğlu, Kahramaneli, Başökü, Boyalıca, Sazlı, Kozcığaz, Hımmetoğlu, Hürremşah ve İblak Köyleri, orta kesimde Bürnük, Semeköy, Çukurhan ve Akçakise Köyleri, güney kesiminde ise Karacaveran, Bağlıca, Daylı, Bektaş, Cemalettin, Maruf, Ekinveran, Bayamca, Çulhalı ve Hamzalı köyleri yer almaktadır.



**Şekil-1 : İnceleme alanının bulduru haritası**

### 3. ÖNCEKİ ÇALIŞMALAR

Orta Karadeniz (Samsun-Sinop) Çökel Havzası'nın bir bölümünü oluşturan inceleme alanı ile Sinop Bölgesi, binlerce metre kalınlığındaki tortul istiflenme ve ayrıca inceleme alanı içindeki petrol sızıntısının varlığı ile pek çok araştırıcının dikkatini çekmiştir. Özellikle petrol sızıntısının varlığı, bu yörede çok sayıda yersel nitelikteki çalışmaya neden olmuştur.

Sinop-Boyabat bölgesilarındaki en eski jeolojik bilgiler W.J.Hamilton (1842)'un yolculuk kitabında yer almıştır. Daha sonraları Ekinveran petrol sızıntısı ve yakın yöresi hakkında C.Schmidt (1911), M.Lucius (1925), S.L.Mason (1930), C.E.Taşman (1931), H.M.Kirk (1935), G.Petunikov (1935) ve B.Fuchs (1938)'un yersel çalışmaları olmuştur. Ayrıca W.S.Calvi (1936) Sinop-Boyabat bölgesindeki Kretase-Tersiyer yaşı çökeller ile bölgenin tektonik gelişimi üzerine yersel çalışmaları olmuştur. Daha sonra gerçekleştirilen kapsamlı çalışmaları ise şu şekilde özetleyebiliriz:

Ericson (1938) : Boyabat-Ekinveran yöresi hakkında jeoloji raporu özelliğindeki ilk çalışmayı Ericson gerçekleştirmiştir. Bu çalışmada Boyabat-Ekinveran arasındaki kayaç birimleri ayırtlanmıştır. Çalışmaya göre, yörenin temeli serpentin ve şistlerden oluşmaktadır. Bu temel üzerinde Kretase yaşı Belemnit Serisi ile Cuma Akşam Kireçtaşı yer almaktadır. Eosen serileri ise Boyabat Kireçtaşı, Yabanlı Marnı ve Martlı kumtaşı-marn serisi ile temsil edilmektedir. Sakızdağı konglomeraları ise Oligosen (?) yaşında kabul edilmiştir. Yörenin en genç oluşu ise Akyörük Bazaltlarıdır.

Blumenthal (1940) : Sinop, Boyabat, Gerze, Durukan ve Ayancık bölgesi hakkında yapılan reyjonal nitelikteki jeoloji çalışmaları ilki Blumenthal'a aittir. Blumenthal bölgenin 1/100.000 ölçekli jeoloji haritasını yapmış ve günümüzdekine yakın anlamda stratigrafisini ortaya çıkarmıştır.

Gökirmak vadisinin kuzeyinden geçen ve yaklaşık doğu-batı yönünde uzanan yüksek sırtlardan oluşan silsile genellikle Jura-Kretase yaşı kireçtaşlarından oluşmuştur.

Blumenthal bu silsileye "Gökirmak dorsal silsilesi" veya kısaca "dorsal" adını vermiştir. Yaptığı çalışmadaki litolojik üniteleri, dorsalin kuzeyi, dorsalin güneyi ve Gökirmak vadisi diye üçe ayırarak incelemiştir.

a. Gökirmak vadisi formasyonları: Bu yörenin temelini güneydeki Paleozoyik yaşlı metamorfitler oluşturmaktadır. Bu temel üzerine güneyde yer yer Kretase yaşlı çökeller gelmektedir. Boyabat havzasını dolduran Tersiyer yaşlı çökel istifleri dört grubu ayrılarak incelenmiştir. Bunlar, Eosen yaşlı kireçtaşlı tabakaları ve kumtaşı-marn kompleksi ile Oligosen (?) yaşlı konglomera kompleksidir. Yörenin en genç oluşukları Akyörük Bazaltları'dır.

b. Dorsalın güney kenarı formasyonları: Bu yörendeki birimlerde Ekinveran Kretase tabakaları, Kretase flişi, resif kalkeri ve taban konglomerası olarak dört grubu ayrılmaktadır.

c. Dorsalın kuzeyi formasyonları: Bu bölgedeki formasyonlarda yaştan gence doğru şu şekilde ayırtlanmıştır:

- Kretase yaşlı taban flişi,
- Senonyen yaşlı rozalinli, marn ve kireçtaşlı grubu,
- Üst Kretase yaşlı orta fliş,
- Üst Kretase-Paleosen yaşlı Gerze tipi kalkerli fliş,
- Eosen yaşlı Tangal'ın alacalı flişi,
- Eosen yaşlı Ayancık kumtaşı,
- Volkanik kayaçlar grubu.

Blumenthal'ın Sinop bölgesinde yaptığı bu haritalar daha sonra Ketin (1962) tarafından derlenen 1/500.000 ölçekli Türkiye Jeoloji Haritası Sinop paftasında aynen kullanılmıştır.

Ortynski ve Tromp (1942) : Boyabat-Ekinveran arasının jeolojik incelemesini yaparak yöreyi petrol açısından ele almışlardır. Bu çalışma, daha önce Ericson (1938) ve Blumenthal (1940)'in çalışmalarından büyük ölçekte yararlanılarak gerçekleştirilmiştir. Çalışmaya göre, yörenin temelini Paleozoyik yaşlı Ericson'un serpentin serisi oluşturmaktadır. Bu temel üzerinde Kretase yaşlı Ericson'un Alt ve Üst Belemnites serileri ile

Çaltı Marnı yer almaktadır. Tersiyer yaşılı birimler ise İlica Kireçtaşı, Martlı Serisi, Ekinveran Kireçtaşı, Yeşil Seri, Sakızdağ Serisi ve Hicipkaya Kireçtaşı olarak ayırtlanmıştır.

Badgley (1959), Gayle (1959), Gedik ve Türkay (1961), Gedik (1961) (Tidewater Oil Co. adına): Sinop-Ayancık bölgesinin petrol yönünden jeolojik incelemesini gerçekleştirmiştir. Bu çalışmalarda birimler ilk defa formasyon ölçüğünde ayırtlanmıştır. Bölgenin en yaşılı tortul birimi Liyas şeylleridir. Masif Kireçtaşı olarak tanımlanan karbonatların yaşı Üst Jura-Alt Kretase olarak verilmiştir. Koyu gri şeyl adı altında tanımlanan birimin yaşı ise Alt Kretase'dir. Üst Kretase yaşılı birimler ise değişik renkli kilittaşları ile fliş fasiyesindeki Cankurtaran Formasyonu'dur. Bu birim içinde, volkanik, masif silttaşları ve Kurt Kumtaşı olmak üzere üç üye de ayırtlanmıştır. Üst Kretase yaşılı volkanikler ise Hamsaros Formasyonu adı altında incelenmiştir.

Bölgelerde, kireçtaşı ve marn ardalanmasından oluşan Üst Kretase-Paleosen yaşılı birimler Akveren Formasyonu olarak ayırtlanmıştır. Eosen yaşılı Ayancık ve Kusuri Formasyonları genellikle kumtaşı ve marn ardalanmasından oluşmuştur. Bölgenin en genç oluşukları Neojen yaşılı Sarıkum Formasyonu'dur.

Gönülden (1959) ; Dağdelen ve Oktay (1961) : Boyabat-Ekinveran yöreninin yeniden jeolojik incelemesini gerçekleştirmiştir. Bu çalışmalardan sonra Boyabat-Bağlıca Köyü yakınlarında Boyabat-1 kuyusu açılmıştır. Yapılan sondajda, 1550 m. Paleosen-Eosen (?) yaşılı marn, şeyl, kumtaşı ve konglomera ardalanması, 622 m. Üst Kretase yaşılı kireçtaşı, miltası arakatmanlı marn ve şeyl kesilmiş olup 2178.80 m. de Paleozoyik yaşılı temele girilmiştir. Kuyu kuru olarak terk edilmiştir.

Ketin ve Gümüş (1963) : Sinop-Ayancık bölgesinin jeolojik incelemesinde yöredeki birimleri formasyon ölçüğünde ayırtlamışlardır.

Bu çalışmada, en yaşılı birim olarak Muzrup yöresindeki Triyas yaşılı kırmızı renkli, killi kireçtaşları yer almaktadır. Liyas yaşılı, şeyl ve kumtaşları Akgöl Formasyonu, Dogger yaşılı konglomeralar Bürnük Formasyonu

Malm-Alt Kretase yaşı kireçtaşları İnalı Kireçtaşı ve Alt Kretase yaşı şeyl ve kumtaşları da Çağlayan Formasyonu adı altında incelemiştir.

Bölgede, Üst Kretase kırmızı renkli kireçtaşları ile başlamakta olup Kapanboğazı Formasyonu olarak ayırtlanmıştır. Bu birim üzerinde de piroklastik fasiyesteki Yemişliçay Formasyonu ile fliş fasiyesindeki Namazlıktepe ve Gürsökü Formasyonları yer almaktadır. Üst Kretase-Paleosen yaşı Akveren Formasyonu beyaz renkli kireçtaşı ve marn ardalanmasından oluşmaktadır. Paleosen ise kırmızı renkli marnlarla temsil edilmektedir. Bu birim Atbaşı Formasyonu olarak adlandırılmıştır. Eosen yaşı birimler ise Ayancık ve Kusuri Formasyonları olarak ayırtlanmış olup genellikle kumtaşı ve marnlardan oluşmaktadır. Bölgenin en genç çökelleri Miyosen yaşı Sarıkum Formasyonu'dur. Sinop yarımadasında yüzeyleyen volkanik birimler ise Hamsoros Formasyonu olarak adlandırılmıştır.

Inceleme alanının dışında, Sinop-Ayancık bölgesi içerisinde iki adet petrol amaçlı derin kuyu açılmıştır.

Ayancık güneyinde açılan Fasılı-1 sondajında 1244 m. Üst Kretase yaşı kumtaşı, marn, şeyl ve kireçtaşı ardalanması (Namazlıktepe ve Gürsökü Formasyonları) ile 1382 m. volkano-tortul seri (Yemişliçay Formasyonu) kesilmiş olup, kuyu 2626 m. de kuru olarak terkedilmiştir.

Erfelek yakınlarında açılan Karasu-1 sondajında ise 2379 m. Eosen yaşı kumtaşı, kiltası, şeyl ve marn ardalanması (Ayancık ve Kusuri Formasyonları) kesilmiş olup kuyu gazlı olarak terkedilmiştir.

Ayrıca bölgede, Akkan (1975) Sinop yarımadasının jeomorfolojisini, Coşkun (1977) Sinop-Ayancık bölgesindeki paleoakıntıları, Özsayar (1977) Karadeniz kıyı bölgesindeki Neojen yaşı çökelleri incelemiştir. Gedik ve diğ. (1981) Sinop Havzası'nın, Pelin ve Korkmaz (1981) ise Karadeniz kuşağına petrol oluşumu yönünden değerlendirmişlerdir.

Gedik ve Korkmaz (1982) ise Sinop-Ayancık-Çatalzeytin-Durağan-Kızılırmak-Bafra-Alaçam ve Gerze arasında kalan bölgenin 1/100.000 ölçekli jeoloji haritasını hazırlamışlardır.

#### 4. ÇALIŞMADA UYGULANAN YÖNTEMLER

İnceleme alanındaki çalışmalarında başlica şu yöntemler uygulanmıştır:

##### 4.1. Jeolojik Harita Yapımı :

İnceleme alanının 1/25.000 ölçekli ayrıntılı jeoloji haritası yapılmıştır. Haritaya işlenen birimler kaya-stratigrafi esasına dayandırılmıştır (Ek-1). Ayrıca, bölgenin yapısal özellikleri ortaya konmuştur (Ek-4).

##### 4.2. Stratigrafik Kesit Ölçümleri :

Haritaya işlenen birimlerin en ayrıntılı görüldükleri yerlerde, pusla-şerit metre veya Jacop Çubuğu ile tip kesitleri ölçülmüştür. Bu kesitlerden yararlanarak birimlerin litolojik, sedimentolojik özellikleri ile yanal fasiyes ve kalınlık değişimleri bulunmuştur. Ayrıca bölgenin genelleştirilmiş stratigrafik istifi çıkartılmıştır (Ek-2, Ek-3).

##### 4.3. Örnek Alımları :

İnceleme alanının değişik yörelerinden ve ölçülen tip kesitlerden paleontolojik, petrografik ve jeokimyasal analizler için yaklaşık 600 örnek alınmıştır (Ek-5).

##### 4.4. Jeokimyasal Analizler :

İnceleme alanında petrol ana kayası olabilecek düzeylerden alınan örnekler üzerinde;

- Organik karbon yüzde tayini (Leco-Analizi),
- Rock-Eval analizleri (Piroliz),
- Vitrinit yansımazı ölçümleri,
- Kil analizleri

yapılmıştır.

##### 4.5. Petrokimyasal Analizler :

İnceleme alanındaki volkanik ve metamorfik kayaçların ana element analizleri yapılarak kökenleri araştırılmıştır.

##### 4.6. Porozite ve Permeabilite Ölçümleri :

İnceleme alanında hazırla kaya olabilecek düzeylerden alınan örnekler üzerinde geçirgenlik ve gözeneklilik ölçümüleri yapılmıştır.

## II. Bölüm

### 1. STRATIGRAFİ VE PETROGRAFI

İnceleme alanındaki birimlerin ayırtlanması kaya-stratigrafi esasına dayandırılmıştır. Çalışmada Türkiye Stratigrafi Komitesi Birim Adlama Klavuzu (1968) esas alınarak Çizelge-1 de belirtilen kayastratigrafi birimleri saptanmıştır.

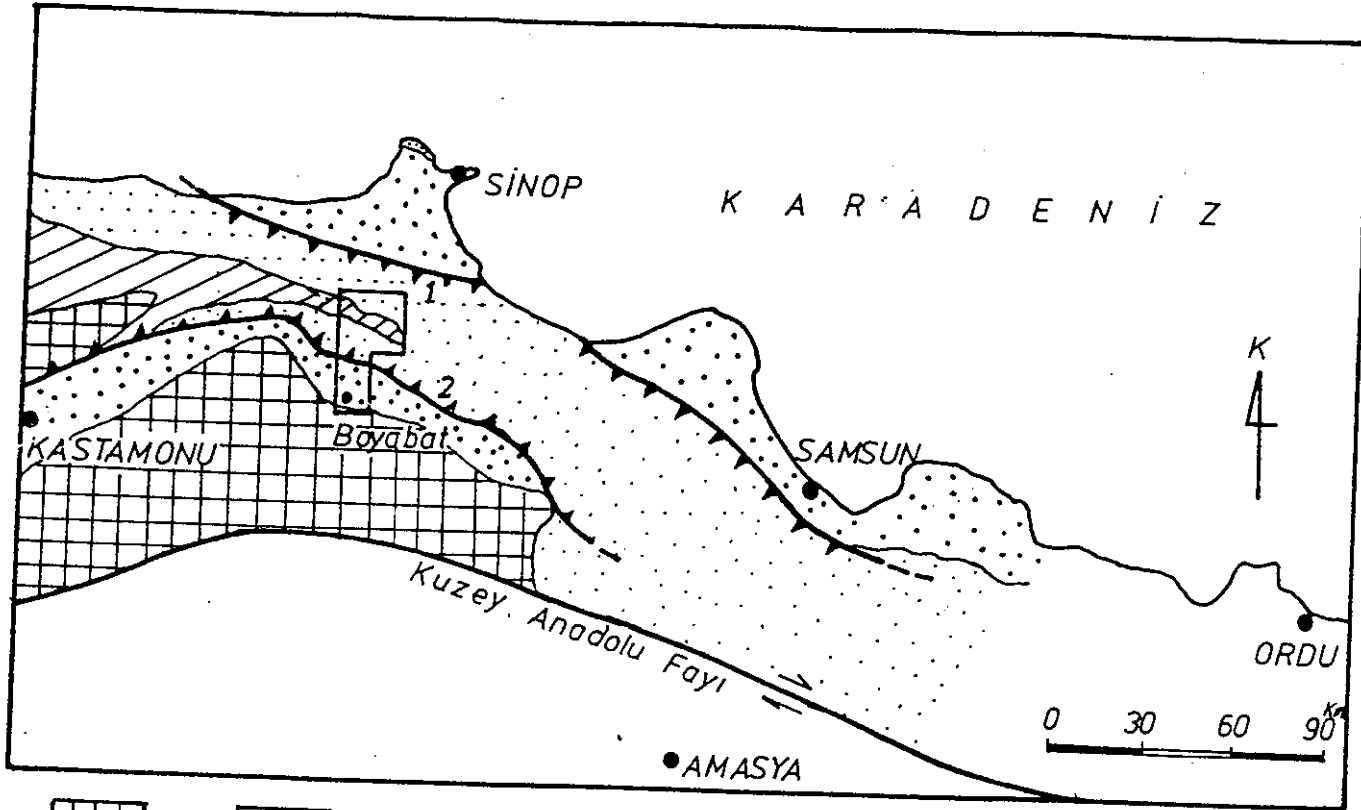
Bölgede yüzeyleyen bütün birimlerin pusla-serit metre ve Jacop Çubuğu ile tip kesitleri ölçülmüştür.

Tip kesitlerden ve arazinin değişik yörelerinden alınan örneklerin mikroskopta petrografik ve paleontolojik incelemeleri gerçekleştirilmıştır. Karbonat kayaçların mikroskopik tanımlamasında R.L.Folk (1962), kumtaşlarının mikroskopik tanımlamasında ise G.Scolari ve R.Lille (1973) sınıflamaları kullanılmıştır.

Genelde, Orta Karadeniz (Samsun-Sinop) Çökel Havzası, Pontid kuşağının orta kesiminde yer almaktadır (Pelin ve Korkmaz, 1981). Bu havzanın temelini güney ve batı kesimindeki metamorfitler oluşturmaktadır. Bu temel üzerinde de Liyas-Kuvatner zaman aralığında çökelmiş ve kalınlığı 10 bin metreyi aşan tortul bir istif yüzeyi lemektedir. Havza yaklaşık kuzeybatı-güneydoğu doğrultulu olup, kuzey ve güney kenarlarından büyük ölçekli ters faylarla kesilmiştir.

İnceleme alanı, bu havzanın yaklaşık orta kesimlerinde ve Boyabat ilçesinin kuzeyinde yer almaktadır (Şekil-2). İnceleme alanında da gözlenen Liyas-Kuvatner yaşlı istiflenme, zaman içinde sürekli olmayıp, oazen duraklamalara uğramıştır. Çökelme yoğun olarak kırintılı, yer yer karbonatlı ve piroklastik fasiyelerde gelişmiştir.

Formasyon ve üye ölçüğünde ayırtlanan bu birimlerin incelenmesi ise yaşlıdan gence doğru yapılmıştır.



|            |      |         |          |   |   |   |
|------------|------|---------|----------|---|---|---|
|            |      |         |          |   |   |   |
| Met. Temel | Jura | Kretase | Tersiyer | 1 | 2 | P |

Met. Temel      Jura      Kretase      Tersiyer      Erikli Fayı      Ekinve Fayı      İnceleme alanı

Şekil-2 : Orta Karadeniz (Samsun-Sinop) Çökel Havzası'nın basitleştirilmiş jeoloji haritası

| FORMASYON VE ÜYE                      | LITOLOJİ  |           | YAS                                 |
|---------------------------------------|---|-----------|-------------------------------------|
| ESKİ/YENİ ALÜVYONLAR                  | Kum, çakıl                                      |           | Kuvaterner                          |
| TARAÇALAR                             | Çakıl, blok                                     |           | Kuvaterner                          |
| AKYÜRÜK BAZALTı                       | Bazalt  |           | Plio-Kuvaterner (?)                 |
| SAKİZDAĞ FORMASYONU<br>Koru Üyesi     | Çakıltaşı<br>Kırmızı renkli çamur ve kıl        |           | Üst Eosen-Oligosen (?)              |
| BAĞLICA FORMASYONU<br>Kumtaşı Üyesi   | Çakıltaşı, kumtaşı, çamurtaşı<br>Kumtaşı        |           | Üst Eosen                           |
| GÖKİRMAK FORMASYONU<br>Şıhlar Üyesi   | Kumtaşı, marn, şeyl<br>Kanal dolgulu kumtaşları |           | Mitesiyen                           |
| BAYANCA KIREÇTAŞI                     | Masif kireçtaşı                                 |           | Alt-Orta Mitesiyen                  |
| ARDIÇLI FORMASYONU<br>Ekinveran Üyesi | Kırmızı renkli marn<br>Yumru kireçtaşı ve marn  |           | Üst Paleosen-İpresiyen<br>İpresiyen |
| ÇALTU FORM.   PERVANEKAYA FORM.       | Kireçtaşı, marn                                 | Kireçtaşı | Maastrichtiyen-Paleosen             |
| CANKURTARAN FORMASYONU                | Kumtaşı, marn, şeyl,                            |           | Maastrichtiyen                      |
| YEMİŞLİÇAY FORMASYONU<br>Çokran Üyesi | Tuf, Tufit, kumtaşı, marn<br>Aglomera, lav, tuf |           | Alt Maastrichtiyen                  |
| KAPANBOÇAZI FORMASYONU                | Kırmızı renkli kireçtaşı                        |           | Santoniyen-Kampaniyen               |
| ÇAĞLAYAN FORMASYONU<br>Çataltaş Üyesi | Şeyl, marn, kumtaşı<br>Çakılık kumtaşı          |           | Alt Kretase                         |
| AKKAYA KIREÇTAŞI                      | Kireçtaşı                                       |           | Bathoniyen-Kimmerisiyen             |
| BÜRNÜK FORMASYONU                     | Kırmızı renkli çakıltaşı                        |           | Alt-Orta Dogger (?)                 |
| AKGÖL FORMASYONU                      | Şeyl, marn, kumtaşı                             |           | Liyas (?)                           |
| BOYABAT METAMORFİTLERİ                | Epidot klorit gisit                             |           | Jura Öncesi                         |

Çizelge-1 : Boyabat (Sinop) kuzeydoğu yoresinin  
kayastratigrafi birimleri

### 1.1. BOYABAT METAMORFİTLERİ (Bm)

Boyabat Metamorfitleri, inceleme alanının güney kesiminde iki ayrı bölgede yüzeylemektedir. En geniş yüzeylemesi Ekinveran Köyü kuzeyinde, Yaka Mahallesi, Köyleri, Kara Sıvri Tepe, Alaman Dere ve Sarıpın Dere yöresidir. Sarıpın Dere doğusunda, metamorfitler üzerinde uyumsuz olarak Akgöl Formasyonu yer almaktadır. Alaman Dere'de ise Çağlayan Formasyonu tarafından uyumsuz olarak örtülmektedir. Birimin bu yöredeki diğer dokanakları ise faylidir.

Birimin diğer yüzeylediği yer inceleme alanının güneybatı kösesindeki Boyabat yöresidir. Bu nedenle birim, formasyon mertebesinde Boyabat Metamorfitleri olarak adlandırılmıştır. Bu yörede Boyabat Metamorfitleri üzerine uyumsuz olarak Pervanekaya ve Sakızdağ Formasyonları gelmektedir. Birim, inceleme alanının dışında da başlıca, Durağan, Kargı, Ilgaz, Taşköprü, Kastamonu, Daday ve Devrekani yörelerinde yüzeylemektedir. Bu büyük masifi oluşturan metamorfitler değişik yazarlar tarafından Kargı, Masifi, Ilgaz Masifi, Kastamonu-Taşköprü Masifi, Daday-Devrekani Masifi olarak adlandırılmıştır. Bu metamorfitlerin yaşı ise yine değişik yazarlara göre Prekambriyen'-den Mesozoyik'e kadar değişmektedir.

Göktunalı (1955), Kettin (1962), İlhan (1971) metamorfitlerin Mesozoyik yaşı, Blumenthal (1940, 1948), Ortynski ve Tromp (1942) Paleozoyik yaşı, Grancy (1939), Demirtaşlı (1975), Arpat ve diğ. (1975), Yılmaz (1980) ve Eren (1980) ise Paleozoyik ve Paleozoyik öncesi yaşı, Bingöl (1974) ise metamorfitlerin kesinlikle Prekambriyen yaşı olduğunu belirtmektedirler.

Bu görüşlerin ışığı altında, inceleme alanındaki metamorfitlerin yaşıni da genel anlamda Jura öncesi olarak kabul edebiliriz. Çünkü, Boyabat Metamorfitleri inceleme alanı içerisinde Liyas yaşı Akgöl Formasyonu tarafından uyumsuz olarak örtülmektedir.

Inceleme alanındaki Boyabat Metamorfitleri genellikle kloritli, epidotlu sistlerden oluşmuşlardır.

Mikroskopik Özellikler :

Örnek No : SK - 60A (Mikrofoto-1)

(Alındığı Yer : Ekinveran Köyü, Karasivri Tepe)

Kuvars, albit, epidot, aktinolit, klorit sist.

Kuvars ve albit ince tanelidir. Aktinolitler ise çubukcuklar şeklindedir. Örnek az oranda kalsit içermektedir. İncelenen bu örnek olasılıkla volkano-tortul kökenlidir.

Örnek No : NN - 101

(Alındığı Yer : Boyabat Kalesi)

Kalk-silikat sist.

Karbonatca zengin bantlar ve çok ince taneli kuvars içermektedir. Yer yer serizit ve epidot tanecikleri gözlenmektedir.

Örnek No : NN - 103

(Alındığı Yer : Yaka Mahallesi doğusu)

Klorit, aktinolit, epidot, albit, kuvars sist.

Örnek az oranda kalsit içermektedir. Aktinolitler çubuk şeklinde dizilmişlerdir. Epidotlar tane şeklinde ve taneli dokudadırlar. Yer yer titanit ve opak mineral gözlenmektedir.



Mikrofoto-1 : Kuvars, albit, epidot, aktinolit, klorit sist.

(Obj.6,3 × Oku.12,5)

## 1.2. AKGÖL FORMASYONU (Ja)

### Tanımı ve Dağılımı :

Formasyon, Ketiç ve Gümuş (1963), Gedik ve diğ. (1981) tarafından Akgöl Formasyonu adı altında incelenmiştir.

Birim inceleme alanı içerisinde, Çukurhan, Güdenarkası Yayla, İmero Dere, Kaşbaşı ve Sarıpın Yayla güneyi, Maarif Yayla, Sinop-Boyabat yolu, Akçoluk Yayla batısı ile Kayadibi Mahallesi kuzey kesiminde yüzeylemektedir.

### Litolojisi ve Tip Kesiti :

Formasyon, kumtaşı ve kuvarsit arakatmanlı, hafif metamorfize olmuş gri, siyah renkli marn ve şeyllerden oluşmuştur (Foto-1). Birim yer yer demiroksitli yumrular içerir. Kumtaşı katmanlarının kalınlıkları bir kaç cm. den 1 m.ye kadar değişmektedir. Tabaka alt yapısı olarak kaval yapıları (flut cast) gözlenmektedir.

Birimin tip kesiti Kayadibi Mahallesi kuzeyinde ölçülmüştür (Şekil-3). Ölçülen tip kesitte (Pafta E 33-cl, Başlangıç :  $x=4616040$ ,  $y=647580$ ,  $z=1335$  m., Bitiş:  $x=4615420$ ,  $y=647650$ ,  $z=1310$  m.) alttan üste doğru başlıca şu litolojik özellikler gözlenmiştir:

0-125 m. Kumtaşı arakatmanlı, marn ve şeyl ardalanması.

125-215 m. Kumtaşı, marn ve şeyl ardalanması.

215-245 m. Kumtaşı arakatmanlı şeyl.

245-300 m. Şeyl arakatmanlı kumtaşı ve kuvarsit.

300-375 m. Kumtaşı arakatmanlı şeyl ardalanması.

### Mikroskopik Özellikler :

Örnek No: SK - 2

(Alındığı Yer : Şemşo Yayla, Arabakonağı Mevkii)

Örnek, % 60 kuvars, % 10 feldspat, % 5 kayaç kırtısı, % 5 diğer elemanlar ve % 20 de kil ve demirden oluşan cimento içermektedir. Az oranda metamorfik kuvars taneleri ile yer yer klorit ve mika içermektedir. Kayaç kötü boylanmalıdır. Örneği oluşturan elemanların oranı ise % 75 kuvars, % 15 feldspat ve % 10 kayaç kırtısıdır.

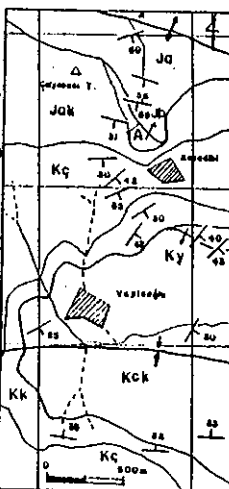
Örnek, Feldspatlı Kayaç Kırtılı Kuvarskumtaşı olarak adlandırılmıştır.

# AKGÖL VE BÜRNÜK FORMASYONLARI TİP KESİTİ

PAFTA NO : E33 c1  
 İL İLÇE : Sinop - Ayancık  
 KESİT YERİ : Kayadibi Mah.  
 ÖLÇME YÖNTEMİ : Pusula - Seritm  
 Ölçek : 1/1000  
 ÖLÇÜLEN FORM : Akgöl, Bürnük  
 YAŞ : Jura (Lijas - Dogg)  
 KALINLIK : 440 m.

## KOORDİНАTLAR

|          | x       | y      | z      |
|----------|---------|--------|--------|
| Bostancı | 4616040 | 647580 | 1535 m |
| Bilecik  | 4615360 | 647570 | 1503 m |

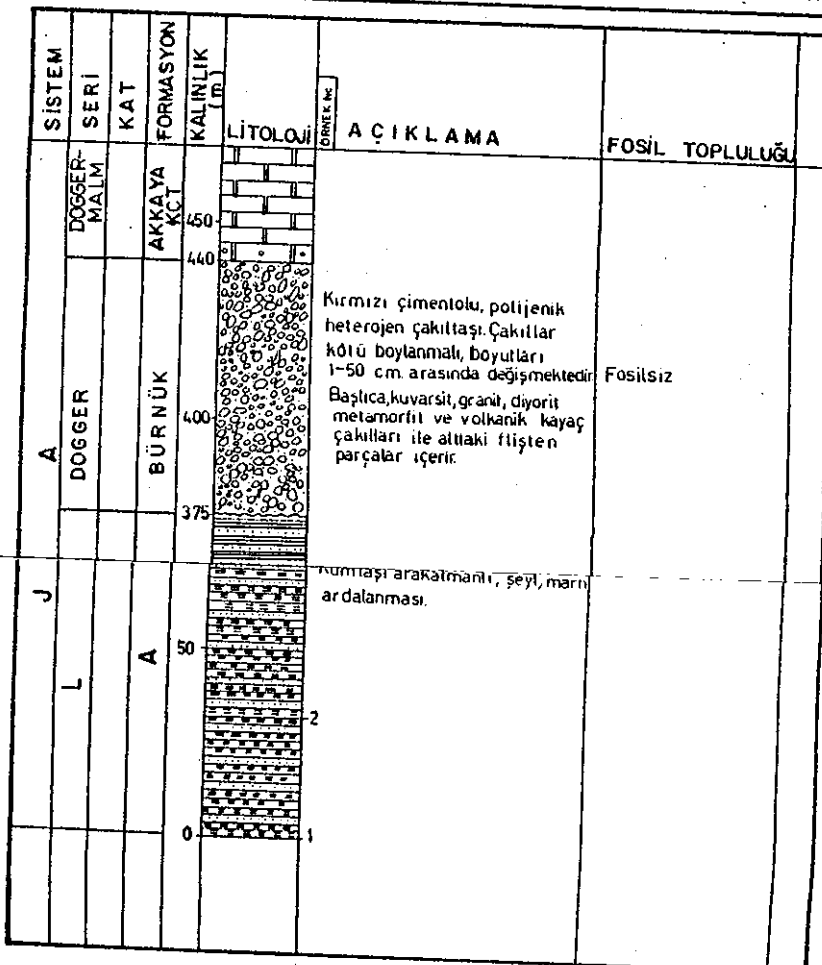


## AÇIKLAMA

- [Box] Kck Conjukturoran Form.
- [Box] Ky Yemalıçay Form.
- [Box] Kk Kapanboğazi Form.
- [Box] Kç Çağlayan Form.
- [Box] Jak Akkaya Kç.
- [Box] Jb Bürnük Form.
- [Box] Ja Akgöl Form.
- + Antiklinal Eksen
- X Sentinal Eksen
- A A Kesit Yeri

BULDURU HARİTASI

SADETTİN KORKMAZ 1983



Şekil-3



Foto-1 : Akgöl Formasyonu'nu (Ja) oluşturan şeyl  
ve marnlar ile Akkaya Kireçtaşı'nın (Jak)  
görünümü ( Bürnük, Akçaoluk Yayla ).

Örnek No: SK - 48

(Alındığı Yer : Bürnük, Maarif Yayla)

Kayaç, % 40 kuvars, % 25 feldspat, % 10 kayaç kırıltısı ve % 5 diğer elemanlar (klorit, opak mineral v.b.) içermektedir. Çimento ise % 20 oranında olup kildir. Kuvars taneleri çok köşelidir. Ortam oldukça düşük enerjili dir. Örneği oluşturan elemanların oranı % 50 kuvars, % 35 feldspat ve % 15 kayaç kırıltısı olup, örnek Kayaç Kırıntı- li Feldspatkumtaşı olarak adlandırılmıştır.

Örnek No: SK - 50

(Alındığı Yer : Ömerli Yayla, Dikenli Yazı arası)

Örnek, % 35 kuvars, % 15 feldspat, % 20 kayaç kırıltısı, % 5 diğer elemanlar (klorit, opak mineral) ve % 25 çimentodan (demir-kil) oluşmaktadır. Örnekteki taneler çok köşeli olup, kötü boylanmalıdır. Kuvars taneleri metamorfik kökenlidir. Kayacı oluşturan elemanların oranı ise % 50 kuvars, % 20 feldspat ve % 30 kayaç kırıltısıdır.

Kayaç, Feldspatlı Kayaç Kırıntılı Kumtaşı olarak adlandırılmıştır.

### Alt, Üst, Yanal Sınırlar ve Kalınlık:

Akgöl Formasyonu'nun tabanı inceleme alanı içerisinde sadece Sarpin Yayla ve Ballıkaya güneyinde görülmektedir. Burada Akgöl Formasyonu doğrudan metamorfitt temel üzerine uyumsuz olarak gelmektedir.

Birimini, Bürnük Formasyonu ve Akkaya Kireçtaşı uyumsuz olarak üstlerler.

Akgöl Formasyonu'nun kalınlığı, Kayadibi Mahalle-sinde ölçülen tip kesitinde 375 m. olarak bulunmuştur.

### Fosil Topluluğu ve Yaşı :

Akgöl Formasyonu fosil yönünden sterildir. Çok sayıda yapılan ince kesit, yıkama, nanno ve palinolojik örnekler fosilsiz çıkmıştır.

Ancak, bir taraftan inceleme alanı dışında Muzrup Köyü yöresinde bu birimin tabanında Triyas yaşı kırmızı renkli kireçtaşlarının yer alması (Blumenthal, 1948; Geiss, 1954; Ketin ve Gümüş, 1963; Bailey ve dig., 1967) ve birim içerisinde Kire yakınlarında Kovenko (1944), İnebolu-Kire arasında Ketin (1962)'in Liyas'a ait a m m o n i t ve b e l e m n i t fosilleri bulması, diğer taraftan birimin Dogger-Malm yaşı Bürnük Formasyonu ile Akkaya Kireçtaşı tarafından üstlenmesi Akgöl Formasyonu'nun Liyas (?) yaşında olabileceğini göstermektedir.

### Cökelme Ortamı :

Kumtaşı, şeyl ve marn ardalanmasının olağanlığı ile kumtaşı katman tabanlarında tortul yapıların gözlenmesi, birimin türbit akıntılarının etkili olduğu denizel bir ortamda çökeldiğini göstermektedir.

### Deneştirme :

Akgöl Formasyonu, Cide-Kurucağı ile bölgesinde Akyol ve dig.(1974)'nin Himmetpaşa Formasyonu ve Daday-Devrekani kuzeydoğu kesiminde Yılmaz (1980)'ın Börümce Formasyonu ile deneştirilebilir özelliktedir.

### 1.3. BÜRNÜK FORMASYONU (Jb)

#### Tanımı ve Dağılımlı:

Formasyon, Blumenthal (1940) tarafından polijenik taban konglomerası olarak tanımlanmış olup, daha sonra Ketiç ve Gümüş (1963), Gedik ve diğ. (1981) birimi, Bürnük Formasyonu adı altında incelemişlerdir.

Birim yersel olarak, Kayadibi Mahallesi, Ömerli Yayla güneyi, Çukurhan güney yöreni ile Atmaca Dere boyunca yüzeylemektedir.

#### Litolojisi ve Tip Kesiti :

Formasyon, kırmızı renkli, iyi çimentolanmış, polijenik heterojen çakıltaşlarından oluşmuştur (Foto-2). Çakıl boyutları bir kaç cm. den 40-50 cm. ye kadar değişirler. Çakıllar kötü boylanmalı ve katmanlidır. Çakıl ögele-rini kuvars, kuvarsit, kristalize kireçtaşı, granit, diyo-rit, volkanik ve metamorfik kayaçlar ile alttaki Akgöl Formasyonu'na ait parçalar oluştururlar. Birim içinde yer, yer kırmızı renkli, orta katmanlı kumtaşı düzeyleri geliş-miştir.

Formasyonun tip kesiti Kayadibi Mahallesi kuze-yinde ölçülüştür (Şekil-3). Ölçülen kesitte (Pafta E 33-cl, Başlangıç: x=4615420, y=647650, z=1310 m. ; Bitiş: x=4615350, y=647570, z=1305 m.) alttan üste doğru yukarıda Özellikleri açıklanan çakıltaş fasiyesi gözlenmiştir.

#### Mikroskopik Özellikler:

Örnek No : SD - 9/2  
(Alındığı Yer :: Akçoluk Yayla)

Kayaç taneli dokuda olup, başlica kuvars, altere olmuş plajiolas, biyotit ve kalsit içermektedir. Biyotit-ler kloritleşmiş, plajiolaslar ise serizitleşmiştir. Çakıl bir derinlik kayacına ait olup, olasılıkla granodiyo-ritten tıremedir.

Örnek No : SD - 9/1  
(Alındığı Yer: Akçoluk Yayla)

Mikrokonglomeratik Kumtaşı: Orta boylanmalı olup, başlica kuvars, plajiolas ve muskovit içermektedir.



Foto-2 : Bürnük Formasyonu'nu oluşturan polijenik heterojen çakıltası (Çokran Yayla, Atmaca Dere).

#### Alt, Üst, Yanal Sınırlar ve Kalınlık:

Birimin alt sınırı Akgöl Formasyonu ile uyumsuzdur. Üzerinde ise uyumlu olarak Akkaya Kireçtaşı yer alır. Bürnük Formasyonu'nun yanal devamlılığı yoktur. Birim, Akgöl Formasyonu ile Akkaya Kireçtaşı arasında mercekler şeklinde gözlenmektedir.

Bürnük Formasyonu'nun kalınlığı Kayadibi kesitinde 65 m. olarak ölçülmüştür.

#### Fosil Topluluğu ve Yaşı:

Birim karasal ortamda çökeldiği için fosil içermez. Ancak, Liyas yaşı Akgöl Formasyonu ile Bathoniyen-Kimmeriyaen yaşı Akkaya Kireçtaşı arasında yer aldığından yaşı Alt-Orta Dogger (?) olarak kabul edilmiştir.

#### Cökelme Ortamı :

Litoloji bölümünde belirtilen özelliklerinden dolayı, birim karasal bir ortamda çökelmıştır. Formasyon içinde denizel fosillerin bulunmayışı, kırmızı renk, kötü

katmanlanma ve boylanma ile yanal fasiyes değişikliği bu görüşü doğrulamaktadır.

Bu verilerin ışığı altında, Bürnük Formasyonu'nun kurak ve yarı kurak iklim kuşağı altında gelişmiş alüvyon yelpazeleri (Bull, 1962) olarak çökeldiği düşünülmektedir.

#### Denetirme :

Bürnük Formasyonu, Akyol ve diğ. (1974)'nin Cide-Kurucası ile bölgesindeki Hımmetpaşa Formasyonu Çakıltası Üyesi ile Yılmaz (1980)'in Daday-Devrekani kuzeydoğu kesimindeki Muzrup Formasyonu ile denetirilebilir.

#### 1.4. AKKAYA KİREÇTAŞI (Jak)

##### Tanımı ve Dağılımı:

Blumenthal (1940) tarafından "Resif Kalkeri" ve "Felsenkalke" adı altında incelenmiş olan formasyon mertebesindeki Akkaya Kireçtaşı inceleme alanında, Kepez Tepe, Eğrek Tepe, Semeköy kuzeyi, Hamzalı Yayla, Çaltepe, Çaldağ, Ballıkaya, Bektaş Yayla, Soğukgöl Mevki, Aptalkiran Tepe, Kayadibi Mahallesи kuzeyi ve Akpınar Yayla yörelerinde yüzeylemektedir. Birimi Gedik ve diğ. (1981) Akkaya Kireçtaşı olarak tanımlanmıştır.

##### Litolojisi ve Tip Kesiti :

Birim, gri, bej renkli, masif ve kalın katmanlı, fosilli, yer yer resifal özellikteki kireçtaşından oluşmuştur (Foto- 3). Tip kesiti Çukurhan yakınındaki Akkaya Tepe'de ölçülmüştür (Şekil- 4). Burada ölçülen kesitte (Pafta E 33-c3, Başlangıç:  $x=4606710$ ,  $y=661200$ ,  $z=1130$  m ; Bitiş:  $x=4605150$ ,  $y=662260$ ,  $z=710$  m.) tabandan tavana doğru 78 adet örnek alınmıştır. Alınan örneklerin mikroskopik incelemesi Folk (1962) sınıflamasına göre yapılarak, kireçtaşı istifinin genel hatlarıyla mikrofasiyes özellikleri ortaya konmuştur. Bu sınıflamaya göre birim, aşağıdan yukarıya doğru şu özelliklerini sunar:

- 0 - 62 m. Biyomikrit, Biyointramikrit.
- 62 - 122 m. Oosparit, Biyo-oosparit, Biyopelsparit.
- 122 - 181 m. Mikrit, Biyomikrit, Biyointramikrit.

- 181 - 219 m. Biyo-oointrasparit, Oopelsparit,  
 219 - 260 m. Mikrit,  
 260 - 293 m. Oosparit.  
 293 - 320 m. Biyomikrit,  
 320 - 340 m. Biyo-oosparit,  
 340 - 380 m. Biyomikrit,  
 380 - 391 m. Biyo-oosparit,  
 391 - 531 m. Mikrit, Biyomikrit,  
 531 - 567 m. Oosparit,  
 567 - 653 m. Mikrit, Biyomikrit,  
 653 - 766 m. Oopelsparit, Biyointrapelssparit,  
                           Biyo-oosparit  
 766 - 816 m. Mikrit,  
 816 - 891 m. Oosparit, Pelsparit, İntraoosparit,  
                           Biyo-oosparit  
 891 - 899 m. Biyomikrit,  
 899 - 1000 m. Oobiyoinsparit, Oosparit,

Alt, Üst, Yanal Sınırlar ve Kalınlık :

Birim, altındaki Akgöl Formasyonu ile uyumsuz, Bürnük Formasyonu ile uyumludur. Akkaya Kireçtaşı'ni ayrıca Çağlayan Formasyonu uyumsuz olarak üstlemektedir.

Birimin kalınlığı, Akkaya Tepe'de ölçülen kesitte 1000 m., Kayadibi Mahallesi'nde ölçülen kesitte ise 50 m. olarak bulunmuştur.

Fosil Topluluğu ve Yaşı :

Akkaya Tepe'de ölçülen tip kesitinden alınan örneklerdeki:

- Pseudocyclammina lituus* YOKOYAMA  
*Protopeneroplis starata* WEYNSCHEK  
*Thaumatoporella parvovesiculifera* (ELLJOT)  
*Ammobaculites ceprolithiformis* SCHWAGER  
*Trocholina alpina* LEUPOLD  
*Cladoracorapsis minabilis* HELIX  
*Kurnibia* sp.  
*Trocholina* sp.  
*Cayeuxia* sp.

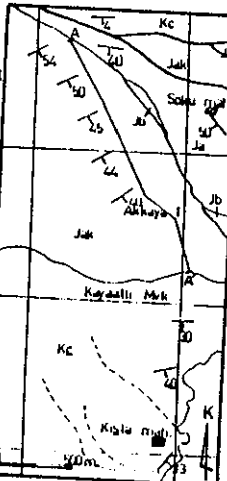
faunasına göre birim Bathoniyen - Kimmerisiyen yaşındadır (tayin, M.BURŞUK, 1982).

# AKKAYA KİREÇTAŞI TİP KESİTİ

PAFTA NO : E33-E  
 İL, İLÇE : Sinop-Bozabat  
 KESİT YERİ : Akkaya Tepe  
 OLÇME YÖNTEMİ: Pusla-Serit m.  
 OLÇEK : 1/2500  
 OLÇÜLEN FORM : Akkaya Kçt.  
 YAS : Dogger-Malm  
 KALINLIK : 1000 m.

## KOORDİNALTLAR

|           | X       | Y      | Z       |
|-----------|---------|--------|---------|
| Başlangıç | 4606710 | 661200 | 1130 m. |
| Bitiş     | 4616150 | 662260 | 210 m.  |

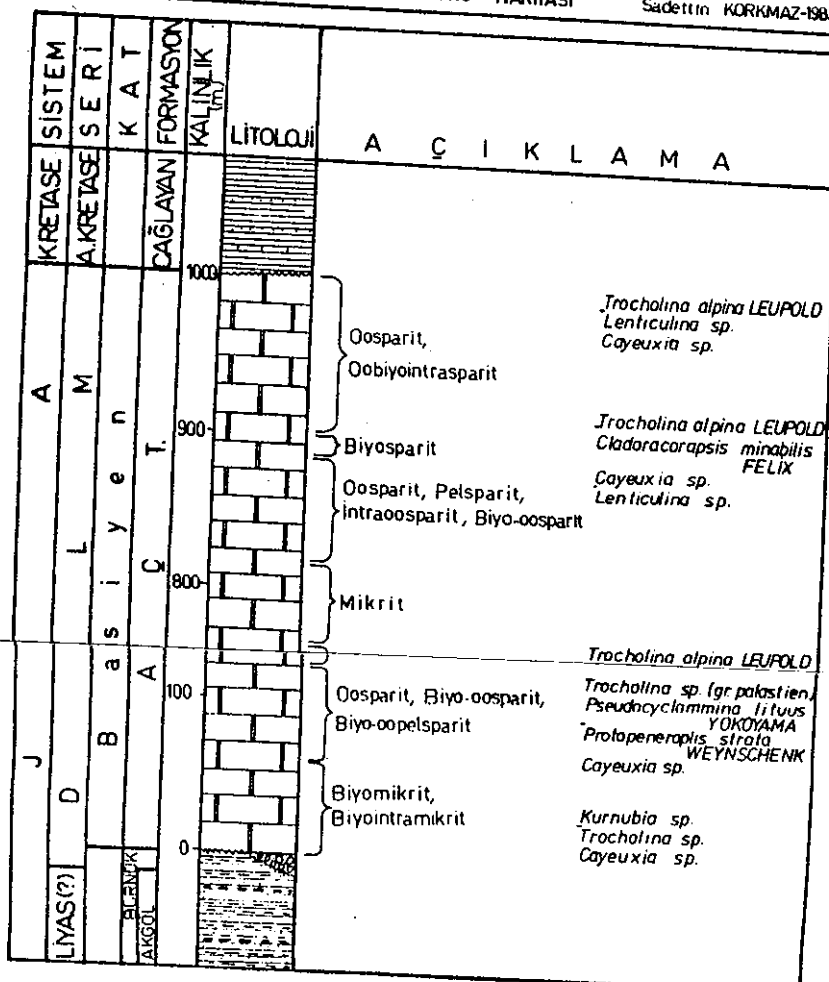


## ACIKLAMA

- [Box] Kc Caglayan Form.
- [Box] Jak Akkaya Kçt.
- [Box] Jb Burnuk Form
- [Box] Ja Akgol Form.
- Foy
- - - A Kesit yeri

BULDURU HARİASI

Sadettin KORKMAZ-1983



Şekil-4

Cökelme Ortamı :

Birim, litolojik ve paleontolojik özelliklerinden dolayı sig denizel bir ortamda cökelmıştır. Mikrofasiyes incelemelerinde mikritik ve sparitik çimento içerisinde bol oranda fosil, oolit ve intraklastlara rastlanması ortamın zaman zaman duraylı ve sakin, zaman zaman da çok sig ve yüksek enerjili olduğunu göstermektedir.

Denestirme :

Birim, Sinop-Ayancık bölgesinde Ketin ve Gümüş (1963)'ün İnaltı Kireçtaşı, Cide-Kurucaşile bölgesinde Akyol ve dig. (1974)'nin Kestanedağ Kireçtaşı, Daday-Devrekani kuzeydoğu kesiminde Yılmaz (1980)'ın Yukarıköy Formasyonu ile Terlemez ve Yılmaz (1980)'ın Ordu-Ünye-Reşadiye bölgesindeki Zinav Kireçtaşı ile tamamen denes-tilerebilir özelliktedir.

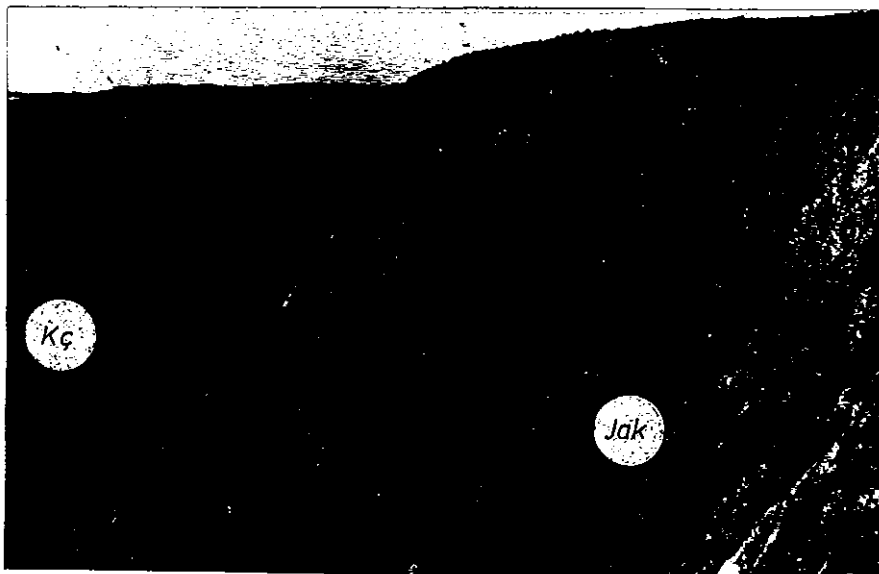


Foto-3 : Masif ve kalın katmanlı Akkaya Kireçtaşı (Jak) ile Çağlayan Formasyonu (Kç) (Çukursökü - Semeköy Mahalle arası)

### 1.5. ÇAĞLAYAN FORMASYONU (Kç)

#### Tanımı ve Dağılımı :

Blumenthal (1940) birimi kuzeyde "Taban Flişi" yada "Fındıklı Tabakaları, güneyde ise "Kretase Flişi" adı altında incelemiştir. Birim Ketin ve Gümuş (1963) tarafından Çağlayan Formasyonu olarak tanımlanmış olup, daha sonra Gedik ve dig. (1981)' de birimi aynı ad altında incelemiştir.

Çağlayan Formasyonu inceleme alanı içerisinde, Karacuk Mahallesi, Yanıkdağ, Doğanburnu Yayla, Akçakise, Çulhali, Hıdırlı, Hamzalı, Gürgenlidağ, Paşalioğlu Dere, Kayadibi Mahallesi, Zıpkın Mahallesi, Kayaaltı, Karaçomak Yayla, Kılıç Çayı, Çukurhanovası ve Semeköy yörelerinde yaygın olarak yüzeylemektedir.

#### Litolojisi ve Tip Kesiti:

Formasyon, kumtaşı, kumlu kireçtaşları ve kireçtaşları arakatmanlı, gri, siyah renkli marn ve şeYL ardalanmasından oluşmuştur (Foto-4). Kumtaşı katmanları özelliklerini yanal yönde uzun mesafeler boyunca korurlar. Katman kalınlıkları bir kaç cm'den 30-40 cm.ye kadar değişir. Katman tabanlarında yer yer tortul yapılar, katman içlerinde ise paralel laminalianma ile konvolüt laminalianma gözlenmektedir.

Birim, Bürnük'ün kuzey kesiminde yaklaşık % 80 oranında siyah renkli şeyllerden oluşurken, Bürnük-Çukurhan hattının güney kesimlerinde yer yer olağan kumtaşı, marn ve şeYL ardalanmasına dönmektedir. Ayrıca formasyonun içinde kalınlığı 10-50 m. arasında değişen proksimal türbiditik kumtaşları gelişmiştir. Bu düzeyler tipik olarak Sarıpın Dere'de (petrol sızıntısının olduğu yöre), Sarıkaya doğusunda ve Çukursökü Mahallesi'nin güneyinde görülmektedir (Foto-5). Bu kumtaşlarının mikroskopik incelemesi söyledir:

Örnek No: SK - 66

(Alındığı Yer : Ekinveran, petrol sızıntısı)

Kayaç, % 75 kuvars, % 10 feldspat, % 5 kayaç kırıntıları ve % 10 kalsit çimentodan oluşmaktadır. Kuvarsların çoğunluğu plütonik, az olaraka metamorfik kökenlidir. Örneği oluşturan elemanların oranı ise, % 80 kuvars,

% 15 feldspat ve % 5 kayaç kırıntısı olup, kayaca Feldspatlı Kuvars Kumtaşı adı verilmistir.



Foto-4 : Çağlayan Formasyonu'nu oluşturan siyah renkli şeyllerin görünümü (Sinop-Boyabat karayolu, Handeresi Mevki).

Formasyon içinde Aliç Mahallesi, Karatepe güneyinde Kesecik Dere boyunca yaygın olarak, boyutları bir kaç cm'den 10-20 m.ye kadar değişen kireçtaşlı olistolitleri yer almaktadır.

Birimin tip kesiti Bürnük-Handeresi boyunca ölülmüştür. Ölçülen kesit (Pafta E 33-cl, Başlangıç : x=4611740, y=653880, z=1270 m. ; Bitiş: x=4612200, y=654050, z=1230 m.) alttan üste doğru kumtaşı ve kumlu kireçtaşlı arakatmanları içeren ve % 90 oranında gri, siyah renkli şeyl ardalanmasından oluşmuştur (Şekil-5).

#### Mikroskopik Özellikleri :

Örnek No: SK - 86  
(Alındığı Yer : Karandı Mahallesi)

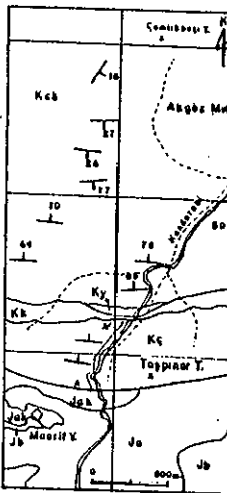
Örneğin bileşimi, % 35 kuvars, % 25 feldspat, % 8 kayaç kırıntısı, % 2 diğer elemanlar (klorit, demiroksit, opak mineral) ve % 30 kalsit çimentodur. Kuvars tanelerinin çoğunuğu plütonik kökenli, az bir kısmında metamorfik

# ÇAĞLAYAN FORMASYONU TİP KESİTİ

PAFTA NO : E<sub>33</sub>C<sub>1</sub>  
 İL, İLÇE : Sinop, Gerze  
 KESİT YERİ : Handeresl  
 ÖLÇME YÖNTEMİ : Pusula-şerilim.  
 ÖLÇEK : 1/1000  
 ÖLÇÜLEN FORM : Çağlayan  
 YAŞ : Alt Kretase  
 KALINLIK : 440 m.

## KOORDİNATLAR

|           | X      | Y      | Z       |
|-----------|--------|--------|---------|
| Başlangıç | 460740 | 653880 | 1270 m. |
| Bitiş     | 461220 | 654050 | 1230 m. |

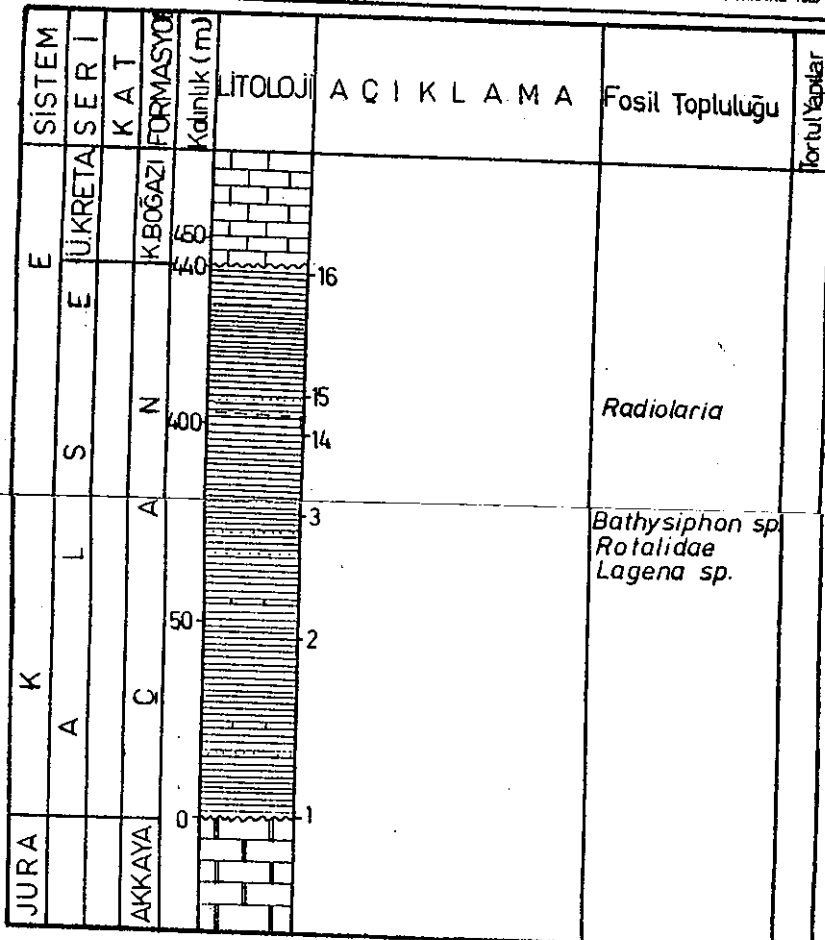


## AÇIKLAMA

- [Box] Kck Çankurtaran Form.
- [Box] Ky Yemişliçay Form.
- [Box] Kk Kapınboğazı Form.
- [Box] Kç Çağlayan Form.
- [Box] Jak Akkaya Kçl.
- [Box] JB Bürnük Form.
- [Box] Ja Akgöl Form.
- Fay
- Kesit Yeri

SULDURU HARİTASI

SADETTİN KORKMAZ-1963



Şekil-5

kökenlidir. Kırıntıları çogunu ise kireçtaşı taneleri oluşturmaktadır. Az olaraka mika ve gastropod kavkiları içermektedir. Kayacı oluşturan elemanların oranı % 55 kuvars, % 35 feldspat ve % 10 da kayaç kirintisidir. Örnek Kayaç Kirintılı Feldspatkumtaşı olarak adlandırılmıştır.

Örnek No: NN - 92

(Alındığı Yer : Ekinveran Köyü kuzeydoğu kesimi)

Kayaç, % 45 kuvars, % 20 feldspat, % 5 kayaç kirintisi, % 5 diğer elemanlar ve % 25 te kalsitten oluşan çimento içermektedir. Kayacı oluşturan elemanların oranı ise, % 60 kuvars, % 30 feldspat ve % 10 kayaç kirintisidir. Örnek, Kayaç Kirintılı Feldspatkumtaşı olarak adlandırılmıştır.



Foto-5 : Çağlayan Formasyonu içinde yer alan kalin katmanlı kumtaşı düzeyleri (Ekinveran Köyü, Sarıpın Dere)

### Alt, Üst, Yanal Sınırlar ve Kalınlık:

Çağlayan Formasyonu'nun alt sınırı Akkaya Kireçtaşısı, üst sınırı ise Kapanboğazı Formasyonu ile uyumsuzdur. Formasyonun tabanında, düşüy ve yanal yönde geçişli Çataltaş Üyesi gelişmiştir.

Formasyonun kalınlığı, Handeresi kesitinde 440 m., Kayadibi Mahallesi'nde ise 200 m. olarak ölçülmüştür. Bu kalınlık güney kesimlerde yer yer bin metreye yaklaşmaktadır.

### Fosil Topluluğu ve Yaşı :

Birim, fauna yönünden oldukça fakirdir. Kireçtaşlı ve marnlı düzeylerden alınan örneklerde bulunan;

*Epistomina sp.*

*Lenticulina sp.*

*Nodosaria sp.*

*Lenticulina münsteri (ROEMER)*

mikrofaunasına göre birim, Alt Kretase yaşındadır (tayin, A. BURŞUK, 1981).

Birimin, üst düzeylerinin yaşı;

*Euhoplites sp.*

makro fosiline göre Orta-Üst Albiyen'dir (tayin, O. BATUR, 1981).

Ayrıca, formasyonun marnlı düzeylerinde bulunan;

*Nannoconus steinmanni KAMPTNER*

*Watznaueria barnae (BLACK)*

nanno faunasına göre (tayin, V. TOKER, 1982) birimin yaşı yine Alt Kretase olarak bulunmuştur.

### Cökelme Ortamı :

Formasyonun, farklı litolojik özellikler göstermesi, Alt Kretase öncesinin değişken paleorölyefine bağlıdır. Bu değişken paleorölyefin oluşturduğu çeşitli ortamlarda olistolitli çökeller, yüksek enerjili kıyı fasiyesi çökelleri, olağan fliş ile yer yer pirit içeren ve organik maddece zengin çökeller gelişmiştir.

Deneştirme :

Çağlayan Formasyonu, Akyol ve diğ. (1974)'nin Cide-Kurucaşile yöresindeki Ulus Formasyonu ve Yılmaz (1980)'ın Daday-Devrekani kuzeydoğu bölgesindeki Çatak Formasyonları ile denestrilebilir özelliktedir.

**1.5.1. ÇAĞLAYAN FORMASYONU  
ÇATALTAŞ ÜYESİ (Köç)**

Tanımı ve Dağılımı:

Bu birim inceleme alanı içerisinde, Çağlayan Formasyonu'nun tabanında Bürnük Mahallesi, Kuruçam Yayla, Ekinveren Dere, Çataltaş Tepe, Gölyeri Mevkii ve Kaşbaşı Yayla yörelerinde yüzeylemektedir.

En tipik görüldüğü yer Çataltaş Tepe'dir. Bu nedenle Çataltaş Üyesi olarak adlandırılmıştır.

Litolojisi ve Tip Kesiti :

Birim, genellikle sarımsı, pas renkli, kalın katmanlı, mikro çakıllı, iri taneli, gevşek çimentolu kumtaşlarından oluşmuştur. Üste doğru kumtaşı oranı azalmakta ve birimin litolojisi olağan kumtaşı, marn ardalanmasına dönüşmektedir. Birimin içindeki çakılların çoğunuğu tabandaki Akkaya Kireçtaşı'ndan türemişlerdir.

Tip kesiti Bürnük Mahallesi ile Çataltaş Tepe arasındaki Uyuzsuyu Dere boyunca ölçülümüştür (Şekil-6). Ölçülen tip kesit ( Pafta E 33-cl,c4, Başlangıç: x=4609950, y=654825, z=1250 m. ; Bitiş: x=4609725, y=654500 z=1160 m.) alttan üste doğru aşağıda belirtilen litolojik özellikleri gösterir:

0 - 40 m. Çakıllı, gevşek çimentolu, sarı, pas renkli, iri taneli kumtaşı.

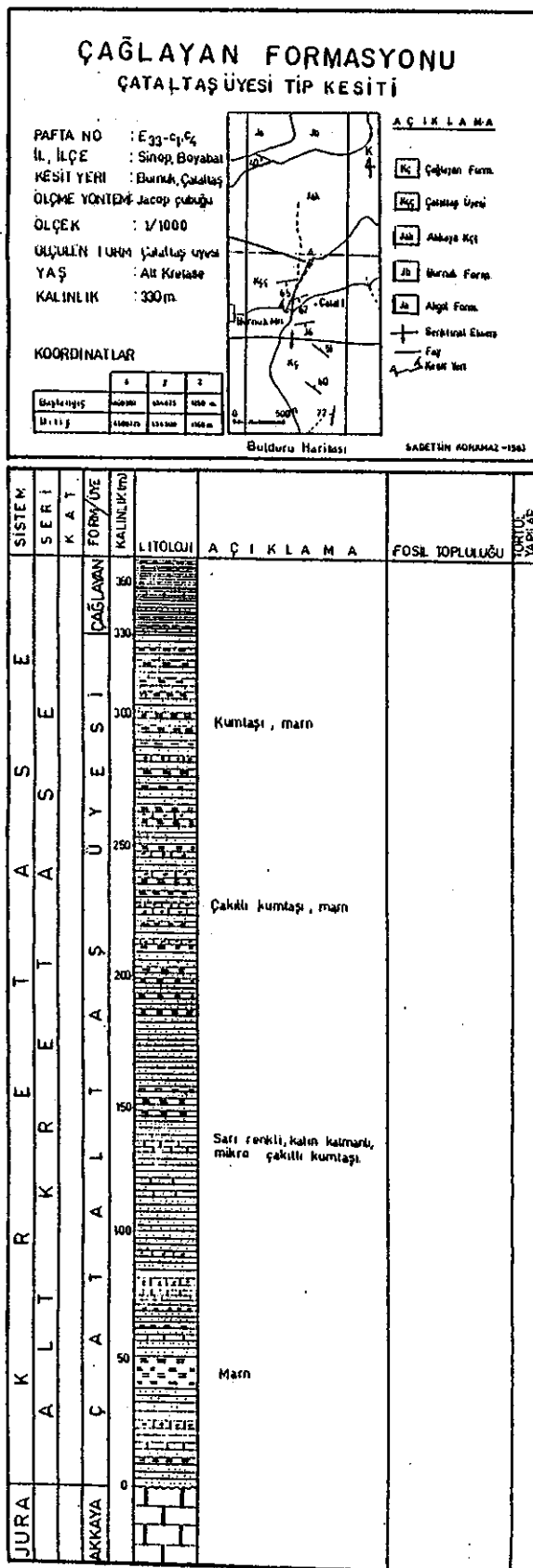
40 - 50 m. Marn

50 -200 m. Sarımsı, pas renkli, gevşek çimentolu, iri taneli, yer yer çakıllı kumtaşı.

200-250 m. Çakıllı, iri taneli kumtaşı ve marn, 250-330 m. Kumtaşı ve marn ardalanması.

Mikroskopik Özellikler :

Örnek No : BÜR - 9



Şekil-6

(Alındığı Yer : Bürnük - Çataltaş kesiti)

Kayacın bileşimi, % 40 kuvars, % 15 feldspat, % 5 kayaç kırıntısı ve % 40 kalsit çimentodan oluşmaktadır. Örnek orta taneli ve kötü boylanmalıdır. Kuvarslar çoğunlukla plütonik kökenlidir. Kayaç kırıntılarının çoğunluğun kireçtaşı, az olarakta biyotit ve foraminifer parçaları oluşturmaktadır. Örneği oluşturan elemanların oranı ise, % 65 kuvars, % 25 feldspat ve % 15 kayaç kırıntısıdır. Örnek Kayaç Kırıntılı Feldspatkumtaşı olarak adlandırılmıştır.

Örnek No : BÜR - 13

(Alındığı Yer : Bürnük - Çataltaş kesiti)

Örnek, % 45 kuvars, % 10 feldspat, % 20 kayaç kırıntısı, % 5 diğer elemanlar (opak mineral) ve % 20 oranında da kalsit çimento içermektedir. Kayacı oluşturan elemanların oranı ise % 55 kuvars, % 15 feldspat ve % 30 kayaç kırıntısıdır. Örnek, Feldspatlı Kayaç Kırıntılı Kumtaşı olarak adlandırılmıştır.

#### Alt, Üst, Yanal Sınırlar ve Kalınlık :

Birimin alt sınırı Akkaya Kireçtaşı ile uyumsuz, üst ve yanal yöndeki sınırları ise Çağlayan Formasyonu ile geçişli ve uyumludur.

#### Cökelme Ortamı :

Litolojik özelliklerinden dolayı birimin sıç, çalkantılı ve yüksek enerjili kıyı fasiyesinde cökeldiği düşünülmektedir.

#### Fosil Topluluğu ve Yaşı :

Birimin içinde taşınmış olarak Jura mikro faunası gözlenmiştir. Ayrıca bu üye Alt Kretase yaşılı Çağlayan Formasyonu ile düşey ve yanal geçişli olduğu için aynı yaşta kabul edilmiştir.

#### 1.6. KAPANBOĞAZI FORMASYONU (Kk)

##### Tanımı ve Dağılımı :

Birim, Blumenthal (1940) tarafından "Rozalinli

marn, kalker grubu" olarak tanımlamıştır. Daha sonra, Ketiç ve Gümüş (1963), Gedik ve diğ. (1981) birimi Kapanboğazı Formasyonu adı altında incelemişlerdir.

Kapanboğazı Formasyonu, inceleme alanında, Hamzalı Yayla, Çokran Yayla, Isırgan Dere, Çukurhan kuzeyi, Karaçayır Yayla, Paşalioğlu Mahallesı, Vayısoğlu Köyü, Çalış Mahallesı, Zıpkın Mahallesı ve Göktepe yöresinde tipik olarak yüzeylemektedir.

#### Litolojisi ve Tip Kesiti:

Formasyon, şarap kırmızısı renkli, orta-ince katmanlı, marnlı ve killi, yer yer çört yumru ve bantları içeren, bol Globotruncana'lı mikritik kireçtaşlarından oluşmuştur (Foto-6).

Birimin tip kesiti, Çokran Yayla, Dörtkavak Dere-sinde ölçülmüştür (Şekil-7). Burada ölçülen tip kesitte (Pafta E 33-c3, Başlangıç:  $x=4607620$ ,  $y=661200$ ,  $z=1090$  m.; Bitiş:  $x=4607940$ ,  $y=661330$ ,  $z=1080$  m.) alttan üste doğru şu litolojik özellikler gözlenmiştir:

0 - 91 m. İnce-orta katmanlı, şarap kırmızısı renkli, çörtlü, yer yer marn arakatlı, Globotruncana'lı mikritik kireçtaşı.

91 - 138m. Pembe, beyaz, bej renkli, iyi katmanlı, çört yumru ve bantları içeren, laminalı, killi kireçtaşı ve kireçtaşı.

138 - 241m. Kahve, boz gri renkli, ince laminalı, silttaşı, kumtaşı, kumlu kireçtaşı arabantlı kireçtaşı.

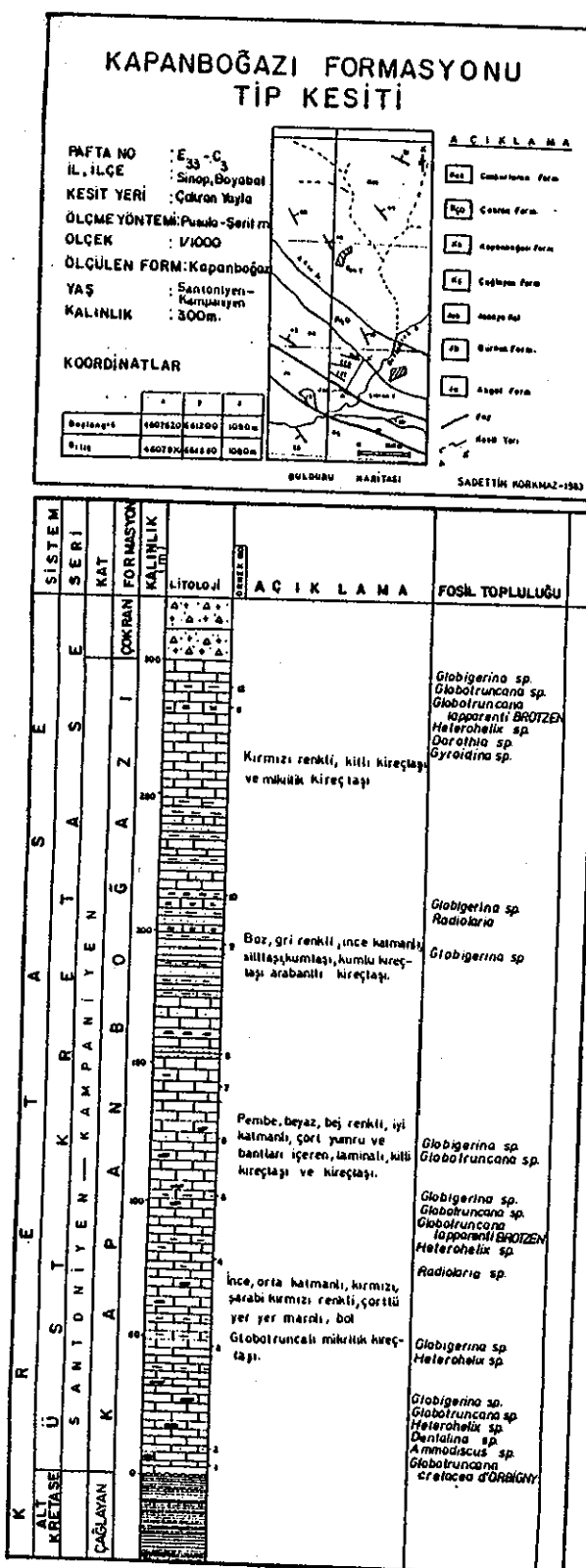
241 - 298m. Kırmızı renkli, kumtaşı, killi kireçtaşı ve mikritik kireçtaşı.

#### Mikroskopik Özellikler :

Örnek No : ÇOK - 5

(Alındığı Yer : Çokran Yayla, Dörtkavak kesiti)

Örnek, % 90 oranında mikritik çimento, % 10 oranında biyojen içermektedir. Bu nedenle kayaç Biyomikrit olarak adlandırılmıştır (Mikrofoto-2).



Şekil-7

Alt, Üst, Yanal Sınırlar ve Kalınlık :

Kapanboğazı Formasyonu'nun altı sınırı Çağlayan Formasyonu ile uyumsuz, üst sınırı ise Yemişliçay Formasyonu ile uyumludur. Birim, ayrıca Cankurtaran Formasyonu tarafından aşmalı olarak örtülmektedir.

Birimin kalınlığı, 25 m. ile 300 m. arasında değişmektedir. Çokran Yayla'da 298 m., Kayadibi Mahallesi'nde 25 m. kalınlık ölçülmüştür.

Fosil Topluluğu ve Yaşı :

Formasyondan alınan örneklerde bulunan ;

*Globotruncana cf. calcarata* (CUSHMAN)

*Globotruncana tricarinata* (QUERAU)

*Globotruncana cf. Linneiana* (d'ORBIGNY)

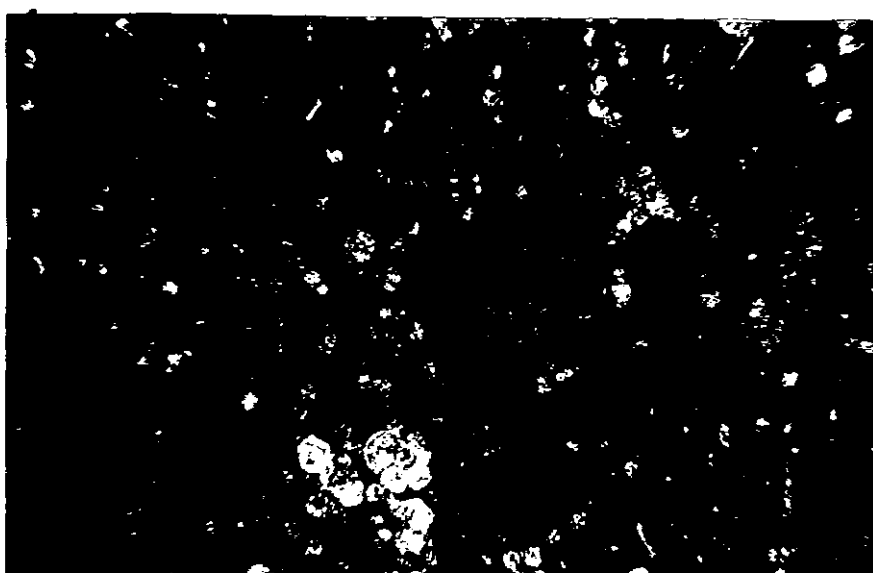
*Globotruncana arca* (CUSHMAN)

*Globotruncana cf. concavata* (BROTZEN)

*Globotruncana elevata* BROTZEN

*Globotruncana cretacea* d'ORBIGNY

mikro faunasına göre birime, Santoniyen - Kampaniyen yaşı verilmiştir (tayin, E. SİREL, 1983).



Mikrofoto-2 : Biyomikrit  
(Obj.3,5 × Okù.12,5)



Foto-6 : Kapanboğazi Formasyonu'nu oluşturan kırmızı renkli mikritik kireçtaşları (Çokran Yayla, Tepecik Tepe)

#### Cökelme Ortamı :

Formasyon, kırmızı renkli biyomikritlerden oluşmuştur. Biyomikritlerin oluşum ortam ve koşulları genellikle sakin ve düşük enerjiliidir. İçerdiği pelajik fauna ve çörtler ise ortamın oldukça derin bir deniz olduğunu göstermektedir. Kırmızı rengin varlığı ise formasyon içinde bulunan yaklaşık % 1.50 oranındaki  $Fe_2O_3$ 'ten ileri gelmektedir.

Kırmızı rengi veren  $Fe_2O_3$ , muhtemelen ortama cökelme anında laterit yada terra rosaların oluşturduğu bir kaynak alanından taşınmıştır (Pelin ve dig., 1982).

#### Denetirme :

Kapanboğazi Formasyonu, Akyol ve dig. (1974)'nin Cide-Kurucasile bölgesindeki Unaz Kireçtası, Yılmaz (1980) in Daday-Devrekani kuzeydoğu yöresindeki Kirensökü Formasyonu, Terlemez ve Yılmaz (1980)'in Ordu-Ünye-Reşadiye bölgesindeki Mesudiye Formasyonu Nebişehir Kireçtası Üyesi ile denetirilebilir özellikleştir.

Birim ayrıca, Doğu Pontidler'de, Alp (1972)'in

Sarılar Formasyonu, Tokel (1972)'in Kermutdere Formasyonu, Seymen (1975)'in Kızıltepe Formasyonu ve Pelin (1977)'in Elmalı Dere Formasyonları ile de denetirilebilir.

Geniş yayılımı ve tipik litolojisi ile birimin Pontidler stratigrafisinde özel bir yeri vardır.

### **1.7. YEMİŞLİÇAY FORMASYONU (Ky)**

#### **Tanımı ve Dağılımı:**

Yakın yörelerde, Keten ve Gümüş (1963), Gedik ve dig. (1981) birimi Yemişliçay Formasyonu adı altında incelemişlerdir.

Birim, inceleme alanı içerisinde Congal Dere, Kökçam Dağı, Kozcığaz Dere, Kanruk Dağı, Akbaş Köyü, Arabın Köy, Kırkgeçit Çayı, Boyalı, Kurtini ve Kazlı Köy yörelerinde yüzeylemektedir.

#### **Litolojisi ve Tip Kesiti:**

Formasyon, marn, kumtaşı, kumlu kireçtaşlı arakatmanları içeren, tuf ve tüfit ardalanmasından oluşmuştur (Foto- 7). Genellikle orta-kalın katmanlı olup, katman tabanlarında yer yer çeşitli tortul yapılar gözlenmektedir.

Formasyonu oluşturan tüfler, kristal, vitrit ve litik tuf olmak üzere ayrılmaktadır.

- Kristal Tüfler : Esas olarak kristal tanelerinden oluşmuşlardır. Genellikle kırılmış ve aşınmış köşeli taneler içerirler.

- Vitrik Tüfler : Esas olarak volkanik cam parçalarından oluşmuşlardır. Cam parçaları 4 mm. den daha küçük olup çeşitli biçim ve şekillerdedir. Renkleri açık ile koyu kahverengi arasında değişir.

- Litik Tüfler : Kayaç parçalarından oluşan tüflereidir. Boyutları 4 mm. den küçük lav parçacıklarından oluşmuşlardır. Bu parçalar değişik kökenlidirler.

Birimin tip yeri Kırkgeçit Çayı boyuncadır. Burada ölçülen tip kesitte (Pafta E 33-c2, Başlangıç: x=4622050, y=662160, z=470 m. ; Bitiş: x=4623930, y=663200, z=550 m.)

aşağıdan yukarıya doğru başlıca şu özellikler gözlenmiştir (Şekil- 8).

- 0 - 72 m. Marn arabantlı, orta-kalın katmanlanma gösteren litik tuf ardalanması.
- 72 - 218 m. Kalın katmanlı litik ve vitrik tuf ardalanması.
- 218 - 290 m. Kumtaşı, marn, vitrik tuf, litik tuf.
- 290 - 494 m. Orta-kalın katmanlı vitrik tuf ve litik tuf ardalanması.
- 494 - 515 m. Marn, vitrik tuf, litik tuf.
- 515 - 540 m. Litik tuf ve kristal tuf.
- 540 - 561 m. Litik tuf ve vitrik tuf.
- 561 - 659 m. Kumtaşı, marn, litik tuf, vitrik tuf ve kristal tuf ardalanması.
- 659 - 755 m. Litik tuf ve kristal tuf ardalanması.
- 755 - 875 m. Litik tuf, vitrik tuf, kristal tuf ardalanması.

#### Mikroskopik Özellikler :

Örnek No : N - 31

(Alındığı Yer : Kozcığaz Köyü)

Kayaç içerisinde, volkanik kökenli parçalar ile ojit, epidot, klorit, kalsit, plajiolas, serizit ve opak mineraller izlenmiştir. Plajiolaslar killeşmişlerdir. Ojit ve epidotlarda kloritleşmeler görülmektedir. Örnek, Tuf olarak adlandırılmıştır.

#### Alt, Üst, Yanal Sınırlar ve Kalınlık:

Birimin alt sınırı Kapanboğazı Formasyonu, üst sınırı da Cankurtaran Formasyonu ile uyumludur. Yemişliçay Formasyonu yanal yönde de Çokran Üyesi ile geçlidir.

Birimin kalınlığı, Kırkgeçit Çayı'nda ölçülen kesitte 875 m., Akbaş Çay'da ölçülen kesitte ise 700 m. bulunmuştur.

#### Fosil Topluluğu ve Yaşı :

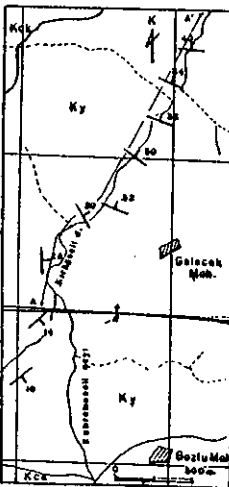
Formasyon içinde yer alan marnlı düzeylerde *Globotruncana* sp. (Üst Kretase) mikro faunası gözlenmiştir. Ayrıca yine bu marnlı düzeylerde bulunan ;

# YEMİŞLİÇAY FORMASYONU TİP KESİTİ

PAFTA No : E<sub>33</sub> C<sub>2</sub>  
 İL İLÇE : Sinop-Gerze  
 KESİT YERİ : Kırkçeçit D.  
 ÖLÇME YÖNTEMİ : Pusula-şerit m.  
 ÖLÇEK : 1/2000  
 ÖLÇÜLEN FORM : Yemişliçay  
 YAŞ : Alt Moestrihien  
 KALINLIK : 875m.

### KOORDİNATLAR

|          | X       | Y      | Z      |
|----------|---------|--------|--------|
| Bastanıç | 4622060 | 662180 | 470 m. |
| Bitti    | 4623930 | 663200 | 550 m. |



### AÇIKLAMA

- [KCK] Çankurtaran Form.
- [Ky] Yemişliçay Form.
- [←] Antiklinal Ekseni
- [↗] Kesiş Yeri
- [~] Kaval Yapısı
- [—] Oluk Yapısı

BULDURU HARİTASI

SADETTİN KÖRKMAZ-1983

| SİSTEM | SERİ | KAT | FORMASYON | KALINLIK [m] | LITOLOJİ | ÖRNEK No. | AÇIKLAMA   | FOSİL TOPLULUĞU | TORTUL YAPILAR |
|--------|------|-----|-----------|--------------|----------|-----------|--|-----------------|----------------|
| R      | E    | Y   |           | 900          |          |           |  |                 |                |
| K      | Ü    | A   |           | 850          |          |           | Orta , kalın katmanlı,<br>Litik tuf , vitrik tuf,<br>kristal tuf ardalanması.  |                 |                |
|        | S    | L   |           | 800          |          | 19        |  |                 |                |
|        | A    | T   |           | 750          |          | 18        |  |                 |                |
|        | Ü    | A   |           | 700          |          | 8         |  |                 |                |
|        | S    | L   |           | 650          |          |           | Kalın katmanlı,litik ve<br>vitrik tuf ardalanması.                             |                 |                |
|        | A    | T   |           | 600          |          | 7         |  |                 |                |
|        | Ü    | A   |           | 550          |          | 6         |  |                 |                |
|        | S    | L   |           | 500          |          | 5         |  |                 |                |
|        | A    | T   |           | 450          |          | 4         |  |                 |                |
|        | Ü    | A   |           | 400          |          | 3         | Marn arabantlı, orta, kalın<br>katmanlanması gösteren<br>litik tuf ardalanması |                 |                |
|        | S    | L   |           | 350          |          | 2         |  |                 |                |
|        | A    | T   |           | 300          |          | 1         |  |                 |                |
|        |      |     | KAPAN-    |              |          |           |  |                 |                |
|        |      |     | DOĞAÇI    |              |          |           |  |                 |                |

Şekil-8

*Arkhangelskiella cymbiformis* VEKSHJNA  
*Lucianorhabdus cayeuxi* DE PLANDRE  
*Microhabdulus decoratus* DE PLANDRE  
*Zygotolithus diplogrammus* DE PLANDRE  
*Cretanorhabdus crenulatus* BRAMLETTE ve SULLIVAN  
*Watznaueria barnaese* ( BLACK )

(tayinler, V.TOKER ve E.ERKAN, 1983) nanno faunasına göre birime, Alt Maastrichtiyen yaşı verilmiştir.

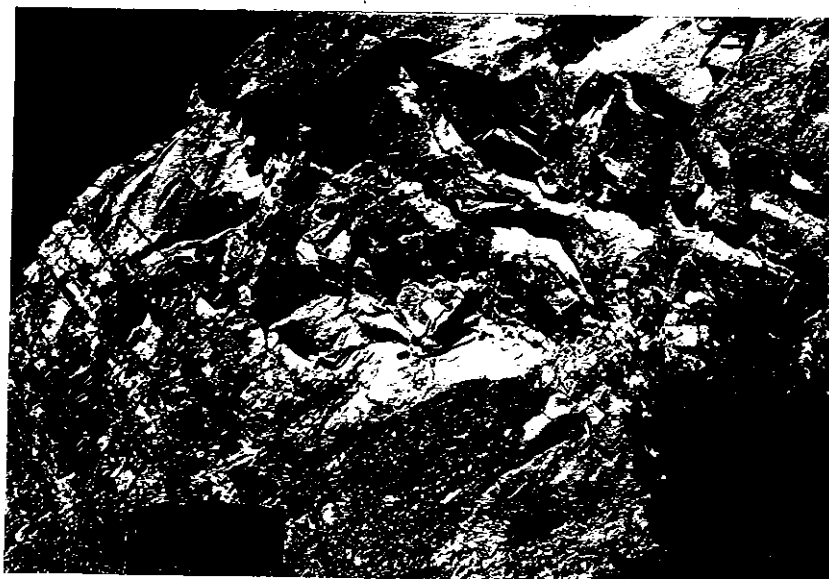


Foto-7 : Yemisliçay Formasyonu'nu oluşturan tüfitlerin genel görünümü (Kazlı Mahallesi)

#### Cökelme Ortamı :

Formasyonda, kumtaşı, marn, tuf ve tüfit ardalanmasının olağanlığı, pelajik fauna ve çeşitli tortul yapiların varlığı, katmanların yanal yönde uzun mesafeler boyunca devam etmesi birimin şelf ilerisi bir ortamda ve türbit akıntılarının etkili olduğu alanlarda çökeldiğini göstermektedir.

#### Denéstirmə :

Birim, Cide-Kuruçaşile bölgesinde Akyol ve dig. (1974)'nin Kuruçaşile Formasyonu Yeniceköy ve Kumbos Tüfit Üyeleri ve Terlemez ve Yılmaz (1980)'ın Ordu-Ünye

Resadiye bölgesindeki Mesudiye Formasyonları ile denetimlenebilir.

### **1.7.1. YEMİŞLİÇAY FORMASYONU ÇOKRAN ÜYESİ (Kço)**

#### Tanımı ve Dağılımı :

Çokran Üyesi, inceleme alanı içerisinde, Hacılar Mahallesi, Zincirlikuyu Mahallesi, Elmacık Yayla ve Çesnigir Yayla güney kesiminde yüzeylemektedir. Tip kesiti Çokran Yayla'da ölçüldüğü için birim Çokran Üyesi olarak adlandırılmıştır. Blumenthal (1940) ise birimi "Yassialan Kaya ve Elmacık Yayla Breşi" olarak tanımlamıştır.

#### Litolojisi ve Tip Kesiti :

Birim, traki-andezitik, dasitik ve andezitik lav, tuf ve aglomeralardan oluşmakta, genellikle masif, yer yer kalın katmanlanma gösterir. Tüfler genellikle litik karakterdedir.

Üyenin tip kesiti Çokran Yayla'da ölçülmüş (Pafتا E 33-c3, Başlangıç:  $x=4607940$ ,  $y=661330$ ,  $z=1080$  m.; Bitiş:  $x=4608110$ ,  $y=66450$ ,  $z=1110$  m.) ve alttan üste doğru yukarıda tanımlanan aglomera, lav, tuf ardalanması gözlenmiştir (Şekil-9).

#### Mikroskopik Özellikler :

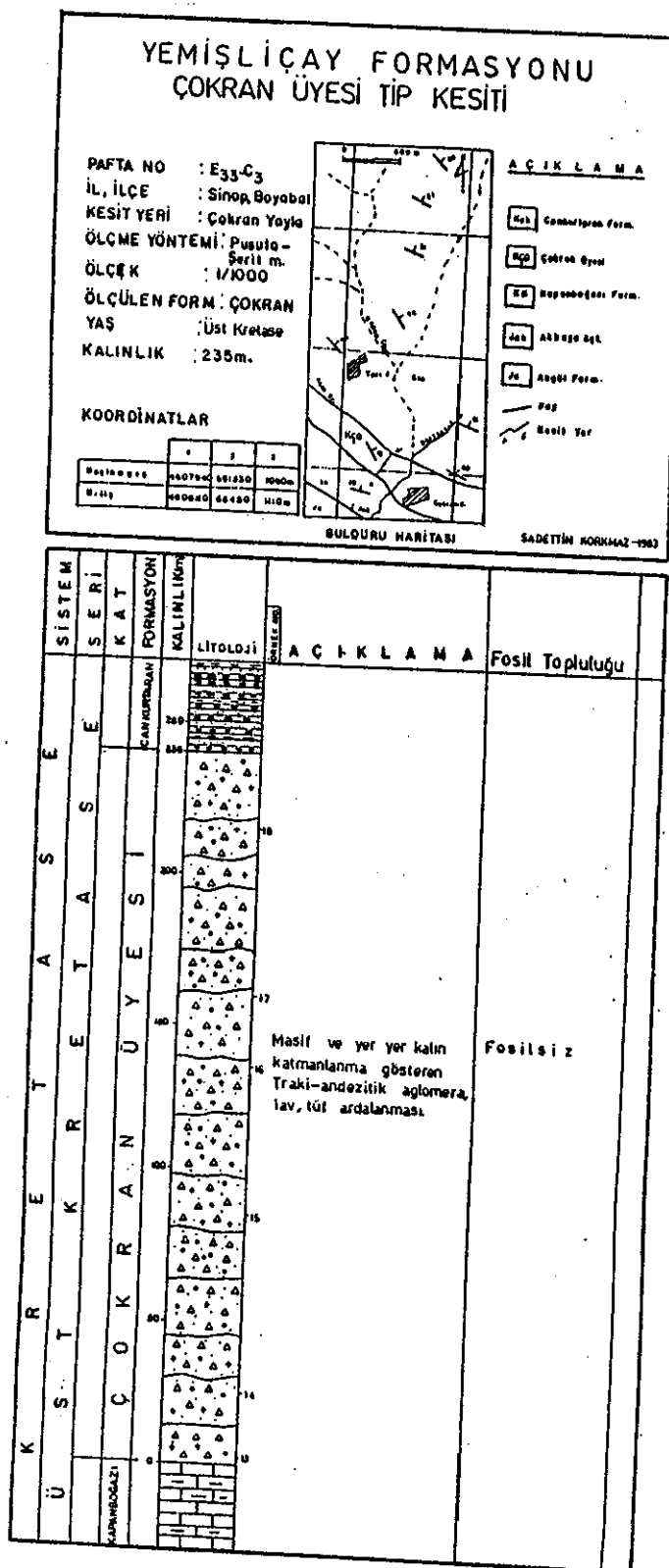
Örnek No: ÇOK - 16 , 18  
(Alındığı Yer : Çokran Yayla Kesiti)

Örnekler, felsik ve hyalopilitik dokuda olup, hamurunu feldspat ve yarı opak mineraller oluşturmaktadır. Feldspatlar plajicklas ve alkali feldspat türündedir. Ayrıca kloritleşmiş amfibol pseudomorfları ve biyotit gibi mafik mineraller gözlenmektedir. Fenokristal olarak yine plajicklaslar izlenmektedir. Hamurda yer yer opaklaşmalar görülmektedir (Mikrofoto-3).

Kayaç, Traki-andezit olarak tanımlanmıştır.

#### Alt, Üst, Yanal Sınırlar ve Kalınlık:

Birimin alt sınırı Kapanboğazlı Formasyonu, üst



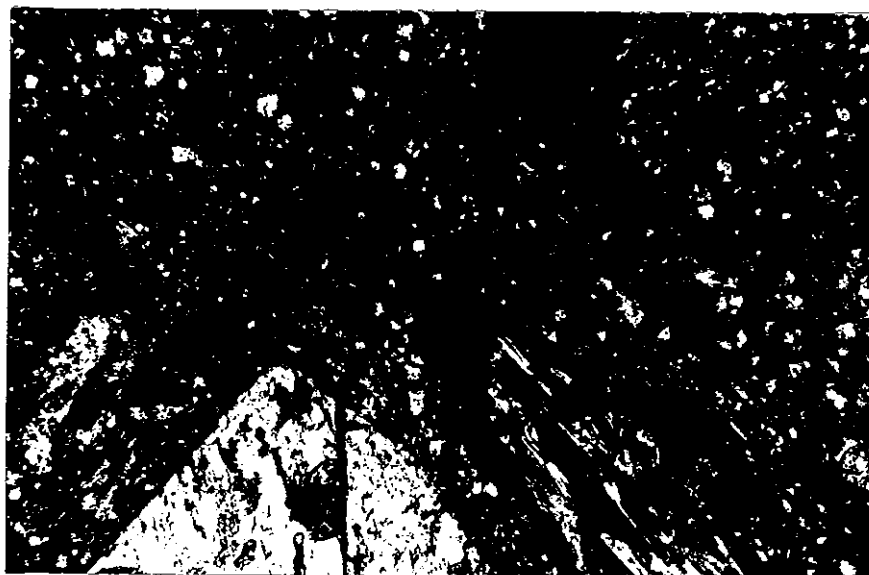
Şekil-9

siniri ise Cankurtaran Formasyonu ile uyumludur. Üye yanal yönde de Yemişliçay Formasyonu ile geçişlidir.

Üyenin kalınlığı Çokran Yayla'da ölçülen kesitte 235 m. olarak bulunmuştur. Bu kalınlık doğu yönünde daha da artmaktadır.

#### Fosil Topluluğu ve Yaşı:

Birim fosil içermez. Ancak, Alt Maastrichtiyen yaşılı Yemişliçay Formasyonu ile yanal geçişli olduğu için aynı yaşıta kabul edilmiştir.



Mikrofoto-3 : Traki-andezit  
(Obj.6,3 × Okü.12,5)

#### 1.8. CANKURTARAN FORMASYONU (Kck)

##### Tanımı ve Dağılımı :

Blumenthal (1940)'ın "Orta Fliş" olarak tanımladığı bu birim, Gayle (1959), Badgley (1959). Gedik ve dig. (1981) tarafından Cankurtaran Formasyonu olarak incelenmiştir.

İnceleme alanında gözlenen en yaygın birimdir. Başlıca Sazlıköy, Ulugöl Dağı, Cankurtaran Mevki, Karadağ,

Kahramaneli, Duvaçam, Kapandağ, Başsökü, Hıdırlı, Sinop-Boyabat yolu, Hımmetoğlu, Hürremşah, Kurtlu, Şemşo Mahallesi, Bakioğlu ve Karşıdağ yörelerinde yüzeylenir.

#### Litolojisi ve Tip Kesiti :

Formasyon, türbiditik kumtaşı, silttaşısı, çamurtaşısı, marn ve şeyl ardalanmasından oluşmuştur (Foto-8). Kumtaşı katman tabanlarında kaval yapıları (flut cast), oluk yapıları (groove cast), yük kalıpları (load cast), katman içlerinde ise Bouma (1962) türbidit istifleri yaygın olarak gözlenmektedir. Katman üstlerinde ise biyojenik izlere rastlamak olağandır. Kumtaşı katmanları özelliklerini yanal yönde ve uzun mesafeler boyunca korurlar. Marn ve şeyller bol oranda pelajik fauna içerirler.



Foto-8 : Cankurtaran Formasyonu'nu oluşturan marn ve kumtaşı ardalanması (Çokran Yayla, Dörtekavak Sırtı'na bakış)

Birimin tip kesiti, Çokran Yayla, Dörtekavak Sırtı boyunca ölçülmüştür (Şekil-10). Ölçülen tip kesitte (Paf-ta E 33-c2, c3, Başlangıç:  $x=4607950$ ,  $y=662050$ ,  $z=1135$  m.; Bitiş:  $x=4610870$ ,  $y=663220$ ,  $z=1170$  m.) alttan üste doğru başlıca şu litolojik özellikler gözlenmiştir:

0 - 449 m. Orta-ince tabakalı, kumtaşı, kumlu kireçtaşı, silttaşısı ve kireçtaşısı arakat-

- manlı marn ve şeyl ardalanması.
- 449 - 621 m. Kumlu kireçtaşı, marn ve şeyl arakat-manlı kumtaşı.
- 621 - 810 m. Marn ve kumtaşı ardalanması.
- 810 - 950 m. Silttaşısı, kumtaşı ve marn ardalanması.
- 950 - 1064 m. Marn arakatmanlı, silttaşısı, kumtaşı ardalanması.
- 1064-1218 m. Kumtaşı, silttaşısı, marn ardalanması.
- 1218-1418 m. Kumtaşı, kumlu kireçtaşı, silttaşısı, çamurtaşı ve marn ardalanması.

#### Mikroskopik Özellikler :

Örnek No : ÇOK - 40

(Alındığı Yer : Çokran Yayla Kesiti)

Kayacın bileşimi, % 40 kuvars, % 15 feldspat, % 5 kayaç kirintisi ve % 40 kalsit çimentodan oluşmaktadır. Örnek içindeki elemanların oranı ise % 60 kuvars, % 30 feldspat ve % 10 kayaç kirintisidir. Örnek Feldspatkumtaşı olarak adlandırılmıştır.

Örnek No : ÇOK - 47

(Alındığı Yer : Çokran Yayla Kesiti)

Örnek, % 35 kuvars, % 20 feldspat, % 15 kayaç kirintisi, % 5 diğer elemanlar (klorit, opak mineral, demiroksit) ve % 25 kalsit çimento içermektedir. Kuvarslar plütonik ve metamorfik kökenlidirler. Örneği oluşturan elemanların oranı ise % 55 kuvars, % 25 feldspat ve % 20 kayaç kirintisi olup, örnek Kayaç Kirintılı Feldspatkumtaşı olarak adlandırılmıştır.

Örnek No : ÇOK - 51

(Alındığı Yer : Çokran Yayla Kesiti)

Kayaç, % 30 kuvars, % 10 feldspat, % 15 kayaç kirintisi, % 5 diğer elemanlar (klorit, opak mineral) ve % 40 kalsit çimentodan oluşmuştur. Kayacı oluşturan elemanların oranı ise, % 55 kuvars, % 20 feldspat ve % 25 kayaç kirintisidir. Örnek Feldspatlı Kayaç Kirintılı Kumtaşı olarak tanımlanmıştır.

#### Alt, Üst, Yanal Sınırlar ve Kalınlık :

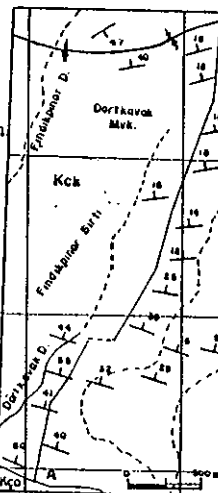
Formasyonun alt sınırı, Yemişliçay Formasyonu ve Çokran Üyesi ile geçişlidir. Birim, yer yer aşmalı olarak

# CANKURTARAN FORMASYONU TİP KESİTİ

PAFTA NO : E33-C2 , C3  
 İL, İLÇE : Sinop-Boyalat  
 KESİT YERİ : Dört kavak Sr.  
 ÖLÇME YÖNTEMİ : Pusula-şerit m  
 ÖLÇEK : 1/2000  
 ÖLÇÜLEN FORM : Can kurtaran  
 YAS : Maestrichtiyen  
 KALINLIK : 1415 m.

## KOORDİNATLAR

|           | X       | Y      | Z     |
|-----------|---------|--------|-------|
| Başlangıç | 4607950 | 662050 | 1135m |
| Bitti     | 4610870 | 663220 | 1170m |



## ACIKLAMA

- [KCK] Çankurtaran Form
- [Kçç] Çokran Üyesi
- [+/-] Senkilinal Eksen
- [A/A'] Kesit Yeri
- [~] Kaval Yapısı
- [---] Konvolut Laminasyon
- [—] Paralel Laminasyon
- [Dotted] Derecelenme

BULDURU HARİTASI

SADETTİN KORKMAZ - 1983

| SİSTEM | SERİ | KAT | FORM. | KALINLIK | LİTOLOJİ  | AÇIKLAMA  | FOSİL TOPLULUĞU  | TORTULUK | YAZILARI |
|--------|------|-----|-------|----------|-----------|---|--|----------|----------|
| E      | E    | c   | N     | 1415     | 62        |   |  |          |          |
|        |      | e   |       | 1400     | 61        |   |  |          |          |
|        |      |     |       |          | 60        |   |  |          |          |
|        |      |     |       |          | 59        | Kumtaşı, kumlu kireçtaşı, silttaşlı, marn ardanlanması. | Globotruncana sp.<br>Textularia subconica FRANKE<br>Dorothia sp.<br>Pullenia sp. |          |          |
|        |      |     |       | 1300     | 58        |   |  |          |          |
|        |      |     |       |          | 57        |   |  |          |          |
|        |      |     |       | 1200     | 56        |   |  |          |          |
|        |      |     |       |          | 55        |   |  |          |          |
|        |      |     |       |          | 54        |   |  |          |          |
|        |      |     |       |          | 25        | silttaşlı arakatmanlı, marn ve şeyl ardanlanması        | Oyrorina sp.<br>Gaudryina sp.  |          |          |
|        |      |     |       | 200      | 24        |   |  |          |          |
|        |      |     |       |          | 23        |   |  |          |          |
|        |      |     |       |          | 22        |   |  |          |          |
|        |      |     |       |          | 21        |   |  |          |          |
|        |      |     |       |          | 20        |   |  |          |          |
|        |      |     |       |          | 19        |   |  |          |          |
|        |      |     |       |          | 0         |   |  |          |          |
|        |      |     |       |          | Δ + O Δ + |   |  |          |          |
|        |      |     |       |          | + Δ + O Δ |   |  |          |          |
|        |      |     |       |          | O + Δ + O |   |  |          |          |

Şekil-10

Kapanboğazı Formasyonu'nu da örtmektedir. Birimin üst sınırı kuzeyde, inceleme alanının dışında kalır.

Cankurtaran Formasyonu Sinop-Gerze bölgesinde üzerine gelen Maastrichtiyen-Paleosen yaşlı Akveren Formasyonu ile geçişlidir (Gedik ve diğ., 1981).

Ekinveran Fay zonu boyunca yüzeyleyen Cankurtaran Formasyonu genellikle kireçtaşı arakatmanlı marnlardan oluşmuştur. Bu yörede Cankurtaran Formasyonu üzerine geçişli olarak Çaltu Formasyonu gelmektedir.

Birimin kalınlığı, Çokran Yayla'da ölçülen kesitte 1418 m., Kayadibi Mahallesi'nde ölçülen kesitte ise 200m. olarak bulunmuştur. Formasyonun kalınlığı kuzeydoğuya doğru artmaktadır.

#### Fosil Topluluğu ve Yaşı :

Birimden alınan örneklerdeki;

*Globotruncana lapparenti* BROTZEN

*Globotruncana stuarti* LAPPARENT

*Globotruncana arca* ( CUSHMAN )

*Globotruncana ventricosa* WHITE

*Textularia subconica* FRANKE

(tayin, H. KARACAOĞLU, 1981) mikro faunasına göre birim Maastrichtiyen yaşıdadır.

Ayrıca, aşağıda belirlenen nanno faunaya göre de birimin yaşı yine Maastrichtiyen olarak bulunmuştur (tayin, V. TOKER, E. ERKAN).

*Eiffellithus turrisicifelli* (DE PLANDRE)

*Micula stauropora* ( GARDET )

*Microhabdulus decoratus* DE PLANDRE

*Predicosphaera cretacea* ( ARKHANGELSKY )

*Lucianorhabdus crenulatus* BRAMLETTE ve MARTINJ

*Lucianorhabdus cayeuxi* DE PLANDRE

*Cretarhabdus crenulatus* BRAMLETTE ve MARTINJ

*Lithrophidites quadratus* BRAMLETTE ve MARTINJ

*Watznaueria barnaesa* ( BLACK )

### Gökelleme Ortamı :

Formasyonda, kumtaşı, marn ve şeyl ardalanmasının olağanlığı yanında, katman içi ve katman tabanı tortul yapilar içermesi, kumlu düzeylerin derecelenme ve uzun mesafeler boyunca yanal devamlılık göstermesi gibi sedimentolojik özellikler ile taşınmış bentonik fosillerin azlığına karşın pelajik faunanın bolluğu, bu formasyonun fliş olarak tanımlanabileceğini göstermektedir (Bouma, 1962; Dzulynski ve Smith, 1964; Dzulynski ve Walton, 1965; Şenalp ve Fakioğlu, 1977).

Bu veriler, birimin şelf ilerisi bir ortamda ve türbit akıntılarının etkili olduğu alanlarda çökeldiğini kanıtlamaktadır (Stanley ve Unrug, 1972).

### Deneştirme :

Cankurtaran Formasyonu, Keten ve Gümüş (1963)'ün Sinop-Ayancık bölgesindeki Gürsökü Formasyonu, Akyol ve diğ. (1974)'nin Cide-Kuruçaşile yöresindeki Hisarköy Formasyonu, Terlemez ve Yılmaz (1980)'ın Ordu-Ünye-Resadiye bölgesindeki Fatsa Formasyonu ile deneştirilebilir.

### 1.9. ÇALTU FORMASYONU (Kpç)

#### Tanımı ve Dağılımı :

Formasyon, inceleme alanının güneyinden geçen Ekinveran Fayı boyunca, Balkaya, Bayamca kuzeyi, Ekinveran Köyü, Ulutepe Mevki, Ardışılıburun Sırtı güneyi ve Çaltu Mahallesi'nde tektonik dilimler halinde yüzeylemektedir (Foto-9). En tipik Çaltu Mahallesi'nde görüldüğü için Çaltu Formasyonu olarak adlandırılmıştır. Blumenthal (1940) birimi, "Ekinveran Tabakaları" serisi içinde incelemiştir.

#### Litolojisi ve Tip Kesiti :

Formasyonun alt düzeyleri, orta-ince katmanlı, beyaz renkli kireçtaşları, killi kireçtaşları ve marnlardan, üst düzeyleri ise, gri, bej renkli, masif ve kalın katmanlı fosilli kireçtaşından oluşmuştur. İnceleme alanı içindeki dokanakları faylı olduğu için tip kesiti çıkar-

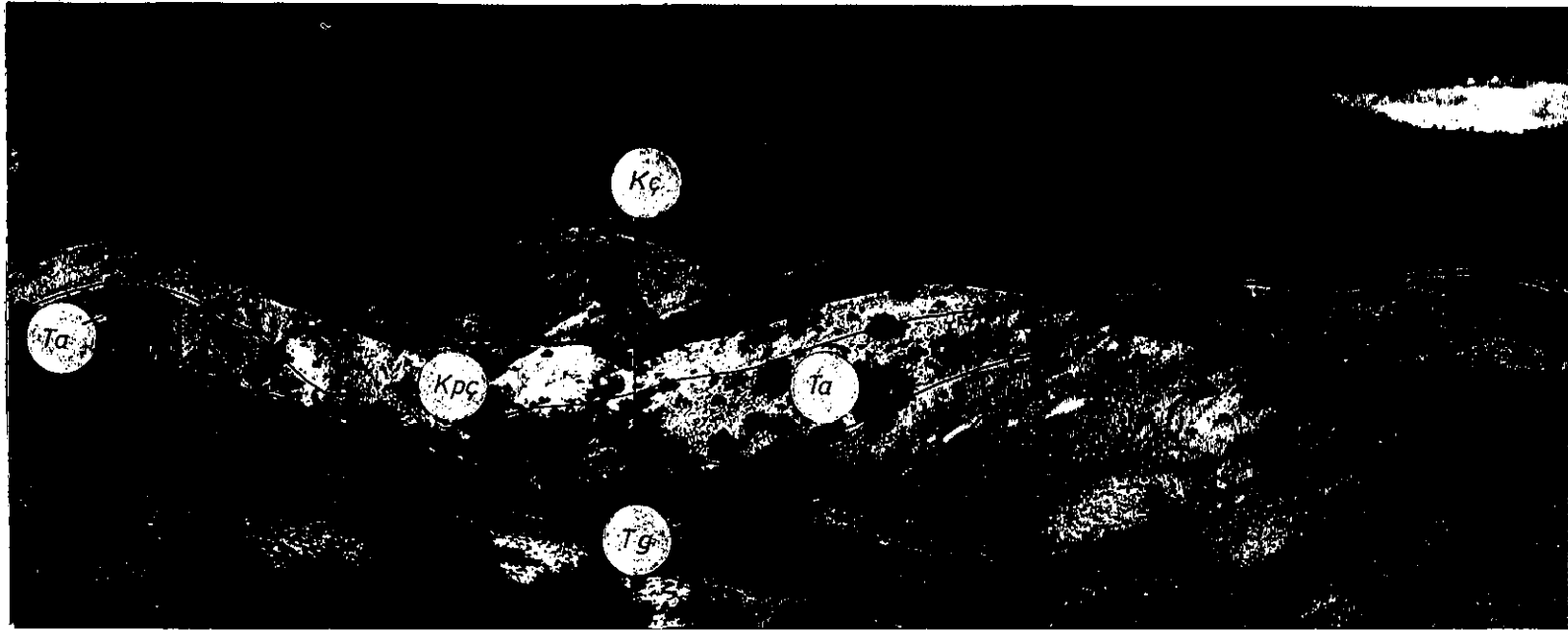


Foto-9 : Ekinveran fay zonu boyunca yüzeyleyen Çağlayan Formasyonu (Kç),  
Çaltu Formasyonu (Kpc), Ardıçlı Formasyonu (Ta) ve Gökırılmak  
Formasyonu'nun (Tg) görünümü (Ardıçlıburun Sırtı güneyi)

tilamamıştır (Şekil-11).

**Mikroskopik Özellikler :**

Örnek No : KR - 10

(Alındığı Yer : Yusuflu Mahallesi, Karakaş Mevki)

Birimin alt düzeylerinden alınan bu örneğin çimentosu % 75 oranında mikritten oluşmaktadır. Örnek ayrıca % 25 oranında da biyojen içermektedir. Bu nedenle kayaca Biyomikrit adı verilmiştir.

Örnek No : KR - 13

(Alındığı Yer : Ekinveran Köyü girişi)

Formasyonun üst düzeylerinden alınan örneğin içeriği çimento oranı % 40 sparit olup, % 55 oranında biyojen ve % 5 oranında da detritik malzeme içermektedir. Örnek Biyosparit olarak adlandırılmıştır.

**Alt, Üst, Yanal Sınırlar ve Kalınlık :**

Birimin, inceleme alanındaki dokanakları genellikle faylidir. Ancak, yer yer alt ve üst dokanaklarının korunduğu kesimler vardır. Ayrıca inceleme alanının batısında Sakız ve Hanönü yörelerinde dokanak ilişkileri belirgin olarak gözlenmektedir.

Çaltı Formasyonu, alttan Cankurtaran Formasyonu, üsttende Ardıçlı Formasyonları ile uyumludur.

Birimin görülenebilen kalınlığı 10-50 m. arasında değişmektedir.

**Fosil Topluluğu ve Yaşı :**

Birim, fosil yönünden oldukça boldur. Özellikle üst düzeyleri bol olarak Brakiopod, Ekinit, Pelecypod ve Belemnit makro fosilleri içerir. Bunların tanım ve tayinleri Blumenthal (1940) tarafından verilmiştir.

Formasyonun alt düzeylerinden alınan örneklerde ki:

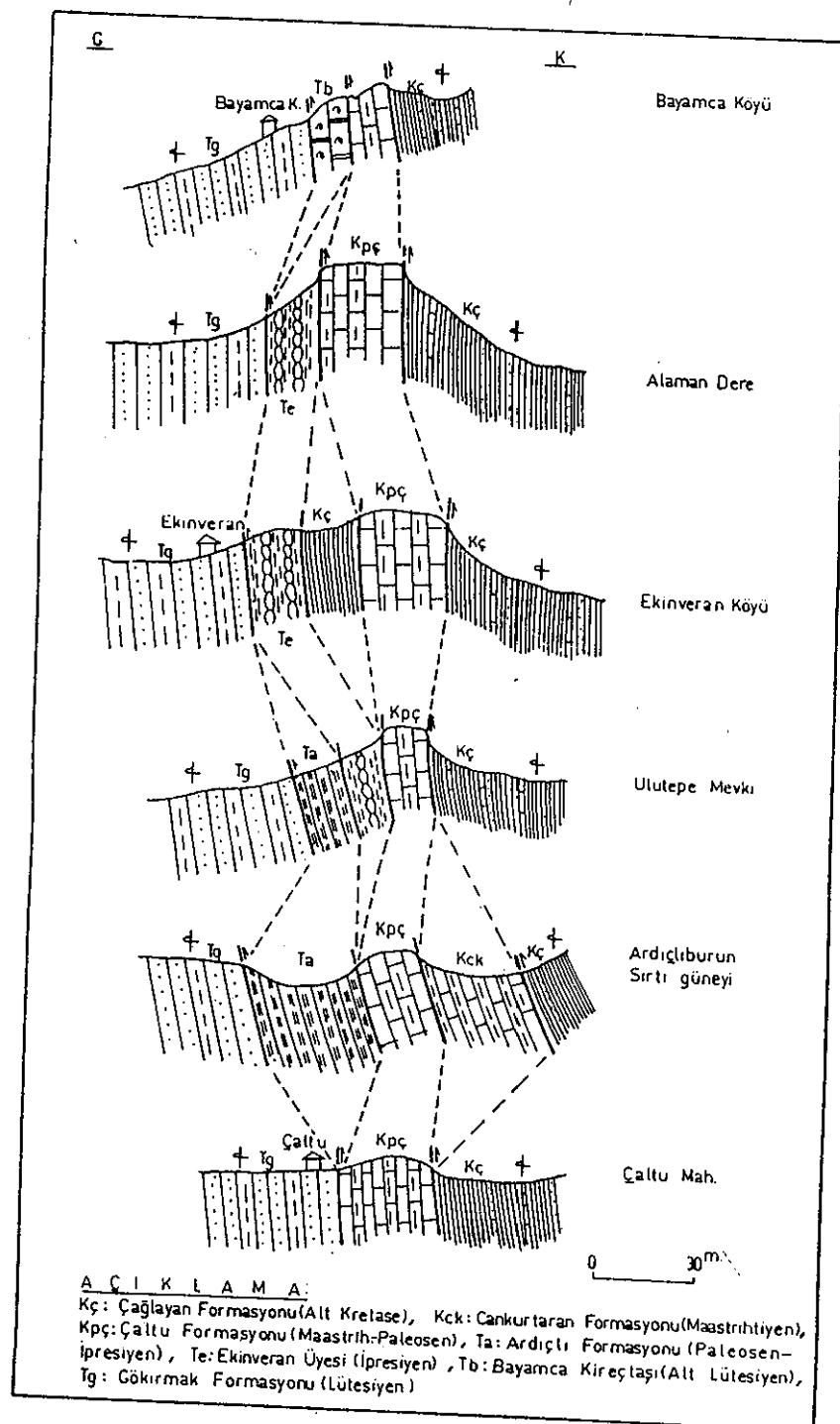
*Globotruncana sp.*

*Globotruncana stuarti LAPPARENT*

*Globotruncana lapparenti-tricarinata ( QUEREAU )*

*Globotruncana lapparenti BROTZEN*

*Globotruncana cf. lapparenti BROTZEN*



**Şekil-11 : Ekinveran fay zonu boyunca tektonik dilimler halinde yüzeyleyen birimlerin enine şematik kesitleri**

*Globotruncana cf. arca* (CUSHMAN)  
 (tayin, H. KARACAOĞLU, 1981). faunasına göre birime Maastrihtiyen yaşı verilmiştir.

Birimin üst düzeylerinden alınan örneklerde bulunan;

*Siderolites hereclea* ARNİ

*Dorothia:Marsonella cf. oxiconco* REUSS

*Lepidorbitides* sp.

*Mississippina* sp.

*Globorotalia* sp. (Paleosen tipi)

*Siderolites* sp.

faunası ise Üst Maastrichtiyen - Paleosen yaşı vermiştir  
 (tayinler; E. SİREL, B. SÖZERİ, 1982).

#### Cökelme Ortamı :

Formasyon, litolojik, paleontolojik ve mikrofasyes özelliklerinden dolayı gittikçe sağlamış denizel bir ortamda cökelmıştır.

Birimin alt düzeyleri düşük enerjili sakin ortamları simgeleyen mikrit ve biyomikritlerden, üst düzeyleri ise genellikle sağlam ve yüksek enerjili ortamları simgeleyen biyosparitlerden oluşmuştur. Ayrıca üst düzeylerde rastlanan bol makro fosil topluluğu ortamın kıyıya yakın ve sağlam olduğunu göstermektedir.

#### Denetim :

Birim, Gayle (1959), Badgley (1959), Kettin ve Gümüş (1963), Gedik ve dig. (1981)'nin Sinop-Ayancık-Gerze bölgelerindeki Akveran Formasyonu, Akyol ve dig. (1974)'nın Cide-Kuruçâşile yöresindeki Akgünay Formasyonu, Yılmaz (1980)'in Daday-Devrekani kuzeydoğu kesimindeki Kaygunca Formasyonu, Terlemez ve Yılmaz (1980)'in Ordu-Ünye-Reşadiye Bölgesindeki Gölköy Formasyonları ile denetirilebilir özelliktedir.

### 1.10. PERVANEKAYA FORMASYONU (Kpp)

#### Tanımı ve Dağılımı :

Birim, inceleme alanının güneybatı yöresinde, Boyabat ilçesi içindeki Pervanekaya Tepe ile Kale Tepe'de yüzeylemektedir. En tipik Pervanekaya Tepe'de görüldüğü için Pervanekaya Formasyonu olarak adlandırılmıştır.

#### Litolojisi ve Tip Kesiti :

Formasyonun taban kesiminde, masif görünümlü, sarımsı renkli, gevşek çimentolu ve çakıllı kumtaşları yer almaktadır. Birim içindeki çakılların boyutları 1-5 cm. arasında değişmektedir. Çakılların çoğunluğu kuvarsit olup, alttaki metamorfiterden türemedir. Birimin üst düzeyleri ise, masif ve kalın katmanlı, beyaz, bej renkli, yer yer dolomitik özellikteki kireçtaşından oluşmuştur (Foto-10).

Formasyonun tip kesiti Kolaz Çayı boyunca ölçülmüştür (Şekil-12). Ölçülen kesitte (Pafta F 33-bl, Başlangıç: x=4592200, y=647800, z=350 m.; Bitiş: x=4592400, y=647800, z=355 m.) alttan üste doğru şu litolojik özellikler gözlemlenmiştir:

0 - 10 m. Gevşek çimentolu, sarımsı renkli, kumtaşı, kumlu kireç taşı.

10- 100 m. Beyaz, bej renkli, masif ve yer yer dolomitik kireç taşı.

#### Mikroskopik Özellikler :

Örnek No: B - 5

(Alındığı Yer : Boyabat Kalesi)

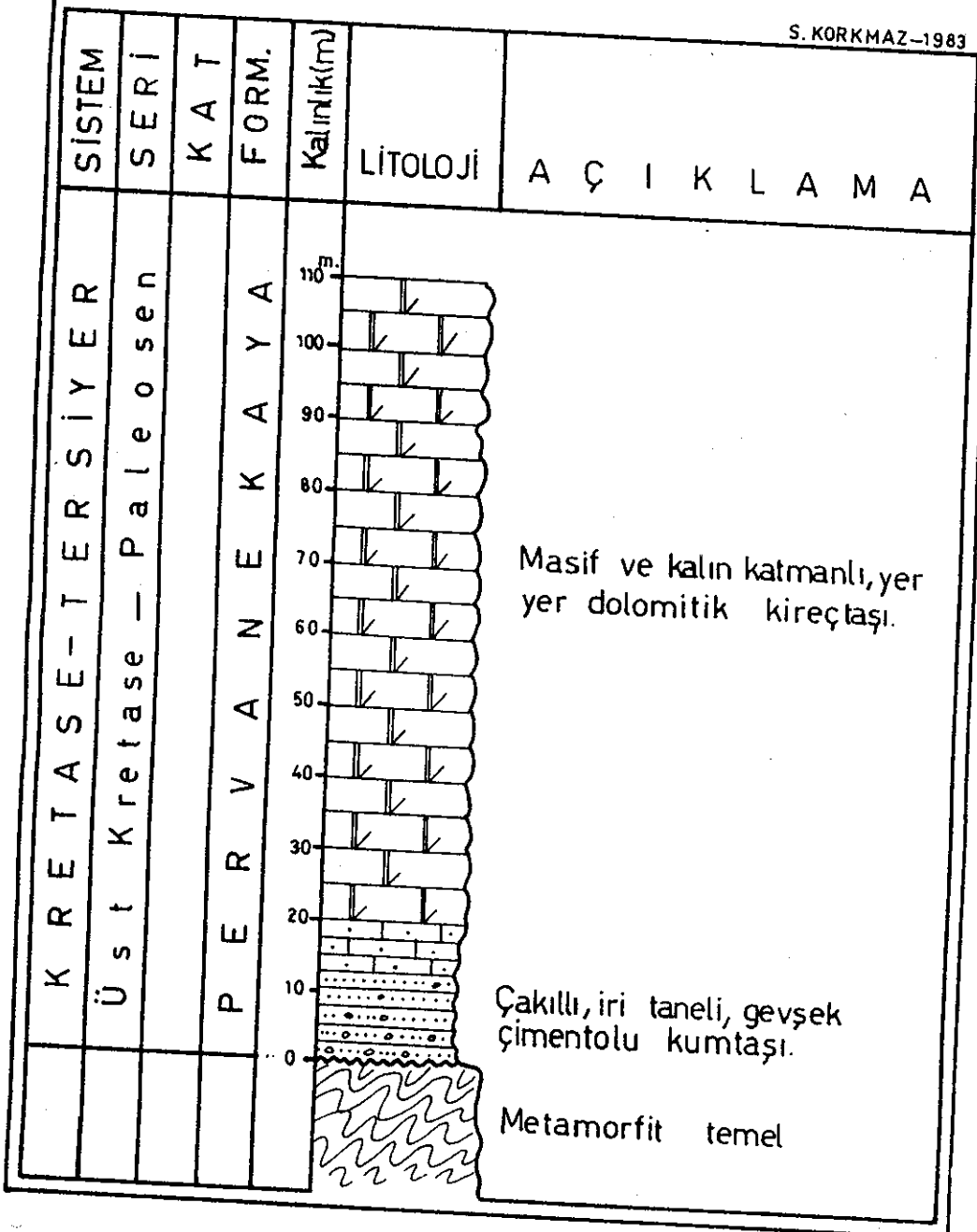
Formasyondan alınan örnek üzerinde yapılan incelemede, % 30 sparitik çimento, % 20 intraklast, % 40 pellet, ve % 10 oranında da biyojen içeriği saptanmıştır. Kayaç, Biyointrapel sparit olarak adlandırılmıştır.

#### Alt, Üst, Yanal Sınırlar ve Kalınlık :

Formasyon, Boyabat Metamorfiteri üzerine açısal uyumsuzlukla oturur. Üzeri aşınmış olup, yer yer Sakızdağ Formasyonu tarafından uyumsuz olarak üstlenmektedir.

# PERVANEKAYA FORMASYONU TİP KESİTİ

S.KORKMAZ-1983



Şekil-12

Birim, aynı yaştaki Çaltı Formasyonu ile yanal geçişli ve onun kıyı fasiyesi olarak yorumlanmıştır.

Formasyonun kalınlığı 20 - 110 m. arasında değişmektedir.

#### Fosil Topluluğu ve Yaşı :

Birimin tabanındaki kumlu düzeylerde bulunan makro fosillerin tayini Chavan (1940) tarafından yapılmıştır. Bunlar :

*Trigonia cf. pseud. NÖTLING*

*Neithea cf. quinquecostata SOWERBY*

*Pyconodonta vercularis LAMARCK*

*Exogyra conica SOWERBY*

Ayrıca yine Arni (1940) aynı bölgeden aldığı örneklerde ki,

*Orbitoides media D'ARCH*

*Orbitoides spiculata SCHLUMBERGER*

*Orbitoides calcitrapoides LAMARCK*

*Omphalocyclus macroporus LAMARCK*

gibi tür tayinleri ile birime Maastrichtiyen yaşı vermişlerdir.

Formasyonun üst düzeylerinden alınan örneklerde saptanan ;

*Textularia sp.*

*Mississippina sp.*

*Planorbolina sp.*

*Laffitteina sp.*

*Rotalidae,*

*Bryozoa,*

faunasına dayanılarak birimin üst düzeylerine Paleosen yaşı verilmiştir (tayin, E.SİREL, 1983).

Bu tayinlere göre formasyonun yaşı Maastrichtiyen-Paleosen olarak kabul edilmiştir.

Yöredeki konumu faylı olduğu için tip kesiti çıkartılamamıştır. (Şekil-11).

#### Mikroskopik Özellikleri :

Örnek No :

(Alındığı Yer : Ekinveran Köyü, Ulutepe Mevki)

Örneğin, % 90 oranında mikritik çimento ve % 10 oranında da biyojen içeriği saptanmış ve kayaca Biyomit adı verilmiştir.

#### Alt, Üst, Yanal Sınırları ve Kalınlık:

Formasyonun inceleme alanı içindeki dokanakları faylidir. Ancak yer yer korunmuş kesimleri vardır. Ayrıca inceleme alanının batısında Sakız yöresinde dokanak ilişkileri belirgin olarak gözlenmektedir. Birimin alt sınırı Çaltu Formasyonu ile uyumludur. Üzerinde ise uyumsuz olarak Gökirmak Formasyonu yer almaktadır.

Formasyonun kalınlığı 10-25 m. arasında değişmektedir.

#### Fosil Topluluğu ve Yaşı :

Birim içindeki kireçtaşı düzeylerinde ;

*Nummulites sp.*

*Globigerina sp.*

*Rotalidae*

fosilleri bulunmuştur ( tayin, B. SÖZERİ, 1982).

Marnlardan alınan örneklerde ise ;

*Discoaster sublodensis* BRAMLETTE ve SULLIVAN

*Discoaster saipanensis* BRAMLETTE ve RIEDEL

*Discoaster barbadiensis* TAN SİN HOK

*Chiasmalithus grandis* ( BRAMLETTE ve RIEDEL )

*Tribrachiatus orthostylus* SHAMRAJ

*Microntholitis floss* DE FLANDRE

*Zygrhablitus bijugatus* ( DE FLANDRE )

*Braarudosphaera bigelovii*

nanno faunası bulunmuştur ( tayin, E. ERKAN, 1983 ).

Bu tayinlere göre formasyon, Üst Paleosen - İpre-siyen yaşıdadır.

#### Cökelme Ortamı :

Formasyonun, litoloji ve fosil kapsamına göre derin ve sakin bir şelf ortamında çökeldiği söylenebilir.

Birimdeki kırmızı rengin varlığı ise  $Fe_2O_3$ 'ten ileri gelmektedir. Yapılan analizlerde formasyonun yaklaşık % 2,15 oranında  $Fe_2O_3$  içeriği saptanmıştır. Bu da olasılıkla kaynak alanından taşınmıştır.

#### Denestirme :

Birim, Akyol ve diğ. (1974)'nin Cide-Kurucaşile yöresindeki Cide Formasyonu Kırmızı Marn Üyesi, Keticin ve Gümüş (1963), Gedik ve diğ. (1981)'nin Sinop-Ayancık-Gerze bölgesindeki Atbaşı Formasyonu ile denestirilebilir.

#### 1.11.1. ARDIÇLI FORMASYONU EKİNVERAN ÜYESİ (Te)

##### Tanımı ve Dağılımı :

Birim, inceleme alanı içinde, Alamandere, Ekinveran Köyü girişi ile Ulutepeler yöresinde yüzeylemekte olup, en ayrıntılı biçimde Ekinveran Köyünde görüldüğü için de Ekinveran Üyesi olarak adlandırılmıştır.

Blumenthal (1940) ise bu birimi "Nodüllü Tabakalar" adı altında incelemiştir.

##### Litolojisi ve Tip Kesiti :

Ekinveran Üyesi, orta-ince katmanlı, çört yumruları içeren, beyaz renkli marn ve yumru kireçtaşından oluşmuştur. Dokanakları faylı olduğu için tip kesiti ölçülemiştir.

##### Mikroskopik Özellikler :

Örnek No : AK-5 ve 6

(Alındığı Yer : Ekinveran Köyü girişi)

Örnekler, yaklaşık % 40 oranında mikritik çimento, % 60 oranında da biyojen içermektedir. Örnekler Biyomikrit

olarak adlandırılmıştır.

Alt, Üst, Yanal Sınırlar ve Kalınlık :

Üyenin dokanakları faylı olduğu için belirgin olarak dokanak ilişkileri gözlenememiştir

Birimin tahmini kalınlığı 5-20 m. arasında değişmektedir.

Fosil Topluluğu ve Yaşı :

Ekinveran üyesi bol olarak foraminifer ve nanno fauna içermektedir. Birim içindeki foraminiferaların tayini Cammon (1942) tarafından yapılmış olup, birime Alt Eosen (İpresiyen) yaşı verilmiştir. Saptanan fauna :

*Discocyclina sp.*

*Globigerina sp.*

*Globigerina bulloides D'ORRIGNY*

*Globigerina cf. triloculinoidea PLUMMER*

*Globorotalia simulatilis SCHWAGER*

*Globorotalia cf. velacoensis CUSHMAN*

Ayrıca birimin marnlı düzeylerinde bulunan ;

*Discoaster barbadiensis TAN SİN HOK*

*Discoaster sublodensis BRAMLETTE ve SULLIVAN*

*Discoaster saipanensis BRAMLETTE ve RIEDEL*

*(chiasmolithus grandis ( BRAMLETTE ve RIEDEL )*

*Braarrudosphaera discula BRAMLETTE ve RIEDEL*

nanno faunasına göre birime Üst İpresiyen yaşı verilmiştir (tayin, E.ERKAN,1983).

**1.12. BAYAMCA KİREÇTAŞI (Tb)**

Tanımı ve Dağılımı :

İnceleme alanı içinde Bayamca Mahallesinin hemen kuzeyinde, Ekinveran Fayı boyunca yüzeyleyen bu birime Bayamca Kireçtaşı adı verilmiştir.

Litolojisi ve Tip Kesiti :

Birim, gri, bej renkli, masif ve kalın katmanlı, Nummulites'li kireçtaşından oluşmuştur. İnceleme alanı içindeki dokanakları faylı olduğu için tip kesiti ölçülememiştir.

Mikroskopik Özellikler :

Örnek No : SK - 38  
(Alındığı Yer : Bayamca Köyü)

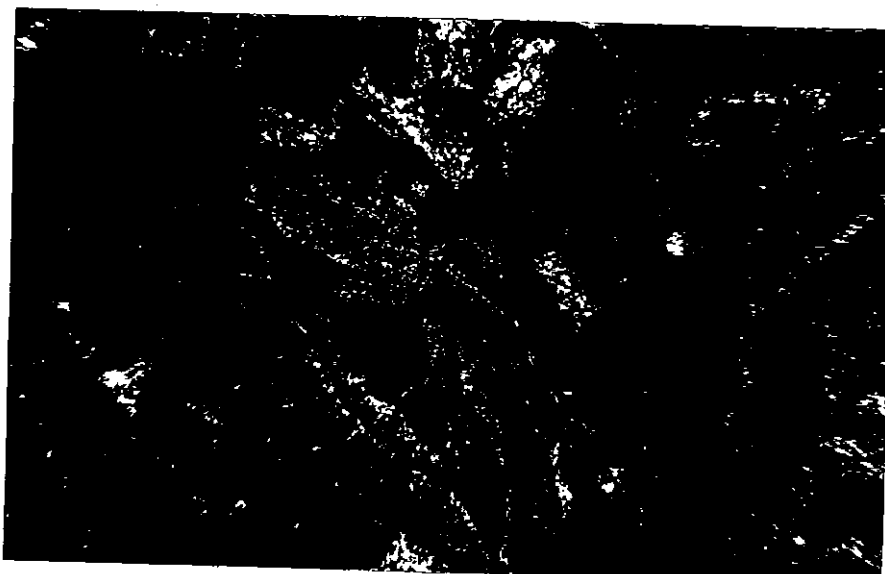
Örnek, % 40 oranında sparitik çimento, % 60 oranında biyojen içermektedir. Bu nedenle kayaç, Biyosparit olarak adlandırılmıştır (Mikrofoto-4).

Alt, Üst, Yanal Sınırlar ve Kalınlık:

Bayamca Kireçtaşı'nın inceleme alanı içindeki alt ve üst dokanakları faylidir.

Ancak, birim inceleme alanının yakın yöresinde Boyabat Metamorfitleri'ni açısal uyumsuzlukla örtmekte, üst kısımları ise aşınmış durumdadır.

Birimin kalınlığı 10 - 50 m. arasında değişmektedir.



Mikrofoto-4 : Biyosparit  
(Obj.6,3 × Okü.12,5)

(tayin, E.ERKAN,1983) nanno faunasına göre birim Lütesiyen yaşındadır.



Foto-ll : Ekinveran Fayı, Gökirmak Formasyonu (Tg) ve Bağlıca Formasyonu'nun (Tba) genel görünüsü (Saydaş'tan kuzeye bakış)

#### Cökelme Ortamı :

Gökirmak Formasyonu, litolojik, sedimentolojik ve paleontolojik özelliklerinden dolayı, Cankurtaran Formasyonu gibi fliş özellikleri sunan ve türbit akıntılarının etkili olduğu bir ortamda cökelmiştir.

Özellikle kalın katmanlı kumtaşı ve kanal dolguları içeren Şıhlar Üyesi, denizaltı yelpazelerinin orta ve üst kısımlarında cökelmiş yakınsak (proximal) türbiditler olarak yorumlanmıştır.

#### Deneştirme :

Birim, Sinop, Ayancık, Gerze bölgesinde, Gayle (1959), Badgley (1959), Kettin ve Gümtüs (1963)'ün Ayancık ve Kusuri Formasyonları, Gedik ve diğ. (1981)'nin Yenikonak Formasyonu (Ayancık Üyesi, Kusuri Üyesi) ile deneştirilebilir özelliktidir.

### 1.13. GÖKİRMAK FORMASYONU (Tg)

#### Tanımı ve Dağılımı :

Blumenthal (1940)'in "Kumtaşı-marn kompleksi" adı altında incelediği bu birim, inceleme alanının güney kesiminde, Martlı Mahallesi, Dağılı Dere, Maruf Köy, Şihlar Dere, Emirli Dere ile Gökirmak vadisi boyunca yüzeylemektedir. Birim Gökirmak Formasyonu olarak adlandırılmıştır. Formasyonun tabanında, Ekinveran Köyü ile Şihlar arasında yüzeyleyen ve kanal dolguları içeren kalın katmanlı kumtaşlarının egemen olduğu bölümü ise Şihlar Üyesi olarak adlandırılmış ve haritaya geçirilmiştir. Üye Gökirmak Formasyonu ile birlikte incelenmiştir.

#### Litolojisi ve Tip Kesiti :

Formasyonun tabanını oluşturan Şihlar Üyesi, kanal dolguları içeren ve kalınlığı 40 - 80 m. arasında değişen masif ve kalın katmanlı kumtaşı düzeyleri ile ince katmanlı kumtaşı ve marn ardalanmasından oluşmuştur. Kumtaşı katmanları özelliklerini yanal yönde ve uzun mesafeler boyunca korurlar. Katman tabanlarında yaygın olarak kaval yapıları (flut cast), yük kalıpları (load cast) ve biyojenik izlere rastlanmaktadır. Kanal dolgularını oluşturan çakıllar bir kaç cm. boyutunda olup, çoğunlukla metamorfitt temelden ve alttaki diğer birimlerden türemişlerdir.

Formasyon üsté doğru ise olağan kumtaşı ve marn ardalanmasına dönüştür. Bu bölümde, marn oranı kumtaşına göre daha egemen olup, yer yer ince katmanlı kireçtaşı ve kumlu kireçtaşının bantları gözlenmektedir.

Birimin tip kesiti Martlı Mahallesi'nin batısında ki Dağılı Dere boyunca ölçülmüştür (Şekil- 13). Ölçülen tip kesitte (Pafta E 33-c4, Başlangıç:  $x=4603810$ ,  $y=652570$ ,  $z=550$  m. ; Bitiş:  $x=4601070$ ,  $y=651440$ ,  $z=370$  m.) alttan üsté doğru başlıca şu litolojik özellikler gözlenmiştir :

- 0 - 240 m. Kumtaşı, marn ardalanması.
- 240 - 380 m. Kanal dolguları içeren kalın katmanlı ve çakıllı kumtaşı.
- 380 - 675 m. İnce katmanlı kumtaşı ve marn ardalanması.
- 675 - 740 m. Kanal dolguları içeren, kalın katmanlı ve masif kumtaşı.

- 740 - 1240 m. Kumtaşı ve marn ardalanması.  
 1240 - 1280 m. Kanal dolgulu, kalın katmanlı ve masif kumtaşı.  
 1280 - 1560 m. Kumtaşı ve marn ardalanması.  
 1560 - 1600 m. Kanal dolguları içeren kalın katmanlı kumtaşı.  
 1600 - 2750 m. Yer yer kumlu kireçtaşları ve kireçtaşları ile ince katmanlı kumtaşı arabantları içeren, gri ve mavimsi renkli marn ve şeyle ardalanması.

**Mikroskopik Özellikler :**

**Örnek No : DD - 2**

(Alındığı Yer : Dağılı Dere Kesiti)

Kayaç, % 45 kuvars, % 20 feldspat, % 5 kayaç kırıntısı, % 5 diğer elemanlar (opak mineral, klorit, demiroksit) ve % 30 kalsit çimentodan oluşmaktadır. Kuvarsların çoğunluğu metamorfik kökenlidir. Örneği oluşturan elemanların oranı ise % 70 kuvars, % 25 feldspat ve % 5 kayaç kırıntısı olup, örnek Feldspat Kumtaşı olarak adlandırılmıştır.

**Örnek No : DD - 5**

(Alındığı Yer : Dağılı Dere Kesiti)

Örneğin bileşimi, % 50 kuvars, % 10 feldspat, % 5 kayaç kırıntısı, % 5 diğer elemanlar ve % 30 silika ve demirden oluşan çimentodur. Kuvars taneleri çoğunlukla metamorfik kökenlidir. Örneği oluşturan elemanların oranı ise % 60 kuvars, % 25 feldspat, % 15 kayaç kırıntısıdır. Örnek Kayaç Kırıntılı Feldspatkumtaşı olarak adlandırılmıştır.

**Örnek No : DD - 8**

(Alındığı Yer : Dağılı Dere Kesiti)

Örnek, % 40 kuvars, % 20 feldspat, % 10 kayaç kırıntısı, % 5 diğer elemanlar (klorit, opak mineral) ve % 25 kalsit çimentodan oluşmuştur. Kayaç içindeki elemanların oranı ise % 50 kuvars, % 30 feldspat ve % 20 kayaç kırıntısı olup örnek, Kayaç Kırıntılı Feldspatkumtaşı olarak tanımlanmıştır.

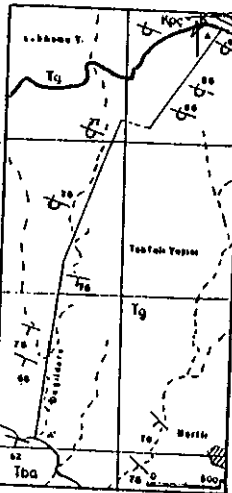
# GÖKIRMAK FORMASYONU

## TİP KESİTİ

PAFTA NO : E<sub>33</sub>-C<sub>4</sub>  
 İL, İLÇE : Sinop - Boyabat  
 KESİT YERİ : Dağlı Dere  
 ÖLÇME YÖNTEMİ : Jacop Çubuğu  
 ÖLÇEK : 1/5000  
 ÖLÇÜLEN FORM : Gökirmak  
 YAŞ : Eosen (Lütesiyen)  
 KALINLIK : 2750m.

### KOORDİНАTLAR

|           | A       | B      | C      |
|-----------|---------|--------|--------|
| Başlangıç | 460380  | 652570 | 550m   |
| Bitti     | 4601070 | 651440 | 370 m. |



### AÇIKLAMA

- [Box] Boğça Form.
- [Box] Gökirmak Form.
- [Box] Çaltı Form.
- [Line] Fay
- [Line] Kanal Yerisi
- [Wavy line] Kırık Yapan
- [Solid line] Oluk Yupası
- [Dashed line] Biyojenik izler
- [Crossed line] Kanal dolgusu

BULDURU HARİTASI

SADETTİN KORKMAZ-1983

| SİSTEM | SERİ | KAT | BAĞLICA FORM/UYE | KALINLIK(m.) | LİTOLOJİ | AÇIKLAMA  | FOSİL TOPLULUĞU | TORTULVAPLAR |
|--------|------|-----|------------------|--------------|----------|---|-----------------|--------------|
| R      | N    | N   | BAĞLICA          | 2750         |          |   |                 |              |
| E      | N    | E   | K                | 2500         |          |   |                 |              |
| T      | E    | L   | R M              | 2250         |          | Hice katmanlı, kumtaşı, marn ardalananması. Yer yer kumlu kireçtaşı ve kireçtaşı arabantlı. |                 |              |
|        |      |     | APÖKLİ           | 250          |          | Kanal dolguları içeren, kalın katmanlı, çakılı kumtaşı.                                     |                 |              |
|        |      |     |                  | 0            |          | Kumtaşı ve marn ardalananması.  |                 |              |

Şekil-13

Alt, Üst, Yanal Sınırlar ve Kalınlık :

Formasyonun alt sınırı inceleme alanı içerisinde faylidir. Ancak birim batıda, inceleme alanının yakın yöresinde (Sakız ve Hanönü), Boyabat Metamorfitleri ve Ardıçlı Formasyonu üzerine uyumsuz olarak gelmektedir.

Birim, üstten de Bağlıca Formasyonu tarafından uyumsuz olarak örtülmektedir (Foto-11).

Gökirmak Formasyonu, taban düzeyinde yer alan Şıhlar Üyesi ile düşey ve yanal geçişlidir.

Birimin toplam kalınlığı Dağıl Dere kesitinde 2750 m. olarak ölçülmüştür. Aynı yörede birime ait Şıhlar Üyesi'nin kalınlığı ise 1600 m.dir.

Fosil Topluluğu ve Yaşı :

Birimin, kireçtaşı ve kumlu kireçtaşı düzeylerinde, *Nummulites sp.*

*Discocyclina sp.*

*Assilina sp.*

mikro faunası bulunmuştur (tayin, H.KARACAOĞLU, 1982).

Formasyonun marnlı düzeyleri ise bol olarak nanno fauna içermektedir:

*Reticulofenestra coenura* ( RHEINHARD )

*Reticulofenestra oamaruensis* ( DE FLANDRE )

*Cyclicargolithus eopelagicus* ( BRAMLETTE ve RIJDEL )

*Cyclococcolithus formosus* ( KAMPNER )

*Cyclococcolithus floridanus* ( ROTH ve RAY )

*Cyclococcolithus kingi* ROTH

*Chiasmolithus gigas* ( BRAMLETTE ve SULLIVAN )

*Sphenolithus radians* DE FLANDRE

*Nannotetrina fulgens* ( STRADNER )

*Discoaster lodensis* BRAMLETTE ve RIJDEL

*Discoaster tanninodifer* BRAMLETTE ve RIJDEL

*Transverpontis pulcher* DE FLANDRE

*Pontasphaera plana* ( BRAMLETTE ve SULLIVAN )

### 1.14. BAĞLICA FORMASYONU (Tba)

#### Tanımı ve Dağılımı :

Formasyon, inceleme alanının güney kesiminde, Cemalettin Köy, Kova Dere, Saydaş Dere, Kumlu Dere ve Bağlıca Köy yörelerinde yüzeylemektedir. En tipik görüldüğü yer Bağlıca'da olduğu için Bağlıca Formasyonu olarak adlandırılmıştır. Blumenthal (1940) birimi "Sakızdağ konglomera kompleksi" içinde incelemiştir.

#### Litolojisi ve Tip Kesiti :

Formasyon, tane boyu üste doğru incelen "tortul dönemler"in ardalanmasından oluşmuştur (Foto-12). Her dönem çakilli bir aşınma yüzeyi ile başlayıp, üste doğru büyük ölçekli çapraz katmanlı ve paralel laminalli kumtaşları ile devam eder (Foto-13). Çapraz katmanların çukurcuklarında yer yer çakılçıklar gözlenmektedir. Bu özellik, akarsular tarafından oluşturulan çapraz katmanları simgeler (Kukal, 1971). Bu tortul dönemin en üst seviyeleri ise, miltası, kiltası ve çamurtaşlarından oluşmaktadır. Çamurtaşları içerisinde yer yer tatlı ve acı su Gastropod'larına rastlanmaktadır. Birim içinde gözlenen çakıllar genellikle bir kaç cm. boyutunda olup iyi yuvarlanmıştır. Çakılların çoğunluğu, kuvarsit, kristalize kireçtaşı ve metamorfik kayaçlardan oluşmaktadır. Formasyonu oluşturan tortul dönemin kalınlıkları ortalama 5-25 m. arasında değişmektedir.

Birimin tip kesiti ayrıntılı olarak Kova Dere'de incelenmiştir (Pafta, E 33-c4, Başlangıç: x=4598700, y=649750, z=320 m.; Bitiş: x=4600240, y=650550, z=340 m.). Kesitin taban düzeyleri jipsli kumtaşı ve marnlardan oluşmuştur. Bunun üzerinde, litolojik özellikleri yukarıda tanımlanan on tortul dönem saptanmıştır (Şekil-14).

Kumtaşı Üyesi : Formasyonun tabanında yer alan ve orta-kalın katmanlı kumtaşı ve jipsli marnlardan oluşan bölümü, haritaya Kumtaşı Üyesi olarak geçirilmiştir. Bu üyenin kalınlığı 10-50 m. arasında değişmektedir.

#### Alt, Üst, Yanal Sınırlar ve Kalınlık :

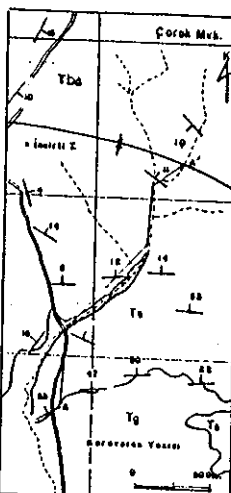
Gökirmak Formasyonu üzerine uyumsuz olarak oturan

# BAĞLICA FORMASYONU TİP KESİTİ

PAFTA No : E33.C4  
 İL, İLÇE : Sinop - Bayburt  
 KESİT YERİ : Kova Dereşi  
 ÖLÇME YÖNTEMİ: Jacob çubuğu  
 ÖLÇEK : 1/1000  
 ÖLÇÜLEN FORM: Bağlıca Form.  
 YAŞ : Üst Eosen  
 KALINLIK : (Bartoniyen) 400 m.

## KOORDİНАTLAR

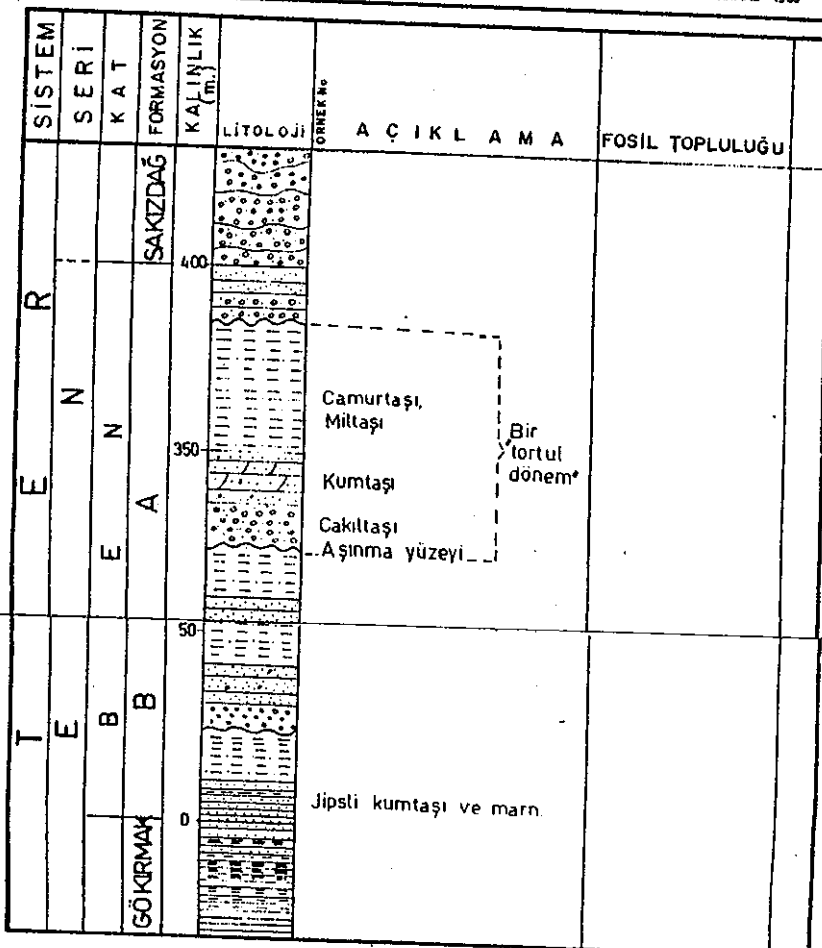
|            | X       | Y      | Z      |
|------------|---------|--------|--------|
| Batılangıç | 4598700 | 669750 | 320 m. |
| Bitti      | 4600240 | 650550 | 340 m. |



- AÇIKLAMA**  
 Tba Bağlıca Form.  
 Tg Gökirmak Form.  
 X Senkinal Eksen  
 A Kesit Yeri

BULDURU HARİTASI

SADETTİN KORKMAZ - 1983



Şekil-14

birim, uyumlu olarak Sakızdağ Formasyonu tarafından üstlenir.

Formasyonun kalınlığı, Kova Dere'de 400 m., Bağlıca yakınlarında ise 900 m. olarak ölçülmüştür.



Foto-12 : Bağlıca Formasyonu'nu oluşturan "tortul dönemler"in görünümü ( Saydaş Dere )

#### Fosil Topluluğu ve Yaşı :

Formasyon içinde taşınmış olarak, Üst Kretase ve Alt-Orta Eosen yaşlı foraminiferalar ile nanno fosiller bulunmuştur, Bunlar :

*Nummulites sp.*

*Assilina sp.*

*(Chiasmolithus oamaruensis ( DELANDRE )*

*Reticulofenestra oamaruensis ( DELANDRE )*

*Reticulofenestra bisecta ( HAY, MOHLER, WADE )*

*Reticulofenestra reticulata ( GARTNER ve SMITH )*

*Reticulofenestra coenura ( REINHARDT )*

*Nannotetrina fulgens ( STRADNER )*

*Transversapontis pulcher ( DELANDRE )*

*Discoaster sublodensis BRAMLETTE ve RIEDEL*

*Micula staurophora ( GARDET )*

*Fasciculithus involutus* BRAMLETT ve RIEDEL  
*Micula decussata* VERKSHJNA  
*Eifelithus turriseifelli* DELANDRE

(tayin, E.ERKAN,1982). Taşınmış mikro fauna nedeniyle birim, Üst Eosen yaşında kabul edilmiştir.

Ayrıca, formasyon içinde bulunan acı ve tatlı su Gastropod'larının tayini Erünal (1942) tarafından yapılmış olup, birime Bartoniyen (Üst Eosen) yaşı verilmiştir. Bu makro fauna şöyledir:

*Faunus cuvieri* DESHAYES  
*Faunus dufresnei* DESHAYES  
*Potamides bicarinata* LAMARCK  
*Potamides conoideus* LAMARCK  
*Potamides cf. p. mixtus* DELANDRE  
*Potamides trivittatus* DESHAYES  
*Ampullina rustica* DESHAYES

Bu verilere göre, formasyon Üst Eosen yaşında kabul edilmiştir.

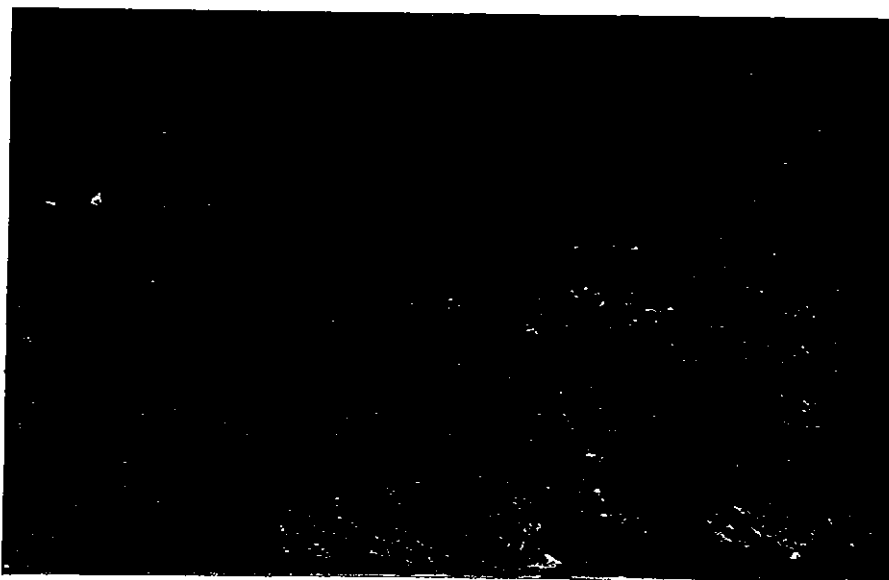


Foto-13 : Bağlıca Formasyonu içinde gözlenen büyük ölçekli çapraz katmanlanmalar (Bağlıca Köyü, Bahçem-Oluk dereler arası, yol üstü)

### Cökelme Ortamı :

Genel karakterleri ve paleontolojik özellikleri istifin, karasal bir ortamda çökeldiğini göstermektedir.

Bağlıca Formasyonu'nda da gözlenen, "Tortul Dönemler" yada "Üste Doğru İncelen İstifler"in ayrıntılı tanımlaması Allen (1964,1965) ve Friend (1965) tarafından yapılmıştır. Ayrıca, Sungurlu bölgesindeki Büyükkopatlı Formasyonu'nda da aynı özellikler gözlenmiştir (Şenalp, 1981). Bu tür istiflerin menderesli nehirler tarafından çökeltildiği yorumlanmıştır.

Özellikle, Faunus ve Potamides faunası bu görüşü doğrulamaktadır. Çünkü Faunus tatlı sularda, Potamides ise acı suda özellikle nehir ağızlarında yaşamaktadır (Ortyński ve Tromp, 1942).

Formasyonda, genellikle karasal ortamlara özgü kırmızı renk yerine, gri ve boz rengin varlığı birimin, ılıman, yağışlı iklim koşulları altında gelişliğini göstermektedir.

### 1.15. SAKIZDAĞ FORMASYONU (Ts)

#### Tanımı ve Dağılımı :

Birim, inceleme alanının güneyinde, Sakızdağ, Yalak Mahallesi, Yalak Dere, Silcanlık Dere, Sakız Mahallesi, Muştu Mahallesi, Daylı, Boyabat kuzeyi ile Alibeyli yörülerinde yüzeylemektedir. En yaygın izlendiği yöreye ıza-feten birim, Sakızdağ Formasyonu olarak adlandırılmıştır. Bu birim de Blumenthal (1940) tarafından "Sakızdağ konglomera kompleksi" içinde incelenmiştir.

#### Litolojisi ve Tip Kesiti :

Formasyon, çok kalın katmanlanma gösteren, gri, boz renkli, gevşek çimentolu, polijenik heterojen çakıltaşlarından oluşmuştur (Foto-14). Çakıl boyutları bir kaç cm. ile 40 cm. arasında değişmektedir. Çakıllar kötü boylanmamalı olup, başlıca kuvars, kuvarsit, kristalize kireçtaşı, kireçtaşısı, volkanik ve metamorfik kayaçlardan türemiştir. Birim yer yer büyük ölçekli çapraz katmanlı

kumtaşı ile yeşilimsi renkli çamurtaşları ve kil düzeyleri içermektedir.

Birimin, tip kesiti Arifin Dere ile Sakız Mahalle-si arasında ölçülmüştür. Ölçülen tip kesitte (Pafta, F 33-bl, Başlangıç: x=4593850, y=651240, z=275 m.; Bitiş: x=4591600, y=654360, z=265 m.) litoloji bölümünde açıklanan kalın katmanlı olağan çakıltıları gözlenmiştir (Şekil-15).

#### Mikroskopik Özellikler :

Formasyondan alınan çakıl örneklerinin petrografik incelemesinde bunların başlica, kristalize kireçtaşı, kumtaşı, mikroçakıltası, kireçtaşı, mermer, ince taneli kumtaşı ile metamorfik ve az olarak da volkanik kökenli litik parçalar içerdikleri gözlenmiştir. Metamorfik kayaç çakılı olarak, kuvars, albit, muskovit, klorit sist yer almaktadır.



Foto-14 : Sakızdağ Formasyonu'nun genel görünümü  
(Yalak Mahallesi batısı)

#### Alt, Üst, Yanal Sınırlar ve Kalınlık :

Birimin alt sınırı, Bağlıca Formasyonu ile uyumludur. Ayrıca birim yer yer aşmalı olarak da Boyabat Metamorfitlerini örtmektedir. Formasyonun üstü aşınmıştır, ancak yer yer Koru Üyesi tarafından uyumlu olarak üstlenir.

# SAKIZDAĞ FORMASYONU TİP KESİTİ

PAFTA NO : E33.c4  
 İL.İLÇE : Sinop - Boyabat  
 KESİT YERİ : Yalak - Sakız Mah.  
 ÖLÇME YÖNTEMİ: Jac up Çubuğu  
 Ölçek : 1/1000  
 ÖLÇÜLEN FORM: Sakızdağ Fm.  
 YAŞ : Eosen-Oligosen(?)  
 KALINLIK : 700m.

## KOORDİNALAR

|           | x       | y      | z      |
|-----------|---------|--------|--------|
| Başlangıç | 4593850 | 651240 | 215m.  |
| Bitiş     | 4591600 | 654360 | 265 m. |



## AÇIKLAMA

- [Box] Oal Alüvyon
- [Box] Is Saluzdağ Form.
- [Box] Tba Bağlıca Form.
- [Box] Ty Gökmak Form.
- [Box] Bm Boyabat Metamorfizitleri
- [Line] Antiklinal Eksen
- [Cross] Senklinal Eksen
- [Arrow] Kesit Yeri

BULDURU HARİTASI

SADETİN KORKMAZ-1983

| SİSTEM | S | E | R | I | T | A | N | FORMASYON | KALINLIK (m) | LİTOLOJİ | AÇIKLAMA              | FOSİL TOPLULUĞU          | TORTUL YAPILAR |  |
|--------|---|---|---|---|---|---|---|-----------|--------------|----------|-----------------------|--------------------------|----------------|--|
| R      |   |   |   |   |   |   |   |           | 700          |          |                       |                          |                |  |
| E      |   |   |   |   |   |   |   |           | 600          |          |                       |                          |                |  |
| EOSEN  |   |   |   |   |   |   |   |           | 500          |          | Çok kalın katmanlanma | Taşınmış nanno fosilleri |                |  |
|        |   |   |   |   |   |   |   |           | 0            |          |                       |                          |                |  |
|        |   |   |   |   |   |   |   |           |              |          |                       |                          |                |  |

Şekil-15

Formasyonun, inceleme alanı içindeki kalınlığı ortalama 750-900 m. arasında değişmektedir.

#### Fosil Topluluğu ve Yaşı :

Birim fosilsizdir. Ancak, çamurlu ve killi düzeylerde taşınmış olarak Alt-Orta Eosen yaşı veren;

*(Cyclococcolithus formosus ( KAMPTNER )*

*(Cyclicargolithus eopelagicus ( BRAMLETT ve RİDEL )*

(tayin, E.ERKAN,1983) gibi nanno fauna ile bazı organik kalıntılar rastlanmıştır.

Ericson (1938) ve Blumenthal (1940) birimin Oligosen yaşlı olabileceğini belirtmişlerdir. Ancak inceleme alanında Oligosen yaşı verebilecek hiç bir faunaya rastlanmamıştır.

Formasyon içinde taşınmış faunanın varlığı, yaşıının Orta Eosen sonrası olduğunu göstermektedir. Ayrıca birim, Üst Eosen yaşlı Bağlica Formasyonu üzerine de uyumlu olarak gelmektedir. Bu nedenle, Sakızdağı Formasyonu'nun yaşıda Üst Eosen-Oligosen (?) olarak kabul edilmiştir.

#### Cökelme Ortamı :

Formasyon, litolojik ve paleontolojik özelliklerinden dolayı kargasal bir ortamda cökelmiştir.

Birim, büyük ölçekli çapraz katmanlı, kum ve çamur mercekleri ile aşınma kanalları içeren, kalın katmanlı, polijenik heterojen çakıltası ardalanmasından oluşmuştur (Foto-15). Birim kötü boyanmamalı olup, fosil içermez. Formasyon bu özellikleri ile Selley (1970)'ın tanımladığı cökel istifleri ile büyük benzerlik gösterirler. Bu tür istiflerin örgülü akarsular tarafından cökeltilen alüvyon cökelleri olduğu yorumlanmıştır.

Bu fasiyesin iri tane boyu ile çapraz katmanlanımı tek yönlü, yüksek hızlı çekme akıntıları ile durulmayı anlatır. Kum, mil ve çamur merceklerinin varlığı ise akıntı hızının devamlı değiştigini göstermektedir (Selley,1970).

Iri tane boyu, akıntı değişkenliği, ince taneli cökellerin azlığı, yüksek enerjili bir ortamı, özellikle daha dik yatak eğimli ve daha bol boşalımlı akarsularda

görülür. Bu da örgülü akarsulara özgüdür.

Boz, gri rengin varlığı ise birimin, ılıman ve yağışlı iklim koşulları altında gelişliğini göstermektedir.

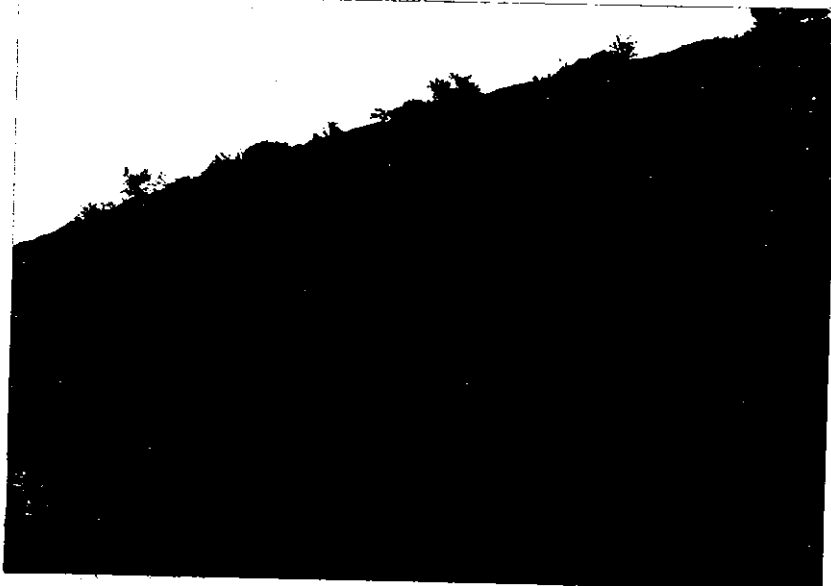


Foto-15 : Sakızdağ Formasyonu içinde gözlenen çapraz katmanlanma ve aşınma kanalları  
(Boyabat, Pazaryokuşu, asfalt kenarı)

#### **1.15.1. SAKIZDAĞ FORMASYONU KORU ÜYESİ (Tsk)**

##### Tanımı ve Dağılımı :

Birim, Boyabat ilçesinin doğusunda Büyükmeydan Dere, Büyükkiran Sırtı ve Daylikkorusu Sırtı boyunca yuzeylemektedir. En iyi Daylikkorusu'nda görüldüğü için de Koru Üyesi olarak adlandırılmıştır.

##### Litolojisi:

Birim, çakıl içeren kırmızı renkli çamur ve killerden oluşmuştur. Yer yer jipsli düzeyler içerir. Birim içinde yer alan çakillar iyi yuvarlanmış olup kuvars ve kuvarsitlerden oluşmuştur. Ayrıca metamorfik kayaç çakılarda içermektedir.

Alt, Üst, Yanal Sınırılar ve Kalınlık :

Alt sınırı Sakızdağ Formasyonu ile uyumlu olan birim, yer yer aşmalı olarak Boyabat Metamorfitleri'ni örtmektedir.

Birimin kalınlığı 10-100 m. arasında değişmektedir.

Fosil Topluluğu ve Yaşı :

Birim karasal ortamda çökeldiği için fosil içermez. Ancak, alttaki Sakızdağ Formasyonu ile uyumlu olduğu için Koru Üyesi'de Üst Eosen-Oligosen (?) yaşı kabul edilmiş-tir.

Cökelme Ortamı :

Birim, litolojik ve paleontolojik özelliklerinden dolayı karasal bir ortamda cökelmiştir.

**1.16. AKYÖRÜK BAZALTI (Tab)**

Tanımı ve Dağılımı :

Birim, inceleme alanının güneybatısında Karakaya Tepe ve Karacaveran Dağı ile inceleme alanının bitişigindeki Akyörük Köyü'nde tipik olarak yüzeylemektedir. Bu birim önceki çalışmalarında Ericson (1938), Blumenthal (1940) ve Ortynski ve Tromp (1942) tarafından Akyörük Bazaltı olarak incelendiği için aynı adlama kullanılmıştır.

Litolojisi :

Birim, siyah renkli, yer yer boşluklu olivinli bazaltlardan oluşmuştur. İnceleme alanı içindeki konumları genellikle yataya yakındır. Bazaltlar masif görünümdedir.

Mikroskopik Özellikleri :

Örnek No : NN - 9, 10, 11, 12

(Alındığı Yer : Karacaveran batısı, Karakaya Tepe)

Örneklerde, hamur içerisinde granüler halinde yoğun klinopiroksen kristalleri ile granüller halinde opak mineraler yer almaktadır.

Fenokristal olarak, daha çok olivin ile hamurdaki

piroksenden farklı başka bir klinopiroksen izlenmektedir.

Plajiolklaslar hamur ile fenokristaller arasında uzun çubuklar şeklinde yer alırlar ve az çok akma dokusu gösterirler.

Yoğun olarak izlenen plajiolklas çubuklarında sömme açısı ölçülememiş sede labradorit olmaları olasıdır.

Hamurda geniş ölçüde kloritlesme ve ayrıca karbonatlaşma ikincil oluşumlar olarak izlenmektedir.

Örnekler, Olivin Bazalt olarak adlandırılmışlardır (Mikrofoto- 5)



Mikrofoto-5 : Olivin Bazalt (O: Olivin)  
(Obj.6,3 × Okü.12,5)

#### Alt, Üst, Yanal Sınırlar ve Kalınlık :

Akyörük Bazaltı, inceleme alanı içerisinde, Üst Eosen-Oligosen (?) yaşılı Bağlıca Formasyonu ile Sakızdağı Formasyonu'nu keserek yüzeye çıkmış ve yayılmıştır.

Birimin görünen kalınlığı 10-100 m. arasında değişmektedir.

#### Yas :

Akyörük Bazaltı'nın yaşını doğrudan tayin edecek

bir veri yoktur. Ancak, tortul kökenli diğer birimlerle ilişkisi göz önüne alındığında Üst Eosen-Oligosen (?) sonrası bir yaşıta olduğu düşünülebilir. Akyörük Bazaltları olasılıkla Miyosen sonrası reyonal gerilme hareketlerine bağlı olarak gelişmiş olabilirler düşündürmektedir. Bu nedenle de birimin yaşı Plio-Kuvaterner olarak kabul edilmiştir.

#### 1.17. TARAÇALAR (Qt)

Boyabat-Ekinveran arasında, Tahtalı Yazısı, Karatayzası Sırtı, Marufyazısı Sırtı, Şıhlarkıracı Sırtı ve Kepez Sırtı yörelerinde Gökirmak Formasyonu üzerinde yaygın olarak taraşa oluşumları gözlenmektedir. Yatay konumlu olan taraçaların kalınlıkları 1-10 m. arasında değişmektedir. Taraşa malzemesinin çoğunuğu, metamorfik kayaçlar ile kireçtaşı, kristalize kireçtaşı ve volkanik kayaçlardan türemiş çakıl gruplarından oluşmaktadır. Eleman boyutları bir kaç cm. den 50-60 cm. ye kadar ulaşmaktadır. Taraçalar olasılıkla Kuvaterner'deki epirogenik hareketlere bağlı olarak oluşmuşlardır.

#### 1.18. ESKİ ve YENİ ALÜVYONLAR (Qe , Qal)

İnceleme alanı içerisinde Gökirmak nehri boyunca gözlenen alüvyon çökelleri eski ve yeni çökeller olmak üzere iki ayrı birim halinde haritaya işlenmiştir. Yeni alüvyonlar akarsu yatakları boyunca biriken güncel çökellerden oluşmaktadır. Eski alüvyonlar ise Gökirmak nehrinin Kuvaterner'den günümüze kadar çevresinde birikmiş değişik kökenli çakıl, kum ve killerden oluşmuştur.

## 2. SEDİMANTER ÖZELLİKLER

### 2.1. TORTUL YAPILAR :

İnceleme alanında yüzeyleyen türbiditik özellikteki kırıntılı kayaçlar, bol oranda katman altı, katman içi ve katman üstü tortul yapılar içermektedir. Bunlardan en yaygın olanları incelemiştir.

#### Kaval Yapıları (Flut Cast) :

Genellikle, katmanların tabanında rastlanan kaval yapıları, eski akıntı yönlerini gösteren en önemli verilerden birisidir. İnceleme alanı içinde yapılan gözlemlerde özellikle Maastrichtiyen yaşı Cankurtaran Formasyonu ile Lütesiyen yaşı Gökirmak Formasyonu çok bol olarak, Alt Kretase yaşı Çağlayan Formasyonu ile Alt Maastrichtiyen yaşı Yemişliçay Formasyonu'da orta bollukta kaval yapıları içermektedirler (Foto-16).

#### Oluk İzleri (Groove Cast) :

Katman tabanlarında paralel çıkışlıklar oluşturan oluk izleri daha çok akıntı doğrultusu hakkında fikir verebilirler. İnceleme alanı içerisinde, bu izlere en çok Gökirmak Formasyonu ile Cankurtaran Formasyonu'nda rastlanmaktadır. Ayrıca az olarak ta Çağlayan ve Yemişliçay Formasyonlarında görülmektedir.

#### Yük Kalıbü (Load Cast) :

Yük kalıpları katman altı yapılardan olup, genellikle şekilsiz yumrular oluştururlar. Bu yapılara Cankurtaran ve Gökirmak Formasyonu içindeki kumtaşı katmanlarında bol olarak, Çağlayan ile Yemişliçay Formasyonlarında ise seyrek olarak rastlanmaktadır (Foto-16).

#### Sekme ve Saplanma İzleri :

Bu izlere de inceleme alanında başlıca Cankurtaran, Gökirmak ve Çağlayan Formasyonlarındaki kumtaşı katmanlarının tabanlarında bol olarak rastlanmaktadır.

#### Biyojenik İzler :

Biyojenik izlere yer yer katman içinde ve üzerinde rastlanmıştır. Özellikle Cankurtaran ve Gökirmak Formasyonlarında bol olarak biyojenik izlere rastlanır.



Foto-16 : Kumtaşı katmanlarının tabanında gözlenen tortul yapıları (K:Kaval yapısı, Y: Yük kalibi) (Cankurtaran Formasyonu, Maast.).

#### Çapraz Katmanlanma :

Akarsu çökellerinin bir özelliği olan çapraz katmanlanma, inceleme alanı içerisinde yaygın olarak Bağlıca Formasyonunda, az olarak ta Sakızdağ Formasyonunda gözlemlenmiştir (Foto-13 ve 15)

#### Bouma Türbidit İstifi:

Türbidit istifelerindeki katmanların iç yapıları pek çok yazar tarafından tanımlanmıştır. Ancak eksiksiz bir tanımlama Bouma (1962,1964) tarafından verilmiştir. Bouma (1962) ideal bir türbidit istifinin beş bölüme ayrılabileceğini göstermiştir. Bu istif, Bouma istifi olarak bilinmektedir (Şekil- 16). Böyle bir istif, dereceli bölüm (Ta), alt paralel laminalı bölüm (Tb), akıntı kırışığı ve konvolüt laminalanma (Tc), üst paralel laminalanma (Td) ve pelitik bölüm (Te) olmak üzere beş bölüme ayrılmaktadır.

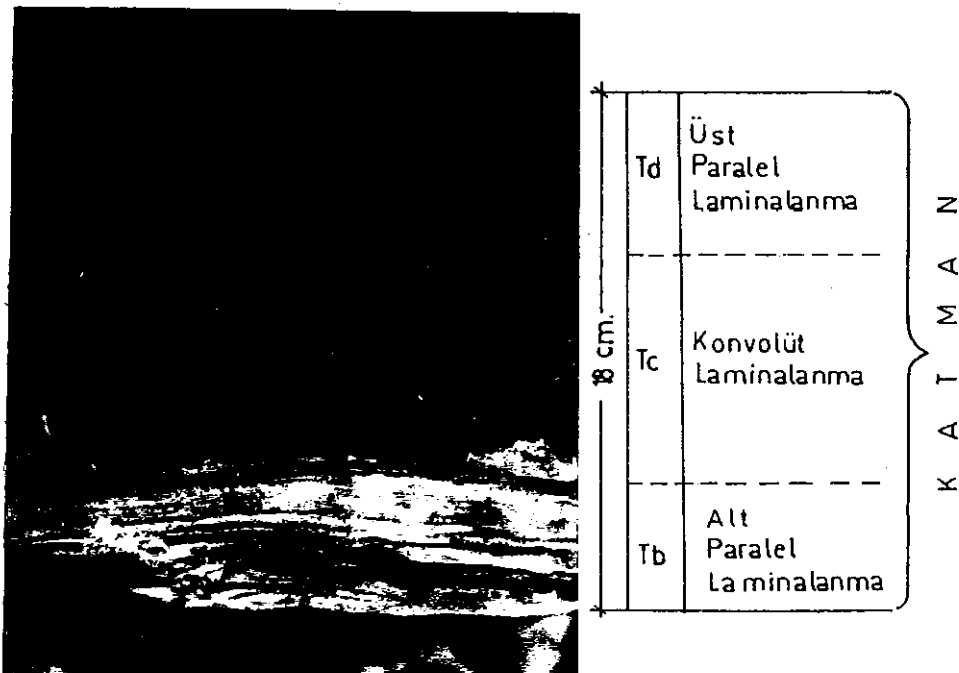
Bouma (1962) türbidit istifine, inceleme alanı içinde yaygın olarak Cankurtaran Formasyonu'nu oluşturan katmanlarda rastlanmaktadır. Ayrıca Çağlayan Formasyonu'nda da bol olarak gözlemlenmektedir. Gökirmak Formasyonu'nda



- Pelitik kısım (Td)
- Üst paralel laminalanma (Te)
- Konvolüt laminalanma (Tc)
- Alt paralel laminalanma (Tb)
- Dereceli bölüm (Ta)

**Şekil-16 : İdeal Bouma (1962) türbidit istifi**

ise ender olarak görülmektedir. Ancak bu istiflerin tam sıralanımı gözlenmemiş olup, genellikle yontuk istifler şeklinde gelişmişlerdir. (Ta,Tb,Tc), (Tc,Td,Te), (Tb,Tc,Td), (Tb,Tc), (Ta,Tb) ve (Tc,Te) en çok rastlanan yontuk istif şekilleridir (Foto-17).

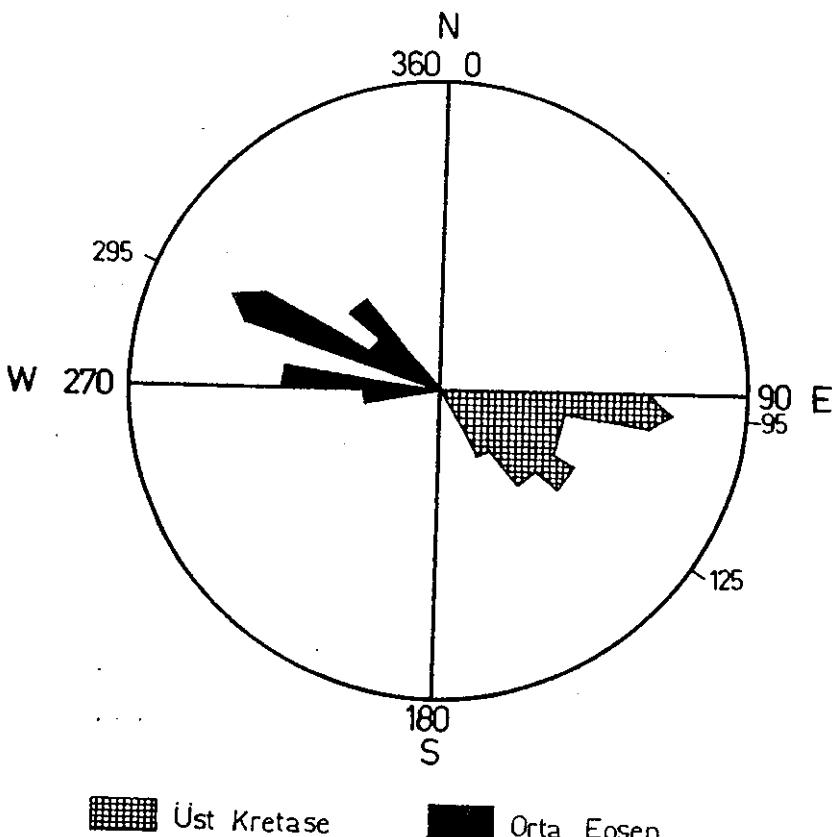


**Foto-17 : (Tb,Tc,Td)'den oluşan Bouma (1962) yontuk istifi (Cankurtaran Formasyonu, Maastrihtiyen)**

## 2.2. PALEOAKINTI ÖLÇÜMLERİ VE YORUMLAMASI :

İnceleme alanında yüzeyleyen, Alt Kretase, Üst Kretase ve Eosen yaşlı fliş fasiyesindeki birimlerde paleoakıntı ölçümleri yapılmıştır. Bu işlemde, sadece katmanların altında bulunan eski akıntıların doğrultu ve yönlerini gösteren kaval yapıları (flut cast) ölçülmüştür (Çizelge-2).

Üst Kretase yaşlı Yemişliçay ve Cankurtaran Formasyonlarından 16 tane ölçü alınmıştır. Bu birimlerdeki paleoakıntıların yönü ortalama 95-125 derece arasındadır. Eosen yaşlı Gökirmak Formasyonu'nda ise 10 tane ölçü alınmıştır. Ölçülen paleoakıntı değerleri ortalama 270-300 derece arasındadır (Şekil-17).



Şekil-17 : Paleoakıntı yönlerini gösterir ve 30 ölçüden yapılmış gül diyagramı (Vektör çıkıştı merkezdir)

| YAS         | FORM                    | OLCUNUN ALINDIGI YER            | Akintinin<br>Gidis Yonu |
|-------------|-------------------------|---------------------------------|-------------------------|
| Orta Eosen  | Gökkirmak               | Ekinveren Dere                  | 300                     |
|             |                         | " "                             | 280                     |
|             |                         | " "                             | 300                     |
|             |                         | Maruf Köyü                      | 295                     |
|             |                         | Dağıldere                       | 270-280                 |
|             |                         | "                               | 280-300                 |
|             |                         | Şıhlar kuzeyi                   | 320                     |
|             |                         | Tekneyakası Dere                | 310                     |
|             |                         | " "                             | 300-315                 |
|             |                         | Bayamca Mahallesi               | 275                     |
| Üst Kretase | Yemisiçay + Cankurtaran | Duvaçam güneyi, Aksu Çayı       | 135                     |
|             |                         | " " , " "                       | 95                      |
|             |                         | " " , Maltlı Dere               | 130                     |
|             |                         | " " , " "                       | 132                     |
|             |                         | Duvaçam Mahallesi               | 140                     |
|             |                         | Karaat Çayı                     | 115                     |
|             |                         | Bassökü güneyi                  | 130                     |
|             |                         | Kırkgeçit Çayı                  | 120                     |
|             |                         | " "                             | 150                     |
|             |                         | " "                             | 100                     |
|             |                         | " "                             | 100                     |
|             |                         | " "                             | 105                     |
|             |                         | " "                             | 100                     |
|             |                         | Dranas                          | 105                     |
|             |                         | "                               | 105                     |
|             |                         | Kurtlu Köyü                     | 100                     |
| A. Kretase  | Çağlayan                | Akkaya Mahallesi                | 113                     |
|             |                         | Akçakise                        | 130                     |
|             |                         | Bürnük, Çilekli Dere            | 180                     |
|             |                         | Gülhali batısı, Kızıltürbe Dere | 130                     |

Çizelge-2 : İnceleme alanındaki kırıntılı kayaçlarda ölçülen kaval yapılarının (flut cast) yerleri ve ölçü değerleri

Sinop bölgesinde, Bafra-İnebolu arasındaki Üst Kretase yaşı volkanitlerde yapılan paleomanyetik ölçümeler sonucu, bölgenin Avrupa kıtasına göre saat ibresinin tersi yönünde  $45^{\circ}$ - $50^{\circ}$  arasında döndüğü saptanmıştır (Orbay ve dig., 1980).

Bu durumda, Sinop bölgesi ile inceleme alanındaki paleoakıntı değerleri gerçek değerler olmayıp jectektonik hareketlerden etkilenmişlerdir.

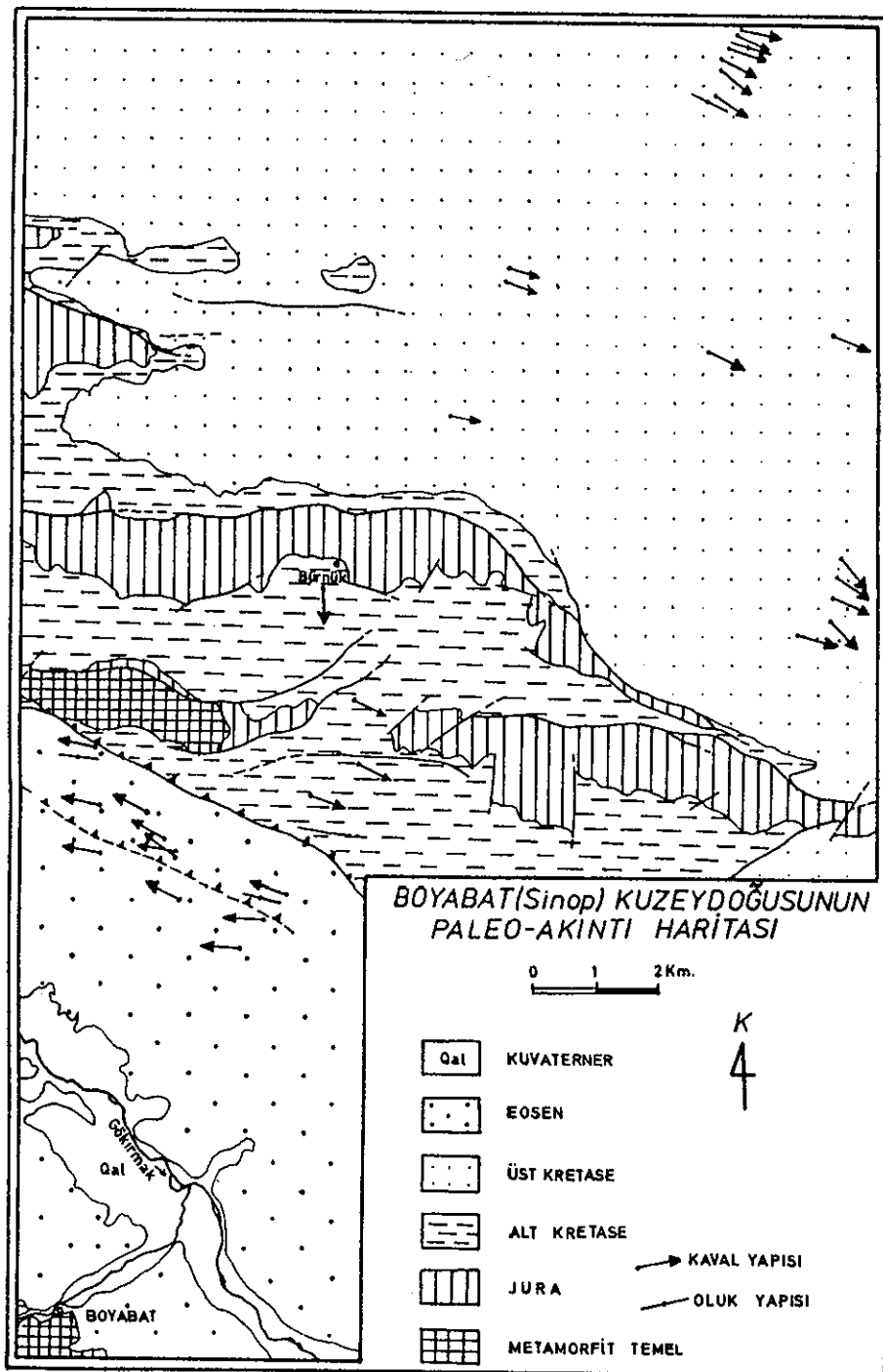
Gerek Üst Kretase ve gerekse Eosen yaşı birimlerde ölçülen paleoakıntı değerleri, paleomanyetik ölçümlere göre düzelttilerek, Üst Kretase yaşı birimler için ortalama paleoakıntı yönü  $165^{\circ}$ , Eosen yaşı birimler içinde ortalama paleoakıntı yönü  $325^{\circ}$  olarak bulunmuştur.

Bu değerlere göre, Üst Kretase'deki kaynak alanı ile çökel havzasının doğrultusu N 75 E, Eosen'deki kaynak alanı ile çökel havzasının doğrultusu da N 55 E olarak bulunmuştur.

Bu verilere göre, Üst Kretase yaşı çökeller, yaklaşık N 75 E doğrultulu bir yükselimden güney-güneydoğu'ya taşınarak birikmiştir. Eosen yaşı çökeller ise N 55 E doğrultulu bir yükselimden yaklaşık kuzeybatı yönüne taşınarak birikmiştir.

İnceleme alanında yüzeyleyen diğer birimlerden az sayıda ölçü alındığı için bir değerlendirme yapılamamıştır.

Gerek Üst Kretase ve gerekse Eosen yaşı çökellerden alınan ölçülerin yönleri oldukça düzenlidir (Şekil-18). Bu da bölgedeki tortulasma koşullarının düzenli olduğunu göstermektedir.



Sekil-18 : Paleoakıntı ölçümleri dağılım haritası

### 3. Y A P I S A L J E O L O J İ

İnceleme alanı Alpin kıvrımlanma kuşağı içindeki "Pontid Tektonik Birliği"nde yer almaktadır (Ketin, 1966; Şengör ve diğ., 1981) (Şekil-19).

Alpin dağ kuşağı Karpat'lar üzerinden Dobruca'ya oradan da Kırım ve Büyük Kafkasya'ya doğru uzanmaktadır. Karpat'lar üzerinden güneye kavis yapan bölüm ise Balkanlar üzerinden İstiranca'ya, daha sonra da Karadeniz kıyısı boyunca uzanarak Pontid'leri (Kuzey Anadolu Sıradağları) oluşturur ve daha doğuda Küçük Kafkas'larla birleşir. Karadeniz'in kuzey ve güneyinden uzanan bu sıradaglar daha sonra Azerbaycan bölgesinde birleşerek Alp-Himalaya kuşanının bir bölümünü oluştururlar.

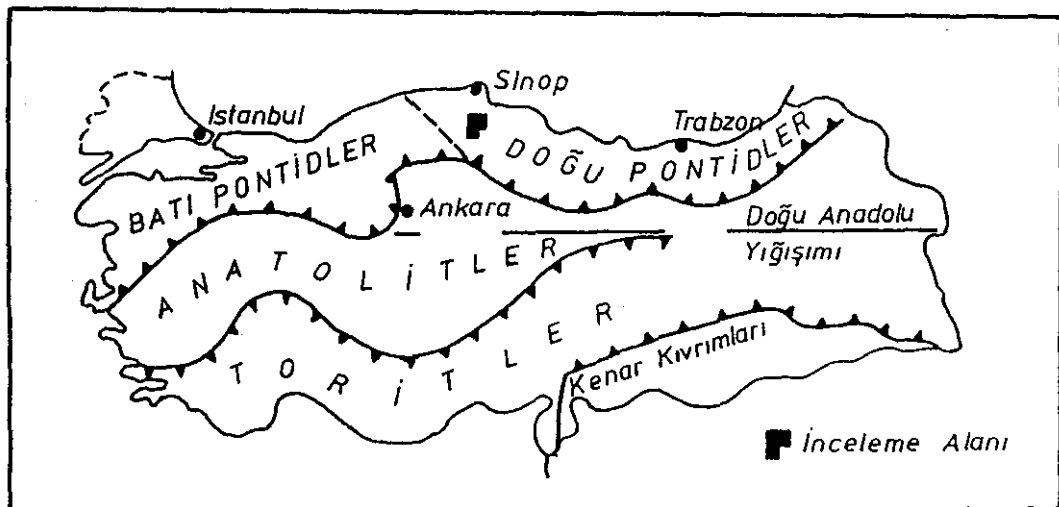
Alp-Himalaya orojeni içinde yer alan Pontid kuşanının oluşum ve jeotektonik evrimi ile ilgili olarak çeşitli yazarlar tarafından değişik görüşler ileri sürülmüştür (Brinkman, 1974; Neprochnov ve diğ., 1974; Adamia ve diğ., 1977; Saner, 1979; Gedikoğlu ve diğ., 1980; Şengör ve diğ., 1981; Şengör ve Yılmaz, 1983). Ancak bu görüşlerin bir çoğu veri yetersizliği nedeniyle kuramlara ve varsayımlara dayandırılmıştır.

İnceleme alanındaki istiflenme, düşük dereceli yeşil şist fasiyesindeki bir temel üzerinde gelişmiştir.

Bölgedeki kıvrım eksenleri yaklaşık doğu-batı doğrultuludur. Yapılan kontur ve gül diyagramlarında bölgenin kuzey-güney yönündeki teğetsel kuvvet çiftlerinin etkisi altında kaldığı görülmektedir.

Yakınsayan Avrasya ve Anadolu kıtaları arasında yer alan bölge, sıkışma (kompresyon) tektoniğine bağlı olarak şekillenmiştir. Bu sıkışma tektoniğine bağlı olarak doğu-batı doğrultulu kıvrımlanma eksenleri ile düşey faylanmalar oluşmuştur.

Bölgesel kompresyonun ileri aşamasında ise, bir bölüm inceleme alanı içerisinde kalan Ekinveran Ters Fayı güneye, Sinop-Ayancık-Gerze bölgesinde ise Erikli ve Karasu Ters Fayı kuzeye bindirmişlerdir. Olasılıkla bu bindirmeler Kuzey Anadolu Fayı'nın devreye girmesiyle



Şekil-19 : Türkiye'nin tektonik birlikleri (Şen-gör ve diğ., 1981)

etkinliklerini yitirmiştir. Pontid kuşağı Eosen sonunda ana tektonik özelliklerini kazanmış ve kara durumuna geçmiştir.

Çalışma alanımızdaki yapısal özellikler bu genel verilerin ışığı altında incelenmiştir.

### 3.1. UYUMSUZLUKLAR

İnceleme alanında yapılan saha gözlemleri ile sedimantolojik ve paleontolojik verilere göre bölgede Donetz, Üst Kimmerik, Austrik, Anadolu, Pireneik ve Savik Fazlarının etken oldukları anlaşılmıştır.

Bölgедe ilk hareketler olasılıkla Hersinyen sonunda başlamıştır. Jura öncesi temeli uyumsuz olarak örten Liyas yaşı Akgöl Formasyonu bu hareketlerden etkilenerek kıvrılmıştır (Donetz Fazı). Bu birim üzerine açısal uyumsuzlukla çakıltılarından oluşan Bürnük Formasyonu ile Akkaya Kireçtaşı gelmektedir. Bölgede ilk Alpin hareketler, Üst Kimmerik fazı ile hissedilmiştir. Bu fazdan Bürnük Formasyonu ve Akkaya Kireçtaşı etkilenmiştir. Akkaya Kireçtaşı'nı açısal uyumsuzla örten Alt Kretase yaşı Çaglayan Formasyonu ise Austrik fazından etkilenmiştir.

Bölgede Laramiyen Fazı'nın etkileri görülmeyecektir. Santoniyen'de başlayan çökelme İpresiyen'e kadar kesiksiz devam eder. İpresiyen'de bölge yeniden hareketlenmeye başlar (Anadolu Fazı). Lütesiyen yaşı Gökcırmak Formasyonu paralel uyumsuzlukla alttaki Üst Paleosen-İpresiyen yaşı Ardıçlı Formasyonu'nu örtmektedir. Gökcırmak Formasyonu'da Pireneik Fazı'ndan etkilenerek kıvrımlanmıştır. Gökcırmak Formasyonu üzerine uyumsuz olarak gelen Üst Eosen-Oligosen (?) yaşı Bağlıca ve Sakızdağı Formasyonları'nın ise Savık Fazı'ndan etkilenmiş olabilecekleri düşünülmektedir.

### **3.2. KATMAN EĞİM VE DOĞRULTULARI**

İnceleme alanındaki katman eğim ve doğrultu değerleri formasyonlara göre ayrılarak kontur ve gül diyagramları şeklinde gösterilmiştir.

#### Çağlayan Formasyonu (Alt Kretase) :

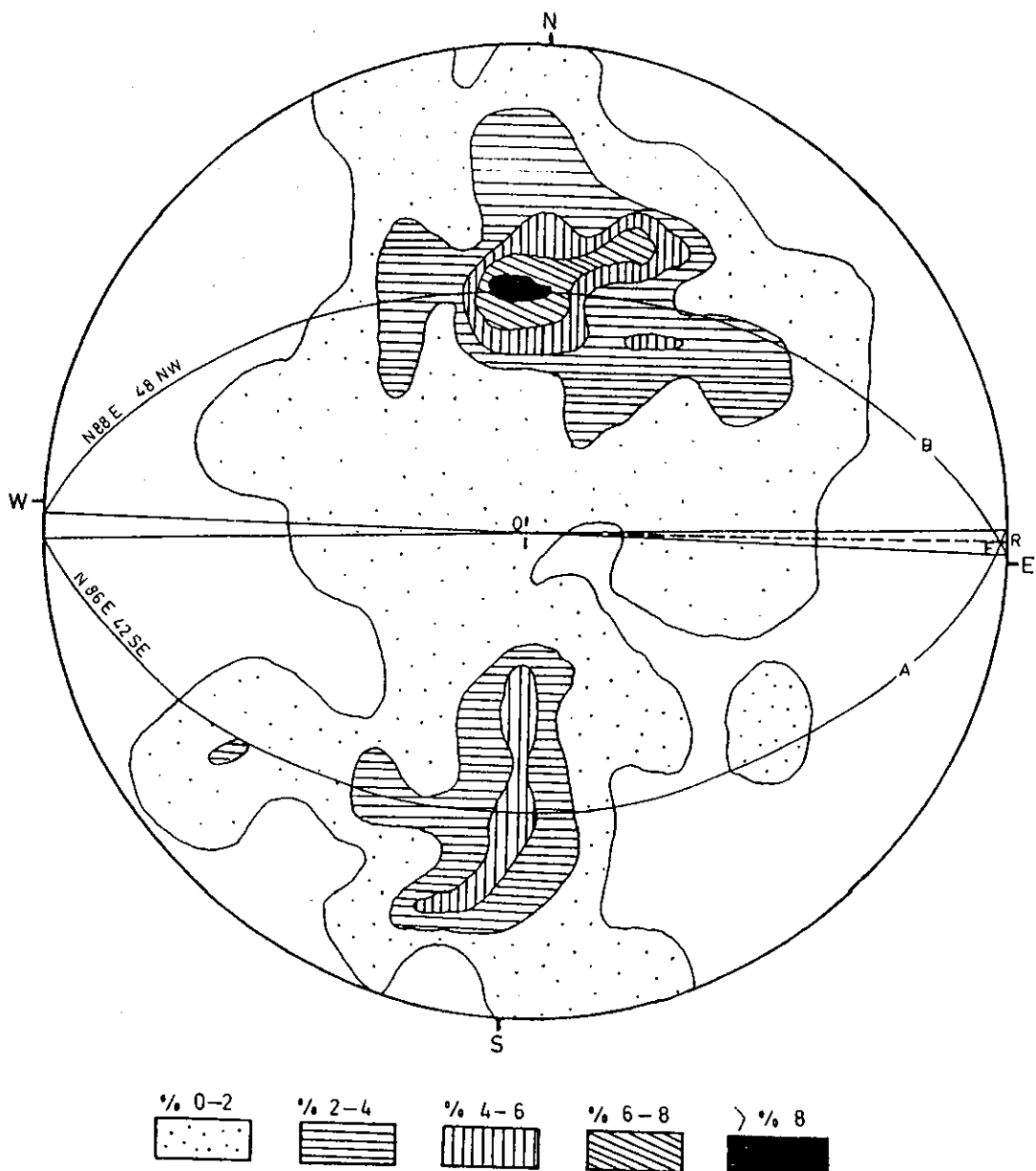
Kontur ve gül diyagramları 125 ölçüden yapılmıştır. Kontur diyagramına göre, egemen katman düzlemleri N 88 E, 48 NW ve N 86 E, 42 SE, kıvrım ekseninin dalımı 2 NE, doğrultusu ise N 87 E'dır (Şekil-20). Gül diyagramında ise doğrultu değerleri N 80-90 E ve N 70-80 W, eğim yönü 20-340 ve 160-200, eğim derecesi de 30-70°arasındadır. Egemen sıkıştırma yönü de N 6 W ve S 6 E'dır (Şekil-21).

#### Yemişliçay Formasyonu (Alt Maastrichtiyen) :

Kontur ve gül diyagramları 85 ölçüden yapılmıştır. Kontur diyagramına göre egemen katman düzlemleri E - W 34 N ve N 78 E, 14 SE'dır. Kıvrım ekseninin doğrultusu N 84 E, dalımı ise 6 NE'dır (Şekil-22). Gül diyagramında ise doğrultu değerleri N 80-90 E ve N 80-90 W, eğim yönü 20-350 ve 170-180, eğim derecesi ise 20-30 arasındadır. Egemen sıkıştırma yönü de N 5 E ve S 5 W'dır (Şekil-23).

#### Cankurtaran Formasyonu (Maastrichtiyen) :

Kontur ve gül diyagramları 375 ölçüden yapılmıştır. Kontur diyagramına göre egemen katman düzlemleri E - W, 10 N ve N 58 W, 32 SW'dır. Kıvrım ekseninin doğrultusu



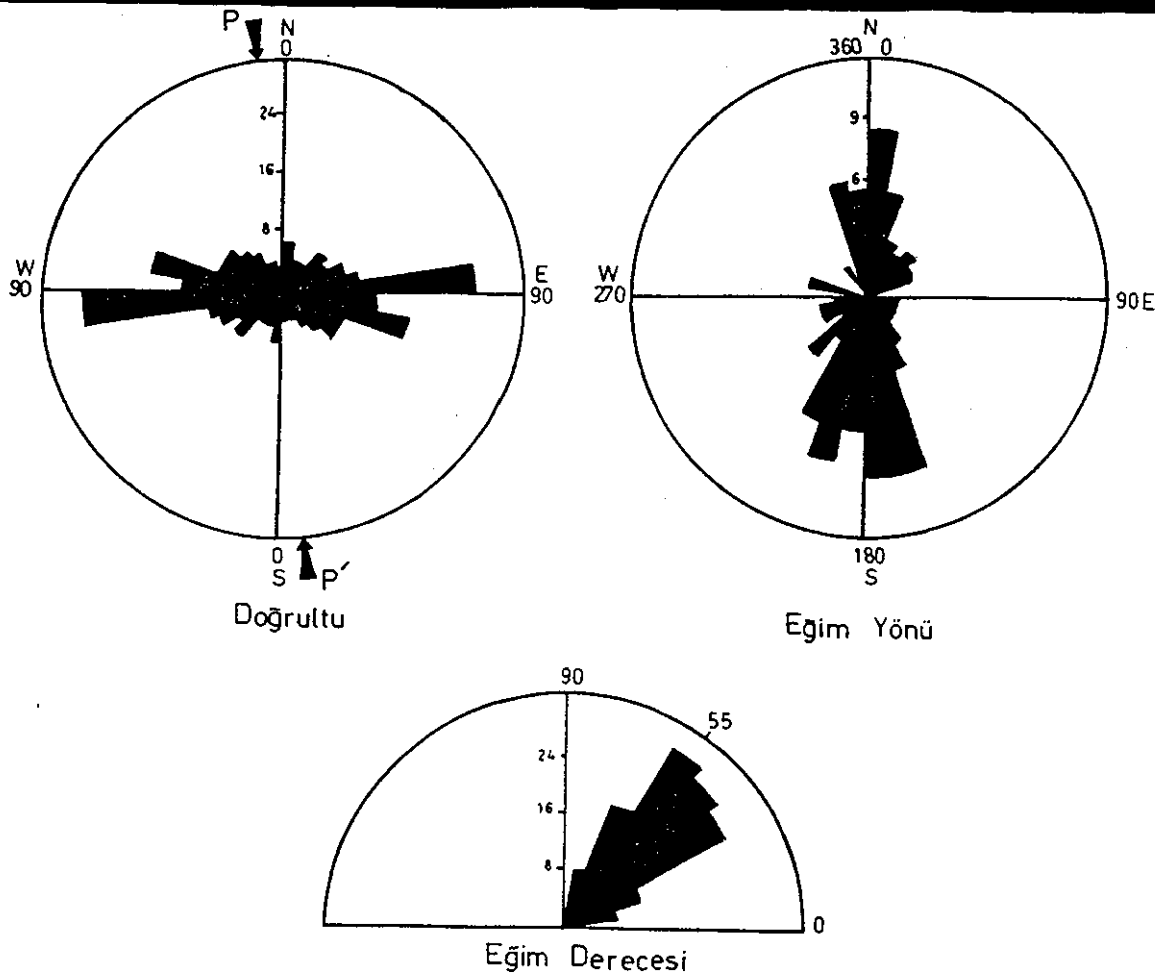
Şekil-20 : Alt Kretase yaşılı Çağlayan Formasyonu katmanlarına ait 125 ölçüden yapılmış kontur diyagramı (Schmidt ağı, alt yarı küre)

AB : Egemen katman düzlemleri

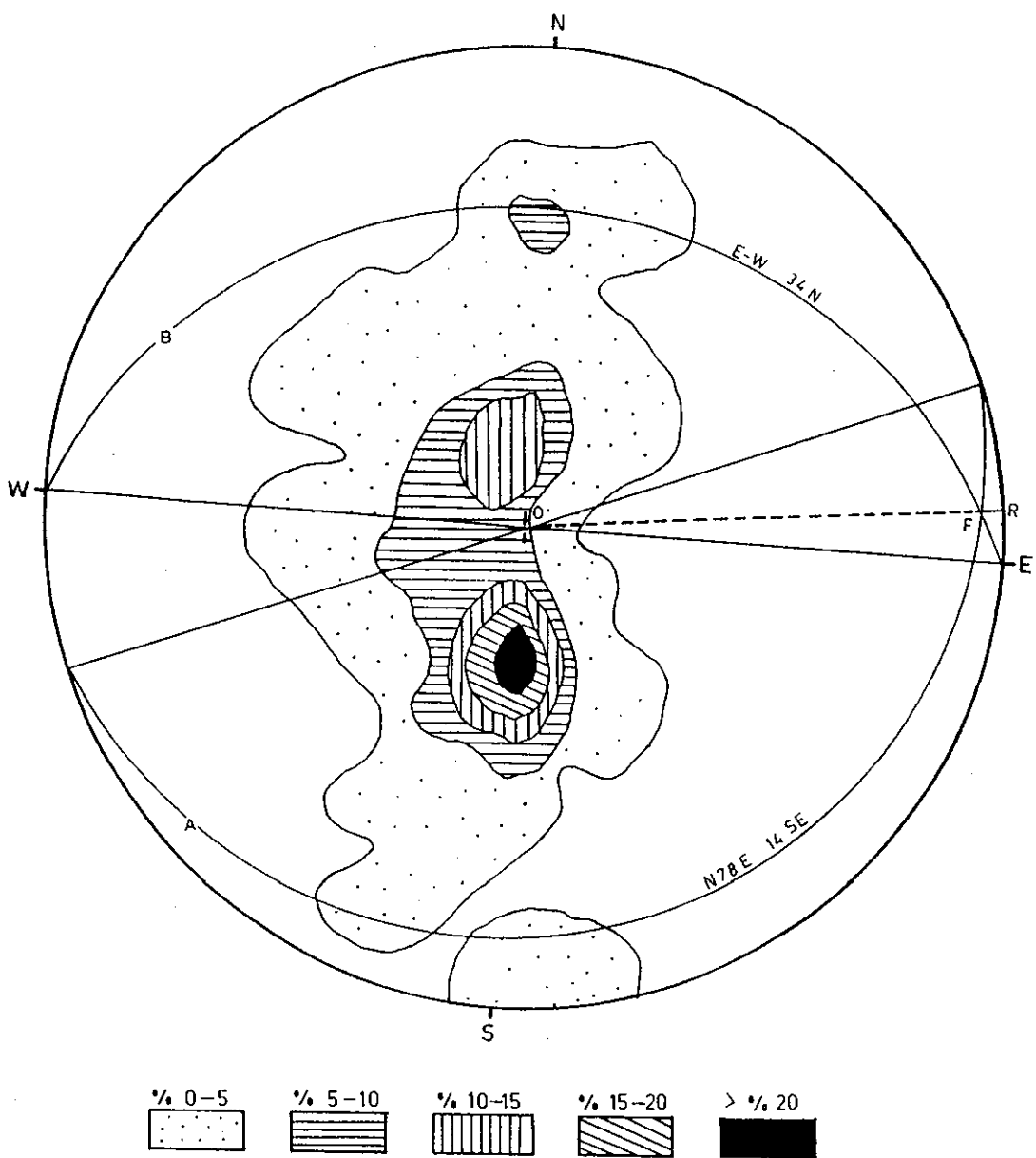
OR : Kırmızı ekseni ( $N 87^{\circ}E$ )

FR : Kırmızı ekseninin dalımı ( $2^{\circ}$ NE)

F : Kırmızı kutbu



Şekil-21 : Çağlayan Formasyonu katmanlarına ait gül diyagramları  
 P-P' : Egemen sıkıştırma yönü ( $N\ 6^{\circ}W$  ,  $S\ 6^{\circ}E$ )



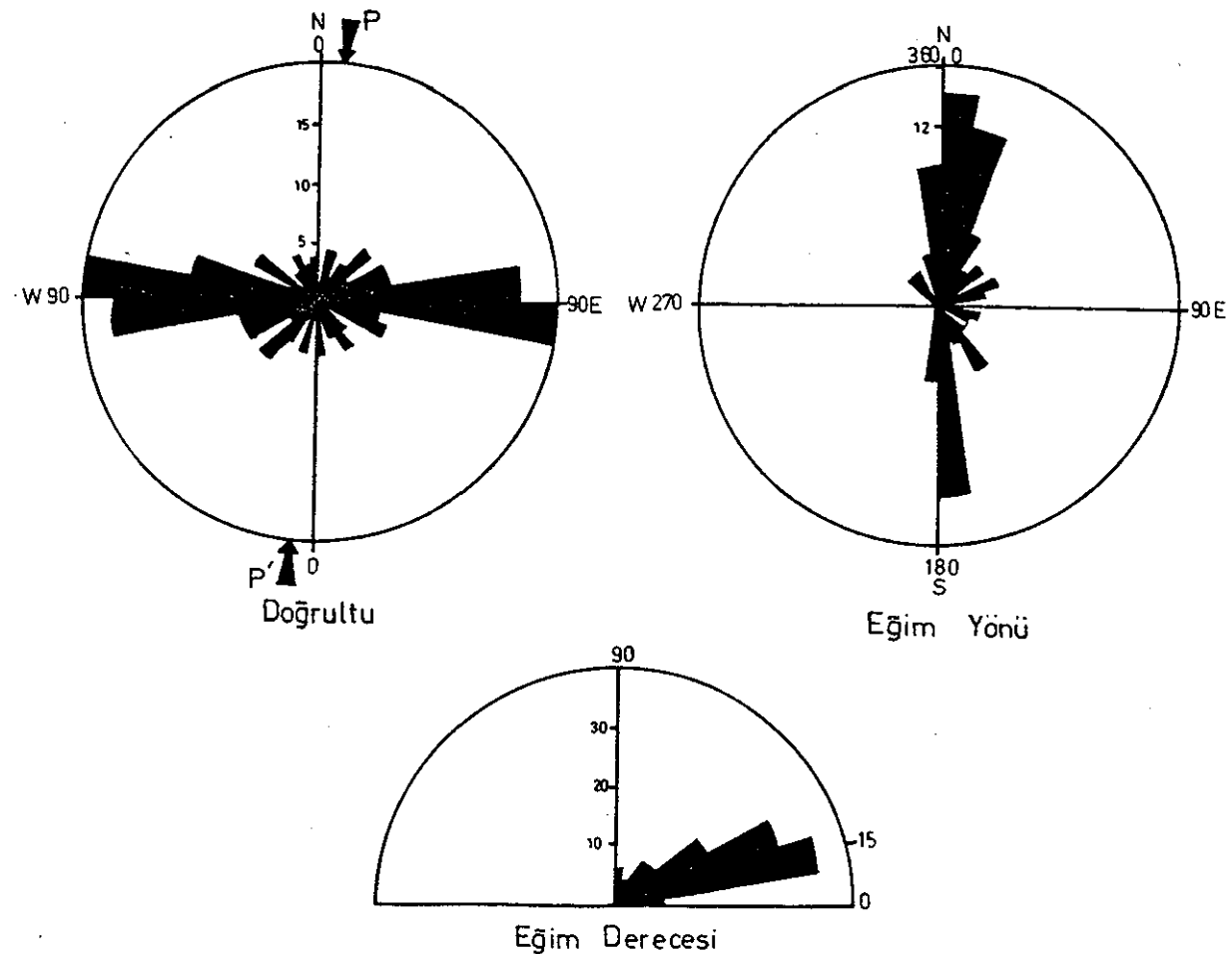
**Şekil-22 :** Alt Maastrichtiyen yaşı Yemisliçay Formasyonu katmanlarına ait 85 ölçüden yapılmış kontur diyagramı (Schmidt ağı, alt yarı küre)

AB : Egemen katman düzlemleri

OR : Kırırmızı ekseni ( $N 84^{\circ}E$ )

FR : Kırırmızı ekseninin dalımı ( $6^{\circ}NE$ )

F : Kırırmızı kutbu



Şekil-23 : Yemisliçay Formasyonu katmanlarına ait gül diyagramları  
 P-P' : Egemen sıkıştırma yönü ( $N\ 5^{\circ}E$  ,  $S\ 5^{\circ}W$ )

N 67 W, dalımı ise 6 NW'dır (Şekil-24). Güл diyagramında ise doğrultu değerleri N 40-90 E ve N 80-90 W, eğim yönü 330-10 ve 140-180, eğim derecesi ise 5-50 arasındadır. Egemen sıkıştırma yönü N 5 W ve S 5 E'dur (Şekil-25).

#### Gökirmak Formasyonu (Lütesyen) :

Kontur ve güл diyagramları 25 ölçüden yapılmıştır. Kontur diyagramına göre egemen katman düzlemleri N 72 W, 20 NE ve N 46 W'dır. Kırırm eksteninin doğrultusu N 48 W, dalımı ise 5 NW'dır (Şekil-26). Güл diyagramında ise doğrultu değerleri N 20-70 W, eğim yönü 180-210, eğim derecesi ise 60-80 arasındadır. Egemen sıkıştırma yönü N 48 E ve S 48 W'dır (Şekil-27).

#### Bağlıca Formasyonu (Üst Eosen) :

Kontur ve güл diyagramları 60 ölçüden yapılmıştır. Kontur diyagramına göre egemen katman düzlemleri N 78 E, 16 NW ve N 83 E, 17 SE'dır. Kırırm eksteninin doğrultusu S 80 W, dalımı ise 2 SW'dır (Şekil-28). Güл diyagramında ise doğrultu değerleri N 20-70 E ve N 50-60 W, eğim yönü 340-40 ve 200-220, eğim derecesi 5-50 arasındadır. Egemen sıkıştırma yönü N 5 W ve S 5 E'dur (Şekil-29).

İnceleme alanında yüzeyleyen diğer birimlerden az sayıda ölçü alındığı için değerlendirme yapılmamıştır.

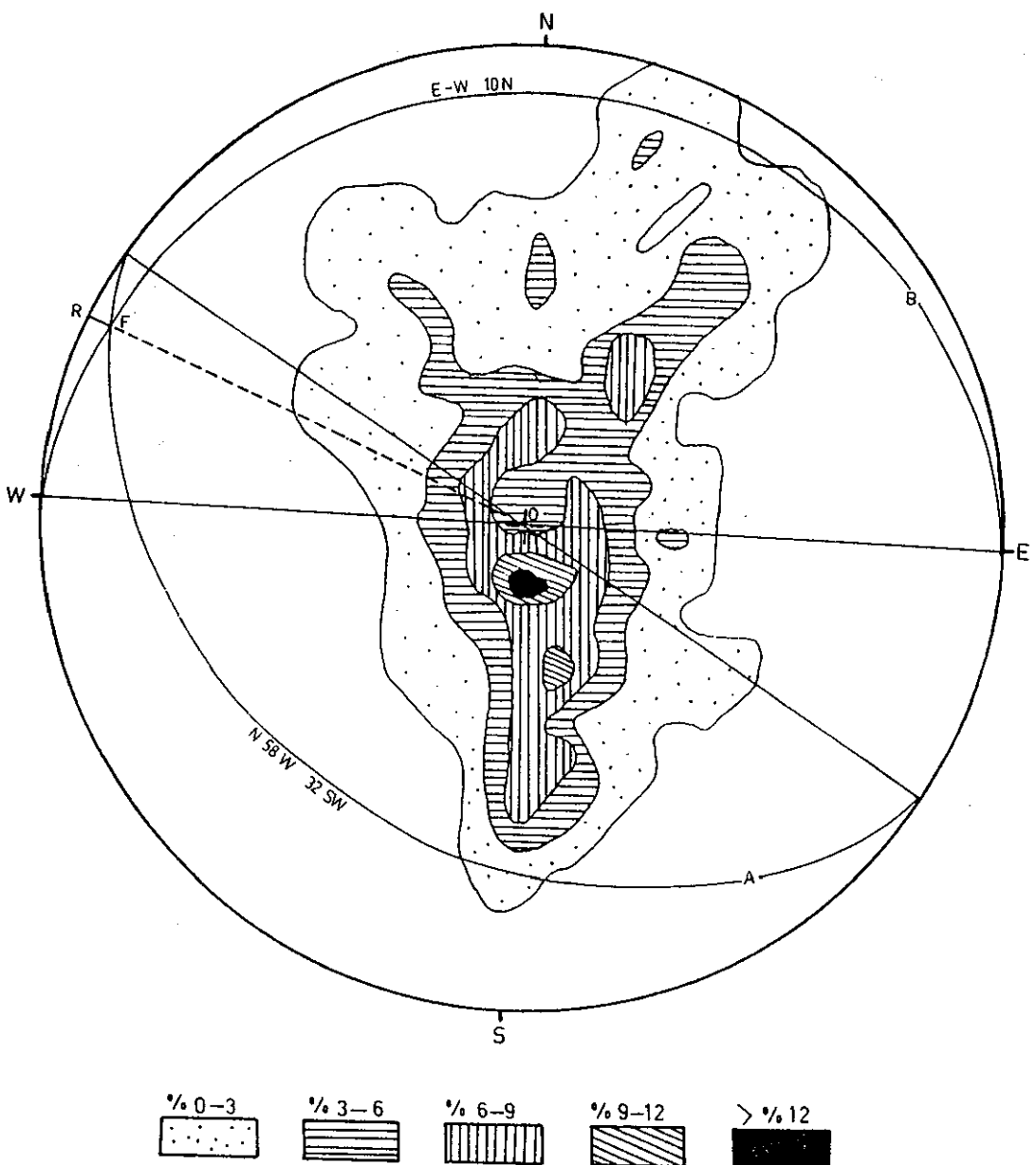
### 3.3. KIVRIMLI YAPILAR

İnceleme alanındaki kıvrımlı yapılar yaklaşık doğu-batı yönünde gelişmişlerdir.

#### 3.3.1. ANTİKLİNALLER

##### i blak Antiklinalı :

İnceleme alanının kuzey kesiminde Kuloğlu, Şihli, İblak, Soğuksu, Boyalıca ve Kazlı köylerinden geçerek doğu-batı yönünde uzanmaktadır. Yapı 18 km. uzunluğunda ve 2,5 km. genişliğindedir. Antiklinalın bulunduğu yöredeki katman doğrultu ve eğimlerinden yapılan kontur diyagramında egemen katman düzlemleri (kıvrımlı kanatları) N 88 E



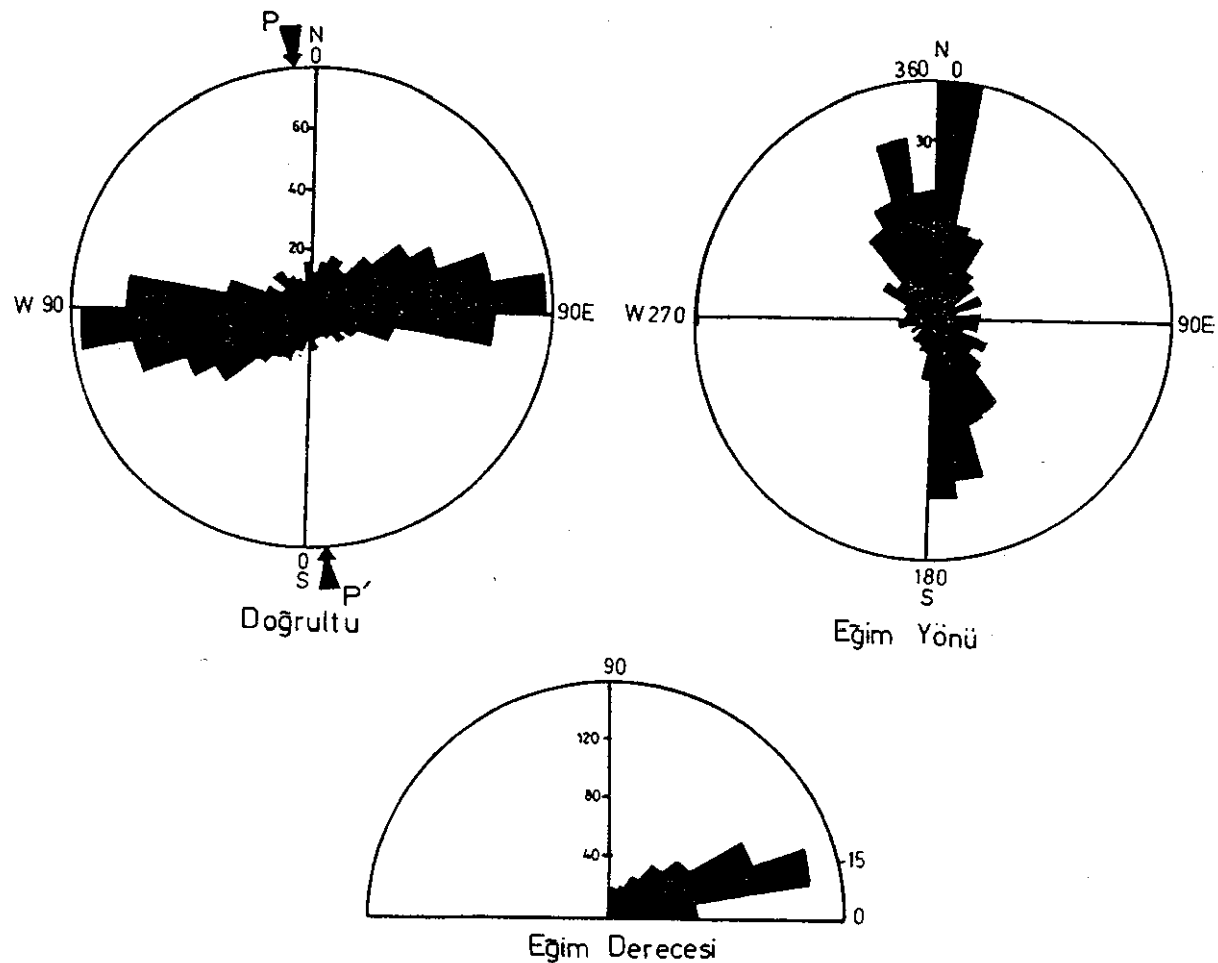
**Şekil-24 :** Maastrichtyen yaşılı Cankurtaran Formasyonu katmanlarına ait 375 ölçüden yapılmış kontur diyagramı (Schmidt ağı, alt yarı küre)

AB : Egemen katman düzlemleri

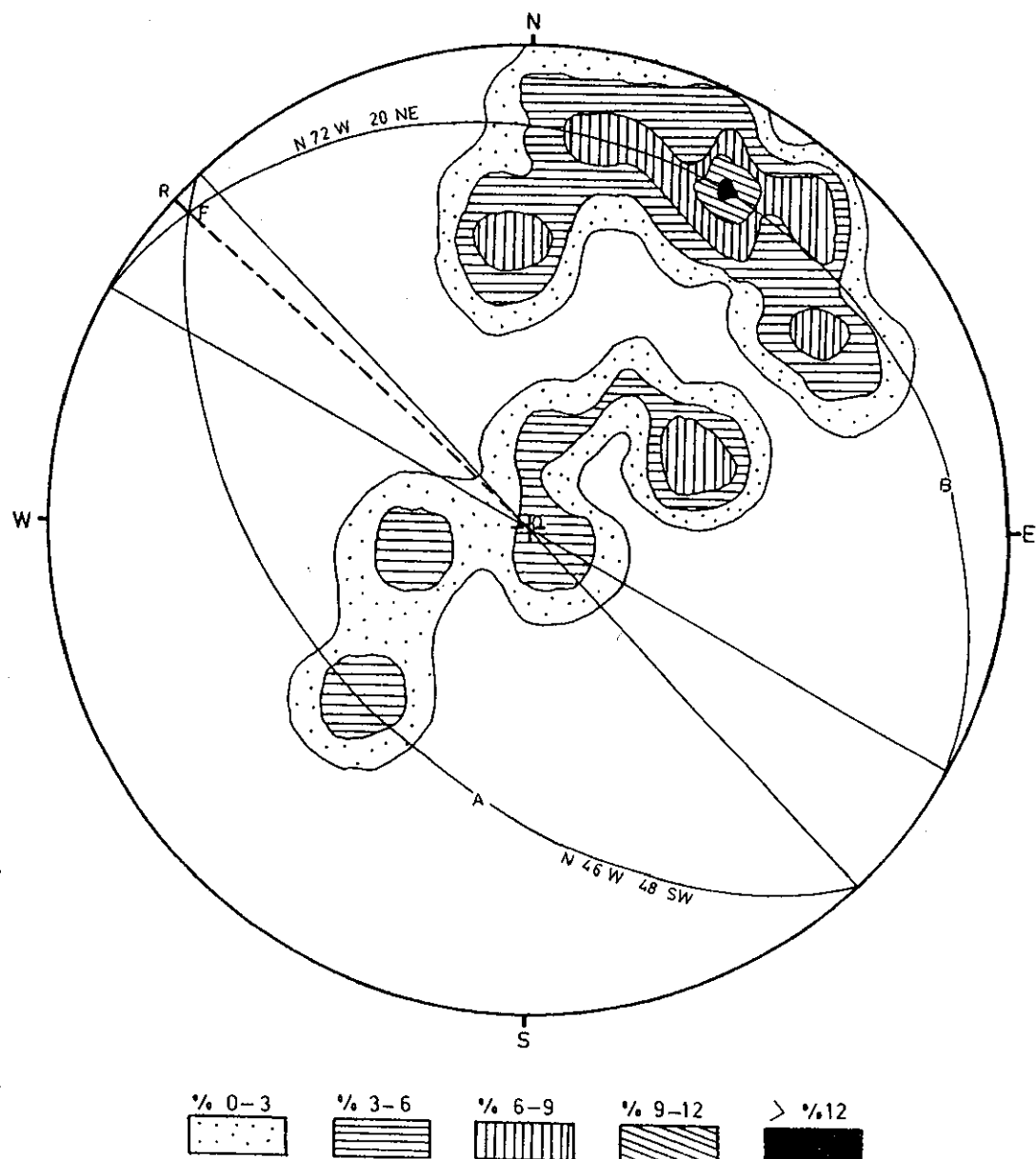
OR : Kıvrım ekseni ( $N 67^{\circ}W$ )

FR : Kıvrım ekseninin dalımı ( $6^{\circ}NW$ )

F : Kıvrım kutbu



Şekil-25 : Cankurtaran Formasyonu katmanlarına ait gül diyagramları  
 P-P' : Egemen sıkıştırma yönü ( $N\ 50^{\circ}W$  ,  $S\ 50^{\circ}E$ )



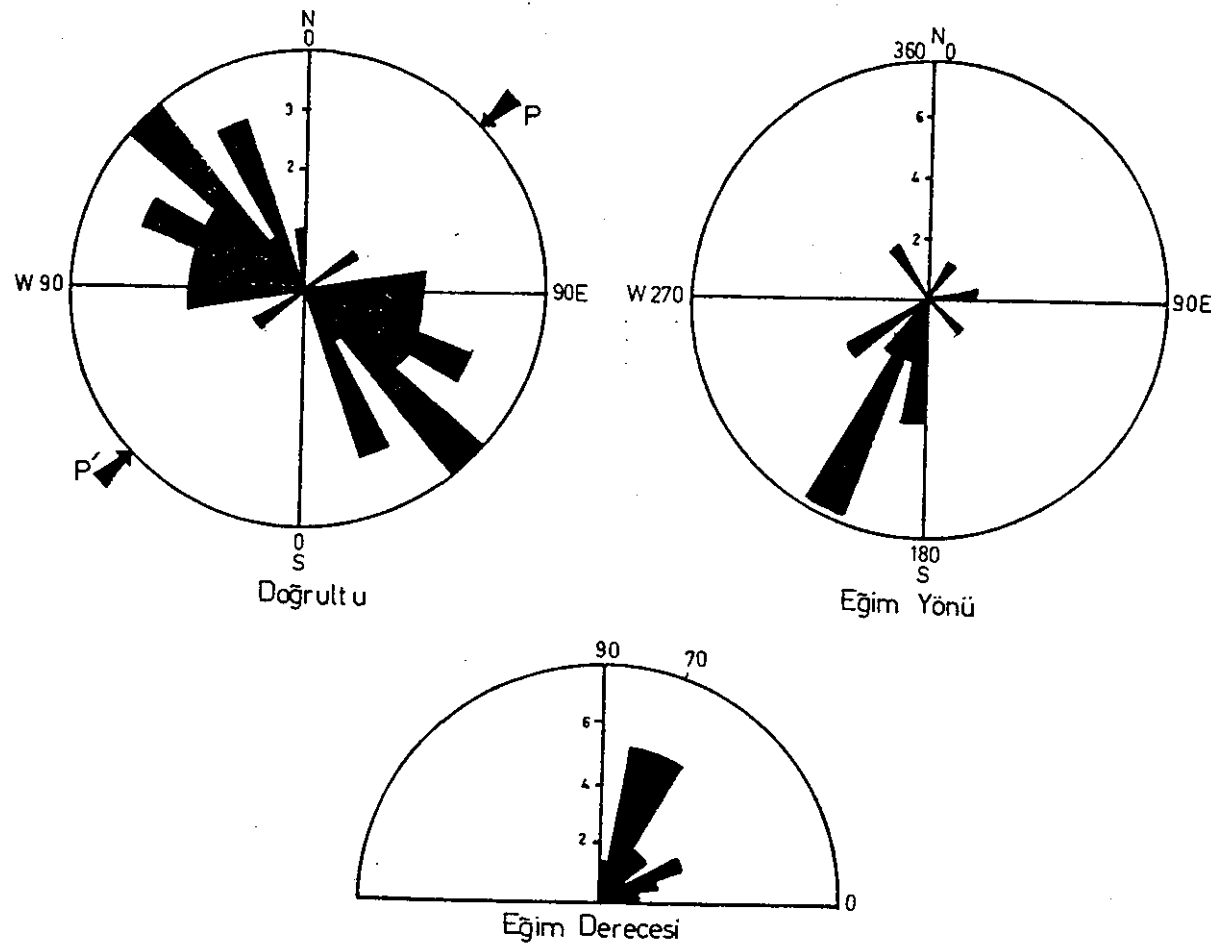
**Şekil-26 :** Eosen yaşılı Gökirmak Formasyonu katmanlarına ait 25 ölçüden yapılmış kontur diyagramı (Schmidt ağı, alt yarı küre)

AB : Egemen katman düzlemleri

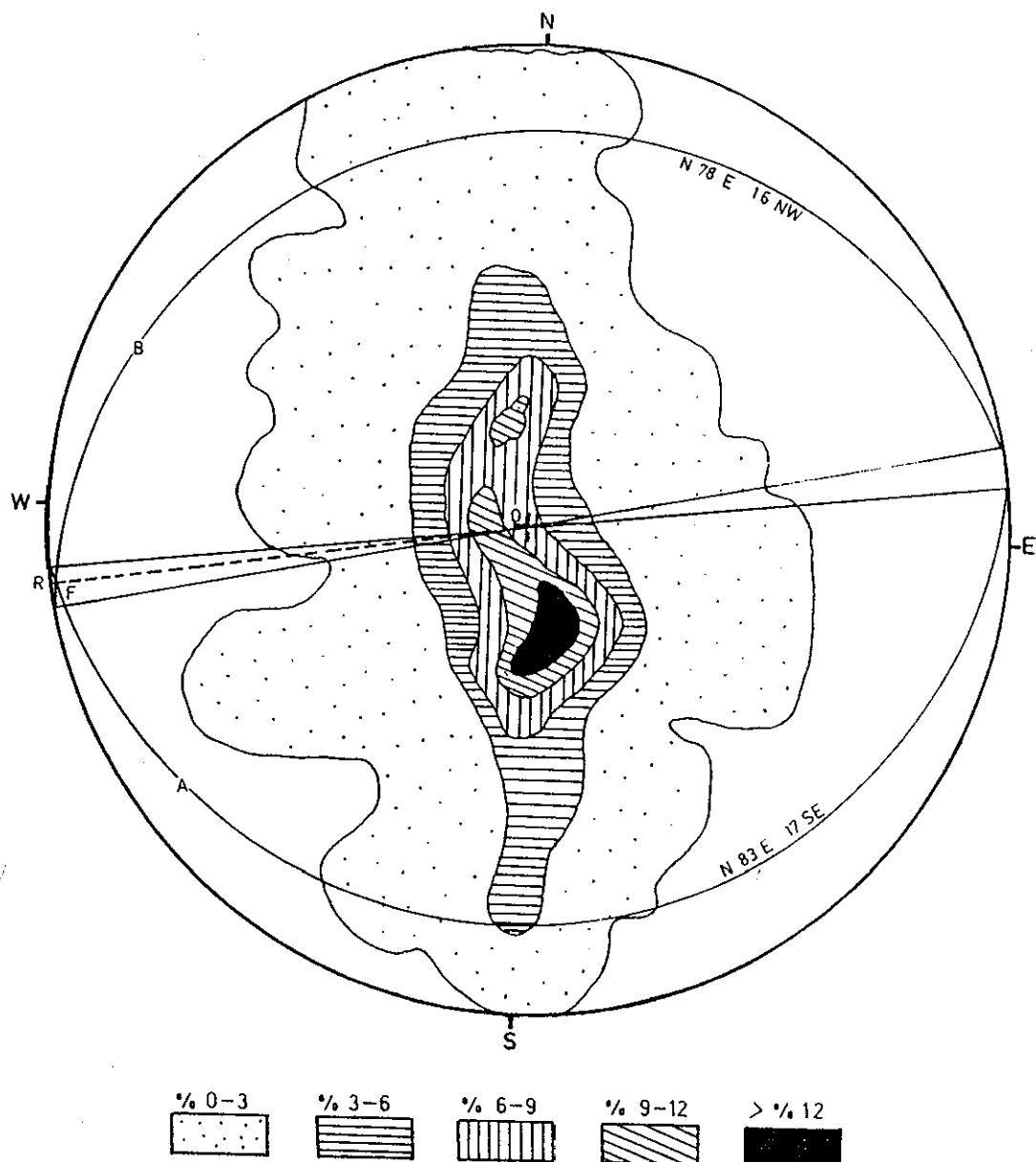
OR : Kırırm eksenini ( $N 48^{\circ}W$ )

FR : Kırırm ekseninin dalımı ( $5^{\circ}NW$ )

F : Kırırm kutbu



Şekil-27 : Gökirmak Formasyonu katmanlarına ait gül diyagramları  
 P-P' : Egemen sıkıştırma yönü ( N  $48^{\circ}$ E , S  $48^{\circ}$ W)



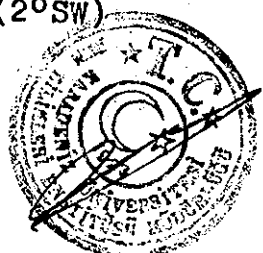
**Şekil-28 :** Üst Eosen yaşı Bağlıca Formasyonu katmanlarına ait 60 ölçüden yapılmış kontur diyagramı (Schmidt ağı, alt yarı küre)

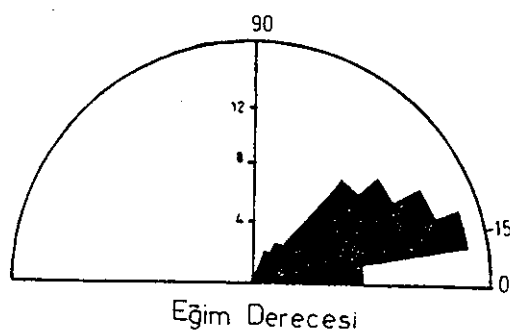
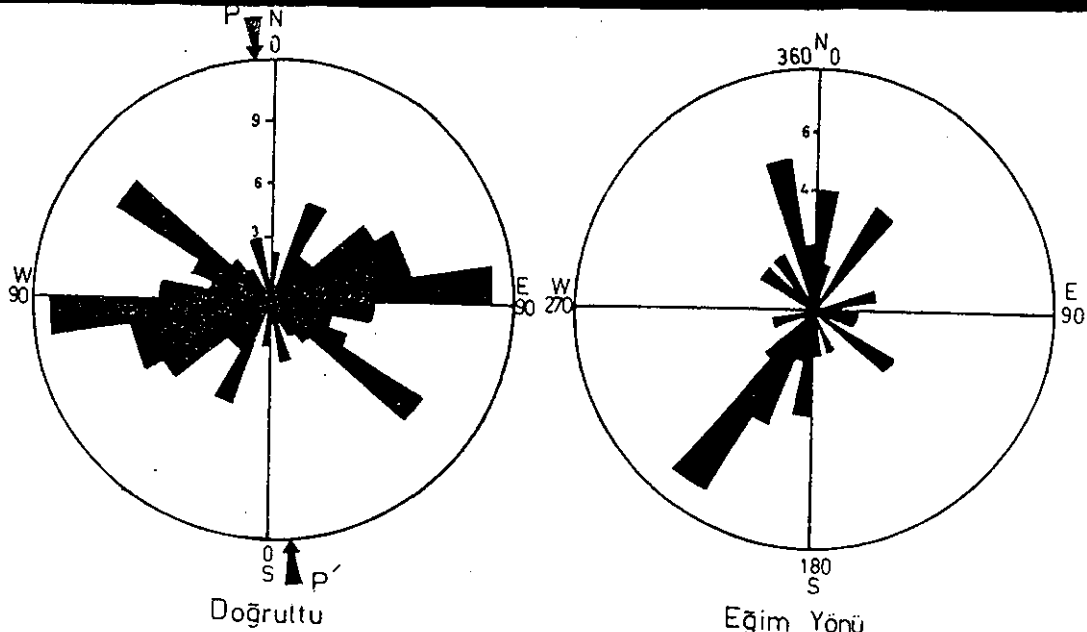
AB : Egemen katman düzlemleri

OR : Kırırmızı ekseni ( $S 80^{\circ}W$ )

FR : Kırırmızı ekseninin dalımı ( $2^{\circ}Sw$ )

F : Kırırmızı kutbu





Şekil- 29 : Bağlıca Formasyonu katmanlarına ait gül diyagramları  
 P-P' : Egemen sıkıştırma yönü ( N  $5^{\circ}$ W , S  $5^{\circ}$ E)

20 NW ve N 60 W, 14 SE'dur. Antkilinal ekseninin doğrultusu N 76 E ve dalımı  $5^{\circ}$  NE'dur (Şekil- 30). Yapı dik ve asimetrik olup, Cankurtan Formasyonu içinde gelişmiştir. Ancak aşınmış vadilerde yer yer Yemişliçay Formasyonu yüzeylemektedir.

#### Göktepe Antiklinalı :

Yapı, 15 km. uzunluğunda ve 5 km. genişliğinde olup yaklaşık doğu-batı yönünde Boyalı, Diranaz, Göktepe, Zıplık Mahallesi'nden geçerek inceleme alanı dışına çıkmaktadır. Antiklinal ekseni yaklaşık  $10^{\circ}$  lik bir eğimle doğu yönünde dalımlıdır. Deşilmiş bir antiklinal olup, merkezinde Akkaya Kireçtaşı, Çağlayan, Kapanboğazı ve Yemişliçay Formasyonları yüzeylemektedir. Yapının güney kanadı 6 km. uzunluğunda düşey bir fayla kesilmiştir.

#### Çalış Antiklinalı :

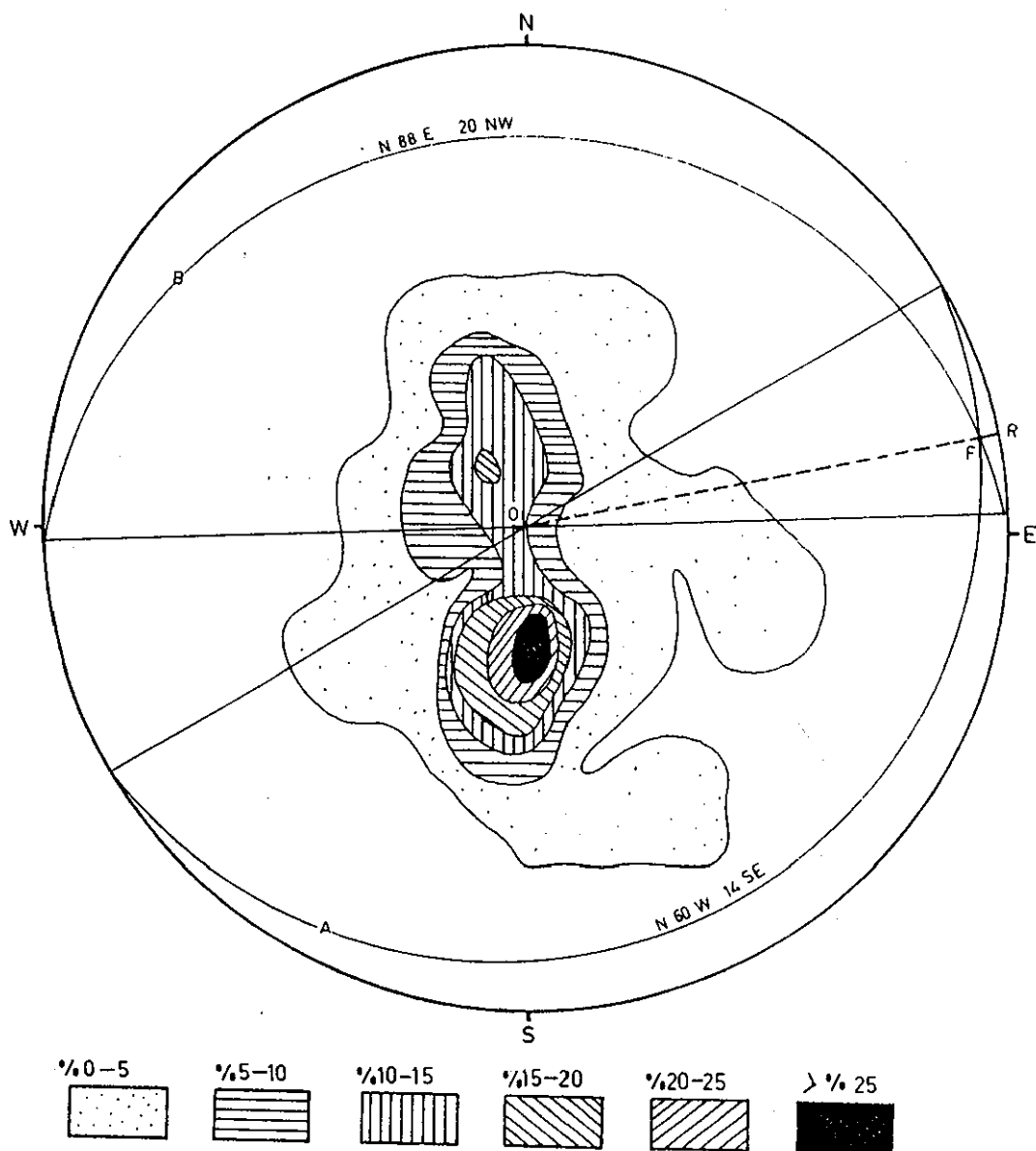
Antiklinal 8 km. uzunluğunda, 3 km. genişliğinde olup, Çalış ve Mercedünlü Mahallelerinden geçerek doğu-batı yönünde uzanmaktadır. Batı yönünde inceleme alanının dışına çıkar. Yapının kuzey kanadı faylı olup, merkezinde Akgöl ve Bürnük Formasyonları ile Akkaya Kireçtaşı, Çağlayan, Kapanboğazı ve Yemişliçay Formasyonları yüzeylemektedir. Antiklinal ekseni  $10^{\circ}$  doğu-güneydoğuya dalımlıdır.

#### Karaveran Antiklinalı :

Yapı, inceleme alanının güneyinde, 7 km. uzunluğunda, 5 km. genişliğinde olup, yaklaşık güneybatı-kuzeydoğu yönünde uzanmaktadır. Bağlıca Köyü kuzeyinde Karaveran ve Kuruçay Dere yöresinde belirgin olarak gözlenmektedir. Antiklinal Bağlıca Formasyonu içinde gelişmiş olup merkezinde Gökirmak Formasyonu yüzeylemektedir. Yapının belirgin bir dalımı ölçülememistiştir.

#### Bürnük Yükselimi :

Yapı, inceleme alanının orta kesiminde Yalnız Türbe Tepe, Bürnük, Çaldağ arasında doğu-batı yönünde, Çaldağ-Çokran Yayla arasında ise kuzeybatı-güneydoğu yönünde uzanan deşilmiş bir yükselimdir. Bu yükselimde bü-



Şekil-30 : İblak Antiklinali katmanlarına ait 100 ölçüden yapılmış kontur diyagramı  
(Schmidt ağı, alt yarı küre)

- AB : Egemen katman düzlemleri (kivrim kanatları)
- OR : Kivrim ekseni ( $N 76^{\circ}E$ )
- FR : Kivrim ekseninin dalımı ( $5^{\circ}NE$ )
- F : Kivrim kutbu

tün birimler yüzeylemektedir. Yükselimin kuzey ve güney kanatları düşey faylarla kesilmiştir. Yapının uzunluğu 20 km., genişliği ise 3-6 km. arasında olup, belirgin bir dalımı yoktur.

#### Aliç Yükselimi :

Kepez Tepe, Eğrek Tepe, Çal Tepe, Aliç Mahallesi, Kaşbaşı Yayla, Ballıkaya, Karasivri Tepe ve Yalı Mahalle'sinde doğu-batı yönünde uzanan bir yükseldir. Yapıyı Çağlayan Formasyonu gevreləmiş olup, merkezinde temelden itibaren bütün birimler yüzeylemektedir. Yükselimin uzunluğu yaklaşık 30 km, genişliği ise 2-5 km. arasında değişmektedir. Yapıda belirgin bir dalım yoktur. Yükselimin kuzey ve güney kanatları düşey faylarla kesilmiştir.

#### 3.3.2. SENKLİNALLER

##### Sazlı Senkinalı :

Yapı, inceleme alanının kuzeyinde doğu-batı yönünde uzanmaktadır. 14 km. uzunlığında olup, kuzey kanadı ortalama 1-1,5 km., güney kanadı ise 3 km. genişliğinde asimetrik bir senkinalıdır. Kuzey kanadının eğim ortalaması  $20^{\circ}$ , güney kanadının eğim ortalaması ise  $25^{\circ}$  dolayındadır. Başlica Bekiroğlu, Mollaköy, Hürremşah, Kökçam Mahallesi, Sazlıköy ve Şıhli yörelerinde görülmektedir. Senkinalın merkezinde Cankurtaran Formasyonu yüzeylemektedir.

##### Gözsökü Senkinalı :

İnceleme alanının en uzun yapısıdır. Uzunluğu 21 km. olup, doğu ve batı yönünde çalışma alanı dışında da devam eder. Asimetrik bir yapı olup, genişliği batı kesiminde 2 km., orta ve doğu kesimlerde ise 5-6 km. ye kadar ulaşır. Başlica Elmabogaz, Faraltı Mahallesi, Mercüdünlü kuzeyi ve Çongal Dere'den geçerek doğu-batı yönünde uzanmaktadır. Kuzey kanadının eğim ortalaması  $40^{\circ}$ , güney kanadının eğim ortalaması ise  $30^{\circ}$  dolayındadır. Yapı Cankurtaran Formasyonu içinde gelişmiştir. Ancak batı ucunda Çağlayan, Kapanboğazı ve Yemişliçay Formasyonları yüzeylemektedir.

### Semso Senkinali :

Senkinal, 8 km. uzunluğunda, 5 km. genişliğinde-  
dir. Doğu-batı yönünde Helimoğlu, Mezarlıkçayı, Türbetepe  
ve Şemso Mahellesi'nden geçerek uzanır. Çağlayan Forma-  
syonu içinde gelişmiştir. Merkezinde Kapanboğazı, Yemişli-  
çay ve Cankurtaran Formasyonları yüzeylemektedir. Batı  
yönünde dalımlıdır. Doğu yönündeki dalımı belirgin değil-  
dir. Yapının batı kesimi simetrik olup, ortalama kanat  
eğimleri  $25^{\circ}$  -  $30^{\circ}$  arasında değişmektedir.

### Doğanburnu Senkinali :

Yapı, 11 km. uzunluğunda ve 3-4 km. genişliğinde-  
dir. Doğu-batı doğrultulu olup, Sarıcayer Yayla, Şıhlar  
Yayla, Bürnük güneyi, Doğanburnu Mahallesi ve Karaçomak  
Yayla yörelerinde görülmektedir. Merkezinde Çağlayan  
Formasyonu yüzeylemektedir.

Senkinal Bürnük ve Aliç yükselimleri arasında  
yer alır. Bu nedenle kuzey ve güney kanatlari düşey fay-  
larla kesilmiştir. Faylar nedeniyle dalımı kaybolmuştur.  
Yine faylanmalar nedeniyle yapının simetrisi bozulmuştur.  
Kanat eğimleri ortalama  $50^{\circ}$ - $60^{\circ}$  arasında değişmektedir.

### Kova Dere Senkinali :

Yapı, 7 km. uzunluğunda, 4 km. genişliğinde olup,  
yaklaşık kuzeybatı-güneydoğu yönünde, İncirlitepe, Kova  
Dere, Saydaş Dere yörelerini katederek uzanır. Merkezinde  
Bağlıca Formasyonu yüzeylemektedir. Simetrik bir senkli-  
naldır. Kanat eğimleri ortalama  $20^{\circ}$  dolayındadır.

### Diğer Kırımlı Yapılar :

Büyük kıvrımlı yapılara paralel olarak küçük öl-  
çekli kıvrımlı yapılarda oluşmuştur. Duvaçam Köyü ile  
Yörögün Mahallesi arasında Cankurtaran Formasyonu içinde  
doğu-batı doğrultulu, 5-6 km. uzunluğunda, 1 km. genişli-  
ğinde birbirine paralel iki antikinal ve iki senkinal  
gelmiştir.

Bunların dışında bölgede daha küçük ölçekli kıv-  
rımlanmalarda oluşmuştur.

### 3.4. KIRIKLI YAPILAR

İnceleme alanında kıvrımlı yapıların yanısıra kırıkçı yapılarda oluşmuştur. İncelemelerde büyük ve küçük ölçekli olmak üzere yaklaşık 32 fay saptanmıştır. Bu faylardan 26 tanesi normal, 6 tanesi doğrultu atımlı ve 2 tanesi de ters (bindirme) faydır. Bu faylardan önemli ve büyük ölçekli olan 15 tanesi yakından incelenmiştir. Fayların atımları düzeltilmiş jeolojik kesitlerden yaklaşık olarak ölçülmüştür.

#### 3.4.1. NORMAL FAYLAR

##### $F_3$ Fayı :

Fay, 4,5 km. uzunluğunda olup, yaklaşık kuzeybatı-güneydoğu doğrultuludur. Kuzeybatı yönünde inceleme alanı dışına çıkar. Çalış Antiklinali'nin kuzey kanadında gelişmiş düşey atımlı bir faydır. Atımı yaklaşık 200-250 m. kadar olup, kuzey blok düşmüş, güney blok ise yükselmiştir. Kurupınar Mevkii, Akçakaya ve Çalış Yayla yörelerinde görülen bu fay, Alt Kretase yaşı Çaglayan Formasyonu ile Liyas yaşı Akgöl Formasyonu dokanağında gelişmiştir.

##### $F_4$ Fayı :

Fay, 6 km. uzunluğunda düşey bir faydır. Atımı yaklaşık 300 m. kadardır. Fay doğu-batı doğrultulu olup, Çatmacı Tepe, Dikilitaş Tepe ve Hayat Dere boyunca uzanmaktadır. Fayın kuzey bloku yükselmiş, güney bloku düşmüştür. Göktepe Antiklinali'nin güney kanadında, Yemişliçay ve Çankurtaran Formasyonları dokanağında gelişmiştir.

##### $F_6$ Fayı :

Fay, yaklaşık doğu-batı doğrultulu olup, 14 km. uzunluğundadır. Ayıkayası Yayla, Kovancı Tepe, Taşpinar Tepe ve Çaldağ yöresinde görülen fayın atımı yaklaşık 400-500 m. arasındadır. Alt Kretase yaşı Çaglayan Formasyonu ile Jura yaşı Akgöl Formasyonu ve Akkaya Kireçtaşı dokanaklarında gelişmiş olan bu fayın, kuzey blok düşmüş, güney blok ise yükselmiştir.

**F<sub>9</sub> Fayı :**

Fay, 4 km. uzunluğunda olup, kuzeydoğu, güneybatı doğrultuludur. Üst Kretase yaşı Yemişliçay Formasyonu ile Dogger-Malm yaşı Akkaya Kireçtaşı dokanağında gelişmiştir. Atımı yaklaşık 800-1000 m. arasında olup, kuzey bloku yükselmış, güney bloku ise düşmüştür. Fay Zincirlikuyu ve Kozkule yöresinde gözlenmektedir.

**F<sub>10</sub> Fayı :**

Fayın uzunluğu 9 km. olup yaklaşık doğu-batı doğrultuludur. Başlıca Cingirkuyu Dere, Kılıçlı Yayla, Kale Mevki ve Orta Mahalle boyunca görülmektedir. Atımı yaklaşık 750-800 m. kadar olup, kuzey blok düşmüş, güney blok ise yükselmiştir. Faylanma, Çağlayan Formasyonu ile Jura yaşı Akgöl Formasyonu ve Akkaya Kireçtaşı dokanaklarında gelişmiştir.

**F<sub>13</sub> Fayı :**

Fayın uzunluğu 5 km. olup, doğu-batı doğrultuludur. Alt Kretase yaşı Çağlayan Formasyonu içinde gelişmiştir. Atımı yaklaşık 150-200 m. arasındadır. Fay Sarıkaya Tepe, Sekü Mevki ve Üzümlü Mahallesi boyunca uzanmakta olup, kuzey blok yükselmış, güney blok ise düşmüştür.

**F<sub>16</sub> Fayı :**

Fay, 8 km. uzunluğunda, yaklaşık doğu-batı doğrultulu olup, doğu yönünde kuzeydoğuya yönelmektedir. Akpinar, Eğriceoluk, Sarıpın Yayla ve Aliç Yayla boyunca uzanan fay, Boyabat Metamorfitleri ile Jura yaşı Akgöl Formasyonu, Akkaya Kireçtaşı ve Alt Kretase yaşı Çağlayan Formasyonu içerisinde gelişmiştir. Fayın kuzey bloku yükselmış, güney bloku düşmüş olup, atımı yaklaşık 750 m. kadardır.

**F<sub>17</sub> Fayı :**

Fay, 5 km. uzunluğunda olup, kuzeydoğu-güneybatı doğrultuludur. Karatepe, Aliç Mahallesi, Karandı Mahallesi boyunca gözlenen fay, Alt Kretase yaşı Çağlayan Formasyonu ile Boyabat Metamorfitleri, Jura yaşı Akgöl Formasyonu ve Akkaya Kireçtaşı dokanaklarında gelişmiştir. Fayın atımı yaklaşık 500 m. olup, kuzey blok düşmüş, güney blok ise yükselmiştir.

**F<sub>21</sub> Fayı :**

Fay, 5 km. uzunluğunda, yaklaşık kuzeybatı-güney-doğu doğrultulu olup, Karaçomak Yayla kuzeyi ve Atmaca Dere boyunca görülmektedir. Fay Alt Kretase yaşılı Çağlayan Formasyonu ile Jura yaşılı Akgöl, Bürnük Formasyonları ve Akkaya Kireçtaşı dokanaklarında gelişmiştir. Fayın atımı yaklaşık 750-1000 m. arasında olup, kuzey blok yükselmiş, güney blok ise düşmüştür.

**3.4.2. DOĞRULTU ATIMLI FAYLAR****F<sub>2</sub> Fayı :**

Bu fay, inceleme alanının kuzeybatı yöresinde, Zıpkın Mahallesi'nin batısındaki Karadağ Çayı boyunca gözlemlenmiştir. Fayın doğrultusu kuzeydoğu-güneybatı olup, Çağlayan Formasyonu ile Kapanboğazı ve Yemişliçay Formasyonları dokanaklarında gelişmiştir. Uzunluğu yaklaşık 1 km. dir. Sol yönlü bir fay olup atımı yaklaşık 350-400 m. ölçülmüştür.

**F<sub>11</sub> Fayı :**

Fay, Üzümlü Mahallesi doğusundaki Sarımeşelik Mevki ile Yolçalı Yayla arasında kuzeydoğu-güneybatı yönünde uzanmaktadır. Sol yönlü bir fay olup, atımı yaklaşık 100-125 m. arasındadır. Uzunluğu ise 2 km.dir. Fay Akkaya Kireçtaşı ile Çağlayan Formasyonları içinde gelişmiştir.

**F<sub>22</sub> Fayı :**

Bu fay inceleme alanının güneydoğu yöresindeki Hacılar Mahallesi kuzeyinde Ardiçlı Mevki ile Çal Tepe arasında izlenmektedir. Uzunluğu 5 km. olup, sağ yönlü bir faydır. Fayın atımı yaklaşık 375 m. olarak ölçülmüştür. Fay, Akgöl Formasyonu, Akkaya Kireçtaşı ve Yemişliçay Formasyonu Çokran Üyesi içinde gelişmiştir.

### 3.4.3. TERS FAYLAR (BİNDİRME)

#### Ekinveran Fayı :

İnceleme alanı içindeki uzunluğu 10 km. olan bu fay, inceleme alanının dışında da kilometrelerce devam etmektedir. Yaklaşık kuzeybatı-güneydoğu doğrultulu olup, Balkaya, Bayamca, Ekinveran Köyü, Ardıçliburun Sırtı güneyi, Emirli ve Çaltu yöresinden geçmektedir. Ters açılı bir faydır. Yüzeydeki eğim açısı arazi verilerine göre  $60^{\circ}$  -  $80^{\circ}$  arasındadır. Fay zonunda, Alt Kretase yaşılı Çağlayan Formasyonu, Üst Kretase-Orta Eosen yaşılı formasyonlar üzerine bindirmiştir. Ters faylanma nedeniyle Cankurtaran, Çaltu, Ardıçlı Formasyonları ve Bayamca Kireçtaşısı fay zonu boyunca tektonik dilimler halinde yüzeylemektedir. Ayrıca bindirmenin üst blokunu oluşturan Çağlayan Formasyonu ile alt blokunu oluşturan Orta Eosen yaşılı Gökirmak Formasyonu'na ait katmanlar bindirme nedeniyle büyük ölçüde devrilmişlerdir. Bu devrilme fay zonu boyunca 1-2 km. lik bir alanda belirgin olarak gözlenmektedir. Bindirme yaklaşık güney-güneybatı yönündedir.

#### Maruf Fayı :

Ekinveran Fayı'na paralel olarak gelişmiş olasılık ters açılı bir faydır. Aynı doğrultu ve eğimde olup, Sarısivri Tepe, Maruf Köyü ve Martlı Mahallesi kuzeyinden geçmektedir. Ekinveran Fayı'na bağlı olarak oluşmuştur. Fayın kuzeyindeki bütün katmanlar güneye devriktir. Fayın güneyinde ise katmanlar normal eğimlerini korumaktadır. Fay, Gökirmak Formasyonu içinde gelişmiş olup, uzunluğu 8 km. kadardır. Bindirme yönü yaklaşık, güney-güneybatıdır.

### 3.4.4. FAYLARIN OLUŞUM MEKANİZMASI

İnceleme alanı içerisinde, normal, doğrultu atımlı ve bindirme fayları saptanmıştır. Bu fayların büyük çoğunu normal (düşey) faylar oluşturmaktadır.

İnceleme alanı içerisinde yapılan kontur ve gül diyagramlarından, bölgenin yaklaşık kuzey-güney yönü

bir kuvvet çiftinin etkisinde kaldığı görülmektedir. Bu kuvvetlerin etkisiyle bölgedeki kıvrımlanma eksenleri yaklaşık doğu-batı yönünde gelişmişlerdir. Kırıklı yapıların da genellikle doğu-batı doğrultulu ve kıvrım kanatlarında gelişmiş olmaları, bunların da kompresyon kuvvetleri ile oluştuğunu göstermektedir.

Kıvrımlanmayı oluşturan kompresyonun ileri aşamasında ise bindirme fayları oluşarak bölge tektoniğinde rahatlamalar olmuştur. Olasılıkla Kuzey Anadolu Fayı'nın devreye girmesiyle de bu faylar etkinliklerini yitirmişlerdir.

### 3.5. EKİNVERAN FAY ZONUNUN JEOLOJİSİ VE TEKTONİK ÖZELLİKLERİ

İnceleme alanının güneyinde, Bayamca, Ekinveran ve Çaltu Mahallesi'nden geçerek yaklaşık doğu-batı yönünde uzanan ters açılı fay, önceki çalışmalarında Gedik (1961), Gedik ve diğ.,(1981), Gedik ve Korkmaz (1982) tarafından Ekinveran Fayı olarak adlandırılmıştır. İnceleme alanı içindedeki uzunluğu 10 km. kadar olan bu fayın bölgedeki uzunluğu ise yaklaşık 200 km. kadardır.

Çalışma alanında, fay zonu boyunca, Alt Kretase yaşılı Çağlayan Formasyonu, Lütesiyen yaşılı Gökirmak Formasyonu üzerine bindirmiştir. Ters faylanma nedeniyle fay boyunca yaklaşık 1-2 km.lik bir alandaki bütün katmanlar güneye devrilmişlerdir.

Bu fay zonu boyunca, Bayamca ile Çaltu arasında Alt Kretase yaşılı Çağlayan Formasyonu ile Lütesiyen yaşılı Gökirmak Formasyonu arasında yer alan diğer birimler ters faylanma nedeniyle dilimler halinde parçalanmışlar ve yer yer yüzeye çıkmışlardır. Bu dilimlerin kalınlıkları bir kaç metre ile 50 m. arasında değişmektedir.

İnceleme alanının yakın yöresinde Gökçeağac Sakızı ve Hanönü bölgesinde tüm bu istif düzenli olarak gözlenmektedir.

Ayrıca yine inceleme alanı içerisinde fay zonunun güneyinde açılan Boyabat-1 sondajında (TPAO,1960), Lüte-

siyen yaşlı Gökırmak Formasyonu'nun altında, yaklaşık 600 m. lik Üst Kretase yaşlı çökel istifi kesilerek metamorfitlere girilmiştir. Kesilen bu istif, yapılan gözlemlere göre fay zonunda yüzeyleyen birimlerle aynı özelliklerini taşımaktadır. Bu özellikler ile yakın yöredeki birimlerden yararlanarak fay zonunda yüzeyleyen birimler ayırtlanmış ve stratigrafi çıkartılmıştır.

Ekinveran Fay zonu boyunca yüzeyleyen formasyonların, bindirme nedeniyle iç içe bulunmaları daha önceki araştıracıları çoğu kez yanlışlıkla düşürmüştür. Çünkü alınan örneklerin bazlarının Kretase yaşlı, bazlarının da Tersiyer yaşlı olmaları bu karışıklığa neden olmuştur. Alt Kretase flişi (Çağlayan Formasyonu) ile Eosen flişi (Gökırmak Formasyonu) arasında kalan ve genellikle beyaz renkli kireçtaşı ve marnlardan oluşan bu birimlere Blumenthal (1940) "Ekinveran Tabakaları" adını vermiş ve "iki flişi ayıran kalker şeridinin bazan Tersiyer'e, bazan Kretase'ye bazan de her iki devre ait teşekkür olduguunu" belirtmiştir. Bu durum gerçekte birimlerin tek bir formasyon olmayıp, değişik yaşlı birimlerin bindirme nedeniyle iç içe bulunmalarından ileri gelmektedir.

Fay zonu boyunca dilimler halinde gözlenen bu birimler, litolojik ve paleontolojik özelliklerinin yanısıra çevre bölgedeki birimlerle de denetirilmiştir. Bunun sonucu bu birimler, Üst Kretase yaşlı Cankurtaran Formasyonu, Üst Kretase-Paleosen yaşlı Çaltu Formasyonu, Paleosen-Alt Eosen yaşlı Ardıçlı Formasyonu ile Ekinveran Üyesi, Liitesiyen yaşlı Bayamca Kireçtaşı olarak formasyon ölçüğünde ayrıtlanmış ve adlandırılmışlardır (Şekil-11, sayfa 58'de).

#### 4. V O L K A N İ Z M A

İnceleme alanında, volkanik fasiyeste Yemişliçay Formasyonu ile Akyörük Bazaltı gelişmiştir.

Yemişliçay Formasyonu, kumtaşı ve marn arakatmanlı tuf ve tüfit ardalanmasından oluşmuştur. Bu formasyonun en alt düzeyinde, traki-andezitik, dasitik lav, tuf ve aglomeralardan oluşan Çokran Üyesi yer almaktadır.

Yemişliçay Formasyonu'nu oluşturan tüf ve tüfler havzaya tortularla birlikte taşınarak gelmişlerdir. Bunlar, olasılıkla çökelme anında bölgedeki volkanik faaliyetlerden türemişlerdir. Çokran Üyesi ise genellikle aglomeraların deniz tabanına doğru yayılmalarıyla oluşmuşlardır.

Plio-Kuvaterner yaşı Akyörük Bazaltları ise dönemin en genç volkanik oluşuklarıdır. Bunlarında olasılıkla Miyosen sonrası reyjonal gerilme hareketlerine bağlı olarak gelişikleri düşünülmektedir.

İnceleme alanında yüzeyleyen volkanitlerden Akyörük Bazaltı ve Yemişliçay Formasyonu Çokran Üyesi'nden sekiz örneğin ana element analizleri MTA Enstitüsü laboratuvarlarında yaptırılmış ve elde edilen sonuçlar incelenmiştir. Ana element kimyasal analiz sonuçları ve diyagramlarda kullanılacak parametreler Çizelge-3 te verilmiştir. Bu analizlerden hesaplanan değerlerin ancak az bir bölümü kullanılmış olup, diğer veriler ise sadece çizelgede gösterilmiştir. Ayrıca örneklerin Rittman (1952) parametreleri hesaplanmış ve bu parametreler kullanılarak Rittman'a göre adlamaları da yapılmıştır.

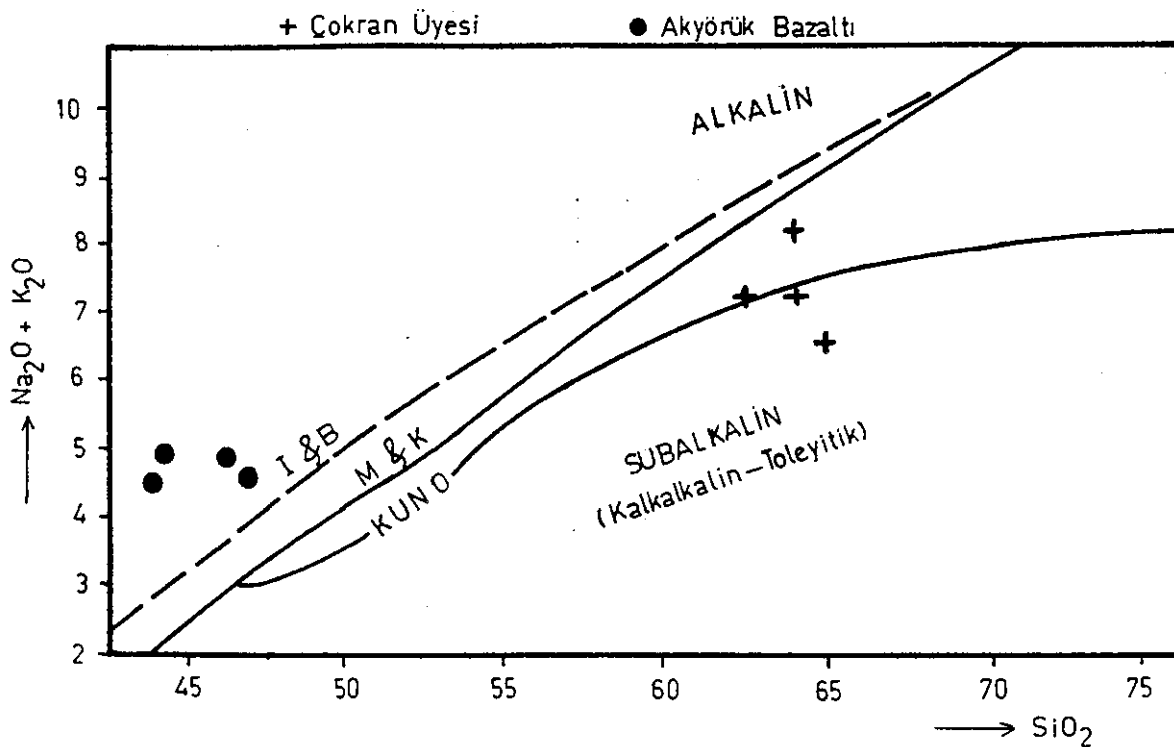
Volkanitlerin  $\text{Na}_2\text{O} + \text{K}_2\text{O}$  ve  $\text{SiO}_2$  içeriklerine göre sınıflandırımları yapılarak Akyörük Bazaltlarının alkalin oldukları, Kuno (1960), Macdonald ve Katsura (1964) ve Irwine ve Baragar (1971) ayırım hatları göz önüne alındığında belirlenmektedir. Çokran Üyesi'nin ise Macdonald ve Katsura (1964) ve Irwine ve Baragar (1971)'a göre subalkalin (kalkalkalin-toleyitik), Kuno (1960)'ya göre ise bir örnek hariç diğerleri yine subalkalin (kalkalkalin-toleyitik) bölgede yer almaktadır (Şekil-31).

İnceleme alanındaki volkanitlerin,  $\text{Na}_2\text{O} + \text{K}_2\text{O}$  ve  $\text{SiO}_2$  içeriklerine göre yapılan en ayrıntılı sınıflama olağabul edilen Cox ve diğ. (1979)'nin sınıflamaları yapıldığında, kimyasal bileşim yönünden Çokran Üyesi'nden alınan örneklerin trakt-andezit ve dasit, Akyörük Bazaltı'nın ise tamamen bazalt olduğu anlaşılmaktadır (Şekil-32).

Volkanitleri oluşturan mağmanın kökenini araştırmak için Gottini (1968, 1969)'nin geliştirdiği değişim grafiğide çizilmiştir.

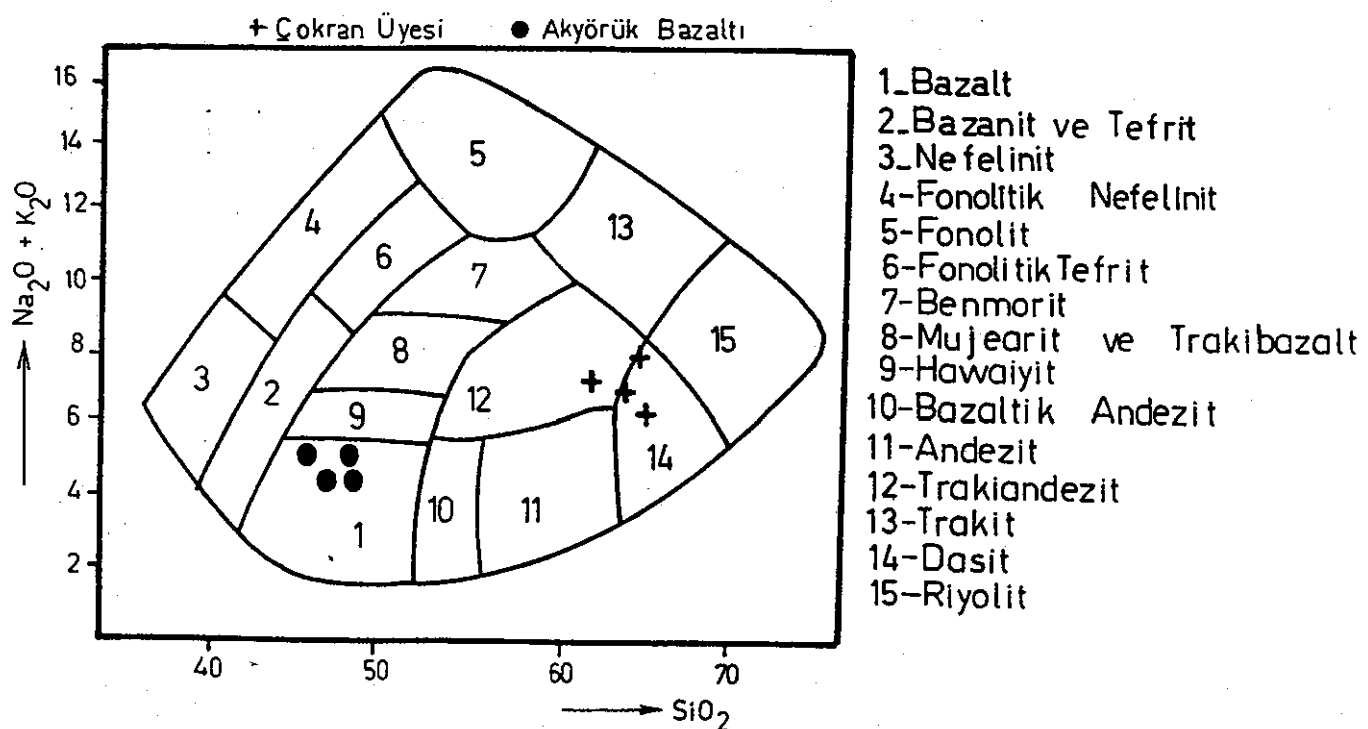
| FORM. ADI                            | ÇOKRAN ÜYESİ (Yemiliçay Fm.) |                 |                 |                | AKYÖRÜK FORM.      |                                   |                                   |                                   |
|--------------------------------------|------------------------------|-----------------|-----------------|----------------|--------------------|-----------------------------------|-----------------------------------|-----------------------------------|
| ÖRNEK NO                             | ÇOK-13                       | ÇOK-15          | ÇOK-14          | ÇOK-17         | NN-12              | NN-11                             | NN-10                             | NN-9                              |
| SiO <sub>2</sub>                     | 61.80                        | 63.70           | 63.75           | 65.00          | 43.60              | 46.30                             | 45.80                             | 46.60                             |
| Al <sub>2</sub> O <sub>3</sub>       | 15.50                        | 15.05           | 17.20           | 15.00          | 15.00              | 16.60                             | 15.10                             | 16.50                             |
| Fe <sub>2</sub> O <sub>3</sub>       | 3.30                         | 1.86            | 2.13            | 3.40           | 3.00               | 1.90                              | 2.04                              | 1.75                              |
| FeO                                  | 1.81                         | 0.58            | 0.97            | 1.71           | 5.07               | 3.61                              | 3.93                              | 4.91                              |
| MnO                                  | 0.07                         | 0.05            | 0.08            | 0.10           | 0.30               | 0.20                              | 0.10                              | 0.20                              |
| MgO                                  | 2.00                         | 3.40            | 2.00            | 2.00           | 4.70               | 4.60                              | 5.70                              | 7.70                              |
| CaO                                  | 3.15                         | 3.70            | 3.15            | 5.30           | 13.10              | 10.40                             | 9.50                              | 8.50                              |
| Na <sub>2</sub> O                    | 3.25                         | 3.20            | 4.60            | 4.00           | 2.16               | 3.63                              | 3.10                              | 2.82                              |
| K <sub>2</sub> O                     | 4.25                         | 4.10            | 3.80            | 2.55           | 2.40               | 1.90                              | 1.83                              | 1.76                              |
| TiO <sub>2</sub>                     | 0.40                         | 0.40            | 0.35            | 0.50           | 0.90               | 1.80                              | 1.30                              | 1.70                              |
| P <sub>2</sub> O <sub>5</sub>        | 0.02                         | 0.10            | 0.08            | 0.10           | 0.60               | 0.60                              | 0.30                              | 0.60                              |
| H <sub>2</sub> O                     | 1.41                         | 1.37            | 1.70            | 0.91           | 2.28               | 3.66                              | 2.92                              | 2.58                              |
| CO <sub>2</sub>                      | 0.33                         | 0.80            | 0.15            | 0.60           | 0.55               | 1.75                              | 1.32                              | 0.41                              |
| TOPLAM                               | 97.29                        | 98.31           | 99.96           | 101.17         | 93.66              | 96.95                             | 93.94                             | 96.03                             |
| Al                                   | 13.95                        | 13.54           | 15.48           | 3.50           | 13.50              | 14.95                             | 13.59                             | 14.85                             |
| Alk                                  | 9.12                         | 8.90            | 10.70           | 8.55           | 5.64               | 7.34                              | 6.48                              | 5.99                              |
| FM                                   | 9.29                         | 9.29            | 7.19            | 9.28           | 17.97              | 15.07                             | 17.76                             | 22.55                             |
| k                                    | 0.46                         | 0.46            | 0.35            | 0.29           | 0.42               | 0.25                              | 0.28                              | 0.29                              |
| an                                   | 0.20                         | 0.20            | 0.18            | 0.22           | 0.41               | 0.34                              | 0.35                              | 0.42                              |
| P                                    | 55.62                        | 57.33           | 56.10           | 59.80          | 48.39              | 48.15                             | 48.09                             | 52.19                             |
| RITTMAN'a<br>göre adlama             | KUVARS<br>LATIT              | KUVARS<br>LATIT | KUVARS<br>LATIT | RİYO-<br>DASIT | NEFELİN<br>BAZANİT | OLİVİN<br>ANDEZİN<br>Traki-bazalt | OLİVİN<br>ANDEZİN<br>Traki-bazalt | OLİVİN<br>ANDEZİN<br>Traki-bazalt |
| 6                                    | 2.99                         | 2.57            | 3.40            | 1.95           | 8.68               | 9.26                              | 8.28                              | 5.82                              |
| Log $\sigma$                         | 0.47                         | 0.41            | 0.53            | 0.28           | 0.93               | 0.96                              | 0.93                              | 0.76                              |
| $\bar{C}$                            | 30.62                        | 29.62           | 36.00           | 22.00          | 9.23               | 7.20                              | 9.23                              | 8.04                              |
| Log $C$                              | 1.48                         | 1.47            | 1.55            | 1.34           | 0.96               | 0.85                              | 0.96                              | 0.90                              |
| K <sub>2</sub> O / Na <sub>2</sub> O | 1.30                         | 1.28            | 0.82            | 0.63           | 0.59               | 0.52                              | 0.59                              | 0.90                              |
| K <sub>2</sub> O / SiO <sub>2</sub>  | 0.068                        | 0.064           | 0.059           | 0.039          | 0.040              | 0.041                             | 0.040                             | 0.37                              |
| $\emptyset$                          | 0.70                         | 0.66            | 0.72            | 0.55           | 0.34               | 0.34                              | 0.34                              | 0.35                              |
| FeO / MgO                            | 2.39                         | 0.66            | 1.44            | 2.38           | 1.01               | 1.15                              | 1.01                              | 0.84                              |
| COX ve dig'ne<br>göre adlama         | LATIT                        | DASIT           | DASIT           | DASIT          | BAZALT             | BAZALT                            | BAZALT                            | BAZALT                            |

Çizelge-3 : Volkanitlerin ana element analizleri ve  
çeşitli parametreleri



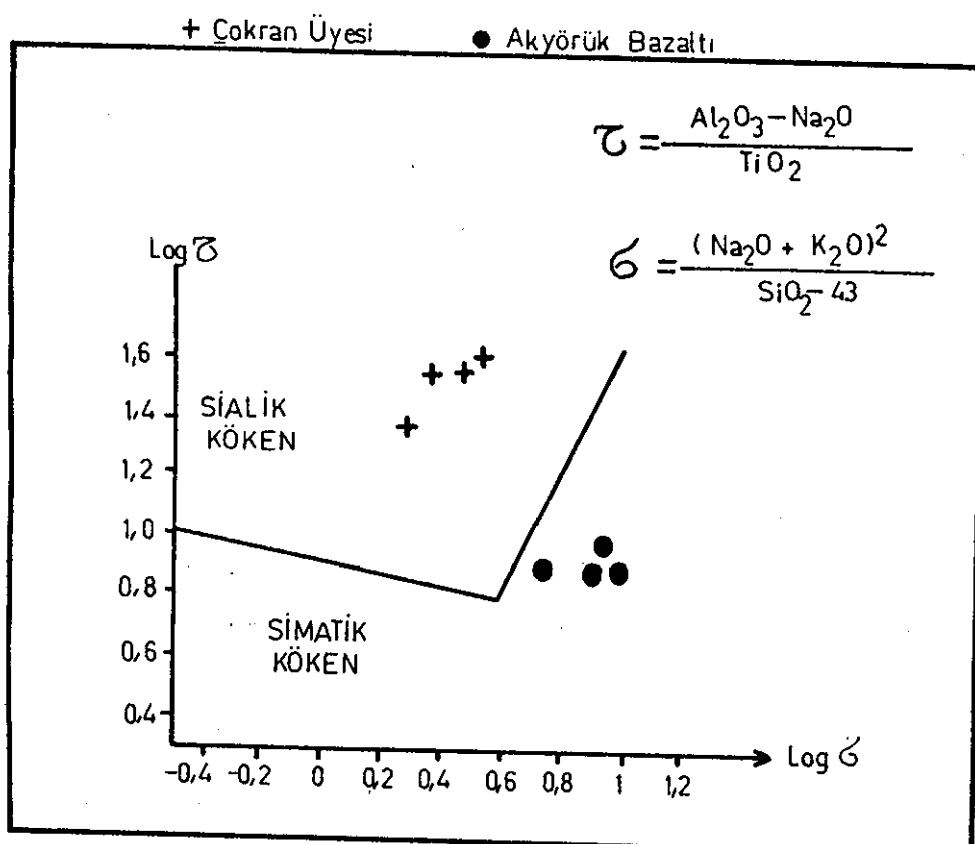
Şekil-31 : Volkanitlerin alkali-silis içeriğine göre sınıflandırılması

- — — I & B Irwine ve Baragar ayırım hattı (1971)
- — M & K Macdonald ve Katsura ayırım hattı (1964)
- K Kuno ayırım hattı (1960)



Şekil-32 : Volkanyitlerin alkali-silis içeriğine göre  
adlandırılmaları (Cox ve diğ., 1979)

Gottini'nin araştırmalarına göre sialik kökenli volkanitlerde  $\Sigma > 10$ , simatik kökenli volkanitlerde ise  $\Sigma < 9$ 'dur. Bu sonuçları inceleme alanamızdaki volkanitlere uygulayacak olursak, Çökran Üyesi'nin sialik kökenli, Akyörük Bazaltı'nın ise simatik kökenli olduğu anlaşılır (Şekil-33).



Şekil-33 : Volkanitlerde Log  $\Sigma$ 'nın Log  $\zeta$ 'ya göre değişimi (Gottini, 1968 ve 1969)

## 5. M E T A M O R F İ Z M A

Yeşil sist fasiyesindeki Boyabat Metamorfitleri'ne ait dört örneğin ana element kimyasal analizleri MTA Enstitüsü laboratuvarlarında yapılmış olup sonuçları Çizelge-4 te gösterilmiştir.

Örnekler, yeşil sist fasiyesine ait Eskola diyagramında kullanılması için ana elementlere ait ağırlık yüzdeleri moleküler yüzdelere çevrilmiştir. Bunun için elementlerin ağırlık yüzdeleri her elementin molekül ağırlığına bölünmüştür.

Elde edilen değerleri AFC diyagramında yerine koyduğumuz zaman, örneklerimizin ikisi Epidot-Klorit-Tremolit, Aktinolit üçgeninde, birisi Epidot-Klorit-Kalsit üçgeninde, diğer örnekte Epidot-Kloritoid-Pirofillit üçgeninde yer almaktadır. A'FK diyagramında ise üç örnek Klorit bölgesinde, bir örnek te Pirofillit-Muskovit-Kloritoid üçgeninde yer almaktadır (Şekil-34).

Winkler (1977) mağmasal ve tortul kökenli önemli kayaçların moleküler yüzdelерini genel hesap şemasına göre kimyasal analizlerden itibaren hesaplamış ve elde edilen değerleri özel bir düzeltme yapmadan AFC diyagramına islemiştir.

Örnekler, bu diyagramda yerlerine konulduğu zaman her örneğin değişik bir bölgede yer aldığı görülmektedir. Buna göre örneklerin II (grovaklar), 2 (bazaltik ve andezitik kayaçlar) ve IB (karbonatsız killer ve kiltاشları) bölgesinde yer aldığı görülmektedir. Sadece bir örnek 1A (killer ve alüminyumca zengin kiltاشları)bölgesinde yer almaktadır(Şekil-35).

Örneklerin AFC diyagramında değişik bölgelerde olmasının yanısıra, mikroskopik incelemelerde bunların;

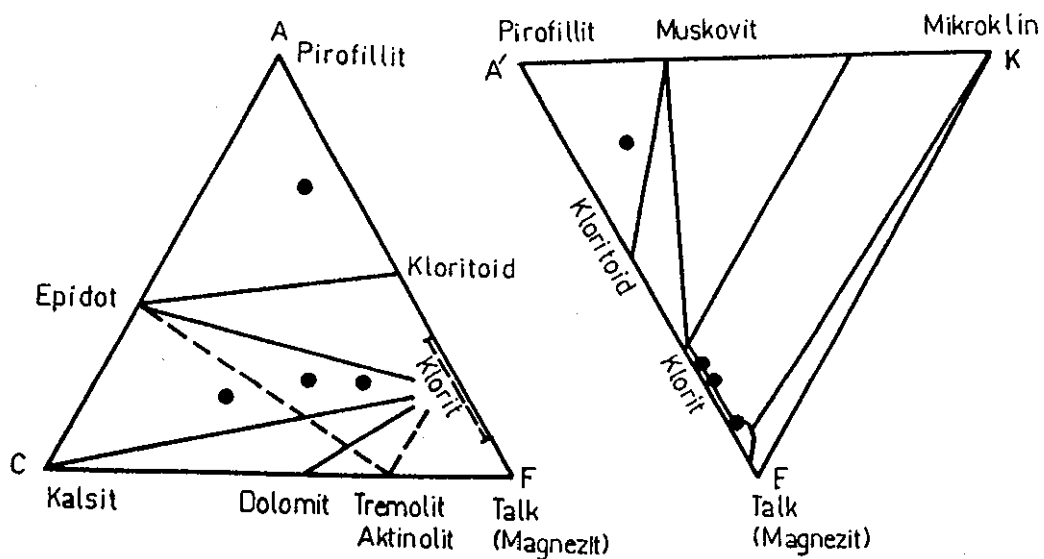
- Epidot, albit, klorit sist,
- Kuvars, albit, epidot, aktinolit, klorit sist.
- Aktinolit, epidot, klorit, albit sist.
- Kalk-silikat sist.
- Klorit, aktinolit, epidot, albit, kuvars sist

| Örnek no                       | SD-18 | SD-19  | SK-60A | SK-60C |
|--------------------------------|-------|--------|--------|--------|
| SiO <sub>2</sub>               | 53.00 | >75.00 | 42.50  | 49.00  |
| Al <sub>2</sub> O <sub>3</sub> | 14.40 | 10.60  | 10.90  | 11.10  |
| Fe <sub>2</sub> O <sub>3</sub> | 4.75  | 0.46   | 4.61   | 4.61   |
| FeO                            | 7.25  | 1.25   | 4.15   | 5.75   |
| MgO                            | 5.2   | 0.1    | 4.3    | 5.3    |
| CaO                            | 4.80  | 0.80   | 16.00  | 8.80   |
| Na <sub>2</sub> O              | 4.90  | 2.95   | 3.50   | 2.60   |
| K <sub>2</sub> O               | 0.35  | 1.30   | 0.15   | 0.55   |
| TiO <sub>2</sub>               | 1.60  | 0.25   | 1.05   | 1.15   |
| MnO                            | 0.17  | 0.02   | 0.17   | 0.18   |
| P <sub>2</sub> O <sub>5</sub>  | 0.15  | 0.10   | 0.15   | 0.10   |
| H <sub>2</sub> O               | 2.67  | 0.73   | 1.64   | 2.73   |
| CO <sub>2</sub>                | 0.28  | 0.50   | 4.80   | 0.80   |
| A.Za.                          | 2.80  | 1.35   | 10.30  | 7.50   |
| Toplam                         | 99.37 | 94.18  | 97.73  | 96.64  |

Çizelge-4 : Boyabat Metamorfitlerine ait ana element analiz sonuçları

oldukları gözlenmiştir.

Bu verilerin ışığı altında Boyabat Metamorfitlerinin olasılıkla volkano-tortul kökenli ve yeşil sist fasyesinde oldukları görülmektedir.



Şekil-34 : Eskola diyagramında (Winkler, 1977'den) yeşil sist örneklerimizin dağılımı

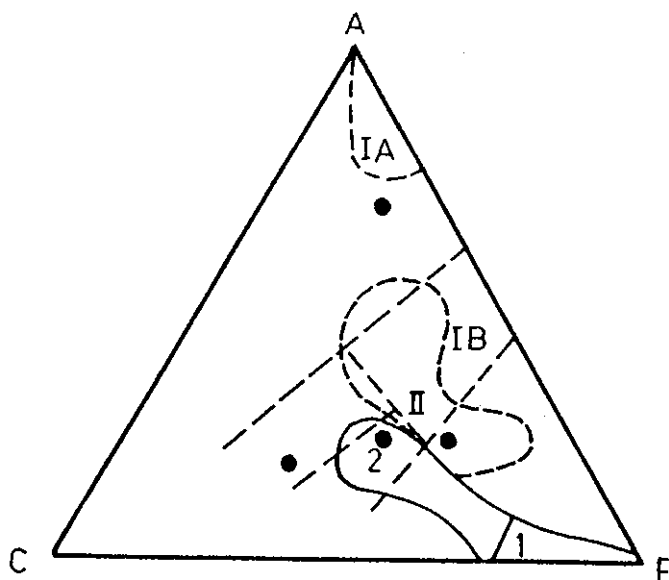
$$A = (Al_2O_3) + (Fe_2O_3) + (Na_2O) + (K_2O)$$

$$C = (CaO) - 3,3 (P_2O_5)$$

$$F = (MgO) + (MnO) + (FeO)$$

$$A' = (Al_2O_3) + (Fe_2O_3) - (Na_2O) + (K_2O) - \frac{1}{4} (CaO)$$

$$K = (K_2O)$$



**Şekil-35 :** Mağmatik ve tortul kayaçların kimyasal bileşimlerinin AFC diyagramındaki yerleri (Winkler, 1977) ve örneklerimizin dağılımı

IA : Killer ve alüminyumca zengin kilittaşları

IB : Karbonatsız killer ve kilttaşları

II : Grovaklar

1 : Ultrabazik kayaçlar

2 : Bazaltik ve andezitik kayaçlar

## 6. J E O L O J İ K E V R İ M

İnceleme alanının temelini Jura öncesi yaşlı, yeşil sist fasiyesindeki Boyabat Metamorfitleri oluşturmaktadır. Bu masif Liyas'tan beri bir yükselim olma özelliğini korumuştur. Çünkü, Liyas-Kuvaterner zaman aralığında çökelmiş birimler yer yer aşmalarak bu masifi örtmüştür.

Bağlıca Köyü yakınlarında yapılan Boyabat-1 sondajında Üst Kretase-Alt Eosen yaşlı çökeller doğrudan metamorfit temel üzerine uyumsuz olarak gelmektedir. Halbuki bu sondajın 6km. kuzeyinde Alt Kretase yaşlı Çağlayan Formasyonu ile daha kuzeyinde Jura yaşlı birimler yüzeylemektedir. Bu birimlerin Boyabat-1 sondajında görülmemesi aşınma diskordansı ya da Alt Kretase ve Jura denizinin buraya erişememesi ile açıklanabilir. Jura ve Alt Kretase çökelleri üzerine aşmalarak Üst Kretase-Alt Eosen yaşlı çökeller gelmiştir. Bu birimlerin üzerinde de Orta-Üst Eosen yaşlı çökeller yer almaktadır.

İnceleme alanının Liyas-Kuvaterner zaman aralığındaki jeolojik evrimini şöyle açıklayabiliriz :

### L i y a s :

Liyas süresince bölge denizel özelliğini korumuştur. Bu dönemde çökelen Akgöl Formasyonu, kumtaşları arakatmanlı, gri, siyah renkli marn ve şeyle ardalanmasından oluşmuştur. Kumtaşları katmanlarında yer yer tortul yapılarının gözlenmesi, türbit akıntılarının etken olduğu, denizel bir ortamı göstermektedir.

Liyas sonunda bölge denizel özelliğini kaybederek yükselmeye başlamıştır (Donetz Fazı).

### D o g g e r - M a l m :

Dogger başlarında, yükselen bölgede şiddetli aşınmalar olmuştur. Bunun sonucu aşınan iri malzemelerin birikmesiyle, kırmızı renkli, kötü boyanmalı, alüvyon yelpazelerinden oluşan Bürnük Formasyonu gelişmiştir. Buna paralel olarak Bathoniyen'de deniz bölgeye yeniden yerleşmeye başlamıştır. Dogger-Malm süresince sık ve yüksek

enerjili deniz özelliğini koruyan bölgede, mikrit, biyomikrit, oosparit, biyosparit, bol alg ve mercan fosilleri içeren yer yer resifal özellikte platform tipi karbonatlardan oluşan Akkaya Kireçtaşı çökelmiştir.

Jura sonunda bölgede Üst Kimmerik hareketleri hissedilmeye başlamıştır. Bölge kıvrımlanarak yükselmiş ve büyük ölçekli aşınmaya uğramıştır. Bu aşınma sonucu kireçtaşları yer yer bin metreden elli metreye kadar incelmiştir. Jura sonunda bölgede genellikle kireçtaşlarının oluşturduğu bu sarp topografya üzerine ise Alt Kretase denizi yerleşmiştir.

#### A l t K r e t a s e :

Akkaya Kireçtaşı üzerine uyumsuz olarak gelen Alt Kretase yaşı Çaglayan Formasyonu genellikle siyah renkli, kumtaşı, kumlu kireçtaşı arakatmanlı marn ve şeyl ardalanmasından oluşmuştur. Bürnük yakınlarında bu birimin tabanında yüksek enerjili kıyı ortamlarını simgeleyen iri taneli kumtaşlarından oluşan Çataltaş Üyesi gelişmiştir. Formasyon üste doğru olağan kumtaşı, marn-şeyl ardalanmasına dönüşmekte olup, bu yörede yer yer kireçtaşı olistolitleri içermektedir. Bu da Alt Kretase boyunca Akkaya Kireçtaşı'nın yer yer kara durumunda olduğunu göstermektedir. Gravite kaymaları yada diğer nedenlerle kireçtaşı blokları çökelme ortamına taşınmışlardır. Ekinveran-Çulhalı yöresinde birim içinde proksimal turbiditik kumtaşlarının olması, özellikle Çulhalı Köy yakınlarında jipslere rastlanmasşı ortamın kıyıya ve kaynağa yakın olduğunu göstermektedir. Bürnük kuzeyinde ise, Çaglayan Formasyonu % 80-90 oranında gri, siyah renkli şeyllerden oluşmuştur. Çökellerin ince taneli ve laminali olmasının yanısıra az da olsa pirit içermesi ve organik maddece zengin olması ortamın anerob (öksinik) olabileceğini göstermektedir. Alt Kretase sonunda yöre Austrik Fazı'ndan etkilenederek kıvrılmış ve aşınmıştır.

#### S a n t o n i y e n - İ p r e s i y e n :

Bölge Santoniyen'de yeniden denizel özellik kazanmaya başlamıştır. Ancak, Santoniyen-Kampaniyen sürecinde ortam oldukça sakındır. Bu dönemde, kırmızı renkli, Globo-

truncana'lı, çörtlü, mikritik kireçtaşlarından oluşan Kapanboğazı Formasyonu çökelmiştir. Bölge giderek derinleşmeye devam etmiş ve tam bir jeosenkinal özelliği kazanmıştır. Buna paralel olarak yakın yörede yoğun volkanik faaliyetler başlamıştır. Bunun sonucu olarak Alt Maastrichtiyen yaşlı, türbiditik kumtaşı, marn arakatmanlı tuf ve tüfit ardalanmasından oluşan "volkanik fliş" fasiyesindeki Yemişliçay Formasyonu ile aglomera, lav ve tüflerden oluşan Çokran Üyesi çökelmiştir.

Alt Maastrichtiyen sonunda ise volkanik faaliyetler durmuş ancak tortulaşma büyük bir hızla devam ederek fliş fasiyesindeki Maastrichtiyen yaşlı Cankurtaran Formasyonu çökelmiştir. Bu birim güneyde Ekinveran yöresinde kireç taşı arakatmanlı marn şeklinde gelişirken, kuzeyde olağan fliş fasiyesindedir. Bu da denizin güneyden kuzeye doğru derinleştiğini göstermektedir. Maastrichtiyen sonunda havza iyice dolmuştur. Üst Maastrichtiyen-Paleosen'de ortam sığlaşmış olup, bu dönemde Ekinveran yöresinde killi kireçtaşı, marn ve makro fosilli kireçtaşlarından oluşan Çaltı Formasyonu çökelirken, denizin aşmalı olarak metamorfit temel üzerine geldiği yerlerde ise, çakıllı ve iri taneli kumlarla başlayan ve yer yer dolomitik özellikteki masif kireçtaşlarıyla son bulan Pervane Kaya Formasyonu çökelmiştir. Bu dönemin son çökelleri, kırmızı, alacalı renkli, kireç taşı arakatmanlı marnlardan oluşan Üst Paleosen-İpresiyen yaşlı Ardiçılı Formasyonu'dur.

Bölgelerde Laramiyen Fazı'nın etkileri görülmektedir. İpresiyen sonunda Anadolu Fazı'nın etkileri görülmeye başlar.

Ayrıca, paleomanyetik ölçümlere göre düzeltilen paleoakıntı verileri, bölgenin yaklaşık kuzey-kuzeybatı yönündeki bir yükseltim ve kaynak alanından beslendiğini göstermektedir. Boyabat yöresinde ise sığ ortam çökelleri ile aşmalı serilerin gözlenmesi, bu yörenin bir kıyı bölgesi olabileceğini göstermektedir.

#### Lütesiyen:

Yaklaşık kuzey-güney yönündeki sıkışma hareketleri sonucu bölge yeniden yükselmeye başlamıştır. Bu yükselmeye paralel olarak Boyabat yöresinde çukurluklar oluşmaya

başlar. Yeni oluşan bu çukurlukları Lütesyen denizi istila etmeye başlamıştır. Boyabat yöresinde oluşan bu havzaların özellikle kıyı kesimlerinde, çok sığ ve hareketli ortamları simgeleyen biyosparitik, bol Nummulites'li masif kireçtaşlarından oluşan Bayamca Kireçtaşı çökelmiştir. Havza giderek çökmeye devam etmiş ve yükselen bölgelerden de hızla çökel gelmeye başlamıştır. Bunun sonucu tabanda kaynağa yakın, denizaltı yelpazesi çökeli özelliğindeki Şıhlar Üyesi ile üste doğru türbiditik fasiyelerdeki Gökkırmak Formasyonu gelişmiştir.

Lütesyen sonunda havza iyice dolmuştur. Bu arada hala devam eden kuzey-güney yönlü sıkışma hareketleri sonucu Gökkırmak Formasyonu kıvrımlanarak yükselmiş ve yer yer kara haline dönüşmüştür (Pireneik Fazı).

#### Üst Eosen - Oligosen (?) :

Lütesyen sonundaki yoğun tektonik hareketler sonucu yükselen bölgede yeniden şiddetli aşınmalar başlamıştır. Aşınan bu kırıntılı malzemeler taşınarak, flüvyal özellikle menderesli akarsu çökellerinden oluşan Bağlıca Formasyonu ile örgülü akarsu çakıllarından oluşan Sakızdağ Formasyonunu oluşturmuşlardır. Ortamın duraylaşması sonucu, oluşan ara göllerde ise, jipsli, kırmızı renkli çamur ve killerde oluşan Koru Üyesi gelişmiştir.

Üste Eosen-Oligosen (?) sonunda bölge denizel özelliğini yitirerek tamamen kara durumuna geçmiştir (Savik Fazı).

Pontid ve Anadolu kıtalarının arasında yer alan bölgede sıkışma (kompresyon) tektoniğine bağlı olarak Üst Eosen-Oligosen (?) sonrası ters fayları (Ekinveran ve Maruf Fayları) gelişmiştir. Bu hareketler sonucu Alt Kre-tase yaşılı çökeller, Tersiyer yaşılı birimler üzerine bindirmiştirlerdir.

Bu faylar olasılıkla Kuzey Anadolu Fayı'nın belirmeye başlamasıyla etkinliklerini kaybetmişlerdir.

Yine Üst Eosen-Oligosen (?) sonrasında havzanın güneyinde, olasılıkla gerilme tektoniğine bağlı olarak oluşan kırıklar boyunca Plio-Kuvaterner (?) yaşılı Akyörük Bazaltları çıkarak yayılmışlardır. Kuvaterner'deki aşınmalar sonucu ise yatay konumlu taraçalar gelişmiştir.

### III. Bölüm

## P E T R O L J E O L O J İ S İ

Genellikle, denizel kökenli ve kalın tortul seriler içeren havzaların petrol açısından önem taşıdığı bilinmektedir. Bu havzalarda petrolün bulunması, ana, hazne ve örtü kaya fasiyesleri ile kapanların varlığına bağlıdır.

İnceleme alanında da, Liyas-Kuvaterner zaman aralığında çökeliş ve kalınlığı 10 bin metreye varan tortul bir istif yüzeylemektedir. Bu istifin ana, hazne ve örtü kaya fasiyesleri ile kapan oluşturma özellikleri incelenmiştir.

### 1. ANA KAYA FASIYESİ

Tanım: Jeolojik devirler boyunca önemli miktarda petrol veya doğal gaz üretilmiş ve organik maddece (kerojen) zengin, gri, siyah renkli, ince taneli çökeller petrol jeolojisinde ana kaya olarak tanımlanmaktadır (Guillemot, 1964; Dow, 1978).

Canlı hayatın bol olduğu ve çökelen maddelerin oksidasyondan korunduğu bir ortamda oluşan organik madde içeren kayaçlar ana kaya olabilmektedir (Pelin, 1978).

Buna göre ana kayalar;

- İnce dokulu olmaları,
- İndirgeyici (redüktör) ortamı simgeleyen pirit içermeleri,
- Pelajik fauna dışında fosil yokluğu,
- Kalıcı organik madde (kerojen) nedeniyle siyah renkli olmaları ile tanınılmaktadır.

### 1.1. SAHA İNCELEMELERİ

İnceleme alanında yüzeyleyen formasyonlar içinde, yaygın olarak ince taneli, siyah renkli şeyl ve marnların varlığı dikkati çekmiştir. Özellikle Alt Kretase yaşı Çağlayan Formasyonu içinde % 60-80 arasında siyah renkli şeyller yer almaktadır. Birimin kalınlığı 200-750 m. arasında olup, geniş alanlarda yüzeylemektedir. Bu şeyllerin ana kaya olabileceği düşünülmüş ve çalışmalar bu

birim üzerinde yoğunlaştırılmıştır. Ayrıca, yine şeyl ve marn içeren diğer formasyonlarda gözden geçirilmiştir. Yörede, ana kaya açısından başlıca şu formasyonlar önem taşımaktadır:

Akgöl Formasyonu (Liyas) : Birim içinde % 40-60 arasında şeyl ve marnlar yer almaktadır. Kalınlığı ise 375 m. olarak ölçülmüştür.

Çağlayan Formasyonu (Alt Kretase): Formasyon, kumtaşı, kumlu kireçtaşı arakatmanlı, siyah renkli şeyl ve marnlardan oluşmaktadır. Şeyl ve marn oranı % 40-80 arasında değişmektedir. Özellikle inceleme alanının kuzey kesimlerinde şeyl oranı % 90'a ulaşmaktadır. Birimin kalınlığı 200-750 m. arasındadır. Bu kalınlık inceleme alanının güneydoğu yörelerinde daha da artmaktadır.

Yemisliçay Formasyonu (Alt Maastrichtyen): Birim, şeyl, marn, kumtaşı arakatmanlı tuf ve tüfitlerden oluşturulmaktadır. Marn ve şeyl oranı %10-20 arasında değişmektedir. Kalınlığı ise 875 m.dir.

Cankurtaran Formasyonu (Maastrichtyen) : Formasyon, genellikle kumtaşı, kumlu kireçtaşı, marn ve şeyl ardalanmasından oluşmuştur. Birimin ortalama kalınlığı 1500 m. olup, şeyl ve marn oranında % 40-60 arasında değişmektedir.

Gökirmak Formasyonu (Lütesiyen) : Birim, ince kumtaşı arakatmanlı, gri ve mavimsi renkli marnlardan oluşmaktadır. Birimin üst düzeylerinde marn ve şeyl oranı % 70 dolayındadır. Formasyonun kalınlığı 2750 m. dir.

Inceleme alanındaki diğer formasyonlar litolojik özelliklerinden dolayı, ana kaya açısından fazla önem taşımazlar.

## 1.2. LABORATUVAR İNCELEMELERİ

Tortul bir havzada oluşan ve ana kaya özelliği gösteren çökel istiflerinin jeolojik devirlerde petrol veya doğal gaz üretip-üretmedikleri yapılan jeokimyasal analizler sonucu anlaşılabilmektedir.

Günümüz araştırmacılarının çoğunuğu, petrolün organik kökenli olduğu ve organik maddenin termal dönüşümü sonucu oluştuğu görüşünde birleşmiştir (Philippi, 1965;

Welte, 1965, 1976; Hunt, 1968, 1969; Tissot ve diğ., 1971; Durand ve Espitalie, 1973; Tissot ve Espitalie, 1975; Albrecht ve diğ., 1976; Tissot ve Welte, 1978).

Kayalar içindeki organik maddenin yaklaşık % 90 i organik çözüçülerde erimeyen kerojen, % 10 u ise organik çözüçülerde eriyen bitümden oluşmaktadır (Tissot ve diğ., 1971; Leythaeuser, 1974; 1976; Tissot ve Welte, 1978). Petrolü oluşturan hidrokarbonların yaklaşık % 5-10 u doğrudan organizmalar tarafından üretilen ve hiç kimyasal değişim geçirmemiş hidrokarbon bileşiklerinden oluşmaktadır. Geriye kalan % 90-95 lik bölümü ise kerojenin, ısı, basıncı, gömülme ve zaman gibi parametrelerin etkisiyle bir dizi karmaşık fiziko-kimyasal değişimler geçirmesi sonucu oluşmuştur (Tissot ve Welte, 1978; Hunt, 1979). Organik maddenin bu evrimi kısaca "olgunluk" olarak tanımlanmaktadır.

Tortular içerisinde yer alan organik maddenin gelişimi ve olgunlaşması üç ana evrede gerçekleşmektedir (Tissot ve Welte, 1978).

- **Diyajenez Evresi:** Dönüşümde temel rol oynayan mikrobiyolojik aktiviteli ortamda çökelme ile diyajenez başlar. Bu dönemde kerojende bazı değişiklikler meydana gelir. Ancak ana kaya tam olgunlaşmamıştır.

- **Katajenez Evresi:** Bu evre, tortul havzalarda gömülme boyunca artan sıcaklık sonucu gelişir. Bu dönemde ana kaya olgunlaşmasını tamamlamıştır. Kerojenin termal bozunması sonucu sıvı petrol ve gaz oluşmaya başlar.

- **Metajenez Evresi:** Bu dönem ancak büyük derinliklerde gelişebilir. Organik madde metamorfizmadan önce son şeklini alır. Bu evrede ancak kuru gaz oluşabilir.

**Kerojen :** Bir havzanın tabanında çökellerle birlikte diyajenez geçirmiş bitkisel veya hayvansal kökenli organik maddelere kerojen adı verilir. C, H, O, N ve S elementlerinin karışımından oluşan kerojen, organik çözüçüler içinde erimez.

Yapılan araştırmalar, organik madde türünün ve olgunluğunun, oluşacak hidrokarbonların bileşim ve miktarını denetlediğini ortaya koymustur ( Philippi, 1974; Tissot ve dig., 1974, Vanderbroucke ve dig., 1976; Durand ve Espitalie, 1976; Tissot ve Welte, 1978; Bostik, 1979).

Organik madde üzerinde yapılan bu analizler başlıca üç gruba ayrılmaktadır:

1. Ana kaya içindeki organik madde miktarının ölçümü,
2. Ana kaya içindeki organik madde (kerojen) tipinin belirlenmesi,
3. Ana kaya içindeki organik maddenin (kerojen) olgunluk derecesinin belirlenmesi.

Analizlerde kullanılan örnekler, Bürnük Köyü'nün kuzeyinde Haderesi boyunca, Sinop-Boyabat yolu üzerinde ölçülen stratigrafik kesit üzerinden alınmıştır. Örnek alım işlemi, stratigrafik istife uygun olarak alttan üste doğru Liyas yaşı Akgöl, Alt Kretase yaşı Çağlayan, ve Maastrichtiyen yaşı Cankurtaran Formasyonlarından yapılmıştır.

Organik jeokimya çalışmalarında özellikle kuyu örnekleri daha iyi sonuçlar vermektedir. Çünkü kuyu örnekleri her türlü yüzeysel etkiden korunmuştur. Ancak, incelame alanı içerisinde derin sondaj açılmadığından kuyu örneği elde edilememiştir. Bunun yerine stratigrafik istife uygun olarak yüzey örnekleri alınarak analiz işlemleri gerçekleştirılmıştır.

#### **1.2.1. ANA KAYA İÇİNDEKİ ORGANİK MADDE MIKTARININ ÖLÇÜMÜ**

Ana kayalardaki organik madde miktarı, kaya içindeki toplam organik karbon miktarının ( $C_{org.}$ ) ölçülmesiyle belirlenmiştir.

##### **Toplam Organik Karbon Miktarı (% C<sub>org.</sub>):**

Toplam organik karbon miktarı kaya içindeki kerojene ilişkin karbon miktarı ile bu kerojenden türemiş fakat kaya dışına atılamamış hidrokarbonlara ait karbon miktarının toplamıdır (Durand ve dig., 1972; Jonathan ve

$C_{org.}$  = Organik karbon

ve diğ., 1976). Kaya içindeki organik madde miktarı ve cinsi, ana kaya potansiyeli hakkında fikir vermektedir (Hunt ve Meinert, 1954). Kaya içinde tutulmuş hidrokarbonlara ait karbonun toplam organik karbon içindeki payı çok küçüktür. Geri kalan önemli bölümünü kerojene ilişkin karbondan oluşmaktadır (Durand ve diğ., 1972; Jonathan ve diğ., 1976).

Organik karbon miktarının belirlenmesinde Leco-Analizatörü kullanılmıştır. Yöntem, inorganik kökenli ve genellikle karbonat bileşenlerine bağlı karbonun asitle uzaklaştırılmasından sonra, örneğin oksijenli bir ortamda yakılarak organik karbonun karbondioksite dönüştürülmesi ve oluşan karbondioksit miktarının ölçümü esasına dayanmaktadır (Tissot ve Welte).

Ana kaya içindeki organik karbon miktarını bulmak amacıyla, 16 si MTA Enstitüsü, 9 u Jülich Petrol ve Organik Jeokimya Enstitüsü laboratuvarlarında olmak üzere toplam 25 örneğin analizleri yapılmıştır (Çizelge 5 ve 6).

Bu analizlerde, Liyas yaşı Akgöl Formasyonu'na ait 2, Alt Kretase yaşı Çağlayan Formasyonu'na ait 19 ve Maastrichtyen yaşı Cankurtaran Formasyonu'na ait 4 örneğin organik karbon yüzdeleri tayin edilmiştir.

Akgöl Formasyonu'na ait şeyllerin organik karbon yüzdeleri 0.58 ve 0.99 dur. Ortalama değer ise % 0.78 dir.

Çağlayan Formasyonu'nda ise bir örneği hesaba katmazsa, organik karbon yüzdeleri 0.46 - 1.94 arasındadır. Formasyonun ortalama değeri ise % 1.16 dir.

Cankurtaran Formasyonu'nun organik karbon yüzdeleri 0.22 - 0.96 arasında değişmektedir. Ortalama organik karbon yüzdesi ise 0.51 dir.

Ağırlık yüzdesi cinsinden ancak % 0.50 den daha fazla miktarda organik karbon içeren kayaların ana kaya olabilecekleri bilinmektedir (Ronov, 1958; Gehman, 1962, Welte, 1965; Mc Iver, 1967; Dow, 1978; Momper, 1978; Tissot ve Welte, 1978; Ala ve diğ., 1980; Basu ve diğ., 1980; Ünalan, 1982). Bu değerden daha düşük oranda organik karbonu olan kayalar ana kaya olamamaktadır. Çünkü bu tür kayalar içinde bir miktar petrol oluşsa da, bu petrol kaya disına atılamamakta, atılsa bile gittiği yerde

| A L T K R E T A S E | C A Ğ L A Y A N       | C A N K U R . A D I | Ü S T K R E T A S E | Y A Ş | ALINDIĞI YER                           | ÖRNEK NO | ORGANİK KARBON YÜZDESİ |
|---------------------|-----------------------|---------------------|---------------------|-------|--|----------|------------------------|
|                     |                       |                     |                     |       | Bürnük - Händeresi Stratigrafik Kesiti | H-24     | 0.29                   |
|                     |                       |                     |                     |       |  | H-23     | 0.22                   |
|                     |                       |                     |                     |       |  | H-15     | 0.09                   |
|                     |                       |                     |                     |       |  | H-14     | 0.98                   |
|                     |                       |                     |                     |       |  | H-13     | 1.38                   |
|                     |                       |                     |                     |       |  | H-11     | 0.46                   |
|                     |                       |                     |                     |       |  | H-10     | 1.47                   |
|                     |                       |                     |                     |       |  | H-9      | 1.02                   |
|                     |                       |                     |                     |       |  | H-8      | 0.98                   |
|                     |                       |                     |                     |       |  | H-6      | 1.14                   |
|                     |                       |                     |                     |       |  | H-4      | 1.12                   |
|                     |                       |                     |                     |       |  | H-2      | 0.87                   |
| Cİ                  | Ekinveran-Sarpın Dere |                     |                     |       | SK-70                                  | 1.58     |                        |
|                     |                       |                     |                     |       | SK-69                                  | 1.50     |                        |
| LİYAS               | AKGÖL                 | Gürgenagılı Mah.    |                     |       | SK-55                                  | 0.60     |                        |
|                     |                       | Orta Mah.           |                     |       | SK-119                                 | 0.99     |                        |

Çizelge-5 : Organik karbon yüzdesi ölçümleri

önemli bir birikim sağlayamamaktadır (Ünalan, 1982).

Organik karbon yüzdelere göre yazarlar, kayaları değişik şekillerde sınıflandırmışlardır. Bunlardan bazılarını şöyle sıralayabiliriz:

Thomas (1979) Sınıflaması:

| <u>Toplam Organik<br/>Karbon Yüzdesi</u> | <u>Ana Kaya</u> |
|--|-----------------|
| 0.5                                      | Zayıf           |
| 0.5 - 1                                  | Orta            |
| 1 - 2                                    | İyi             |
| 2 - 4                                    | Çok İyi         |
| 4  | Mükemmel        |

Kraus ve Parker (1979) Sınıflaması:

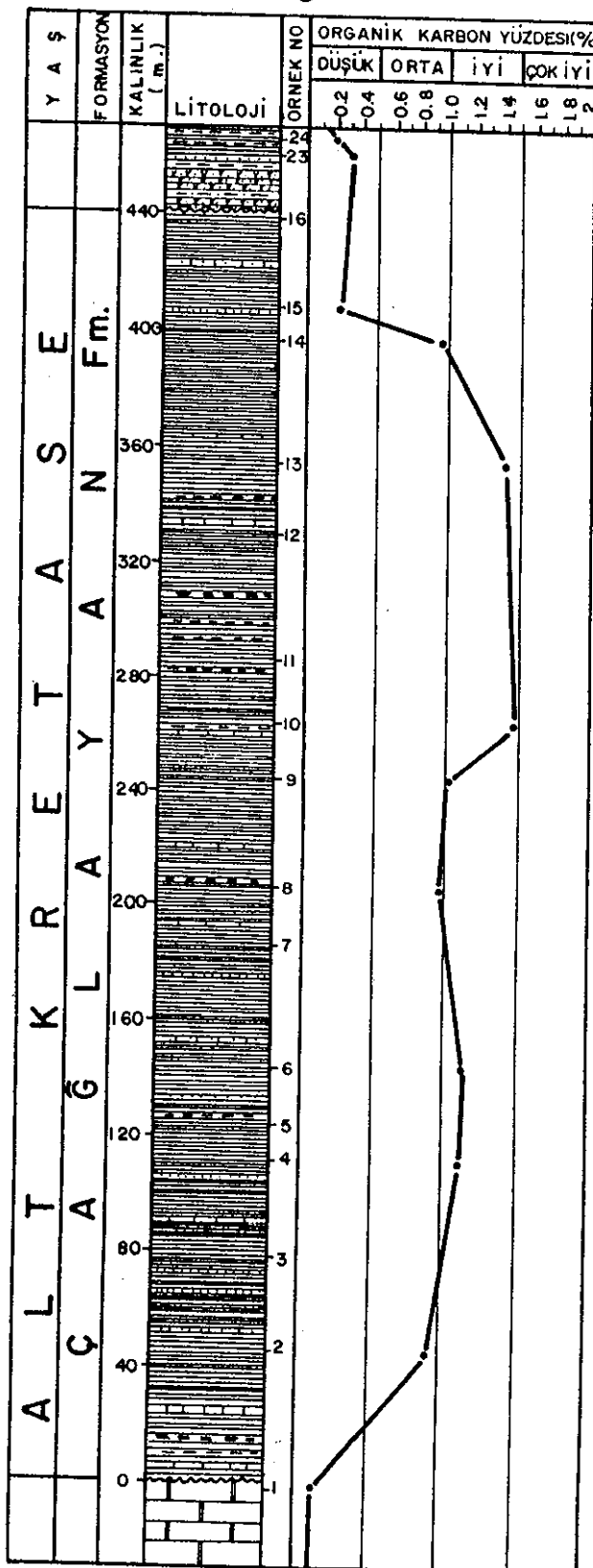
| <u>Toplam Organik<br/>Karbon Yüzdesi</u> | <u>Ana Kaya</u> |
|--|-----------------|
| 0.5                                      | Zayıf           |
| 0.5 - 1                                  | Orta            |
| 1  | İyi             |

Beicip (IFP) Sınıflaması:

| <u>Toplam Organik<br/>Karbon Yüzdesi</u> | <u>Ana Kaya</u> |
|--|-----------------|
| 0,01 - 0.20                              | Çok Zayıf       |
| 0.21 - 0.50                              | Zayıf           |
| 0.51 - 1.00                              | Orta            |
| 1.01 - 3.00                              | Zengin          |
| 3.00                                     | Çok Zengin      |

Elde edilen organik karbon yüzdelelerini bu yazarlarla karşılaştıracak olursak, Liyas yaşı Akgöl Formasyonu ile Maastrichtyen yaşı Cankurtaran Formasyonu'na ait örneklerin 0.5 - 1 grubu içinde yer aldıkları görülmektedir. Bu nedenle her iki formasyon "orta derecede ana kaya" olarak değerlendirilebilir.

Alt Kretase yaşı Çağlayan Formasyonu'nda ise organik karbon yüzdesi % 1 den büyük olduğu için formasyon "iyi derecede ana kaya" özelliği taşımaktadır (Şekil-36).



Şekil-36 : Alt Kretase yaşılı Çağlayan Formasyonu'nun organik karbon yüzde dağılım eğrisi

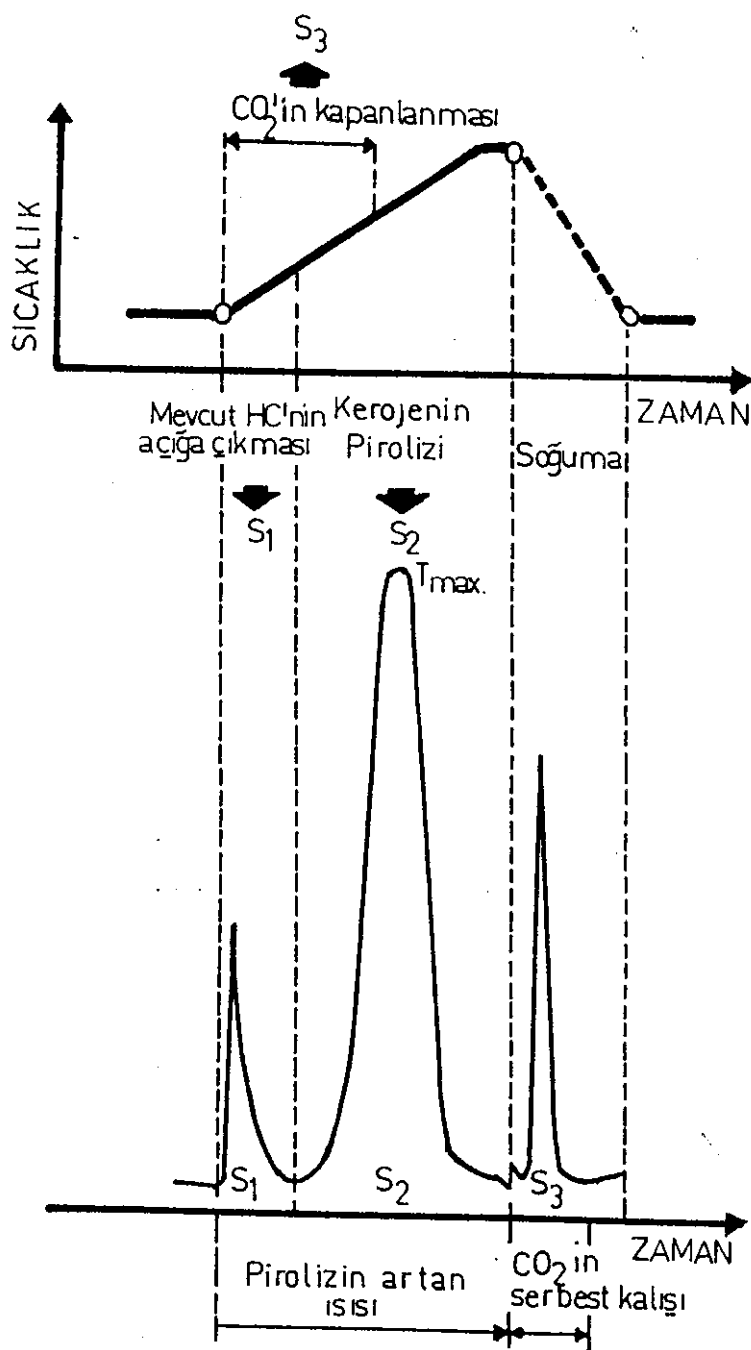
### 1.2.2. ROCK-EVAL ANALİZLERİ (PIROLİZ)

Kayaçlardaki organik madde tür ve evriminin saptanması işlemlerinde son yıllarda geliştirilmiş olan Rock-Eval (Source Rock Characterization and Evaluation) aleti kullanılmaktadır (Espitalie ve dig., 1977). Alet ile örneklerin özel bir ısı programı altında, oksijensiz bir ortamda pirolizi yapılmaktadır.

Bu yöntemde, yaklaşık 100 mg öğütülmüş kaya örneği taban ve tavarı geçirilmiş olan çelik bir hücre içeresine konur. Daha sonra bu hücre sıcaklığı programlanabilen bir mikropiroliz fırınına yerleştirilir. Sıcaklık helyum atmosferinde dakikada  $25^{\circ}\text{C}$  yükseltilecek  $550^{\circ}\text{C}$  ye kadar artırlar. Otomatik olarak devreye giren dedektörler yardımıyla, önce açığa çıkan hidrokarbon gazlarının miktarı, daha sonra  $300-550^{\circ}\text{C}$  ler arasında açığa çıkan hidrokarbonlar ve  $400^{\circ}\text{C}$  ye kadar açığa çıkan karbondioksit miktarı saptanır.  $300^{\circ}\text{C}$  ye kadar açığa çıkan hidrokarbonlar, kayadaki serbest hidrokarbonları ( $S_1$ ),  $300^{\circ}\text{C}$  den sonra açığa çıkanlar ise kerogenin parçalanması sonucu oluşan hidrokarbonları ( $S_2$ ) temsil ederler.  $400^{\circ}\text{C}$  nin altında oluşan karbondioksit ( $S_3$ ) ise sadece organik kökenli kabul edilmektedir.  $T_{\max}$  değeri ise piroliz sırasında kerogenin parçalanması sonucu açığa çıkan hidrokarbon miktarının maksimuma ulaştığı sıcaklığı göstermektedir (Şekil-37) (Espitalie ve dig., 1977).

Rock-Eval analizlerinden elde edilen değerler kullanılarak ana kayanın çeşitli özellikleri belirlenebilmektedir (Espitalie ve dig., 1977; Tissot ve Welte, 1978). Buna göre,  $S_2$  nin  $\text{C}_{\text{org}}$  miktarına bölünmesiyle elde edilen Hidrojen İndeksi ( $I_H$ ) ve  $S_3$  ün  $\text{C}_{\text{org}}$  miktarına bölünmesiyle elde edilen Oksijen İndeksi ( $I_O$ ) değerlerinin, kerogenin element analizi sonucu elde edilebilen atomik H/C ve O/C oranlarıyla doğrudan korele edilebildiği saptanmıştır. Bunun sonucu olarak Van Krevelen diyagramı benzeri bir diyagram çizilerek organik madde tipi belirlenebilmektedir.

Ayrıca,  $S_1$  ve  $S_2$  değerlerinin toplanmasıyla sağlanan Jenetik Potansiyel ( $S_1 + S_2$ ) değeri mg HC/gr cinsinden kayanın petrol oluşturma potansiyelinin belirlenmesinde kullanılmaktadır. Transformasyon (Dönüşüm) Oranı ( $S_1/S_1 + S_2$ ) ve  $T_{\max}$  değerleri ise ana kayanın termal gelişimini ve



Şekil- 37 : Piroliz (Rock-Eval) yönteminde analiz fazları

olgunluğunu belirlemede kullanılmaktadır.

Petrol ana kayaları içerdikleri organik madde (kerojen) tiplerine göre üçe ayrılmaktadır (Laplante, 1973 ve 1974; Raynaud ve Robert, 1976; Urban, 1976; Espitalie ve dig. 1977; Dow, 1977 ve 1978; Tissot ve Welte, 1978; Bostik, 1979; Pelin, 1981).

### 1. Tip Kerojen:

Bu tip kerojenler çok miktarda alifatik zincir ve az oranda aromatik çekirdek içerirler. Bu tip kerojenler alglerden ve mikrobiyoloji faaliyetleri sonucu lipid oranı yükselsmiş organik maddelerden türemişlerdir. H/C oranı yüksektir. Petrol ve gaz oluştururlar.

### 2. Tip Kerojen:

Bu tip kerojenler çok fazla aromatik ve naftaik zincir içerirler. Denizel kökenli organik maddelerin indirgenme ortamında çökelmesi sonucu oluşurlar. H/C oranı ile petrol ve gaz oluşturma oranı 1. tip kerojenden daha azdır.

### 3. Tip Kerojen:

H/C oranı düşük olup, petrol oluşturma potansiyeli de azdır. O/C oranı diğer kerojen tiplerinden yüksektir. Karasal bitkilerden itibaren oluşmakta ve sadece gaz üretemektedir.

İnceleme alanında ana kaya özelliği taşıyan birimlerden alınan 9 örneğin Rock-Eval analizleri Jülich Petrol ve Organik Jeokimya Enstitüsü'nde yapılmıştır (Çizelge-6). Bu örneklerin Hidrojen ve Oksijen İndeksleri, kerojen tipi belirleme diyagramına konarak her örneğin kerojen tipi saptanmıştır (Şekil- 38). Buna göre;

N-1 : Kerojen tipi belirlenemedi.

N-2 : II. Tip kerojen,

N-3 : II. Tip kerojen,

N-4 : III. Tip kerojen,

N-5 : III. Tip kerojen,

N-6 : II. Tip kerojen,

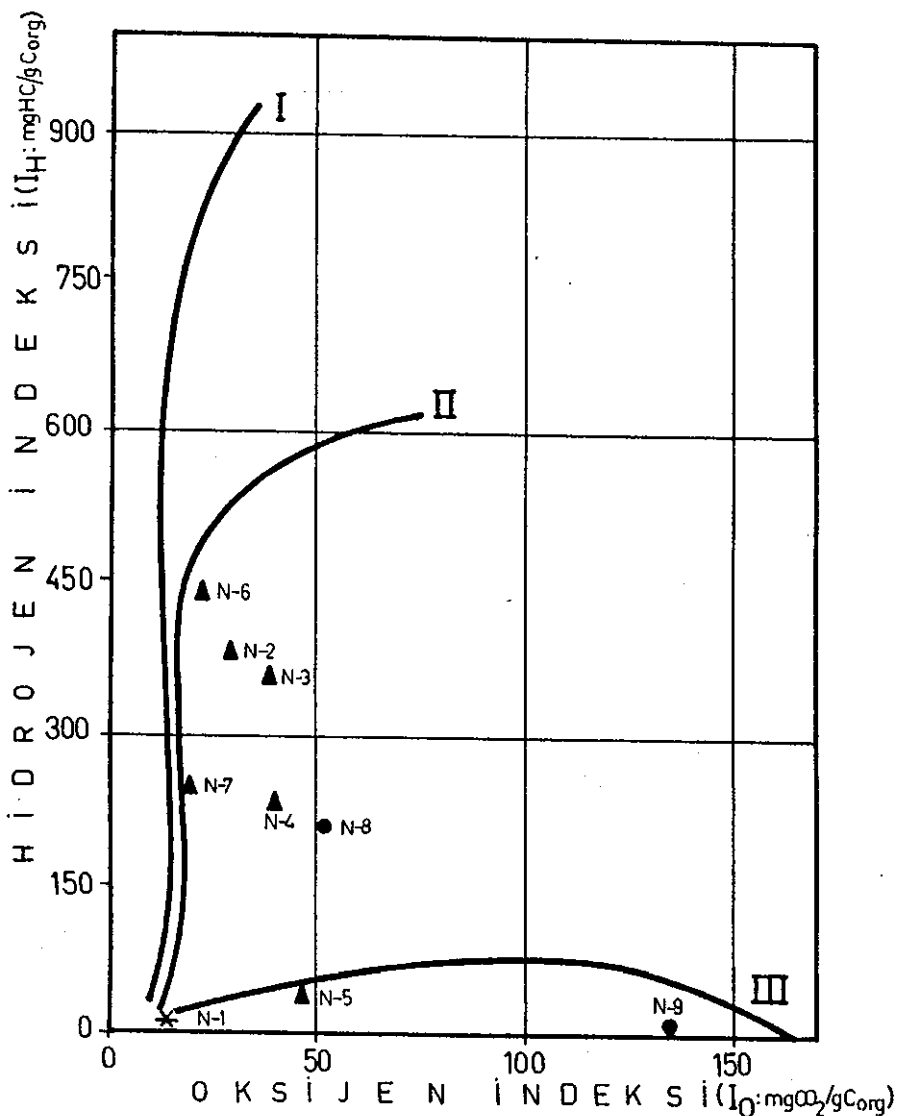
N-7 : III. Tip kerojen,

N-8 : III. Tip kerojen,

N-9 : III. Tip kerojen,

| Yas         | Formasyon Adı | Örnek No | Organik Karbon Yüzdesi (%C) | S <sub>1</sub><br>(mg/g) | S <sub>2</sub><br>(mg/g) | S <sub>3</sub><br>(mg/g) | T <sub>max.</sub><br>(°C) | Jenetik Potansiyel S <sub>1</sub> + S <sub>2</sub><br>(mg/g) | Transformasyon Oranı S <sub>1</sub> /S <sub>1</sub> + S <sub>2</sub> | Hidrojen İndeksi I <sub>H</sub> | Oksijen İndeksi I <sub>O</sub> |
|-------------|---------------|----------|-----------------------------|--------------------------|--------------------------|--------------------------|---------------------------|--|--|---------------------------------|--------------------------------|
| ÜST KRETASE | ÇANKURTARAN   | N-9      | 0.58                        | 0.01                     | 0.06                     | 0.78                     | 501                       | 0.07   | 0.14   | 11                              | 135                            |
|             |               | N-8      | 0.96                        | 0.12                     | 1.98                     | 0.49                     | 433                       | 2.10   | 0.06   | 206                             | 51                             |
| ALT KRETASE | ÇAĞLAYAN      | N-7      | 1.94                        | 0.20                     | 4.17                     | 0.26                     | 428                       | 4.37   | 0.05   | 215                             | 13                             |
|             |               | N-6      | 1.70                        | 0.33                     | 7.28                     | 0.31                     | 433                       | 7.61   | 0.04   | 428                             | 19                             |
|             |               | N-5      | 0.51                        | 0.01                     | 0.18                     | 0.25                     | 428                       | 0.19   | 0.05   | 36                              | 49                             |
|             |               | N-4      | 1.57                        | 0.14                     | 3.34                     | 0.61                     | 431                       | 3.48   | 0.04   | 213                             | 39                             |
|             |               | N-3      | 1.73                        | 0.08                     | 5.96                     | —                        | 432                       | 6.04   | 0.01   | 344                             | —                              |
|             |               | N-2      | 1.41                        | 0.21                     | 5.15                     | —                        | 433                       | 5.36   | 0.04   | 365                             | —                              |
| LİYAS       | A KGÖL        | N-1      | 0.58                        | 0.00                     | 0.02                     | —                        | —                         | 0.02   | 0.21   | 3                               | —                              |

Çizelge-6 : Rock-Eval analiz sonuçları



**Şekil-38 :** Ana kaya tipinin hidrojen ve oksijen indekslerine göre belirlenmesi (Espitalie ve diğ., 1977)

\* Akgöl Formasyonu (Liyas)

▲ Çağlayan Formasyonu (Alt Kretase)

● Cankurtaran Formasyonu (Maastrichtiyen)

olarak belirlenmiştir.

Liyas yaşı Akgöl Formasyonu'nun kerojen tipi belirlenmemiştir (N-1).

Alt Kretase yaşı Çağlayan Formasyonu'nun genellikle II. ve III. tip kerojen içerdiği, dolayısıyla petrol ve gaz oluşturabileceği sonucuna varılmıştır (N-2 ile N-7 arası).

Maastrichtiyen yaşı Cankurtaran Formasyonu'nda ise sadece III. tip kerojen belirlenebilmiştir (N-8 ve N-9). Bu nedenle birimin, petrol ve gaz oluşturma potansiyeli düşüktür.

#### 1.2.2.1. ANA KAYA POTANSİYELİ

Rock-Eval pirolizinden yararlanarak ana kaya potansiyeli hakkında nicelik yönünden bir fikir elde edilebilir. Çünkü,  $S_1$  değeri jenetik potansiyelin derhal hidrokarbonlara dönüşebilen miktarını,  $S_2$  ise jenetik potansiyelin kerojenin sisikal kırılması sonucu ortaya çıkan hidrokarbon miktarını ifade eder. Jenetik potansiyelin ( $S_1 + S_2$ ), bir ton ana kayada kilogram hidrokarbon cinsinden ifadesine, ana kaya potansiyeli denir.

Ana kaya potansiyelinin nicel sınıflaması Tissot ve Welte (1978)'ye göre şöyledir :

$(S_1 + S_2) < 2 \text{ kg/ton} \dots \dots$  : Petrol ana kayası olamaz, ender olarak doğal gaz ana kayası olabilir.

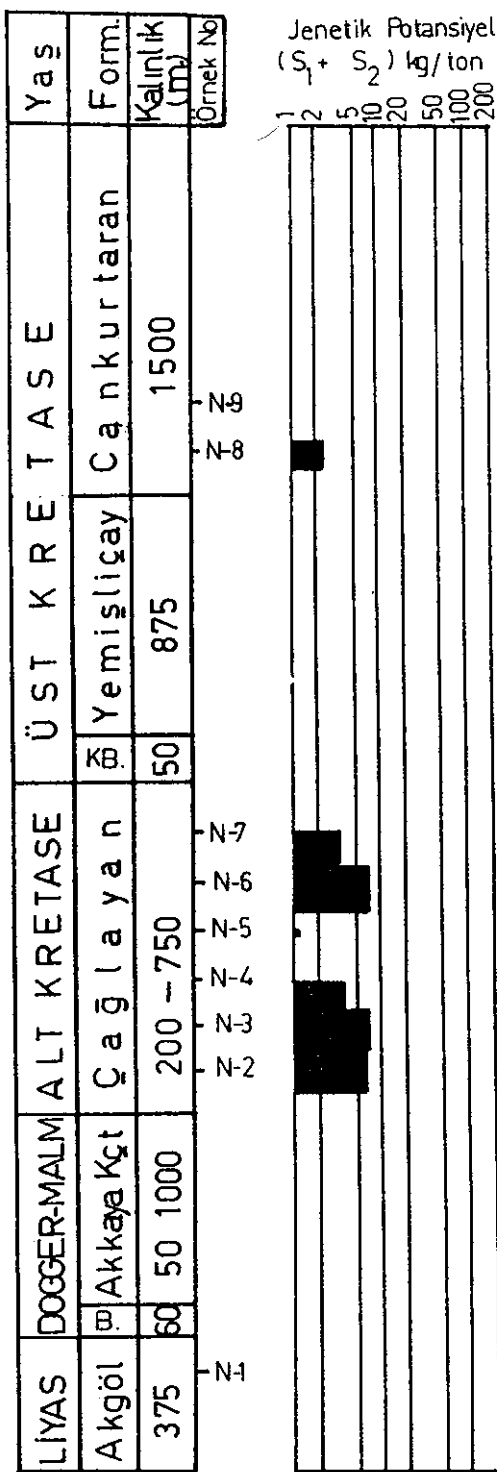
$2 \text{ kg/ton} < (S_1 + S_2) < 6 \text{ kg/ton} \dots \dots$  : Orta derecede potansiyele sahip ana kaya.

$(S_1 + S_2) > 6 \text{ kg/ton} \dots \dots$  : İyi derecede potansiyele sahip ana kaya.

Çizelge-6'daki jenetik potansiyel değerleri yukarıdaki birimlere çevrilerek formasyonların ana kaya potansiyelini gösteren bir diyagram hazırlanmıştır (Şekil-39). Bu diyagrama göre;

Liyas yaşı Akgöl Formasyonu petrol ana kayası olamaz.

Alt Kretase yaşı Çağlayan Formasyonu'na ait örnek-



Şekil-39 : Ana kaya fasiyesindeki birimlerin  
Jenetik Potansiyel diyagramı

ler ise orta ve iyi derecede potansiyele sahip ana kaya özellikleri göstermektedirler.

Maastrichtiyan yaşlı Cankurtaran Formasyonu'na ait örneklerin ise orta derecede potansiyele sahip ana kaya oldukları anlaşılmıştır.

### 1.2.2.2. ANA KAYANIN TERMAL GELİŞİMİ

Ana kayanın termal gelişimini ifade eden Transformasyon (Dönüşüm) Oranı ve  $T_{max}$  değerleri, gittikçe gömülülen tortul havzalarda derinlik artışıyla beraber artmaktadır.

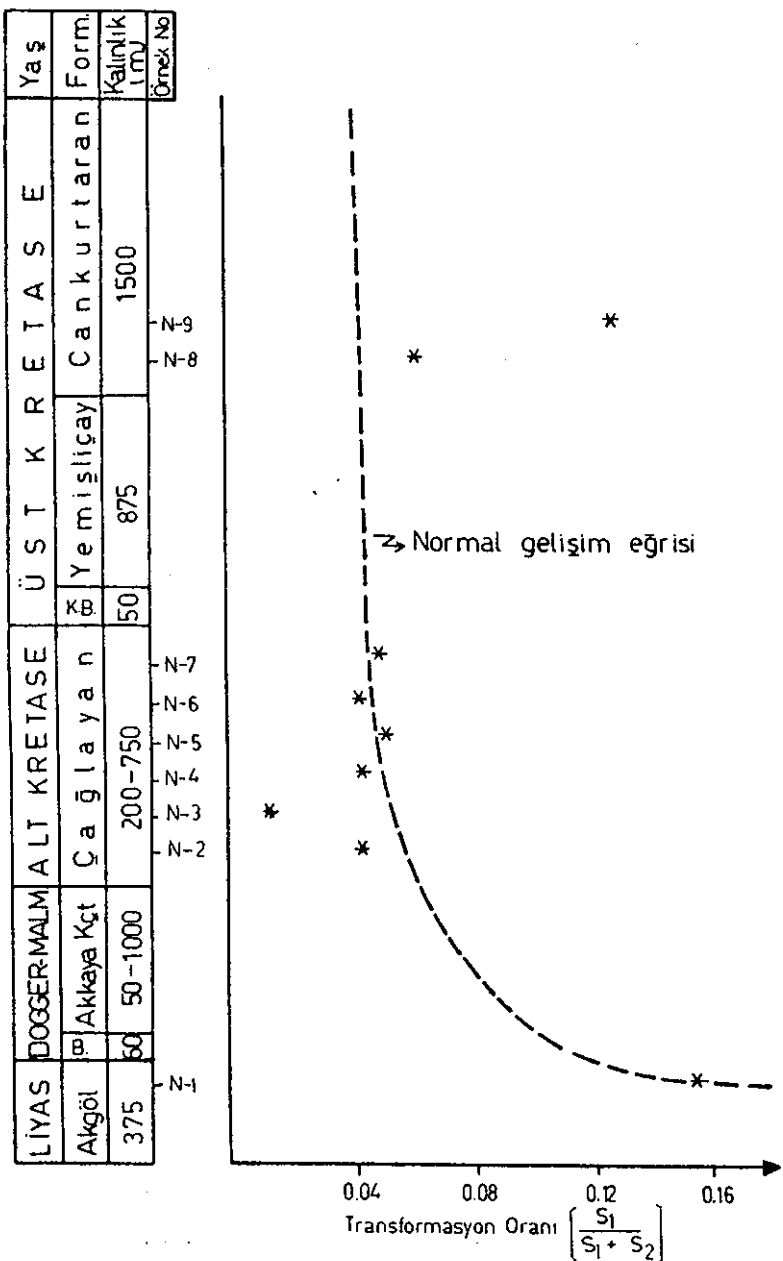
Transformasyon Oranı'nın artan olgunluk değeri ile büyüğü bilinmektedir (Espitalie ve dig., 1977). Olgunluk dolaylı olarak tortul kalınlığının (derinliğin) bir fonksiyonu olduğundan çizilen tortul kalınlığı ve Transformasyon Oranı diyagramında da aynı özelliği taşımıası gereklidir.

İnceleme alanı içerisinde alınan örneklerin, Transformasyon Oranı-tortul kalınlığı ve  $T_{max}$ -tortul kalınlığı diyagramları çizilmiştir (Şekil-40 ve 41).

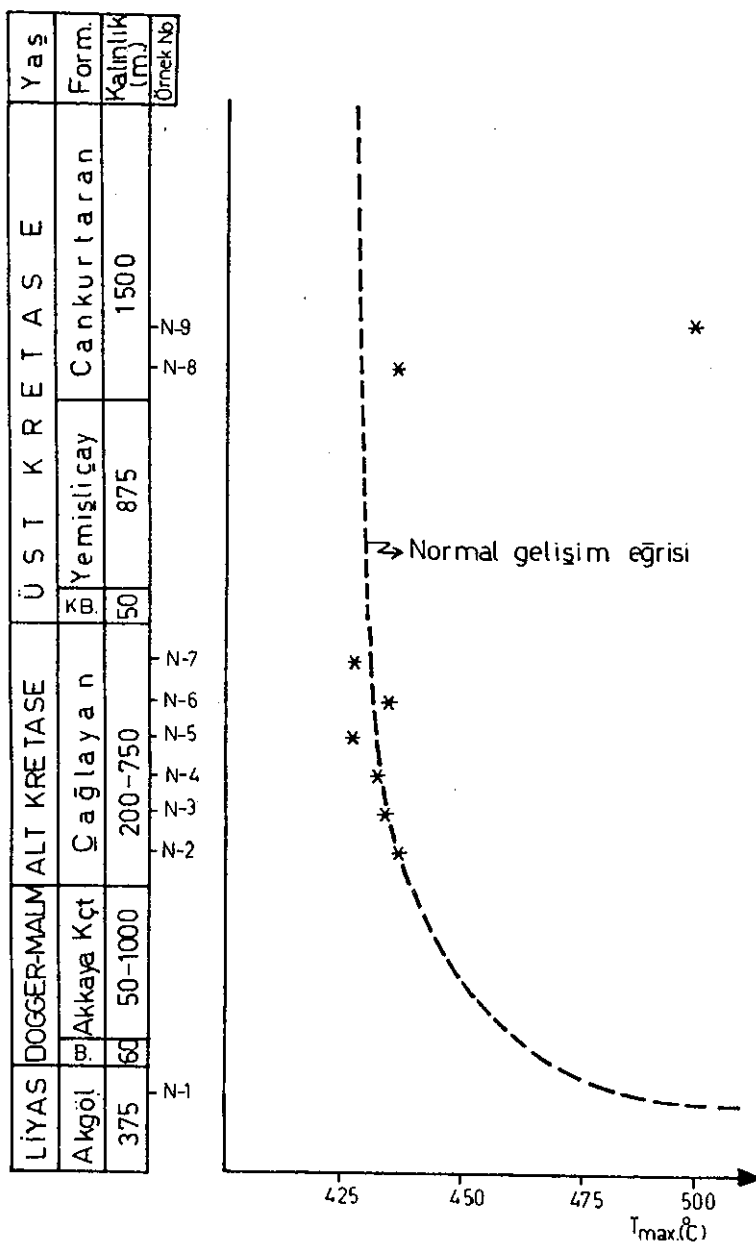
Transformasyon Oranı ve  $T_{max}$  diyagramlarında yer alan değerler arasında bazı sapmalar gözlenmektedir. Transformasyon Oranı'nın en önemli faktörü olan  $S_1$  (serbest hidrokarbonlar) değeri, pirolizi yapılan örneklerde düşük ve değişik oranlarda bulunmuştur. Daha öncede açıklandığı gibi analizi yapılan örnekler yüzeyden alınmıştır. Bu nedenle örneklerin içerdiği serbest hidrokarbonlar okside olmuştur.

Bu diyagramlarda sadece N-9 örneği yüksek değer vermiştir. Maastrichtiyan yaşlı Cankurtaran Formasyonu'ndan alınan bu örneğin içerdiği kerojenler olasılıkla daha alttaki Liyas yada Alt Kretase yaşlı çökellerden taşınmış olmalıdır.

Genelde, Transformasyon Oranı ve  $T_{max}$  diyagramlarında olgunluğun Kretase'den Liyas'a düşey yönde artış gösterdiğini söyleyebiliriz. Ancak bu olgunluğa, gömülme diyajenezinin yanısıra Üst Kretase yaşlı volkanizmanın da neden olabileceği düşünülmektedir.



**Şekil-40 : Tortul kalınlığı-Transformasyon oranı eğrisi**



Sekil-41 : Tortul kalınlığı- $T_{\max}$  eğrisi

### 1.2.3. VİTRİNİT YANSIMASI ÖLÇÜMLERİ

Kömür bileşenleri, fiziksel, kimyasal ve optik özelliklerine göre, vitrinit, liptinit ve inertinit olmak üzere üç gruba ayrılmaktadır (Stach ve dig., 1975). Organik maddece zengin tortul kayaçların içerisinde ise daima vitrinit bulunur (Tissot ve Welte, 1978).

Ana kayalarda bulunan vitrinit, bitkilerin hücre duvarlarını oluşturan lignin ve selülozdan türemiştir. Kimyasal yapılarında alifatik gruplar tarafından çevrelenmiş aromatik çekirdekler ana çatayı oluşturur. Isı etkisiyle aromatik yapının uçlarındaki moleküller ( $\text{OH}$ ,  $\text{COOH}$ ,  $\text{CH}_3$ ) koparak uzaklaşır. Bu moleküllerin uzaklaşması vitrinitlerin optik özelliklerinin düzenli değişmesine neden olmaktadır. Küçük moleküllerin kopması ile vitrinitlerde aromatik yapının bileşikleri çoğalır ve sıkı aromatik yapı ortaya çıkar. Aromatik yapının artmasıyla gelişen kristal yapıdan ötürü vitrinitlerin mikroskopla ışığı yansıtma derecesi düzenli olarak artar (Goodarzi ve Murchison, 1972).

Mikroskop incelemeleri için ana kaya içindeki organik maddenin (kerojen) ayrılması gerekmektedir. Bunun için öğütülmüş ana kaya örnekleri önce klorik asit ( $\text{HCl}$ ) veya fluorik asit ( $\text{HF}$ ) ile karıştırılır. Karışım mağnetik karıştırıcılar yardımıyla  $50-60^{\circ}\text{C}$  sıcaklıkta 2 saat devam eder. Soğuduktan sonra karışımıma santrifüj uygulanır. Santrifüje karışım, iki kez arı suyla tekrarlanır. Daha sonra potasyumiyodür ( $\text{KI}$ ) ve kadmiyumiyodür ( $\text{CdI}_2$ )'le hazırlanan ve özgül ağırlığı  $1,95 \text{ gr/cm}^3$  olan bir karışım örneğe ilave edilir. 10 dakika karıştırıldıktan sonra tekrar santrifüj uygulanır. Özgül ağırlığı  $1,95 \text{ gr/cm}^3$ 'den küçük olan organik madde, özgül ağırlığı  $1,95 \text{ gr/cm}^3$ 'den büyük olan minerallerden ayrılarak yüzeye birikir. Sıvı kısım 0,8 llik filitrelerden geçirilerek organik madde ayrılır ve  $50^{\circ}\text{C}$  de 12 saat süreyle havasız koşullarda kurutulur. Böylece elde edilen organik madde (kerojen)'den parlatma kesitleri hazırlanarak ölçümler yapılır.

Yansıma (Reflekstans) değeri ( $R_o$ ), parlatılmış yüzey üzerine gönderilen ışiktan, yansyan miktarının emilene oranıdır (Raynaud ve Robert, 1976). Parlatılmış yüzeylerden itibaren gerçekleştirilen vitrinit yansımıası

miktarylari, bir fotometre aracılığı ile sayisal değerlere dönüştürülebilmektedir. Bu, kayacın olgunluk derecesini saptamada kullanılan en güvenilir yöntemlerden biridir (Urban, 1976; Tissot ve Welte, 1978; Bostick, 1979; Teichmüller ve Teichmüller, 1979).

Vitrinit yansımaları mikroskop-fotometre vasıtayla ve standard örnekler yardımıyla aşağıdaki formüle göre ölçülmektedir (Doğru ve dig., 1978). Ölçme işleminden 50 partikülün ortalama değeri alınmaktadır.

$$R_o = \left( -\frac{\sin \delta_o}{\sin \delta_s} \right)^2 R_s$$

$R_o$  : Vitrinit yansımıası,

$R_s$  : Standard yansımıma,

$\delta_s$  : Fotometrede vitrinit için okunan değer,

$\delta_o$  : Fotometrede standard için okunan değer

$R_o$  değeri, 0,5 ile 2 arasında olan kayalar (katajenez evresi) olgun ana kaya kabul edilmekte ve ancak bu kayaların petrol ve doğal gaz üretmiş olabilecekleri belirtilmektedir.  $R_o$  değeri 0,5'ten küçük olanlar ise henüz diyajenez aşamasında olan olgunlaşmamış kayalardır.  $R_o$  değeri 2 ve 4 arasında olan kayalar ise (metajenez evresi) yalnızca kuru gaz verebilirler (Raynaud ve Robert, 1976; Powel ve dig., 1978; Tissot ve Welte, 1978; Bostick, 1979).

İnceleme alanı içerisinde, ana kaya açısından önem taşıyan Liyas yaşı Akgöl, Alt Kretase yaşı Çağlayan ve Maastrichtyen yaşı Cankurtaran Formasyonları'ndan alınan şeyl örnekleri üzerinde Jülich Petrol ve Organik Jeokimya Enstitüsü'nde vitrinit yansımıası ölçümleri yapılmıştır.

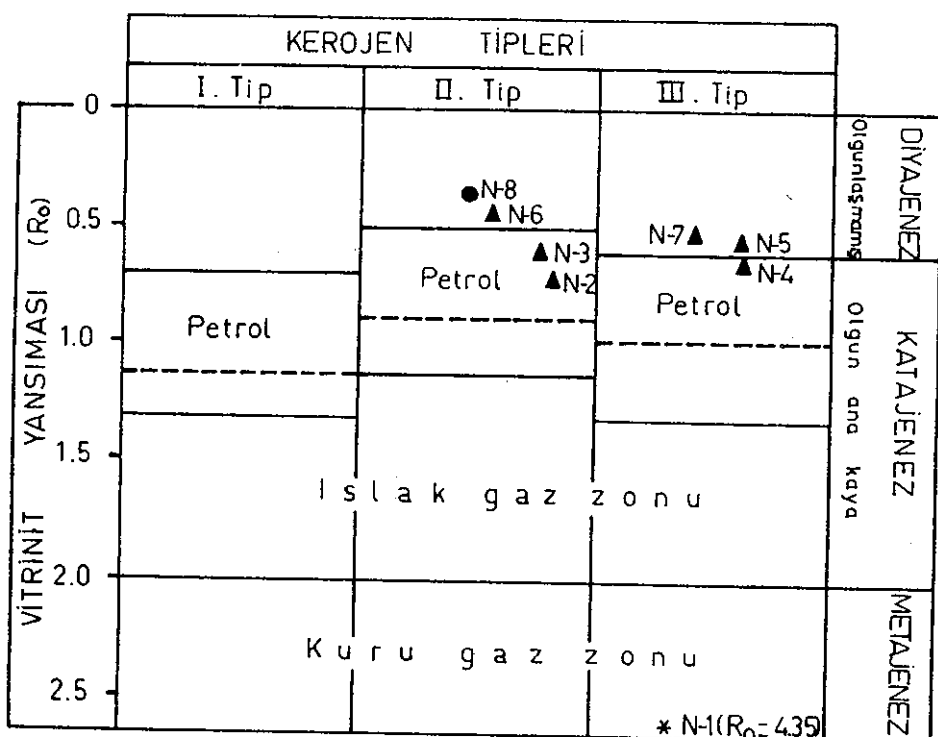
Akgöl Formasyonu'ndan 1, Çağlayan Formasyonu'ndan 6 ve Cankurtaran Formasyonu'ndan ise 2 örneğin vitrinit yansımıası ölçümleri gerçekleştirılmıştır (Çizelge-7).

Örneklerin organik madde tipleri de göz önüne alınarak değerlendirilmeleri yapılmıştır (Şekil-42). Bu değerlendirmelere göre ;

N-1 : Metajenez evresinde olup, 4.35 gibi çok yük-

| YAS         | FORMASYON<br>ADI | ÖRNEK<br>NO | VİTRİNİT<br>YANSIMASI<br>( $R_o$ ) |
|-------------|------------------|-------------|------------------------------------|
| ÜST KRETASE | CANKURTARAN      | N-9         | Ölçülemedi                         |
|             |                  | N-8         | 0.35 + 0.07                        |
| ALT KRETASE | GAGLAYAN         | N-7         | 0.54 + 0.07                        |
|             |                  | N-6         | 0.43 + 0.09                        |
|             |                  | N-5         | 0.55 + 0.07                        |
|             |                  | N-4         | 0.63 + 0.11                        |
|             |                  | N-3         | 0.65 + 0.10                        |
|             |                  | N-2         | 0.75 + 0.18                        |
| LİYAS       | AKGÖL            | N-1         | 4.35 + 0.3                         |

Çizelge-7 : Vitrinit yansımazı ölçümleri



**Şekil-42 :** Vitrinit yansımazı ve kerojen tipi açısından petrol ve gaz zonlarının yaklaşık sınırları (Tissot ve Welte, 1978)

- \* Akgöl Formasyonu (Liyas)
- ▲ Çağlayan Formasyonu (Alt Kretase)
- Cankurtaran Formasyonu (Maastrichtiyan)

sek bir değer ölçülmüştür. Kuru gaz üretebilir.

N-2 : Olgunlaşmasını tamamlamış çok iyi ana kaya, petrol ve gaz üretmiştir.

N-3 : Olgunlaşmasını tamamlamış çok iyi ana kaya, petrol ve gaz üretmiştir.

N-4 : Olgunlaşmasını tamamlamış ana kaya, petrol ve gaz üretebilir.

N-5 : Tam olgunlaşmamış ana kaya.

N-6 : Tam olgunlaşmamış ana kaya.

N-7 : Tam olgunlaşmamış ana kaya,

N-8 : Olgunlaşmamış ana kaya,

N-9 : Olgunlaşmamış ana kaya.

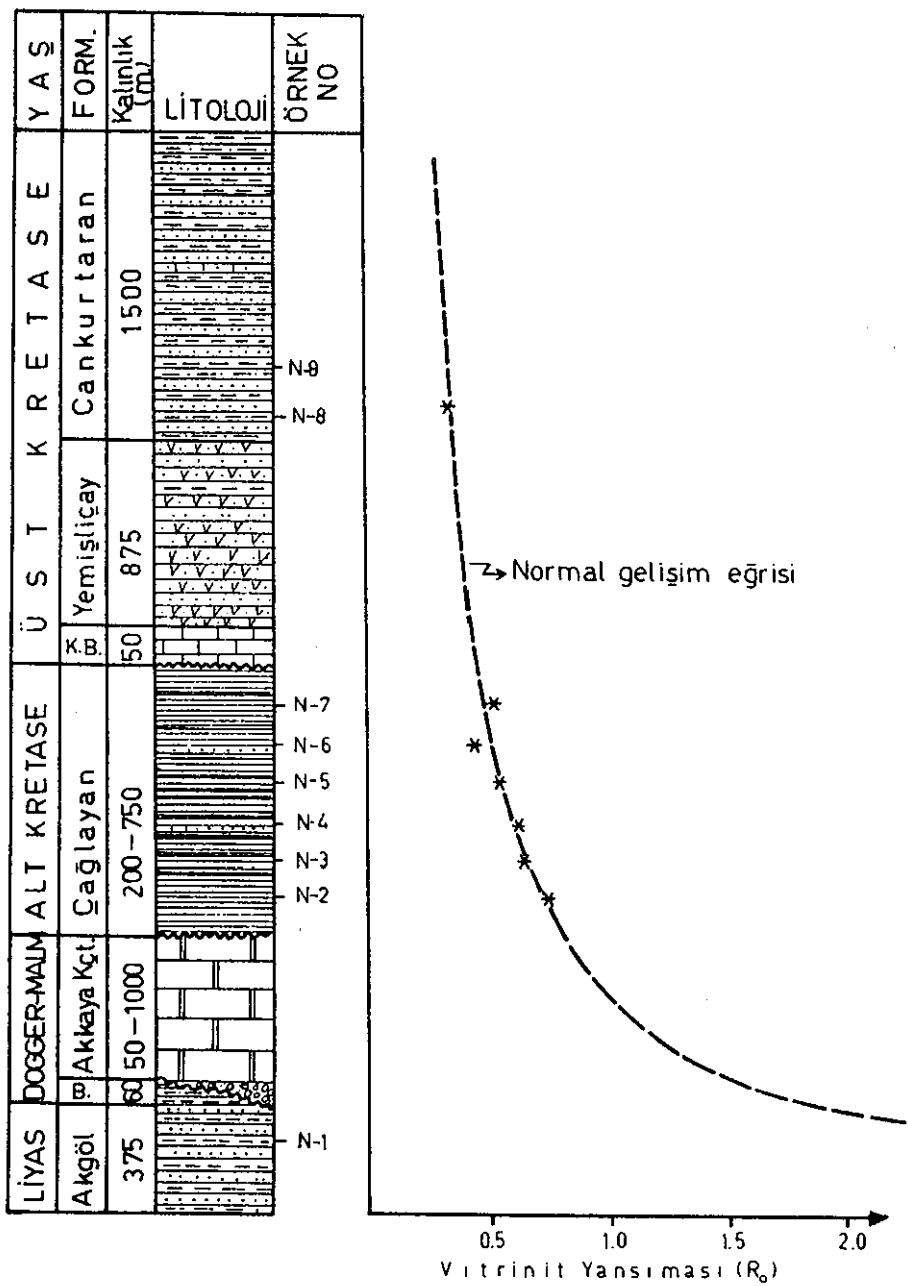
Bu değerlendirmelere göre, Liyas yaşı Akgöl Formasyonu'nun ileri derecede olgunlaşlığı (metajenez evresi) görülmektedir. Birim ancak kuru gaz üretebilir.

Alt Kretase yaşı Çağlayan Formasyonu'nun, diyajenez-katajenez arası ve katajenez evrede yer aldığı, dolayısıyla olgun ana kaya olduğu görülmektedir.

Maastrichtiyen yaşı Cankurtaran Formasyonu'nun ise diyajenez evrede, yani tam olgunlaşmadığı görülmektedir.

Ana kaya fasiyesindeki bu formasyonlardan alınan örneklerin vitrinit yansımazı değerleri kullanılarak inceleme alanının, tortul kalınlığı (derinlik)-olgunluk eğrisi çizilmiştir (Şekil-43). Bu diyagramda, olgunluğun Üst Kretase'den-Liyas'a düşey yönde arttığı görülmektedir.

Bu durumda, II. tip kerojende  $R_o=0,5$  ve III. tip kerojende  $R_o=0,6$ 'ya karşılık gelen olgunluk evrelerinde hidrokarbon oluşmaya başladığı göz önüne alınırsa (Tissot ve Welte, 1978), özellikle Alt Kretase yaşı Çağlayan Formasyonu'nda petrol oluşumunun başladığı ve oluştuğu sonucuna varılmaktadır.



**Şekil-43 :** Tortul kalınlığı-Olgunluk eğrisi

#### 1.2.4. KİL ANALİZLERİ

Bu analizler, inceleme alanında ana kaya özelliğine taşıyan birimlerdeki şeyllerin hangi diyajenez aşamasında olduğunu, dolayısıyla olgunluklarını belirlemek amacıyla yapılmıştır.

Bürenük-Handeresi boyunca ölçülen stratigrafik kesit üzerinde üç formasyona ait 11 örneğin MTA Enstitüsü laboratuvarlarında kil boyu-mikromineralojik analizleri × işinları yöntemi ile yapılmıştır.

Gerekli işlemleri takiben ayrılan kil minerallerinden normal, glikollü, fırınlanmış ve hidrozinli olmak üzere dört ayrı preparat hazırlanarak × işinları difraktogram çekimine gidilmiştir.

Çekimler, Philips-PW 1140/00 Difraktometresi ile her defasında;

- CuK ışiması ( $1.54 \text{ \AA}^0$ ) Ni süzgeç
- Yarıklar : 1 - 0,1 mm. -1
- Tüp akım ve gerilimi  $18 \text{ \AA} - 40 \text{ KV}$
- Duyarlık :  $4 \times 10^2 - 1.10^3$
- Kayıt edici : (2,5 cm/dk)
- Goniometre  $2\theta$  :  $2^0/\text{dak.}$

koşulları sağlanarak yapılmıştır.

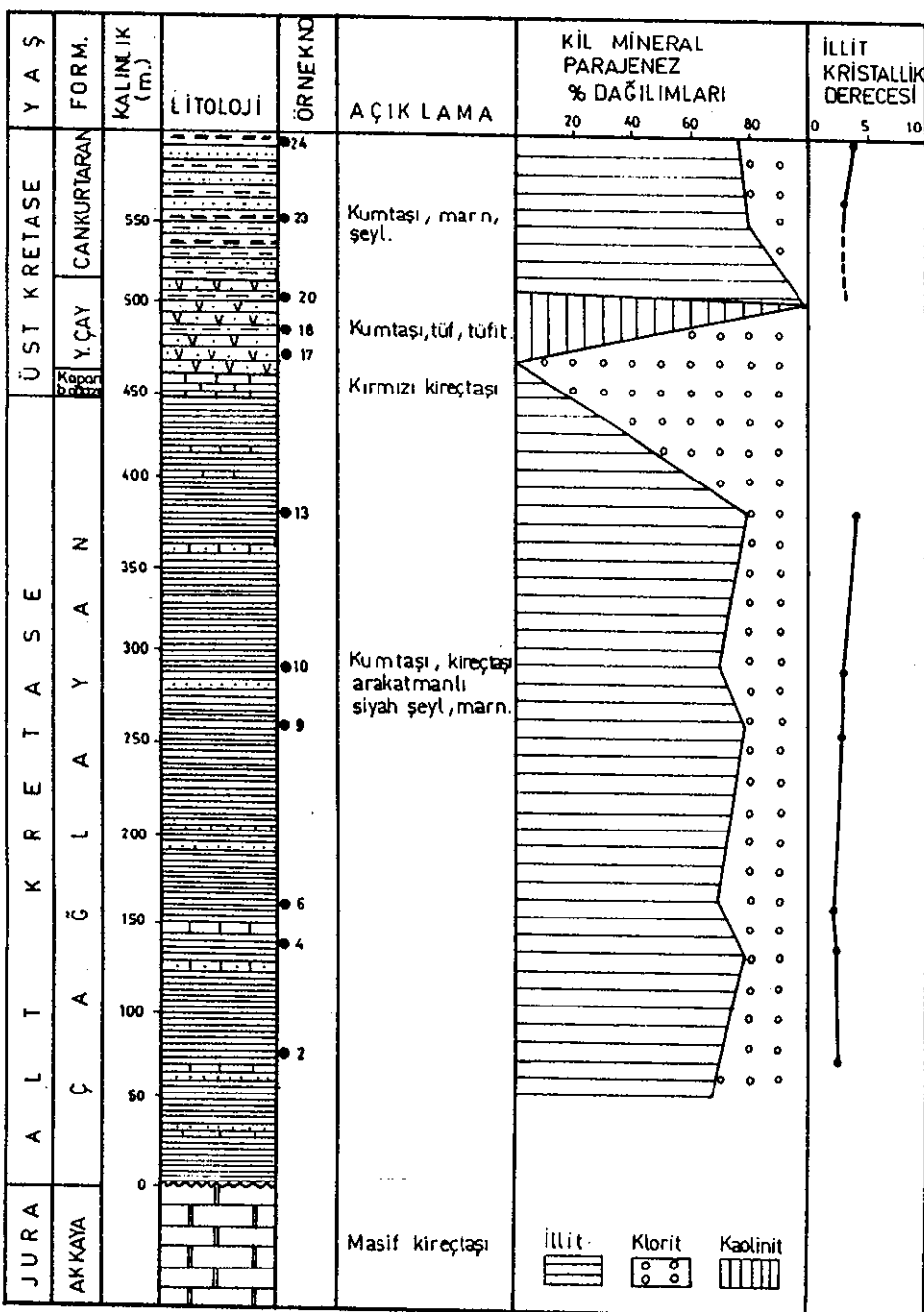
Elde edilen diyagramlar üzerinde her örneğin kil mineral parajenezleri saptanmış, daha sonrada illit kristallik dereceleri ölçülmüştür.

##### Kıl Mineral Parajenezleri :

Yapılan çekimler sonucunda saptanan kil minerallerinin kesit boyunca yüzde dağılımları şekil-44 de görülmektedir. Buna göre;

Alt Kretase yaşı Çaglayan Formasyonu'nda illit-klorit parajenezi,

Alt Maastrichtiyen yaşı Yemişliçay Formasyonu'nda kaolinit minerali,



Şekil-44 : Bürnük-Handeresi boyunca ölçülen stratiografik kesitteki kil mineralleri yüzde miktarları ile illit kristallik derecelerini gösterir diyagramlar

Maastrichtiyen yaşlı Cankurtaran Formasyonu'nda ise illit-klorit mineral parajenezleri saptanmıştır.

Yemisliçay Formasyonu'nun tüflü düzeylerine karşılık gelen egemen kaolinit minerali olasılıkla hidrotermal alterasyon ürünüdür. Çağlayan ve Cankurtaran Formasyonlarında ise illit minerali egemendir.

### İllit Kristallik Ölçümleri :

İllit kristallik derecesinden yararlanarak tortulların diyajenez, ankimetamorfizma ve epimetamorfizma aşamalarından hangisinde olduğu saptanabilemektedir (Weaver, 1960; Kübler, 1966; Dunoyer de Segonzac, 1970).

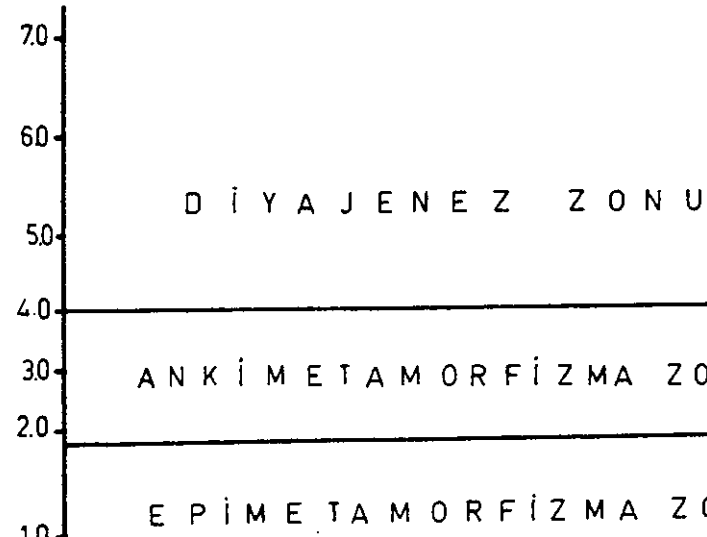
İncelenen 11 örnektenden ancak 8'inde illit kristallik ölçümü yapılmıştır. İllit kristallik dereceleri, Kübler (1964, 1968)'in geliştirdiği yöntem uyarınca normal çekimdeki  $10 \text{ A}^{\circ}$ 'luk (002) illit pikinin eşik değeri üzerinden itibaren ölçülen yarı yüksekliğindeki genişliği ( $l_{\text{hoo}2} / 2$ ) mm. cinsinden okunarak elde edilmiştir.

Alt Kretase yaşlı Çağlayan Formasyonu'nda ölçülen 6 örneğin illit kristallik dereceleri 2-4 mm. arasında değişmektedir. Maastrichtiyen yaşlı Cankurtaran Formasyonunda ise illit kristallik dereceleri 3-4,5 mm. arasındadır (Şekil-44).

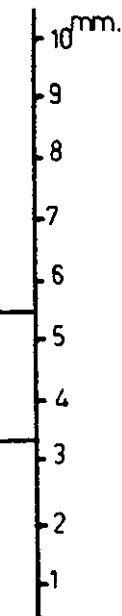
Elde edilen ölçüm değerlerini Kübler (1968)'in sınıflaması ile karşılaştıracak olursak, Çağlayan Formasyonu'nun ankimetamorfizma zonunda, Cankurtaran Formasyonu'nun ise ankimetamorfizma-diyajenez geçişinde yer aldığı görülmektedir. Aynı değerleri Dunoyer de Segonzac (1969)'in sınıflaması ile karşılaştıracak olursak, Çağlayan Formasyonu'nun ankimetamorfizma-epimetamorfizma arasında, Cankurtaran Formasyonu'nun ise ankimetamorfizma zonunda yer aldığı görülmektedir (Şekil-45).

Bu durumda, özellikle Çağlayan Formasyonu'nda gözlenen bu olgunlaşma aşaması, yapılan vitrinit yansımısi ölçümü ile de uygunluk göstermektedir.

(Kübler, 1968)



(Dunoyer de Segonzac, 1969)



Şekil-45 : Kibler (1968) ve Dunoyer de Segonzac (1969)'a göre illit kristalik derecesi ile belirlenen killerin yaklaşık diyajenez sınırları.

### 1.2.5. ANA KAYA DEĞERLENDİRMESİ

İnceleme alanında ana kaya açısından önem taşıyan üç formasyondan alınan örnekler üzerinde jeokimyasal analizler yapılmıştır. Analiz sayısı az olmasına rağmen, formasyonlar hakkında genel bir fikir vermektedir. Jeokimyasal analizlere dayanarak bu formasyonların ana kaya yönünden değerlendirmesi şöyledir:

**Akgöl Formasyonu (Liyas) :** Birim, organik karbon yönünden orta derecede ana kaya özelliği taşımaktadır. Vitrinit yansımıası ölçümlerinde ise çok yüksek bir değer elde edilmiştir. Kayaç metajenez evrede bulunduğuundan ancak gaz üretmiş olabilir.

**Çağlayan Formasyonu (Alt Kretase) :** Formasyon, organik karbon yönünden orta derecede ana kaya özelliği taşımaktadır. Ayrıca vitrinit yansımıası ve rock-eval analizleri ile illit kristallik ölçümleri birimin hidrokarbon oluşturabilecek katajenez evresine eriştiğini göstermektedir. Bütün bu veriler Çağlayan Formasyonu'nun genelde iyi bir ana kaya olduğunu kanıtlamaktadır.

**Cankurtaran Formasyonu (Maastrichtiyen) :** Birim, organik karbon yönünden orta derecede ana kaya özelliği taşımaktadır. Ancak, vitrinit yansımıası, rock-eval analizleri ve illit kristallik ölçümleri formasyonun tam olgunlaşmadığını göstermektedir. Bu nedenle birimin hidrokarbon oluşturma potansiyeli de zayıftır.

Gerçekleştirilen analiz sonuçlarına göre, inceleme alanındaki ana kayalardan sadece Alt Kretase yaşı Çağlayan Formasyonu hidrokarbon oluşturabilecek niteliktedir.

Daha öncede açıklandığı gibi ana kayanın hidrokarbon oluşturmazı, kerojen tipine, olgunluğuna ve termal gelişimine bağlıdır.

Ancak son yıllarda yapılan çalışmalarda olgunluğun, gömülme diyajenezi dışındaki olaylarla da geliştiği saptanmıştır (Pelin, 1981; Peters ve diğ., 1983). Bu nedenle, vitrinit yansımaları ile ölçülen olgunluğun, diğer jeokimyasal yöntemlerle de doğrulanması gerekmektedir. Ana kayanın olgunluğu, gömülme diyajenezi ve termal gelişimi

Rock-Eval analizlerinden elde edilen Transformasyon Oranı ve  $T_{max}$ . değerleriyle daha sağlıklı bir şekilde saptanabilmektedir.

İnceleme alanından elde edilen jeokimyasal veriler (Çizelge-8) yüzdelere çevrilerek, Merewether ve Claypool (1980) tarafından Wyoming Powder River Havzasında elde edilen analizlerle (Çizelge-9) karşılaştırılmıştır. Ancak Wyoming'deki analizlerin kuyu örneklerinden elde edildiği unutulmamalıdır.

İnceleme alanına ait çizelge-8 deki Transformasyon Oranı ( $S_1/S_1 + S_2$ ) yüzdeleri çok düşüktür. Bu, daha öncede açıklandığı gibi yüzeyden alınan örneklerin büyük ölçüde okside olmasından ileri gelmektedir. Çizelge-9 daki Transformasyon oranları da düşüktür. Sadece petrol üretilen 4 nolu örnekteki oran yüksektir.

Organik karbon yüzdeleri ise, gerek Çağlayan Formasyonu'nda ve gerekse Powder River Havzası'ndaki şeyllerde oldukça yüksektir. Yine sadece petrol üretilen 4 nolu örnekteki organik karbon yüzdesi düşük olup % 0,85 dolayındadır. Diğer örneklerdeki organik karbon henüz petrole dönüşemediği için yüzdeleri yüksektir. Bu nedenle, bunlar potansiyel ana kaya olarak tanımlanırlar.

Çağlayan Formasyonu'ndan elde edilen  $T_{max}$ . değerleri ise henüz diyajenez evrededirler. Sadece üç örnek katajenez evreye çok yakındır. Halbuki Powder River Havzası'ndaki değerler ve özellikle petrol üretilen 4 nolu örneğin  $T_{max}$ . değeri oldukça yüksektir.

$T_{max}$  değeri gömülme diyajenezi ile doğrudan ilişkilidir. İnceleme alanındaki örneklerin yüzeyden alındığı ve bu yörenin de paleocoğrafik olarak Orta-Üst Eosen'den beri kara durumunda olduğu tahmin edilmektedir. Aynı formasyon çoğu yerde 1000-1500 m. kalınlıktaki Üst Kretase yaşlı çökellerle örtülüdür. Bu durumda  $T_{max}$ . değerlerinin bu gömülü bölgelerde doğal olarak daha yüksek olması gereklidir.

Vitrinit yansımazı açısından sadece çizelge-9 daki petrol üretilen 4 nolu örnek yeterli olgunluğa erişmiştir.

| Y A S          | FORM.<br>A D I | ÖRNEK<br>NO | C <sub>org.</sub><br>(Wt %) | S <sub>1</sub> + S <sub>2</sub><br>C <sub>org.</sub><br>(%) | S <sub>1</sub><br>S <sub>1</sub> + S <sub>2</sub><br>(%) | T <sub>max.</sub><br>(°C) | Vitrinit<br>Yansımı <sup>sı</sup><br>(%) |
|----------------|----------------|-------------|-----------------------------|---|--|---------------------------|--|
| ÜST<br>KRETASE | CANAKTARAY     | N-9         | 0.58                        | 12.0  | 0.14   | 501                       | -  |
|                |                | N-8         | 0.96                        | 21.8  | 0.06   | 433                       | 0.35                                     |
| ALT<br>KRETASE | ÇAĞLAYAN       | N-7         | 1.94                        | 22.5  | 0.05   | 428                       | 0.54                                     |
|                |                | N-6         | 1.70                        | 44.5  | 0.04   | 433                       | 0.43                                     |
|                |                | N-5         | 0.51                        | 3.7   | 0.05   | 428                       | 0.55                                     |
|                |                | N-4         | 1.57                        | 22.1  | 0.04   | 431                       | 0.63                                     |
|                |                | N-3         | 1.73                        | 34.9  | 0.01   | 432                       | 0.65                                     |
|                |                | N-2         | 1.41                        | 38.0  | 0.04   | 433                       | 0.75                                     |
| LİYAS          | AKGÖL          | N-1         | 0.58                        | 0.3   | 0.21   | -                         | 4.35                                     |

Çizelge-8 : İnceleme alanında ana kaya özelliği taşıyan birimlerin organik jeokimyasal özellikleri

Çağlayan Formasyonu'nda ise N-2, N-3 ve N-4 nolu örnekler yeterli olgunluğa erişmişlerdir.

Eldeki analizler Çağlayan Formasyonu'nun genelde potansiyel ana kaya olduğunu göstermektedir.

Ancak, yöredeki petrol sızıntısının varlığının da bir açıklığa kavuşturulması gereklidir. Bu sızıntının kökeni, Alt Kretase yaşı Çağlayan Formasyonu'nun yersel olarak, olasılıkla Üst Kretase volkanizmasının ısı etkisiyle kata-jenetik evreye eriştiği ve buralarda petrol üretmesiyle açıklanabilir. Oluşan ham petrol miktarı hakkında bir fikir vermek ise eldeki verilerle mümkün değildir.

| No | ANA KAYA DEĞERLENDİRMESİ        | C <sub>org.</sub><br>(Wt %) | S <sub>1</sub> + S <sub>2</sub><br>C <sub>org.</sub><br>(%) | S <sub>1</sub><br>S <sub>1</sub> + S <sub>2</sub><br>(%) | T <sub>max.</sub><br>(°C) | Vitrinit<br>Yansımı<br>(%) |
|----|---------------------------------|-----------------------------|---|--|---------------------------|----------------------------|
| 1  | Petrol için potansiyel ana kaya | 2.45                        | 30  | 0.01   | 455                       | 0.48                       |
| 2  | Gaz için potansiyel ana kaya    | 1.2                         | 14.6  | 0.02   | 464                       | 0.40-0.65                  |
| 3  | Gaz için ana kaya               | 1.4                         | 13.5  | 0.05   | 475                       | 0.49                       |
| 4  | Petrol ana kayası               | 0.85                        | 12.5  | 0.37   | 498                       | 0.62                       |

Özelge-9 : Wyoming Powder River Havzasındaki ana kaya fasiyesinin organik jeokimyasal özellikleri (Merewether ve Claypool, 1980).

## 2. HAZNE KAYA FASİYESİ

İnceleme alanında, Liyas-Kuvaterner zaman aralığında çökelmiş istif içerisinde hazne kaya olabilecek bir çok düzeyler bulunmaktadır. Bu düzeylerden alınan örnekler üzerinde TPAO laboratuvarlarında geçirimlilik (permabilite) ve gözeneklilik (porozite) tayinleri yapılmıştır (Çizelge-10). Buna göre;

### Akgöl Formasyonu (Liyas) :

Bu birimin yaklaşık % 30-40'ını kuvarsitik kumtaşları oluşturmaktadır. Ancak bu kumtaşları ileri derecede diyajenez geçirdikleri için gözeneklilik ve geçirimlilikleri azalmıştır. Fakat ikincil geçirimlilik ve gözeneklilik etkin olabilir.

### Akkaya Kireçtaşı (Dogger-Malm) :

Bu birim ise, orta-kalın katmanlı ve masif, bol çatlaklı, oolitik kireçtaşlarından oluşmuştur. Ana kaya fasiyesindeki Çağlayan Formasyonu tarafından örtülen Akkaya Kireçtaşı düşey ve yanal göçlerle iyi bir hazne kaya olabilir. Kalınlığı 50-1000 m. arasında değişmektedir.

Yapılan ölçümelerde geçirgenlik, havaya göre 0,052 md., mutlak 0,03 md.dir. Gözeneklilik % 2,15, tane yoğunluğu ise 2,70 dir.

### Çağlayan Formasyonu (Alt Kretase) :

Genelde iyi bir ana kaya olan bu birim, aynı zamanda hazne kaya açısından da önem taşır. Formasyonun tabanında yer alan Çataltaş Üyesi yaklaşık 300 m. kalınlığında iri taneli kumtaşlarından oluşmuştur. Ayrıca birim içinde kalınlığı 5-50 m. arasında değişen iri taneli, mikroçaklı ve çatlaklı kumtaşı katmanları yer almaktadır. Bunlar iyi hazne kaya özelliği göstermektedir. Ayrıca bölgedeki canlı petrol bu birimden sızmaktadır.

Bu kumtaşlarından alınan iki örnek üzerinde yapılan ölçümelerde geçirgenlik havaya göre 0.733 md. ve 0.068 md., mutlak 0,49 md. ve 0.04 md.dir. Gözeneklilik % 8.21 ve % 1.71 dir. Tane yoğunluğu da her iki örnekte 2.62 dir.

| ALINDIĞI<br>YER | FORMASYON<br>ADI | LITOLOJİ  | G E Ç İ R G E N L İ K  |                   | TANE<br>YOĞUNLUĞU | GÖZENEKLİLİK<br>(%) |
|-----------------|------------------|-----------|------------------------|-------------------|-------------------|---------------------|
|                 |                  |           | Havaya göre<br>ka, md. | Mutlak<br>kl, md. |                   |                     |
| Bürnük Mah.     | Akkaya Kçt.      | Kireçtaşı | 0.052                  | 0.03              | 2.70              | 2.15                |
| Sarpın Dere     | Çağlayan         | Kumtaşı   | 0.733                  | 0.49              | 2.67              | 8.21                |
| Karadağ         | Çağlayan         | Kumtaşı   | 0.068                  | 0.04              | 2.67              | 1.71                |
| Çokran Yayla    | Kapanboğazı      | Kireçtaşı | 0.040                  | 0.02              | 2.62              | 1.66                |
| Akbaş Çayı      | Yemişliçay       | Tüf       | 1.043                  | 0.71              | 2.66              | 15.54               |
| Karadağ         | Yemişliçay       | Tüf       | 0.267                  | 0.17              | 2.67              | 10.97               |

Çizelge-10 : Geçirgenlik (permeabilite) ve gözeneklilik (porozite) ölçümleri

### Kapanboğazı Formasyonu (Santoniyen-Kampaniyen) :

Formasyon, ince-orta katmanlı, kırmızı renkli biyomikritlerden oluşmuştur. Birim çatıtlaklı olup, kalınlığı 40-300 m. arasında değişmektedir.

Birimde yapılan ölçümlerde, geçirgenlik havaya göre 0,040 md., mutlak 0,02 md. dir. Gözeneklilik % 1.66, tane yoğunluğu ise 2,62 dir.

### Yemışlıçay Formasyonu (Alt Maastrihiyen) :

Birim, kumtaşı, marn arakatmanlı, tuf ve tüfit ardalanmasından oluşmuştur. Tuf ve tüfitler orta-kalın katmanlı olup, iri taneli ve gözenekli bir yapı gösterirler. Formasyonun kalınlığı 875 m. olup yaklaşık % 60-75'i tuf ve tüfitlerden oluşur.

Formasyonda yapılan ölçümlerde, geçirgenlik havaya göre 1.043 md. ve 0.267 md., mutlak 0,71 md. ve 0.17 md. dir. Gözeneklilik % 15.54 ve % 10.97 dir. Tane yoğunluğu ise 2.66 ve 2.67 dir.

### Cankurtaran Formasyonu (Maastrichtiyen) :

Formasyon orta-ince katmanlı kumtaşı, marn, şeyl, kumlu kireçtaşı, siltaşları ardalanmasından oluşmuştur. Birim yer yer kanal dolguları içermektedir. Kumtaşları genellikle ince tanelidir. Şeyl-marn egemenliği hazne özeliğini azaltmaktadır. Ancak kanal dolguları ve çakılı düzeyleri hazne olabilir.

### Gökirmak Formasyonu (Lütesiyen) :

Formasyonun tabanında yer alan kalın katmanlı ve kanal dolguları içeren kumtaşları iyi bir hazne kaya özelliği gösterirler.

### Hazne Kaya Değerlendirmesi :

İnceleme alanındaki en önemli hazne kayalar sırasıyla, Çağlayan Formasyonu içindeki kumtaşları, Akkaya Kireçtaşı, Kapanboğazı Formasyonu ve Yemışlıçay Formasyonu içindeki tüflerdir. Bunların üzerine gelen diğer birimler gerek aşınma ve gerekse ana kayadan uzaklıklarını nedeniyle inceleme alanı içerisinde pek önem taşımazlar.

İnceleme alanındaki hazne kayalarda ölçülen geçirimlilik ve gözeneklilik değerleri Levorsen (1967)'nin sınıflamalarıyla karşılaştırılmıştır.

Levorsen (1967)'e göre ;

Gözeneklilik (Porozite) Sınıflaması :

- % 0-5 İhmal olunabilir
- % 5-10 Düşük porozite
- % 10-15 Orta porozite
- % 15-20 İyi porozite
- % 20-25 Çok iyi porozite

Geçirimlilik (Permeabilite) Sınıflaması :

- Orta : 1 - 10 md.
- İyi : 10 - 100 md.
- Çok iyi : 100-1000 md.

Bu sınıflamalara göre, inceleme alanında sadece Yemişliçay Formasyonu'ndaki tüflerin orta derecede geçirimli ve orta - iyi derecede gözenekli olduğu görülmektedir. Diğer formasyonlarda yapılan ölçütler genellikle düşük değerler vermiştir.

Ancak, burada ölçülen değerlere çatlakların ve boşlukların neden olduğu ikincil gözeneklilik ve geçirimlilik dahil değildir. Ayrıca ölçüm yapılan örnekler yüzeyden alındığı için meteorik suların taşıdığı eriyikler de geçirimliliği ve gözenekliliği azaltmaktadır.

Bu nedenlerden dolayı, gerçek geçirimlilik ve gözeneklilik değerlerinin çizelgede gösterilen değerlerden daha yüksek olması gerekmektedir.

### **3. ÖRTÜ KAYA FASİYESİ**

İnceleme alanında örtü kaya fasiyeside oldukça iyi gelişmiştir. Bütün birimler içinde örtü kayası olabilecek bir çok düzeyler yer almaktadır.

#### **Çağlayan Formasyonu (Alt Kretase) :**

Birim % 50-80 arasında değişen ince taneli şeyl ve marnlardan oluşmuştur. Bu şeyl ve marnlar, hem formasyon içindeki kumtaşı düzeyleri ve hem de alttaki Akkaya Kireçtaşı için iyi bir örtü kayası olmaktadır. Birimin kalınlığı 200-750 m. arasındadır.

#### **Kapanboğazı Formasyonu (Santoniyen-Kampaniyen) :**

30-300 m. arasında kalınlık sunan bu birim, kırmızı renkli biyomikritlerden oluşmuştur. Kapanboğazı Formasyonu ana kaya ve hazne kaya özelliğindeki birimler üzerinde yer almaktadır. Birimin ince taneli ve killi olması örtü kaya özelliğini artırmaktadır.

#### **Yemişliçay Formasyonu (Alt Maastrichtiyen) :**

Genellikle tuf ve tüfitlerden oluşan bu birim içinde yer yer marn ve şeyl düzeyleri yer almaktadır. Bu düzeyler örtü kaya olabilecek özelliktedir. Birimin kalınlığı 875 m. kadardır.

#### **Cankurtaran Formasyonu (Maastrichtiyen) :**

Fliş özellikleri sunan birimin % 50 den fazlasını marn ve şeyller oluşturmaktadır. Bu nedenle birim iyi bir örtü kayadır. Formasyonun kalınlığı 300-2000 m. arasında değişmektedir.

#### **Gökirmak Formasyonu (Liitesiyen) :**

Bu formasyonu oluşturan marn ve şeyllerde iyi bir örtü kayasıdır. Şeyl ve marnların kalınlığı 1600 m. ye ulaşmaktadır.

#### 4. KAPANLAR

İnceleme alanında petrol birikimini sağlayabilecek özellikle yapısal kapanların yanısıra stratigrafik kapanlarında olduğu görüşüne varılmıştır.

##### 4.1. YAPISAL KAPANLAR

###### 4.1.1. İblak Antiklinalı :

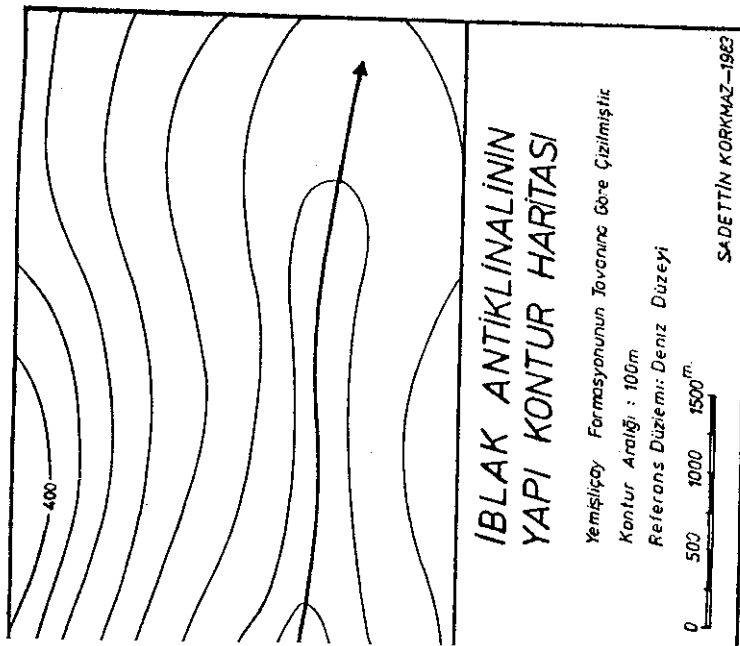
İnceleme alanı içerisinde petrol birikimi açısından önem taşıyan en uygun yapı İblak Antiklinalı'dır. Bölgede yer alan diğer antiklinallerin hemen hepsi deşilmış olduğu için petrol birikimi ve kapanlanması yönünden önem taşımazlar.

İblak Antiklinalı, inceleme alanının kuzeyinde doğu-batı doğrultulu olup, 18 km. uzunluğunda, yaklaşık 2 km. genişliğindedir. Dik simetrik bir yapıdır. Yapı Çankurtaran Formasyonu içinde gelişmiş olup, aşınmış vadilerde yer yer Yemişliçay Formasyonu yüzeylemektedir. Antiklinal doğu-kuzeydoğu yönüne  $5^{\circ}$  dalımlıdır.

İblak Antiklinalı'nın, Yemişliçay Formasyonu'nun tavanına göre çizilen yapı kontur haritasında, İblak Köyü ile Turbeyanı Mahallesi arası en yüksek yapısal değeri vermiştir. Buna göre yapının en yüksek noktası (tepe noktası) buradadır (Şekil-46).

Yapı kontur haritasından alınan kuzey-güney yönlü kesitle, Yemişliçay Formasyonu'nun tavan kesiti elde edilmiştir. Ancak veri eksiksliği nedeniyle ana kaya fasiyesindeki Çağlayan Formasyonu'na göre yapı kontur haritası yapılamamıştır.

Bu yapının 3 km. güneyinde yer alan Göktepe Antiklinalı deşilmiş olup, çekirdeğinde Çağlayan Formasyonu yüzeylemektedir. Burada Çağlayan Formasyonu üzerine gelen Kapanboğazı Formasyonu (50m.) ile Yemişliçay Formasyonu'nun (700 m.) stratigrafik kesitleri ölçülerek net kalınlıkları elde edilmiştir. Elde edilen net kalınlıkların bu kısa mesafe içerisinde büyük değişikliğe uğramayacağı düşünülverek, yapılan kesit üzerinde, Yemişliçay Formasyonu cavanından aşağıya doğru yaklaşık 750 m. inilerek, ana kaya fasiyesin-



deki Çağlayan Formasyonu'nun olasılı tavan kesiti elde edilmiştir.

Bu Ölçekli kesit üzerinde yapılan ölçümlere göre, antiklinalın yapısal rölyefi 800 m., yapısal kapanımı ise 425 m. olarak bulunmuştur. Petrol birikimin miktarı genellikle yapısal kapanımlarla doğrudan ilgili olduğu için, bu yapıdaki 425 m.lik kapanım oldukça iyi bir değerdir (Şekil-47).

İnceleme alanında yer alan diğer yapılar deşilmis oldukları için önemlerini yitirmiştir.

Eosen yaşlı birimler içinde gelişmiş olan Karaverran Antiklinalı sondajla test edilmiş ve kuyu kuru olarak terkedilmiştir (TPAO, 1960).

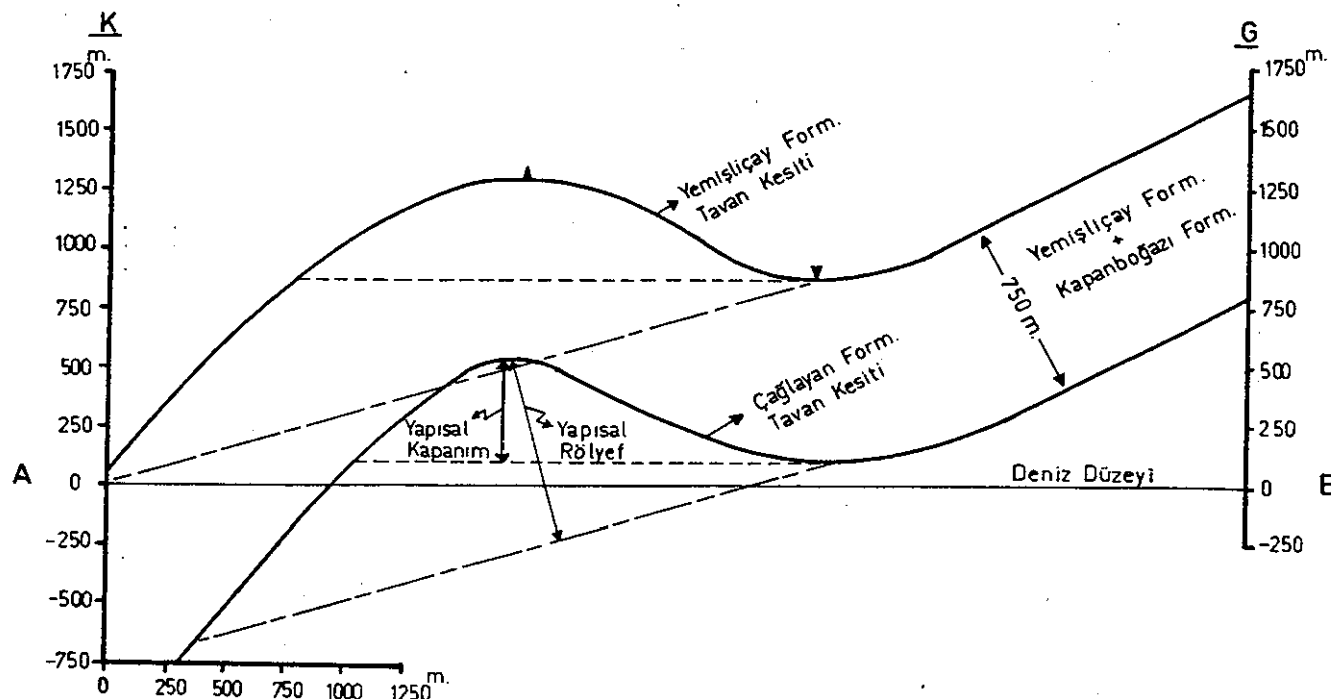
#### 4.1.2. Ekinveran Ters Fayı :

İnceleme alanı içindeki uzunluğu 10 km. olan bu fay, inceleme alanının dışında da kilometrelerce devam etmektedir. En önemli petrol belirtisi olan "Ekinveran Sızcıltısı" bu fayın yaklaşık 500 m. kuzeyinde Alt Kretase yaşlı Çağlayan Formasyonu içindeki kumtaşlarından gelmektedir. Bindirme nedeniyle bütün katmanlar dik ve devrik konum kazanmışlardır. Olasılıkla fay zonunda tutulan petrol çatlaklar veya kırıklar boyunca sızarak yüzeye ulaşmaktadır. Bu veriler Ekinveran Fayı'nın kapan oluşturabileceğini göstermektedir. Özellikle bindirmenin güney bloku petrol kapanlanması yönünden ilginç olabilir düşündeyiz (Şekil-48).

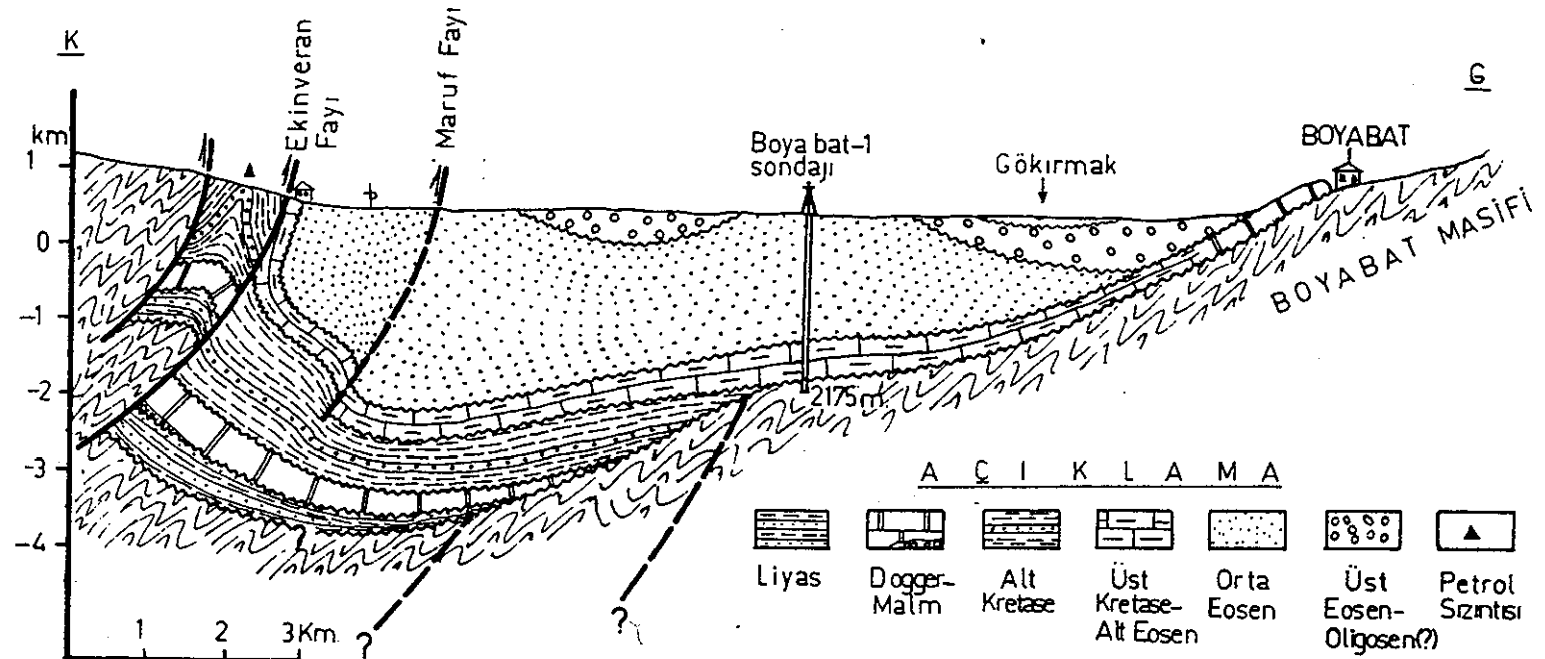
Ancak, bindirme zonundaki bütün katmanların dik yada devrik olması sondaj açısından olumsuz görülmektedir. Bu nedenle fay zonunun öncelikle sismik yöntemlerle kontrol edilmesi gerekmektedir.

#### 4.2. STRATİGRAFİK KAPANLAR

Bu tipteki en önemli kapanın varlığı Ekinveran Fay zonu ile Bektaş-Cemalettin köyleri arasında kalan yörede düşünülmektedir. Çünkü Ekinveran Fay zonunun kuzeyinde yaygın olarak yüzeyleyen Alt Kretase yaşlı Çağlayan Formasyonu, fayın güneyinde Bağlıca Köy yakınlarında açılan Boyabat-1 kuyusunda kesilmemiştir. Bu kuyuda Eosen ve



Şekil- 47 : İblak Antiklinali yapı kontur haritasının enine kesiti  
 (Kesit yeri şekil 46'da A-B hattı)



Şekil-48 : Boyabat - Ekinveran arasının enine jeolojik kesiti

Üst Kretase yaşılı birimlerden sonra doğrudan metamorfit temele girilmiştir. Bu bölgede Çağlayan Formasyonu, olasılıkla alttaki birimler üzerine aşmalı ve temel üzerine uyumsuz olarak gelmiş, ancak sondajın olduğu yöreye kadar ulaşamamıştır. Daha sonra formasyon, Üst Kretase yaşılı birimler tarafından uyumsuz olarak üstlenmiştir.

Ayrıca, Çağlayan Formasyonu'nu oluşturan şeyl ve marnlar içerisinde kalın kumtaşı düzeyleri yer almaktadır.

Olasılıkla Çağlayan Formasyonu'nda oluşan petrol, birim içindeki kumtaşı düzeyleri ile diskordans yüzeyi boyunca birikmiştir. Daha sonra, oluşan bu petrol Ekinveran Ters Fayı nedeniyle ikinci bir kapanlanmaya uğrayarak tutulmuştur (Şekil-48).

## 5. HİDROKARBON BELİRTİLERİ

İnceleme alanının en önemli hidrokarbon belirtisi, Ekinveran Köyü'ndeki petrol sizıntisidir (Foto-18).

### 5.1. EKİNVERAN PETROL SIZINTISININ ÖZELLİKLERİ

"Ekinveran petrol sizintisi" Boyabat ilçesinin Ekinveran Köyü'nün yaklaşık 500 m. kuzeyinde Sarıpın Dere'nin sağ yamacında Alt Kretase yaşılı Çağlayan Formasyonu içindeki kumtaşlarından gelmektedir. Sizintinin bulunduğu yöredeki kumtaşları kıvrımlı ve kırıkçı bir yapı gösterirler. Katmanlar genellikle dik konumdadırlar. Burada petrol su ile birlikte yüzeye çıkıp, su üzerinde adacıklar oluşturmaktadır. Petrol genellikle açık kahve renkli olup, hafifçede kokmaktadır.

MTA Enstitüsü laboratuvarlarında yapılan analizlerde, petrolün üst ısı değeri 8595 K.cal/kg. bulunmaktadır.

### 5.2. PETROL SIZINTISININ GRAVİTESİ

"Ekinveran petrol sizintisinin" gravitesi MTA Enstitüsü laboratuvarlarında 18,5 API olarak ölçülmüştür. Aynı sizintinin gravitesi ABD'de 25 API olarak ölçülmüştür (A.Gedik ile sözlü görüşme). Yüzeye çıkan sizintinin içindeki bazı maddelerin uçması neticesinde gravitesi degi-

şik değerler vermektedir. Bu durumda haznedeki petrolün gravitesinin 25 API'den fazla olabileceği anlaşılmaktadır.



Foto-18 : Ekinveran (Boyabat) petrol sızıntısı. Su üzerindeki kahverengi lekeler ham petrol sızıntılarıdır.

### 5.3. PETROL SIZINTISININ ANALİZİ

Alt Kretase yaşı Çaglayan Formasyonu içindeki kumtaşlarından sızan petrolün kökenini bulmak amacıyla alınan örneğin tam analizi Jülich Petrol ve Organik Jeokimya Enstitüsü'nde yapılmıştır.

Bu analiz işlemi Gaz Kromatografisi (GC) adı verilen bir aletle gerçekleştirilmistir.

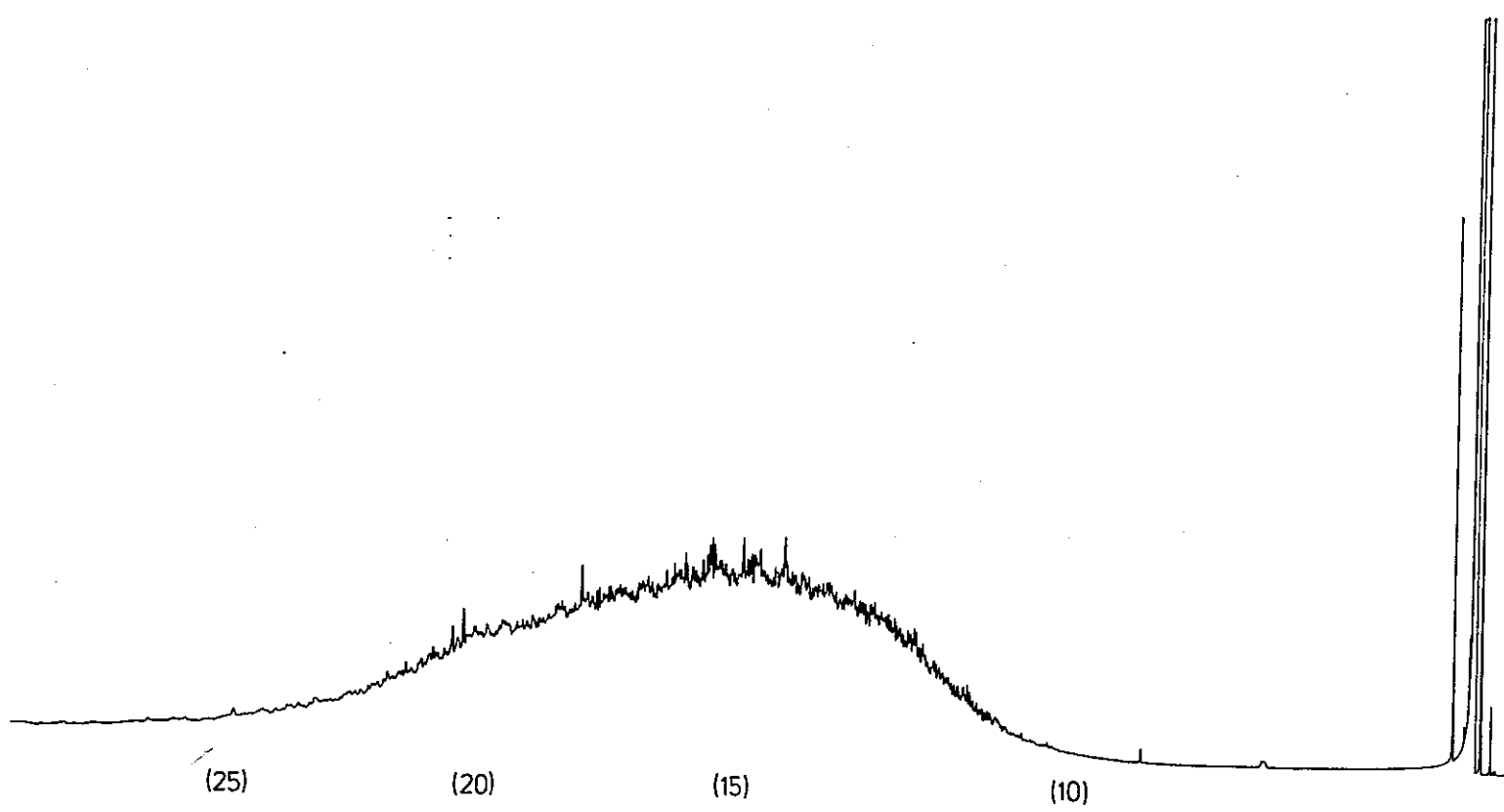
Gaz Kromatografisi buharlaşabilen çeşitli kimyasal karışımın molekül ağırlığıyla denetlenen farklılığı esasına dayanmaktadır (Schwedt, 1979). Bileşenlerine ayrılacak karışım, taşıyıcı bir gaz yardımıyla giderek artan sıcaklık koşullarında, uygun bid tutucu maddeyle kaplanmış bir kolondan geçirilir. Molekül ağırlığı küçük bileşenler önce, büyük olanlar ise ağırlık sırasıyla daha sonra kolonu terkederler. Kolon çıkışındaki hassas bir dedektör yardımıyla her bileşenin bağıl miktarı saptanır.

Bu Gaz Kromatografisi'nde petrolün bileşenlerinin ayrıntılı ve tam analizi yapılmıştır. Programlanan ısı  $-30^{\circ}\text{C}$  de başlamıştır. Moleküller alan ise  $\text{C}_6 - \text{C}_{35}$  arasıdır. Ancak, petrol GC değerinde görüldüğü gibi çok kuvvetli biyolojik ayrışmaya uğradığı için bileşenleri tek tek ayırdedilememiştir. GC'de sadece  $\text{C}_{10}$ ,  $\text{C}_{15}$ ,  $\text{C}_{20}$ ,  $\text{C}_{25}$  noktaları işaretlenmiştir (Şekil-49).

Ham petrolün biyodegradasyonu (Biodegradation) Evans ve diğ.(1973a), Dereo ve diğ.(1974), Conan ve diğ. (1975), Tissot ve Welte (1978) tarafından ayrıntılı olarak tanımlanmaktadır. Buna göre biyodegradasyon, ham petrolün mikrobiyolojik bozusmasıdır. Hidrokarbonların mikro-organizmalar tarafından temel tiplerine ayrılarak kullanılmasını sağlar. Meteorik sular, suzne içindeki mikro-organizmaların taşınmasını yapmaktadır. Bakteriler tarafından hidrokarbonların ayrılması sonucu n-alkenler, iso-prenoid alkenler, düşük zincirli siklo-alkenler ve aromatiklerden oluşan sıra gelişir. Ayrışmanın diğer tiplerinde ise suyla yıkama, oksidasyon ve evaporasyon gelişir. Suyla yıkamanın sebebi ise hidrokarbonlarla doymamış formasyon suları, su-petrol dokanlığında ilerleyerek, eriyebilir hidrokarbonları seçer ve böylece kalan petrolün kimyasal bilesimi değişir.

Boyabat-Ekinveran petrol sızıntısı ileri derecede biyolojik ayrışmaya uğradığı için gerçek anlamda kökensel yorumu yapılamamıştır. Bu bozusmanın nedeni meteorik yada yeraltı sularının etkisinden ileri gelmektedir. Çünkü sızıntıının bulunduğu yöredeki tüm katmanlar Ekinveran Fayı nedeniyle dik ve dike yakın konumdadırlar. Meteorik su katman yüzeyleri boyunca kolay bir şekilde yer altına ulaşabilirler. Ayrıca petrol sızıntısı suyla birlikte yüzeye çıkmaktadır. Olasılıkla, meteorik veya yeraltı suyunun hareketiyle petrol ve su karışıkta daha sonra ise hidrolik koşullar nedeniyle hızneden kurtulmaktadır. Bu işlemler sırasında suyla karışan petrol biyolojik ayrışmaya uğramaktadır. Ayrıca, yüzeye çıkan petrol hava ile temas edinme içindeki bazı bileşenleri uçmaktadır.

Bu nedenlerden dolayı, Ekinveran petrol sızıntısının türdeği ortam ve kökeni hakkında fikir yürütmek güçlemektedir.



Şekil-49 : Ekinveran (Boyabat) petrol sızıntısının gaz kromatogramı

## 6. İNCELEME ALANININ PETROL OLANAKLARI YÖNÜNDEN DEĞERLENDİRİLMESİ

İnceleme alanında, Liyas-Kuvaterner zaman aralığında çökeliş ve kalınlığı 10 bin metreye varan tortul bir istif yüzeylemektedir.

Değişik ortam özellikleri sunan bu çökel istifi içerisinde petrol ana, hazne ve örtü kayası olabilecek bir çok düzeyler bulunmaktadır. Ana kaya özelliği taşıyan formasyonlarda yapılan jeokimyasal incelemeler bu kayaçların petrol oluşturabileceğini göstermiştir. Özellikle, kumtaşı arakatmanlı, gri siyah renkli şeyl ve marlardan oluşan Alt Kretase yaşılı Çağlayan Formasyonu, organik madde miktarının yanısıra organik madde tipi ve olgunluğu ile hidrokarbon oluşturan zon içerisinde yer almaktadır. Yapılan analizlerin tümü birlikte değerlendirildiğinde yörende, iyi bir ana kayanın bulunduğu sonucuna varılmıştır.

Ayrıca bölgede, hazne ve örtü kaya fasiyesleri de iyi gelişmiştir. Petrol birikimini sağlayacak nitelikte yapısal kapanların varlığı da saha çalışmalarından anlaşılmıştır.

İnceleme alanı içerisinde ve çevre bölgede petrol açısından tek sorun, oluşabilecek hidrokarbonların gücü sorunudur. Çünkü, inceleme alanı Orta Karadeniz (Samsun-Sinop) Çökel Havzası'nın küçük bir bölümünü oluşturmaktadır. Bölgede yapılan rejyonal çalışmalarda, yaklaşık doğubatı doğrultulu ve birbirine paralel çok sayıda yapının varlığı ortaya konmuştur (Gedik, 1961; Ketiç ve Gümuş, 1963; Gedik ve diğ., 1981; Gedik ve Korkmaz, 1982). Bu yapıların bir kısmı korunmuş, bir kısmı ise deşilmiş durumdadırlar. Ayrıca bu antiklinaller yapısal olarak değişik yükseklik ve kapanımdadırlar.

Bu rejyonal verilere göre, havzada oluşabilecek hidrokarbonların gücü ve kapanlanması, hidrodinamik koşulların yanısıra, değişik kapanımlı ve yapısal yükseklikteki antiklinallerle doğrudan ilişkilidir. Bu ilişki ancak, bölgedeki yapıların sondajla test edilmesiyle anlaşılabılır.

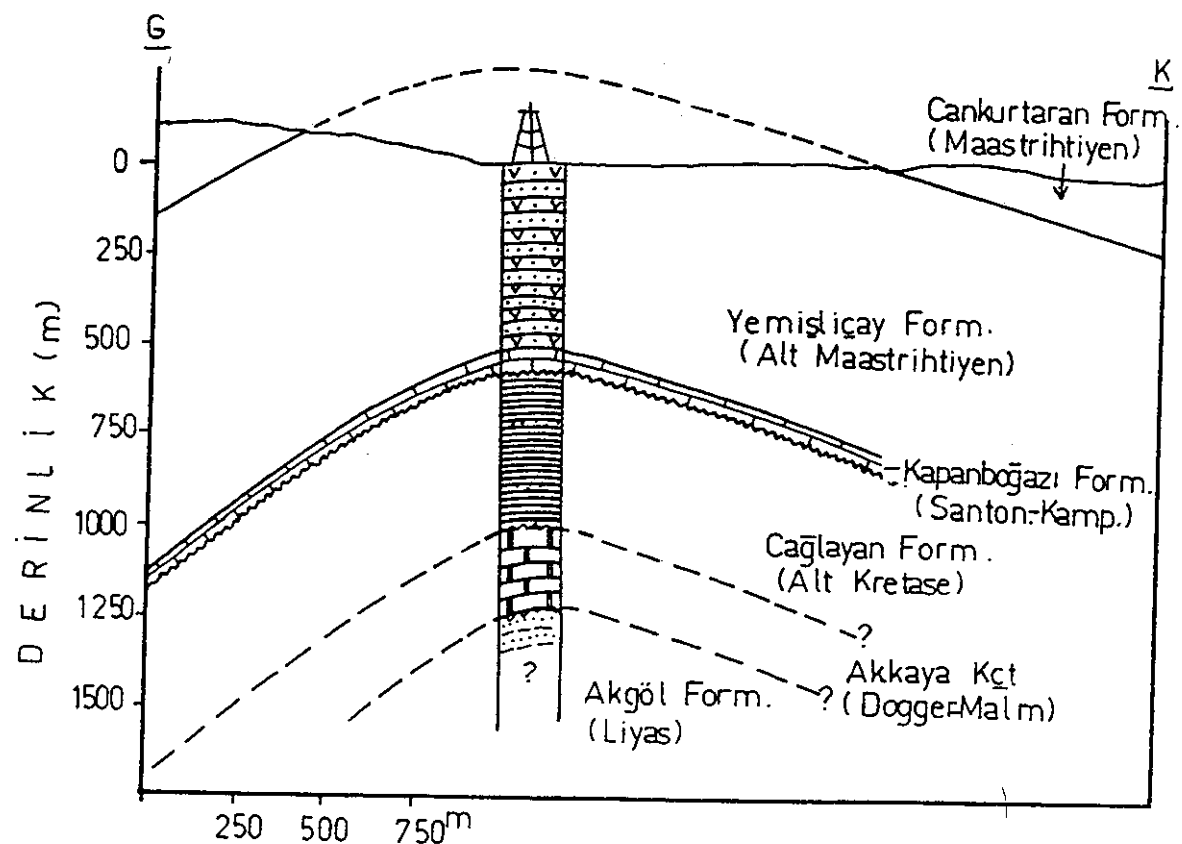
Gerek saha çalışmaları ve gerekse jeokimyasal ve riler, inceleme alanı içerisinde de petrolün oluşup, birikibileceğini göstermektedir.

Saha incelemelerine göre, petrol kapanlanması açısından en uygun yapı, inceleme alanının kuzey kesiminde bulu yer alan İblak Antiklinalı'dır. Bu yapı üzerinde sondaj lokasyonu, antiklinalının yapısal olarak en yüksek yeri olan Arabıköy-Türbeyanı Mahallesi arasındaki Akbaş Çayı üzerinde düşünülmektedir (Koordinatlar : x=4621900, y=654400 , z=775 m.).

İblak Antiklinalı üzerinde açılacak İblak-1 sondajı için hazırlanan olasılı kuyu logunda, 550 m. $\pm$ 100 m. Alt Maastrichtyen yaşı Yemişliçay Formasyonu, 50 m. $\pm$ 10 m. Santonyen-Kampaniyen yaşı Kapanboğazı Formasyonu ve 400 m. $\pm$ 100 m. Alt Kretase yaşı Çağlayan Formasyonu kesilerek Jura yaşı birimlere (Akkaya Kireçtaşı, Bürnük Formasyonu, Akgöl Formasyonu) girilmesi düşünülmektedir. Bu istiflenmede petrol haznesi açısından Çağlayan Formasyonu içindeki kumtaşları ile Akkaya Kireçtaşı önem taşımaktadır (Şekil-50).

İnceleme alanı içerisinde petrol birikimi açısından ilginç olabilecek ikinci lokasyon yeri ise Ekinveran fay zonudur. Şekil-48 de görüldüğü gibi bu fayın güney kesiminde, fay ve diskordans kapanı oluşturabileceği düşünülmektedir. Petrolün bu faya yakın yöreden sizdiği düşünülürse önemi daha da artmaktadır. Ancak bindirme nedeniyle yöredeki formasyonların ve katmanların konumları bozulmuştur. Gerek tektonik karışıklık ve gerekse tortulaşma koşullarının değişebileceği göz önüne alınırsa yöre için kesin bir log hazırlamak güçleşmektedir. Böyle bir log ancak sismik kesitler yardımıyla hazırlanabilir. Saha incelemeleri ve jeolojik profillere göre Ekinveran yöreni yaklaşık 3000-3500 m.lik bir kuyu ile test edilebilir düşündürmektedir.

Sonuç olarak, inceleme alanı içerisinde petrolün oluşup-birikibileceği görüşüne varılmıştır. Ancak sondaj aşamasından önce bu yapıların jeofizik yöntemlerle de mutlaka kontrol edilmesi gerekmektedir.



Şekil-50 : İblak Antiklinalı'nın kıvrımlı yapısı ve İblak-1 sondajı için önerilen olasılı kuyu logu (Busk yöntemiyle çizilmiş-  
tir)

## 7. S O N U Ç L A R

- 1- İnceleme alanının ( $550 \text{ km}^2$ ) kayastratigrafi birimi esasına göre 1/25.000 ölçekli ayrıntılı jeoloji haritası yapılarak 18 formasyon ve 6 üye ayrılmıştır.
- 2- Her birimin tip kesiti ölçülererek ayrıntılı litolojik ve sedimentolojik özellikleri belirlenmiştir.
- 3- İnceleme alanında makro fosil ve foraminiferaların yanısıra ilk defa nanno fosillerle yaş tayinleri yapılarak biyostratigrafi çıkarılmıştır.
- 4- Bölgede, daha önce Üst Jura-Alt Kretase yaşında kabul edilen karbonatların Dogger-Malm (Bathoniyen-Kimmerisiyen) yaşılı oldukları saptanmıştır.
- 5- Üst Kretase denizi bölgeye Santonyen-Kampaniyen'de yerleşmiştir.
- 6- Düzeltilmiş paleoakıntı ölçümlerine göre, Üst Kretase-Alt Eosen yaşılı çökeller kuzey-kuzeybatı yönündeki bir kaynak alanından, Orta Eosen yaşılı çökeller ise yaklaşık güneydoğu yönündeki bir kaynak alanından beslenmişlerdir.
- 7- Bölgede, Donetz, Üst Kimmerik, Austrik, Anadolu Pireneik ve Savik fazlarının etken oldukları anlaşılmıştır.
- 8- İnceleme alanının ana tektonik çatısını oluşturan kuvvetlerin genellikle kuzey-güney yönünde etkidikleri saptanmıştır.
- 9- Volkanitlerin petrokimyasal analizlerinde, alkalin olanların simatik kökenli, subalkalin olanların ise sialik kökenli oldukları anlaşılmıştır.
- 10- Metamorfik kayaçların incelenmesinde ise, bunların yeşil şist fasiyesinde ve volkano-tortul kökenli oldukları saptanmıştır.
- 11- Bölgede ilk defa, organik karbon yüzde tayinleri, vitrinit yansımıları ölçümleri, rock-eval (piroliz) ve kil analizleri yapılarak ana kaya fasiyesi araştırılmıştır.

12- Yapılan jeokimyasal incelemeler sonucu özellikle Alt Kretase yaşı Çaglayan Formasyonu'nun yer yer hidrokarbon uretebilecek olgunluk evresine eriştiği saptanmıştır.

13- İnceleme alanında nazne kaya fasiyesi olarak, Dogger-Malm yaşı Akkaya Kireçtaşı, Alt Kretase yaşı Çaglayan Formasyonu içindeki kalın kumtaşı düzeyleri ve Alt Maastrichtiyen yaşı Yemişliçay Formasyonu içindeki kalın tuf düzeyleri önem taşımaktadır.

14- Bölgede örtü kaya fasiyeside iyi gelişmiştir. Özellikle, Alt Kretase yaşı Çaglayan Formasyonu'nu oluşturan şeyl ve marnlar, Santonyen-Kampaniyen yaşı mikritik kireçtaşlarından oluşan Kapanboğazı Formasyonu ve Maastrichtiyen yaşı Cankurtaran Formasyonu'nu oluşturan şeyl ve marnlar örtü kaya olarak önem taşırlar.

15- İnceleme alanı içerisinde yer alan İblak Antikinali ve Ekinveran fay zonu petrol birikimi ve kapanlanması açısından önem taşımaktadır.

16- Boyabat-Ekinveran petrol sizintisinin tam analizi yapılarak kökeni araştırılmıştır. Bu sizintinin oluşumu, organik maddece zengin Alt Kretase şeyllerine, olasılıkla Üst Kretase volkanizmasının yaptığı ısisal etkiyle açıklanabilir.

## Ö Z G E Ç M İ Ş İ

Sadettin Korkmaz, 1955 yılında Trabzon'un Yomra ilçesinin Demirciler Köyünde doğdu. İlkokulu aynı köyde, ortaokul ve liseyi Trabzon'da bitirerek 1972-73 döneminde K.T.Ü. Yer Bilimleri Fakültesi Jeoloji Mühendisliği Bölümüne girdi. 1976 yılında bu bölüm bitirdi ve aynı yıl M.T.A. Enstitüsü, Petrol ve Jeotermal Enerji Dairesi, Petrol Servisi'nde göreve başladı. Burada, Enstitünün "Batı Toroslar petrol arama ve etüdleri projesi" ile "Samsun-Sinop bölgesi petrol arama ve etüdleri projesi"nde saha jeoloğu olarak görev yapmıştır. 1978 yılında A.Ü. Fen Fakültesi Jeoloji Yüksek Mühendisliği bölümünü bitirdi. 1980 yılında da A.I.T.İ.A. İdari Bilimler Enstitüsü'nde yönetim bilimleri dalında master çalışmasını tamamladı. Halen M.T.A. Doğu Karadeniz Bölge Müdürlüğü'nde görev yapmaktadır.

K A Y N A K Ç A

- Adamia, S.A., Zakariadze, G.S, Lordkipanidze, M.B., 1977 : Evolution of the active continental margin as illustrated by Alpine history of the Caucasus, Tectonophysics, 40, p.183-189
- Akyol ve dig., 1974 : Cide-Kurucasile dolayının 1/50.000 ölçekli jeoloji haritası ve açıklaması, MTA Enstitüsü yayını, Ankara
- Ala, M.A., Kinghorn, R.R.F., Rahman, M. 1980 : Organic geochemistry and source rock characteristics of the Zagros petroleum province, southwest Iran, Jour. Pet. Geol., 3, 1, p.61-89
- Albrecht, P., Vanderbroucke, M., Mandengué, M., 1976 : Geochemical studies on the organic matter from the Doula Basin, I. Evolution of the extractable organic matter and the formation of petroleum. Geochim. Cosmochim. Acta, 40, p.791-799
- Allen, J.R.L., 1964 : Studies in fluviatile sedimentation: six cyclothem from the lower old red sandstone, Anglo-welsh Basin, Sedimentology, 3, p.163-169
- Allen, J.R.L., 1965 : Fining-upward cycles in alluvial successions. Geology, J., 4, p.229-246
- Alp, D., 1972 : Amasya yöresinin jeolojisi, İ.Ü. Fen Fakültesi monog., sayı:22
- Arpat, E., Tütüncü, K., Uysal, Ş., Göger, E., 1977 : Safranbolu yöresinde Kambriyen-Devoniyen istifi. T.J.K. 31. Bil. ve Tek. Kurultayı bildiri özetleri, s.67-68, Ankara
- Ataman, G., Yılmaz, O., Ertürk, O., 1977 : Diyajenez-Ankımetamorfizma geçişinin illit kristallik derecesi ile araştırılması, Batı Pontidlerde bir deneme. H.Ü. Yer Bilimleri Dergisi, 3, 1-2, s.145-160
- Badgley, P.C., 1959 : Stratigraphy and petroleum possibilities of the Sinop region. Tidewater Oil Co, Petrol İsl. Gen. Müd. arşivi (yayınlanmamış)

- Bailey, E.H., Barnes, J.W., Kupper, D.H., 1967 : Geology and ore deposits of the Küre district, Kastamonu province, Turkey
- Bailey, N.J.L., Krouse, H.H., Evans, C.R., Rogers, M.A., 1973a: Alteration of crude oil by waters and bacteria- evidence from geochemical and isotope studies. A.A.P.G. Bull., 57, p. 1276-1290
- Basu, D.N., Banerje, A. Tamhane, D.M., 1980 : Source area and migration trend of oil and gas in Bombay offshore, A.A.P.G. Bull., 64,2, p.209-220
- Baykal, F., 1972 : Historik Jeoloji, K.T.Ü. yayını no:8, Trabzon
- Bingöl, E., 1974 : 1/2.500.000 Ölçekli Türkiye Metamorfizma Haritası ve bazı metamorfik kuşakların jeotektonik evrimi üzerinde tartışmalar. M.T.A. Dergisi No:83 s.178-184
- Bingöl, E., 1978 : Explanatory notes to metamorphic map of Turkey,
- Bishop, M.S., 1960 : Subsurface Mapping. John. sons. inc., New-York
- Blumenthal, M.M., 1940 : Boyabat havzasındaki Ekinveran petrol mıntıkasının bünyesi ve maden perspektiveleri hakkında rapor. MTA Enstitüsü, Derleme No: 1066, Ankara
- Blumenthal, M.M., 1940 : Gökkirmak ile Karadeniz arasındaki Pontik silsilelerinin jeolojisi hakkında rapor. MTA Enstitüsü, Derleme No:1067, Ankara
- Blumenthal, M.M., 1942 : Sinop vilayeti, Boyabat havzası petrol sahasının jeoloji tertibi. MTA yayını, Seri:A, No:6, Ankara
- Blumenthal, M.M., 1948 : Bolu civarı ile Aşağı Kızılırmak mecrası arasındaki Kuzey Anadolu silsilelerinin jeolojisi. MTA yayını, Seri:B, No:13, Ankara
- Bostick, N.H., 1979 : Microscopic measurement of the level of catagenesis of solid organic matter in sedimentary rock to aid exclarition for petroleum and to determine former burial temperatures: SEMP, special publ., 26, p.17-43

- Bouma,A.H., 1962 : Sedimentology of Some Flysh Deposits.  
Elsevир publ. co., Amsterdam
- Brinmann,R., 1974 : Geologic relations between Black Sea  
and Anatolia, The Black Sea, AAPG Memoir, 20
- Bull,W., 1962 : Relation of textural patterns to deposition  
environment of alluvial fan deposits. Jour. Sed.  
Pet., 32, p.211-216
- Bush,D.A., --- : Petrol jeolojisinde modeller (Çev. M.Öz-  
güler), MTA Petrol ve Jeotermal Enerji Dairesi  
çevirileri No:12, Ankara
- Bush,D.A. --- : Stratigrafik kapan araştırmaları (Çev.M.Öz-  
güler), MTA Petrol ve Jeotermal Enerji Dairesi  
çevrileri No:12, Ankara
- Calvi,S., 1936 : Das Tertiaerbecken von Boyabat und nord  
Pontischen Kreideketten zwischen Boyabat und Sinop.  
Yük. Ziraat Enst. çalışmaları No:27, Ankara
- Conan,J., Le Tran,K., van der Weide,B., 1975 : Alteration  
of Petroleum in Reservoirs. Proc. 9<sup>th</sup> World Pet.  
Congr. Tokyo, London: Applied Science Publ.,2,  
p.171-178
- Cox,K.G., Bell,J.D., Pankhurst,R.J., 1979 : The Interpretation  
of Igneous Rocks. Georg. Allen and Unwin Ltd.  
Londra, 450 p.
- Cekunof,A.V., Riyabin,L.I., 1973 : Karadeniz çanağının bazı  
oluşum sorumlari ve Neojen ve Antropojendeki geo-  
tektonik özellikler (Çev. S.Ering), İ.Ü. Coğrafya  
Enstitüsü Dergisi, C.10, s.18-19, İstanbul
- Çoğulu,H.E., 1973 : Petrografi ve Petroloji.  
İTÜ Müh.-Mim. Fak. Yayıni No:94, İstanbul
- Dağdelen,Y., Oktay,H. 1961 : Boyabat sahasının jeolojik  
etüdü, TPAO raporu (yayınlanmamış)
- Degens,E.T., Ross,D.A. 1974 : The Black Sea, Geology, Chemistry  
and Biology, A.A.P.G., Oklahoma
- Deroo,G., Tissot,B., Mc Crossan,R.G., Der,F., 1974 :  
Geochemistry of the heavy oils of Alberta. In: Oil  
Sand Fuel of the Future, Memoir 3, Can. Soc. Pet.  
Geol. p.148-167, 184-189

- Dietz,R.S., 1972 : Jeosenklinaller, Dağlar ve Kıtalar Oluşumu, (Çev. D.Sanlı) MTA Bilimsel Çeviriler Yayıni No:1
- Doğru,A.R., Gaines,A.F., Gökçen,S.L., 1978 : Kati yakıtların kimyasal ve petrografik sınıflandırma ilke ve yönetmenliği, Yeryuvarı ve İnsan Dergisi,C.3, Sayı,2, s.62-67
- Dow,W.G., 1977 : Kerogen studies and geological interpretations, Jour. of Geochem. Expl. 7, p.79-99
- Dow,W.G., 1978 : Petroleum source beds on continental slope and rises, A.A.P.G. Bull. 62, 9, p.1584-1606
- Dunoyer de Segonzac,G., 1969 : Les minéraux dans la diagenèse. Passage au métamorphisme. Mém. Serv. Carte Géol. Als. Lorr. Strasbourg. No:29, p.320
- Dunoyer de Segonzac,G., 1970 : The transformation of clay minerals during diagenesis and low-grade metamorphism, Sedimentology,15, p.281-344
- Durand,B., Espitalié,J. Nicaise,G., 1972 : Etude de la matière organique insoluble des argiles de Toarcien du Bassin de Paris. Rev. Ins. Fr. Pétrole, 27, 6, p.865-884
- Durand,B., Espitalié,J., 1976 : Geochemical studies on the organic matter from the Doula Basin. II. Evolution of kerogen. Geochim. Cosmochim. Acta, 40, p. 801-808
- Dzulynski,S., Smith,A.J., 1962 : Flysh Facies, Am. Soc. Geol. Pologne, 34 (1/2) p.245-266
- Dzulynski,S., Walton,E.I., 1965 : Developments in Sedimentology, No:7 , Elsevier, Amsterdam
- Erdoğan,L.T., --- : Tortul Ortam Modelleri, MTA Petrol ve Jeotermal Enerji Dairesi Yayıni No: 13, Ankara
- Eren,R.H., 1980 : Kastamonu-Taşköprü Bölgesi Metamorfitleri, 34. T.J.K. Bilimsel ve Teknik Kurultayı, Bildiri Özeti s.42-43, Ankara



- Ericson,D.B., 1938 : Boyabat hakkında rapor,  
MTA Enstitüsü, Derleme No:817, Ankara
- Eseller,G., 1977 : Tortul kayaların ana kaya potansiyeli-  
nin değerlendirilmesi, Türkiye 3. Petrol Kongresi
- Espitalie,J., Madec,M., Tissot,B., 1977 : Source rock  
characterization, 9th offshore technology confe-  
rence, p.439-444
- Evans,C.R., Rogers,M.A., Bailey,N.J.L., 1971 : Evolution  
and alteration of petroleum in Western Canada,  
Chem. Geol. 8, p.147-170
- Friend,P.F., 1965 : Fluvialite sedimentary structure in  
the wood by series (Devonian) of Spitsbergen,  
Sedimentology,5, p.39-68
- Folk,R.L., 1962 : Spectral subdivision of limestone types:  
Classification of Carbonate Rocks, Mem. AAPG,1
- Fuchs,B., 1938 : Beitrag zur Kenntnis der Kreide von  
Ekinveran bei Sinop, Deut. Geol. Ges. Zs. 90,  
H-4, p.213-220
- Gayle,R.B., 1959 : Geology of the Sinop Region, Tidewater  
Oil Co., Petrol İşleri Gen. MÜd. Arşivi (yayılın-  
mamış şirket raporu)
- Gedik,A., 1961 : 1/100.000 ölçekli Sinop bölgesi jeoloji  
haritası, Petrol İsl. Gen. MÜd. Arşivi
- Gedik,A., Korkmaz,S., 1982 : Sinop havzasının 1/100.000  
ölçekli jeoloji haritası ve dikme kesiti, MTA  
Enstitüsü, Petrol ve Jeoterm. Enj. Dai. arşivi
- Gedik,A., Korkmaz,S., Ercan T., 1984 : Orta Karadeniz  
(Samsun-Sinop) havzasının jeolojisi ve volkanik  
kayaçların petrolojisi, MTA Dergisi (baskıda)
- Gedik,A., Özbudak,N., Korkmaz,S., İztan,H., Ağrıdağ,D.S.,  
1981 : Sinop havzasının jeolojisi ve petrol ola-  
nakları ile ilgili ön sonuçlar, TJK 35. Bil.ve  
Tek. Kurultayı, Bildiri Özeti S.35-36, Ankara

- Gedikoğlu,A., Pelin,S., Özsayar,T., 1979 : Tectonic Evaluation of the Eastern Pontid in Mesozoik, Geocene-I, Ankara
- Gehman,H.M., 1962 : Organic matter in limestone, Geochim. et Cosmo. Acta v.26, p.885-897
- Geiss, H.P., 1954 : Karadeniz taşkömürü prospeksiyon bölgesi dahilinde İnebolu-Küre-Abana sahasında yapılan jeolojik löve neticeleri, MTA Raporu No:2973
- Goodarzi,F., Murchison,D.B., 1972 : Optical properties of carbonized vitrinites, FUEL, cilt,51 p.322-328
- Gottini, V., 1968 : The TiO<sub>2</sub> Frequency in Volcanic Rocks: Geol. Rundsch., 57, p.930-935
- Gottini,V., 1969 : Serial character of the volcanic rocks pantelleria: Bull. Volcanologique,3, p.818-827
- Göksu,E., 1977 : Petrol Jeolojisi, İTÜ Kütüphanesi No:1091, İstanbul
- Göksu E., 1973 : Yeraltı Jeolojisi KTÜ Genel Yayani No :48 , Trabzon
- Gönülden,P., 1959 : Boyabat sahası hakkında jeolojik rapor, TPAO raporu (yayınlanmamış)
- Guillemot,J., 1964 : Cours de Géologie du Pétrole , Société des Editions Technip, Paris
- Hunt,J.M., MeinertR.N., 1954: Petroleum Prospecting, U.S. Patent No:2
- Hunt,J.M., 1968 : How gas and oil form and migrate, World Oil, 167, p.140-150
- Hunt,J.M., 1979 : Petroleum Geochemistry and Geology, Freeman and Comp, 617 sayfa.
- İlhan,E., 1976 : Türkiye Jeolojisi, ODTÜ, Müh. Fak. Yayani No:51, Ankara
- Irvine,T.N., Baragar,W.R.A., 1971 : A guide to the chemical classification of the common volcanic rocks: Can. Jour. Earth. Scien,8, s.523-548

- Jonathan,D., Le Tran,K., Oudin,J.L., Van Der Weide,B.M., 1976 : Les methodes d'étude physico-chimique de la matière organique: Bull. Centre Rech. Pau. SNPA, 10,1, s.89-108
- Ketin,I., 1962 : 1/500.000 ölçekli Türkiye Jeoloji Haritası ve İzahnamesi (Sinop paftası), MTA Yayıını, Ankara
- Ketin,I., 1966 : Anadolu'nun Tektonik Birlikleri, MTA Dergisi Sayı:66, Ankara
- Ketin,I., 1977 : Türkiye'nin başlıca orojenik olayları ve paleocoğrafik evrimi, MTA Dergisi, Sayı:88, s.1-4
- Ketin,I., Canitez,N., 1973 : Yapışal Jeoloji, İTÜ Kütüphanesi, İstanbul
- Ketin,I., Gümüş,Ö., 1963 : Sinop-Ayancık arasında 3. bölgeye dahil sahaların jeolojisi hakkında rapor, TPAO raporu No:288 (yayınlanmamış)
- Ketin,I., Yılmaz,Y., Şengör,A.M.C., 1980 : Kuzey Türkiye'deki Paleotetis, Geç Jura öncesi bir okyanusun kalıntıları mı?, TJK 34. Bil. ve Tek. Kurultayı, Ankara
- Kirk,H.M., 1935 : Geology on Boyabat Region, dd v/1935
- Kottloweski,F.E., 1965 : Stratigrafik Kesitlerin Ölçümü, (Çev. İ.E.Altınlı), İ.Ü. Yayıını, İstanbul
- Kovenko,V., 1944 : La métallogénie de l'ancien gite de pyrite cuivreuse de Küre, du la zone cotière de la Mer Noire, MTA Mecmuası, No:2, Ankara
- Kraus,G.P., Parker,K.A., 1979 : Geochemical evalution of petroleum source rock in Bonaparte Gulf-Timor sea region, nortwestern Australia: A.A.P.G. Bull,63,11 p. 2021-2041
- Kukal,Z., 1971 : Geology of recent sediments. Academic Press, London, 491 sayfa
- Kuno,H., 1960 : High-Alumina basalt, Journal of Petrology,1, p.121-145

- Kübler,B., 1964 : Les argiles, indicateurs de métamorphisme, Rev. Inst. Fr. Pétrole, 19, p.1093-1112
- Kübler,B., 1966 : La cristallinité de l'illite et les zones tout à fait supérieures du métamorphisme. Etages tectoniques, Colloque de Neuhatel, 1966, Inst. Géol. Univ. Neuchatel.
- Kübler,B., 1968 : Evaluation quantitative du métamorphisme par la cristallinité de l'illite. Etat des progrès réalisés ces dernières années. Bull. Centre Rech. Pau SNPA,2, p.385-397
- Laplante,R.E., 1973 : Hydrocarbon generation related to carbonization and facies types in Denver Basin Upper Cretaceous, AAPG Bull.,57,4, p.790-796
- Laplante,R.E., 1974 : Hydrocarbon generation in Gulf Coast Tertiary sediments, AAPG Bull.,58,7, p.1281-1289
- Levorsen,A.I., 1967 : Geology of Petroleum, W.H. Freeman and Comp., San Fransisko
- Leythaeuser,D.1974 : Erdölgenese in Abhängigkeit von der Art des organischen materials in Muttergestein. Compendium 74/75, Erdöl und Kohle, Erdgas, Petrochemie, 41-51
- Leythaeuser,D., 1976 : Petroleum exploration and organic geochemistry, Bull. of the Iranian Pet. Inst., 63 p.1-27
- Lucius,M., 1925 : Ekinveran (Boyabat) bölgisinin jeolojik etüdü, MTA Derleme No:197, Ankara
- Mc Donald,G.A., Katsura,J., 1964 : Chemical composition of Hawaiian lavas, Journal of Petrology, 5, p.82-133
- Mc Iver,R.D.,1967 : Composition of kerogen-clus to its role in the origin of petroleum, Proceedings of the 7<sup>th</sup> World Pet. Cong. Mexico,2, p.25-36
- Merewether,E.A., Claypool,G.E., 1980 : Organic composition of some Upper Cretaceous shale, Powder River Basin, Wyoming, AAPG Bull. v.54, No:4, p.488-500

- Momper,J.A., 1978 : Oil migration limitations suggested by geological and geochemical considerations, AAPG, Continung Education Course Note, Series,8
- Neprochnov,Y.P., Neoprochnova,A.F.,MirlinY.G., 1974 : Deep structure of Black Sea basin, The Black Sea, AAPG Memoir, 20
- Orbay,N., Özdoğan,İ., Baydemir,N., Işıkara,A., 1980 : Sinop bölgesi Kretase volkaniklerinin paleomağnetizması, Tübitak VII. Bilim Kongresi, Bildiri özetleri s.30
- Ortynski,I., Tromp,W., 1942 : Boyabat-Ekinveran arasında kalan sahanın jeolojisi hakkında not, MTA Mecmuası No:3/28, s.399-412
- Pelin,S., 1977 : Alucra (Giresun) güneydoğu yöreninin petrol olanakları bakımından jeolojik incelemesi, KTÜ Yer Bil. Fak. Yayani No:13, Trabzon
- Pelin,S., 1978 : Petrol Jeolojisi, KTÜ Yer Bil. Fak. Ders Notları Serisi No:1,Trabzon
- Pelin,S., 1981 : Pasinler (Erzurum) havzasında ana kaya özelliklerinin ve petrol oluşumunun açıklanması, KTÜ Yer Bilimleri Dergisi,Jeoloji, Cilt,1, sayı:2 s. 127-143
- Pelin,S., Korkmaz,S., 1981 : Karadeniz'in petrol potansiyeli, KTÜ Yer Bilimleri Dergisi, Jeoloji, Cilt,1 Sayı,2
- Peters,K.E., Whelan,J.K., Hunt,J.M., Tarafa,M.E., 1983 : Programmed pyrolysis of organic matter from thermally altered Cretaceous black shales, AAPG Bull., v.67, No:7, p.2637-2146
- Petunnikov,G., 1935 : Das Erdölvorkommen bei Ekinveran (Türkei), Petroleum Jg-35, No:18, p.315-322
- Pettijohn,F.J.,1975 : Sedimentary Rocks, H. Inter. Edition
- Philippi,G.T., 1965 : On the depth time and mechanism of petroleum generation, Geochim. Cosmoc. Acta,29 p. 1021-1049

- Philippi, G.T., 1974 : The influence of marine and terrestrial source material on the composition of petroleum, Geochim. Cosmochim Acta, 38 p.947-966
- Potter, P.E., Pettijohn, F.J., 1963 : Paleocurrent and Basin Analysis, Springer Verlag, Heidelberg
- Powell, T.G., Foscolos, A.E., Gunther, P.R., Snowdon, L.R., 1978: Diagenesis of organic matter and fine clay minerals, a comparative study, Geochimica et cosmochimica Acta, 42, p.1181-1197
- Reading, H.G., 1978 : Sedimentary Environments and Facies, Scientific publ. Oxford.
- Raynaud, J.F., Robert, P., 1976 : Les méthodes d'études optiques de la matière organique, Bull. Centre Rech. Rau. SNPA, 10, 1 p. 109-127
- Rittman, A., 1952 : Nomenclature of volcanic rocks, Bull. Volcanologique, 12 p.75-102
- Ronov, A.B., 1958 : Organic carbon in sedimentary rocks, Geochemistry, 5, p.496-509
- Saner, S., 1980 : Batı Pontidlerin ve komşu havzaların oluşumlarının levha tektoniği kuramıyla açıklanması, MTA Dergisi, Sayı:93/94
- Schmidt, C., 1911 : Expertise du suintement petrolifère près d'Ekinveran, (yayınlanmamış rapor)
- Schwedt, von G., 1979 : Chromatographische Trennmethoden Theoretische Grundlagen, Techniken und analytische Anwendungen, George Thieme Verlag, Stuttgart
- Selley, R.C., 1970 : Ancient Sedimentary Environments, Chapman and Hall, London,
- Soylu, C., Sinanoğlu, E., 1979 : Petrol türümü ve göçme ilke-lerinin petrol arama bölgelerinin saptanmasında uygulanması, Yeryuvarı ve İnsan, C.4, S.2, s.31-35
- Stach ve dig., 1975 : Stach's textbook of coal petrology, Gebrüder Borntraeger, Berlin, Stuttgart
- Sullwold, H.H., --- : Petrol araştırmalarında türbiditler (Çev. M.Özgüler), MTA Petrol ve Jeoterm, Enj. Dai. Yayıını No:12, Ankara

- Şenalp,M., 1981 : Çankırı-Çorum havzasının Sungurlu bölgesindeki karasal formasyonların sedimentolojik incelemesi, TJK Bülteni, 24 s.65-74
- Şenalp,M., Gökçen,S., 1975 : Kayma oluşukları, olistostromlar ve turbidit fasiyeslerini ayırcı ana jeolojik sedimentolojik ölçütler, TÜBİTAK 5. Bilim Kongresi, Ankara
- Şenalp,M., Fakioğlu,M., 1977 : Derin deniz çökelleri, Yeryuvarı ve İnsan Cilt.2, Sayı,1 , Ankara
- Şenalp,M., Fakioğlu,M., 1977 : Bulantı akıntılar ve turbiditler, Yeryuvarı ve İnsan, Cilt,2, Sayı,2, Ankara
- Sengör,A.M.C., Yılmaz,Y., 1983 : Türkiye'de Tetis'in evrimi: Levha tektoniği açısından bir yaklaşım, TJK Yer Bilimleri Özel Dizisi , 75 sayfa, Ankara
- Taşman,C.E., 1931 : Petroleum possibilites of Turkey, AAPG Bull. v.15
- Teichmüller,M., Teichmüller,R., 1979 : In diagenesis in sediments and sedimentary rock, Larsen and Chilin. p.207-246
- Terlemez,i., Yılmaz,A., 1980 : Ünye-Ordu-Koyulhisar-Resadiye arasında kalan yörenin stratigrafisi, TJK Bülteni, Cilt,23 Sayı,2 s.179-191
- Tissot,B., Califet-Debyser,Y., Deroo,G., Oudin,J.L., 1971: Origin and evolution of hydrocarbons in early Toarcian shales. AAPG Bull.,55 p.2177-2193
- Tissot,B. Durand,B., Espitalie,J., Comba,A., 1974 : Influence of nature and diagenesis of organic matter in formation of petroleum, AAPG Bull.,58 p.499-506
- Tissot,B., Espitalie,J., 1975 : L'Evolution thermique de la matière organique des sédiments: Rev. Inst. Fr. Pét., 30 p.743-777
- Tissot,B., Welte,D.H., 1978 : Petroleum Formation and Occurrence, Springer Verlag, Berlin, 538 sayfa

- Thomas, B. M., 1979 : Geochemical analysis of hydrocarbon occurrences in northern, Perth Basin, Australia, AAPG Bull., 63, 7 p.1092-1107
- Tromp, S. W., Ortynski, I., 1942 : Boyabat mintikasının ve bil-hassa Saritaş domunun jeolojisi, MTA Derleme No: 1375, Ankara
- Türkiye Petrolleri A.O. ---- : Boyabat-1, Fasilli-1, Karasu-1 sondajları kuyu terk raporları, Petrol İsl. Gen. Müd. arşivi (yayınlanmamış)
- Türkiye Stratigrafi Komitesi, 1968 : Stratigrafi Sınıflama ve Adlama Kuralları, MTA Yayıncılık, Ankara
- Urban, J. B., 1976 : Palynology, thermal maturation by vitrinite reflectance and visual color estimation and kerogen description of source rocks, Core Lab. Inc. sp. publ.
- Ünalan, G., 1982 : Kalecik-Tüney-Sulakyurt (Ankara) arasındaki bölgenin petrol olanaklarının araştırılması, Doçentlik tezi (yayınlanmamış)
- Vandenbroucke, M., Albrecht, P. Durand, B., 1976 : Geochemical studies on the organic matter from the Doula Basin III. Comparison with the early Toarcian shales, Geochim. Cosmochim. Acta, 40 p.1241-1249
- Van Eysinga, F. W. B., 1979 : Geological Time Table, Elsevier Sc. Publ. Co., Amsterdam
- Welte, D. H., Yükler, M. A., 1980 : Evolution of sedimentary basins from the standpoint of petroleum origin and accumulation-an approach for a quantitative basin study, Organic Geochemistry, 2, p.1-8
- Welte, D. H., 1965 : Relation between petroleum and source rock, AAPG Bull., 63, 2 p.239-245
- Winkler, H. G. F., 1977 : Metamorfik Kayaçların Oluşumu, İTÜ Müh.-Mim. Fak. Yayınları No: 118, 223 sayfa
- Wright, N. J. R., 1980 : Time, temperature and organic maturation, Jour. of Petroleum Geology, 2, 4 p.411-425

Yalçın,N., 1982 : Jeokimya yöntemleriyle Adana havzası petrol potansiyelinin araştırılması, Doçentlik tezi (yayınlanmamış)

Yılmaz,O., 1980 : Daday-Devrekâni masifi kuzeydoğu kesimi litostratigrafi birimleri ve tektoniği, H.Ü. Yer Bilimleri Dergisi, Cilt 5/6 s.101-135

Yükler,M.A.,1980 : Sedimanter havzaların dinamik evrimlerinin hidrojeoloji ve petrol jeolojisi açısından kantitatif olarak değerlendirilmesi, Doçentlik tezi (yayınlanmamış)